

UNIVERSIDAD NACIONAL DE CAJAMARCA
FACULTAD DE INGENIERÍA
ESCUELA ACADÉMICO PROFESIONAL DE INGENIERÍA HIDRÁULICA



TESIS

**“RUGOSIDAD DE MANNING EN EL CAUCE DEL RÍO
CAJAMARQUINO, TRAMO PUENTE LLACANORA-
HUAYRAPONGO PARA LOS PERIODOS DE ESTIAJE Y
LLUVIAS”**

PARA OPTAR EL TÍTULO PROFESIONAL DE
INGENIERO HIDRÁULICO

AUTOR:

BACH. GUÍVAR SÁNCHEZ, JAIRO.

ASESOR:

DR. ING. VÁSQUEZ RAMÍREZ LUIS.

CAJAMARCA-PERU

2023

AGRADECIMIENTO

A la Escuela Académico Profesional de Ingeniería Hidráulica por facilitarme el correntómetro PASCO PASPort (PS-2130) para el desarrollo de esta investigación.

A mi asesor Dr. Ing. Luis Vásquez Ramírez por el apoyo brindado en el desarrollo de esta investigación

Al Dr. Ing. Francisco Huamán Vidaurre, al Dr. Ing. Gaspar Méndez Cruz, al Mcs. Ing. José Longa Álvarez y al Mcs. Ing. Jairo Álvarez Villanueva por los aportes y comentarios en la mejora de esta investigación.

A los propietarios de las tierras ubicadas en las márgenes del río Cajamarquino en el tramo de estudio, por darme un permiso en todo el tiempo que duró esta investigación.

DEDICATORIA

A Dios principalmente por brindarme esta oportunidad de seguir mejorando en la vida y por las bendiciones que me ha dado.

Principalmente a mis abuelos Rubén Sánchez y Gloriosa Mejía, a mi madre Vilma Sánchez, a mi tío Yony Sánchez y a mi hermano Ronal Guívar quienes me apoyaron en todo momento para seguir adelante en mi educación superior.

Jairo Guívar Sánchez

ÍNDICE

	página
AGRADECIMIENTO.....	ii
DEDICATORIA.....	iii
ÍNDICE	iv
ÍNDICE DE TABLAS	vii
ÍNDICE DE FIGURAS	xiii
ÍNDICE DE GRÁFICOS.....	xv
ÍNDICE DE ANEXOS.....	xvi
RESUMEN.....	xvii
ABSTRACT.....	xviii
CAPÍTULO I. INTRODUCCIÓN	1
1.1. CONTEXTO.....	2
1.2. DESCRIPCIÓN DEL PROBLEMA	2
1.3. FORMULACIÓN DEL PROBLEMA	3
1.4. JUSTIFICACIÓN DE LA INVESTIGACIÓN	3
1.5. ALCANCES	3
1.6. LIMITACIONES	4
1.7. OBJETIVOS.....	4
CAPÍTULO II. MARCO TEÓRICO	5
2.1. ANTECEDENTES TEÓRICOS	5
2.2. BASES TEÓRICAS	6
2.2.1. Ríos de montaña	6
2.2.2. Morfología Fluvial.....	8
2.2.3. Clasificación morfológica de los ríos	9
2.2.4. Perfil Longitudinal	10
2.2.5. Pendiente del cauce	10
2.2.6. Pendiente Uniforme.....	11
2.2.7. Ecuación de Taylor y Schwarz.....	11

2.2.8. Topografía.....	11
2.2.9. Técnicas de muestreo de sedimentos	13
2.2.10. Granulometría de sedimentos del río	14
2.2.11. Clima en Cajamarca	20
2.2.12. Régimen fluvial.....	20
2.2.13. Formación del escurrimiento	20
2.2.14. Caudal	21
2.2.15. Radio Hidráulico	21
2.2.16. Medición del escurrimiento	22
2.2.17. Condiciones de la sección de aforo.....	23
2.2.18. Formas de aforo.....	23
2.2.19. Proceso para realizar el aforo	24
2.2.20. Medición de la velocidad.....	25
2.2.21. Resistencia al flujo.....	26
2.2.23. Ecuaciones basadas en el tamaño del sedimento del lecho	31
2.2.24. Ecuación basada en la velocidad, radio y gradiente hidráulica	34
2.2.25. Ecuaciones basadas en el radio hidráulico y el tamaño del sedimento.....	34
2.2.26. Ecuación basada en el radio hidráulico y la pendiente	36
2.2.27. Ecuación basada en la sumersión relativa y la pendiente del cauce	37
2.2.28. Ecuación de muestreo	38
2.2. DEFINICIÓN DE TÉRMINOS BÁSICOS.....	39
CAPÍTULO III. MATERIALES Y MÉTODOS	40
3.1. ASPECTOS GENERALES.....	40
3.1.1. Ubicación del área de estudio.....	40
3.1.2. Ubicación política y geográfica	40
3.2. EQUIPOS Y MATERIALES UTILIZADOS EN LA INVESTIGACIÓN	42
3.3. PROCEDIMIENTO	42

3.3.1. Caracterización morfológica del río Cajamarquino en el tramo puente Llacanora – Huayrapongo.....	42
3.3.2. Determinación de la granulometría de los sedimentos del cauce del río Cajamarquino en el tramo puente Llacanora-Huayrapongo.....	44
3.3.3. Determinación del coeficiente de rugosidad “n” de Manning.....	46
CAPÍTULO IV. RESULTADOS Y DISCUSIÓN	53
4.1. Caracterización morfológica del río Cajamarquino en el tramo puente Llacanora – Huayrapongo	53
4.1.1. Topografía.....	53
4.1.2. Clasificación morfológica de los ríos	53
4.1.3. Pendiente Longitudinal del cauce	53
4.2. Granulometría de los sedimentos del tramo del río Cajamarquino	54
4.3. Estimación del coeficiente de rugosidad “n” de Manning.....	59
4.3.1. Resultados de la ecuación de Manning.....	59
4.3.2. Resultados de Meyer-Peter y Müller, Raudkin, Garde y Raju	60
4.3.3. Resultados de la ecuación de Limerinos.....	62
4.3.4. Resultados de la ecuación de Griffiths	64
4.3.5. Resultados de la ecuación de Phillip e Ingersoll	65
4.3.6. Resultado de la ecuación de Jarrett	67
4.3.7. Resultado de la ecuación de Sauer	68
4.3.8. Resultado de la ecuación de Riekenmann	70
4.3.9. Contraste de resultados con los antecedentes teóricos	71
CAPITULO V. CONCLUSIONES Y RECOMENDACIONES	73
5.1. CONCLUSIONES.....	73
REFERENCIAS BIBLIOGRÁFICAS	75
ANEXOS.....	77

ÍNDICE DE TABLAS

	página
Tabla 1. Conteo de sedimentos para un análisis granulométrico de sedimento.	14
Tabla 2. Clasificación del American Geophysical Union para sedimentarios.	16
Tabla 3. Sensor de caudal/temperatura PASCO PASPort (PS-2130)	23
Tabla 4. Distancias mínimas entre verticales recomendadas.	24
Tabla 5. Grupo del sedimento con relación a la pendiente de los ríos.....	28
Tabla 6. Grupo del sedimento con relación a la pendiente de los ríos.....	29
Tabla 7. Ubicación política de la zona de estudio	40
Tabla 8. Ubicación geográfica de la zona de estudio	40
Tabla 9. Ubicación de los puntos de muestreo en coordenadas UTM WGS 84.....	45
Tabla 10. Ubicación de los puntos de aforo en coordenadas UTM WGS 84	46
Tabla 11. Ubicación de los puntos de muestreo en coordenadas UTM WGS 84.....	54
Tabla 12. Diámetros característicos del material del lecho del río -Punto N°1	55
Tabla 13. Diámetros característicos del material del lecho del río -Punto N°2	55
Tabla 14. Diámetros característicos del material del lecho del río -Punto N°3	56
Tabla 15. Diámetros característicos del material del lecho del río -Punto N°4	56
Tabla 16. Diámetros característicos del material del lecho del río -Punto N°5	57
Tabla 17. Diámetros característicos del material del lecho del río -Punto N°6	57
Tabla 18. Diámetros característicos del material del lecho del río -Punto N°7	58
Tabla 19. Diámetros característicos del material del lecho del río -Punto N°8	58
Tabla 20. Ubicación de los puntos de aforo en coordenadas UTM WGS 84	59
Tabla 21. Resultados de la ecuación de Manning – Período de estiaje.....	59
Tabla 22. Resultados de la ecuación de Manning – Período de lluvias.	59
Tabla 23. Coeficientes de rugosidad en función del diámetro del sedimento	60
Tabla 24. Porcentaje de variación en los coeficientes de rugosidad	60
Tabla 25. Resultados de la ecuación de Limerinos – Período de estiaje.....	62

Tabla 26. Resultados de la ecuación de Limerinos – Período de lluvias.	62
Tabla 27. Variación de la ecuación de Limerinos y la ecuación de Manning	63
Tabla 28. Resultados de la ecuación de Griffiths – Período de estiaje.	64
Tabla 29. Resultados de la ecuación de Griffiths – Período de lluvias.	64
Tabla 30. Variación de la ecuación de Griffiths y la ecuación de Manning.....	64
Tabla 31. Resultados de la ecuación de Phillip e Ingersoll – Período de estiaje.	65
Tabla 32. Resultados de la ecuación de Phillip e Ingersoll – Período de lluvias.....	65
Tabla 33. Variación de la ecuación de Phillip e Ingersoll y la ecuación de Manning	66
Tabla 34. Resultados de la ecuación de Jarrett – Período de estiaje.	67
Tabla 35. Resultados de la ecuación de Jarrett – Período de lluvias.	67
Tabla 36. Variación de la ecuación de Jarrett y la ecuación de Manning.....	67
Tabla 37. Resultados de la ecuación de Sauer – Período de estiaje.	68
Tabla 38. Resultados de la ecuación de Sauer – Período de lluvias.	68
Tabla 39. Variación de la ecuación de Sauer y la ecuación de Manning.....	69
Tabla 40. Resultados de la ecuación de Riekenmann – Período de estiaje.	70
Tabla 41. Resultados de la ecuación de Riekenmann – Período de lluvias.	70
Tabla 42. Variación de la ecuación de Riekenman y la ecuación de Manning	70
Tabla 43. Pendientes en la sección 1 de aforo	89
Tabla 44. Pendientes en la sección 2 de aforo	89
Tabla 45. Pendientes en la sección 3 de aforo	90
Tabla 46. Pendientes en la sección 4 de aforo	90
Tabla 47. Pendientes en la sección 5 de aforo	91
Tabla 48. Pendientes en la sección 6 de aforo	91
Tabla 49. Pendientes en la sección 7 de aforo	92
Tabla 50. Pendientes en la sección 8 de aforo	92
Tabla 51. Muestreo de sedimentos en el lecho del río – Punto N°1.....	93
Tabla 52. Muestreo de sedimentos en el lecho del río – Punto N°2.....	94

Tabla 53. Muestreo de sedimentos en el lecho del río – Punto N°3.....	95
Tabla 54. Muestreo de sedimentos en el lecho del río – Punto N°4.....	96
Tabla 55. Muestreo de sedimentos en el lecho del río – Punto N°5.....	97
Tabla 56. Muestreo de sedimentos en el lecho del río – Punto N°6.....	98
Tabla 57. Muestreo de sedimentos en el lecho del río – Punto N°7.....	99
Tabla 58. Muestreo de sedimentos en el lecho del río – Punto N°8.....	100
Tabla 59. Aforo en la sección N°1 – Bloque N°1- Época de estiaje	101
Tabla 60. Aforo en la sección N°2 – Bloque N°1- Época de estiaje	101
Tabla 61. Aforo en la sección N°3 – Bloque N°1- Época de estiaje	101
Tabla 62. Aforo en la sección N°4 – Bloque N°1- Época de estiaje	102
Tabla 63. Aforo en la sección N°5 – Bloque N°1- Época de estiaje	102
Tabla 64. Aforo en la sección N°6 – Bloque N°1- Época de estiaje	103
Tabla 65. Aforo en la sección N°7 – Bloque N°1- Época de estiaje	103
Tabla 66. Aforo en la sección N°8 – Bloque N°1- Época de estiaje	104
Tabla 67. Aforo en la sección N°1 – Bloque N°2- Época de estiaje	104
Tabla 68. Aforo en la sección N°2 – Bloque N°2- Época de estiaje	104
Tabla 69. Aforo en la sección N°3 – Bloque N°2- Época de estiaje	105
Tabla 70. Aforo en la sección N°4 – Bloque N°2- Época de estiaje	105
Tabla 71. Aforo en la sección N°5 – Bloque N°2- Época de estiaje	106
Tabla 72. Aforo en la sección N°6 – Bloque N°2- Época de estiaje	106
Tabla 73. Aforo en la sección N°7 – Bloque N°2- Época de estiaje	107
Tabla 74. Aforo en la sección N°8 – Bloque N°2- Época de estiaje	107
Tabla 75. Aforo en la sección N°1 – Bloque N°3- Época de estiaje	108
Tabla 76. Aforo en la sección N°2 – Bloque N°3- Época de estiaje	108
Tabla 77. Aforo en la sección N°3 – Bloque N°3- Época de estiaje	109
Tabla 78. Aforo en la sección N°4 – Bloque N°3- Época de estiaje	109
Tabla 79. Aforo en la sección N°5 – Bloque N°3- Época de estiaje	110

Tabla 80. Aforo en la sección N°6 – Bloque N°3- Época de estiaje	110
Tabla 81. Aforo en la sección N°7 – Bloque N°3- Época de estiaje	111
Tabla 82. Aforo en la sección N°8 – Bloque N°3- Época de estiaje	111
Tabla 83. Aforo en la sección N°1 – Bloque N°4- Época de estiaje	112
Tabla 84. Aforo en la sección N°2 – Bloque N°4- Época de estiaje	112
Tabla 85. Aforo en la sección N°3 – Bloque N°4- Época de estiaje	113
Tabla 86. Aforo en la sección N°4 – Bloque N°4- Época de estiaje	113
Tabla 87. Aforo en la sección N°5 – Bloque N°4- Época de estiaje	114
Tabla 88. Aforo en la sección N°6 – Bloque N°4- Época de estiaje	114
Tabla 89. Aforo en la sección N°7 – Bloque N°4- Época de estiaje	115
Tabla 90. Aforo en la sección N°8 – Bloque N°4- Época de estiaje	115
Tabla 91. Aforo en la sección N°1 – Bloque N°5- Época de estiaje	116
Tabla 92. Aforo en la sección N°2 – Bloque N°5- Época de estiaje	116
Tabla 93. Aforo en la sección N°3 – Bloque N°5- Época de estiaje	117
Tabla 94. Aforo en la sección N°4 – Bloque N°5- Época de estiaje	117
Tabla 95. Aforo en la sección N°5 – Bloque N°5- Época de estiaje	118
Tabla 96. Aforo en la sección N°6 – Bloque N°5- Época de estiaje	118
Tabla 97. Aforo en la sección N°7 – Bloque N°5- Época de estiaje	119
Tabla 98. Aforo en la sección N°8 – Bloque N°5- Época de estiaje	119
Tabla 99. Aforo en la sección N°1 – Bloque N°1- Época de lluvias.....	120
Tabla 100. Aforo en la sección N°2 – Bloque N°1- Época de lluvias.....	121
Tabla 101. Aforo en la sección N°3 – Bloque N°1- Época de lluvias.....	121
Tabla 102. Aforo en la sección N°4 – Bloque N°1- Época de lluvias.....	122
Tabla 103. Aforo en la sección N°5 – Bloque N°1- Época de lluvias.....	123
Tabla 104. Aforo en la sección N°6 – Bloque N°1- Época de lluvias.....	123
Tabla 105. Aforo en la sección N°7 – Bloque N°1- Época de lluvias.....	124
Tabla 106. Aforo en la sección N°8 – Bloque N°1- Época de lluvias.....	124

Tabla 107. Aforo en la sección N°1 – Bloque N°2- Época de lluvias.....	125
Tabla 108. Aforo en la sección N°2 – Bloque N°2- Época de lluvias.....	126
Tabla 109. Aforo en la sección N°3 – Bloque N°2- Época de lluvias.....	126
Tabla 110. Aforo en la sección N°4 – Bloque N°2- Época de lluvias.....	127
Tabla 111. Aforo en la sección N°5 – Bloque N°2- Época de lluvias.....	128
Tabla 112. Aforo en la sección N°6 – Bloque N°2- Época de lluvias.....	128
Tabla 113. Aforo en la sección N°7 – Bloque N°2- Época de lluvias.....	129
Tabla 114. Aforo en la sección N°8 – Bloque N°2- Época de lluvias.....	130
Tabla 115. Aforo en la sección N°1 – Bloque N°3- Época de lluvias.....	131
Tabla 116. Aforo en la sección N°2 – Bloque N°3- Época de lluvias.....	131
Tabla 117. Aforo en la sección N°3 – Bloque N°3- Época de lluvias.....	132
Tabla 118. Aforo en la sección N°4 – Bloque N°3- Época de lluvias.....	133
Tabla 119. Aforo en la sección N°5 – Bloque N°3- Época de lluvias.....	133
Tabla 120. Aforo en la sección N°6 – Bloque N°3- Época de lluvias.....	134
Tabla 121. Aforo en la sección N°7 – Bloque N°3- Época de lluvias.....	135
Tabla 122. Aforo en la sección N°8 – Bloque N°3- Época de lluvias.....	135
Tabla 123. Aforo en la sección N°1 – Bloque N°4- Época de lluvias.....	136
Tabla 124. Aforo en la sección N°2 – Bloque N°4- Época de lluvias.....	137
Tabla 125. Aforo en la sección N°3 – Bloque N°4- Época de lluvias.....	137
Tabla 126. Aforo en la sección N°4 – Bloque N°4- Época de lluvias.....	138
Tabla 127. Aforo en la sección N°5 – Bloque N°4- Época de lluvias.....	139
Tabla 128. Aforo en la sección N°6 – Bloque N°4- Época de lluvias.....	139
Tabla 129. Aforo en la sección N°7 – Bloque N°4- Época de lluvias.....	140
Tabla 130. Aforo en la sección N°8 – Bloque N°4- Época de lluvias.....	141
Tabla 131. Aforo en la sección N°1 – Bloque N°5- Época de lluvias.....	142
Tabla 132. Aforo en la sección N°2 – Bloque N°5- Época de lluvias.....	142
Tabla 133. Aforo en la sección N°3 – Bloque N°5- Época de lluvias.....	143

Tabla 134. Aforo en la sección N°4 – Bloque N°5- Época de lluvias.....	144
Tabla 135. Aforo en la sección N°5 – Bloque N°5- Época de lluvias.....	144
Tabla 136. Aforo en la sección N°6 – Bloque N°5- Época de lluvias.....	145
Tabla 137. Aforo en la sección N°7 – Bloque N°5- Época de lluvias.....	146
Tabla 138. Aforo en la sección N°8 – Bloque N°5- Época de lluvias.....	146
Tabla 139. Resultados de la ecuación de Manning – Período de estiaje.....	148
Tabla 140. Resultados de la ecuación de Manning – Período de lluvias	149
Tabla 141. Resultados de la ecuación de Limerinos – Período de estiaje.....	150
Tabla 142. Resultados de la ecuación de Limerinos – Período de lluvias	151
Tabla 143. Resultados de la ecuación de Griffiths – Período de estiaje	152
Tabla 144. Resultados de la ecuación de Griffiths – Período de lluvias	153
Tabla 145. Resultados de la ecuación de Phillip e Ingersoll – Período de estiaje	154
Tabla 146. Resultados de la ecuación de Phillip e Ingersoll – Período de lluvias....	155
Tabla 147. Resultados de la ecuación de Jarrett – Período de estiaje	156
Tabla 148. Resultados de la ecuación de Jarrett – Período de lluvias	157
Tabla 149. Resultados de la ecuación de Sauer – Período de estiaje	158
Tabla 150. Resultados de la ecuación de Sauer – Período de lluvias	159
Tabla 151. Resultados de la ecuación Riekenmann – Período de estiaje	160
Tabla 152. Resultados de la ecuación de Riekenmann – Período de lluvias	160

ÍNDICE DE FIGURAS

	página
Figura 1. Características típicas de un río de montaña	7
Figura 2. Características típicas de un río de montaña	8
Figura 3. Clasificación morfológica de los ríos	10
Figura 4. Perfil longitudinal de un cauce fluvial	10
Figura 5. Sistema cartesiano tridimensional.....	12
Figura 6. Ejes imaginarios de una partícula	15
Figura 7. Distribución continua de los tamaños y curva granulométrica continua..	15
Figura 8. Distribuciones granulométricas del sedimento del lecho	17
Figura 9. Tipos de distribuciones granulométricas de sedimento del lecho.....	17
Figura 10. tipos diferentes de curvas granulométricas.	19
Figura 11. Suelo bien graduado	19
Figura 12. Suelo de graduación uniforme	19
Figura 13. Suelo de graduación discontinua	19
Figura 14. Formación del escurrimiento	21
Figura 15. Sensor de caudal / temperatura PASCO PASPort (PS-2130).....	22
Figura 16. Espejo de agua en un río	24
Figura 17. Tramos de la sección	24
Figura 18. Tramos de la sección	25
Figura 19. Tramos de la sección	25
Figura 20. Distribuciones de velocidades según la profundidad.....	26
Figura 21. Variación de la velocidad según la profundidad.....	26
Figura 22. Variación de la rugosidad durante una avenida.	27
Figura 23. Perfil de un lecho con dunas	28
Figura 24. Sedimentos gruesos en un río de montaña.....	30
Figura 25. Regiones de flujo turbulento en un canal.....	32

Figura 26. Tramo de estudio - Río Cajamarquino (L= 5320 m)	40
Figura 27. Ubicación Regional del río	41
Figura 29. Ubicación Distrital del río 1	41
Figura 31. Levantamiento topográfico	43
Figura 32. Secado de la muestra granulométrica de los sedimentos del río	45
Figura 33. Aforo en la sección N°4, época de lluvias	46
Figura 34. Longitud del tramo del río Cajamarquino	53
Figura 35. Aforo en la sección N°1 del día 21/09/2022, Q= 1.047m³/s y n= 0.083	77
Figura 36. Aforo en la sección N°2 del día 25/07/2022, Q= 0.576m³/s y n= 0.081	77
Figura 37. Aforo en la sección N°3 del día 13/08/2022, Q= 0.778m³/s y n= 0.082	78
Figura 38. Aforo en la sección N°4 del día 17/07/2022, Q= 0.266m³/s y n= 0.097	78
Figura 39. Aforo en la sección N°5 del día 25/07/2022, Q= 0.490m³/s y n= 0.082	79
Figura 40. Aforo en la sección N°6 del día 17/07/2022, Q= 0.278m³/s y n= 0.096	79
Figura 41. Aforo en la sección N°7 del día 21/09/2022, Q= 1.005m³/s y n= 0.067	80
Figura 42. Aforo en la sección N°8 del día 13/08/2022, Q= 0.741m³/s y n= 0.054	80
Figura 43. Aforo en la sección N°1 del día 25/10/2022, Q= 4.049m³/s y n= 0.080	81
Figura 44. Aforo en la sección N°2 del día 25/10/2022, Q= 4.027m³/s y n= 0.057	81
Figura 45. Aforo en la sección N°3 del día 02/01/2023, Q= 6.312m³/s y n= 0.074	82
Figura 46. Aforo en la sección N°5 del día 26/12/2022, Q= 6.585m³/s y n= 0.053	82
Figura 47. Aforo en la sección N°8 del día 12/01/2023, Q= 8.83m³/s y n= 0.035	83
Figura 48. Muestreo de sedimentos en el punto N°8	83
Figura 49. Muestreo de sedimentos en el punto N°7	84
Figura 50. Muestreo de sedimentos en el punto N°6	84
Figura 51. Muestreo de sedimentos en el punto N°5	85
Figura 52. Muestreo de sedimentos en el punto N°4	85
Figura 53. Muestreo de sedimentos en el punto N°3	86
Figura 54. Muestreo de sedimentos en el punto N°2	86

Figura 55. Muestreo de sedimentos en el punto N°1	87
Figura 56. Secado de la muestra en el laboratorio de mecánica de suelos	87
Figura 57. Tamizado de la muestra de sedimentos del río	88
Figura 58. pesado de la muestra en el laboratorio.	88

ÍNDICE DE GRÁFICOS

	página
Gráfico 1. Correlación de Manning vs Meyer-Peter y Müller.	61
Gráfico 2. Correlación de Manning vs Raudkin.....	61
Gráfico 3. Correlación de Manning vs Garde y Raju	62
Gráfico 4. Correlación de Manning vs Limerinos	63
Gráfico 5. Correlación de Manning vs Griffiths.....	65
Gráfico 6. Correlación de Manning vs Phillip e Ingersoll	66
Gráfico 7. Correlación de Manning vs Jarrett	68
Gráfico 8. Correlación de Manning vs Sauer	69
Gráfico 9. Correlación de Manning vs Riekenmann.....	71
Gráfico 10. Curva granulométrica extendida de la muestra N°1	93
Gráfico 11. Curva granulométrica extendida de la muestra N°2	94
Gráfico 12. Curva granulométrica extendida de la muestra N°3	95
Gráfico 13. Curva granulométrica extendida de la muestra N°4	96
Gráfico 14. Curva granulométrica extendida de la muestra N°5	97
Gráfico 15. Curva granulométrica extendida de la muestra N°6	98
Gráfico 16. Curva granulométrica extendida de la muestra N°7	99
Gráfico 17. Curva granulométrica extendida de la muestra N°8	100

ÍNDICE DE ANEXOS

	página
ANEXO N°1: PANEL FOTOGRÁFICO	77
ANEXO N°2: TOPOGRAFÍA.....	89
ANEXO N°3: ANÁLISIS GRANULOMÉTRICO	93
ANEXO N°4: AFOROS EN LAS SECCIONES DEL RÍO	101
ANEXO N°5: COEFICIENTES DE RUGOSIDAD.....	148
ANEXO N°6: PLANOS.....	161

RESUMEN

El objetivo de esta investigación fue estimar el coeficiente de rugosidad de Manning en el cauce del río Cajamarquino, tramo puente Llacanora-Huayrapongo para los periodos de estiaje y lluvias. Se utilizó las ecuaciones empíricas de Meyer – Peter y Muller , Raudkin, Garde y Raju, Manning, Limerinos, Griffiths, Phillip e Ingersoll, Jarrett, Sauer y Riekenmann. Los aforos para el período de estiaje se realizó en los meses de Julio, Agosto y Setiembre del 2022 y en el período de lluvias entre los meses de Octubre y Diciembre del 2022, y en Enero del 2023. Las ecuaciones utilizadas fueron de Meyer – Peter y Muller , Raudkin, Garde y Raju arrojaron un valor promedio de rugosidad de 0.028, 0.029 y 0.032 respectivamente y en el período de estiaje, las ecuaciones de Manning, Limerinos, Griffiths, Phillip e Ingersoll, Jarrett, Sauer y Riekenmann tuvieron un valor promedio en la rugosidad de 0.074, 0.061, 0.061, 0.039, 0.061, 0.043 y 0.071 y para el período lluvioso, el coeficiente de rugosidad fue de 0.054, 0.045, 0.046, 0.033, 0.053, 0.046 y 0.054 respectivamente. Finalmente, de las metodologías aplicadas, para el período de estiaje la ecuación de Riekenmann tiene los mejores resultados con relación a la ecuación de Manning con una variación porcentual de -6.03% y para el período lluvioso es la ecuación de Jarrett con una variación porcentual de -0.5% a comparación de la ecuación de Manning, de esta manera las ecuaciones de Riekenmann y Jarrett se ajustan a las condiciones de la morfología, la granulometría de los sedimentos y al régimen de flujo en el río Cajamarquino, tramo puente Llacanora – Huayrapongo.

Palabras clave: coeficiente de rugosidad, ecuaciones empíricas, estiaje, lluvias.

ABSTRACT

The objective of this research was to estimate the Manning roughness coefficient in the Cajamarquino riverbed, Llacanora-Huayrapongo bridge section for dry and rainy periods. The empirical equations of Meyer - Peter and Muller, Raudkin, Garde and Raju, Manning, Limerinos, Griffiths, Phillip and Ingersoll, Jarrett, Sauer and Riekenmann were used. The gauging for the dry season was carried out in the months of July, August and September 2022 and in the rainy period between the months of October and December 2022, and in January 2023. The equations used were Meyer - Peter and Muller , Raudkin, Garde and Raju gave an average roughness value of 0.028, 0.029 and 0.032 respectively and in the dry season, the Manning, Limerinos, Griffiths, Phillip and Ingersoll, Jarrett, Sauer and Riekenmann equations had an average value in the roughness of 0.074, 0.061, 0.061, 0.039, 0.061, 0.043 and 0.071 and for the rainy season, the roughness coefficient was 0.054, 0.045, 0.046, 0.033, 0.053, 0.046 and 0.054 respectively. Finally, of the methodologies applied, for the dry season the Riekenmann equation has the best results in relation to the Manning equation with a percentage variation of -6.03% and for the rainy season it is the Jarrett equation with a percentage variation of -0.5% compared to the Manning equation, in this way the Riekenmann and Jarrett equations are adjusted to the conditions of the morphology, the granulometry of the sediments and the flow regime in the Cajamarca River, Llacanora – Huayrapongo bridge section.

Keywords: roughness coefficient, empirical equations, dry season, rainfall

CAPÍTULO I. INTRODUCCIÓN

La investigación titulada: “Rugosidad de Manning en el cauce del río Cajamarquino, tramo puente Llacanora-Huayrapongo para los periodos de estiaje y lluvias” se realizó con la finalidad de estimar el coeficiente de rugosidad n de Manning utilizando 10 métodos: ecuación de Meyer-Peter y Müller, ecuación de Raudkin, ecuación de Garde y Raju, ecuación de Manning, ecuación de Limerinos, ecuación de Griffiths, ecuación de Phillip e Ingersoll, ecuación de Jarrett, ecuación de Sauer y ecuación de Riekenmann.

La investigación se realizó en un tramo de 5320 m del río Cajamarquino acotado desde el puente Llacanora en el distrito de llacanora en las coordenadas UTM WGS84, E: 784035, N: 9203598 Y a una altitud de 2589.25 msnm; llegando hasta el sector de Huayrapongo en el distrito de Baños del Inca en las coordenadas UTM WGS84, E: 780340, N: 9205097 y a una altitud de 2631 msnm

La investigación estuvo compuesta por un conjunto de pasos escalonados y metodológicos que inicia desde la topografía de todo el tramo estudiado desde el puente Llacanora – Huayrapongo (Río Cajamarquino), ubicación de las 8 secciones de aforo para los periodos de estiaje y lluvias, ubicación de los puntos de muestreo sedimentológico del lecho, así como la extracción, transporte al laboratorio de mecanica de suelos, tamizado y pesado de la muestra para generar las curvas granulométricas. Finalmente la aplicación de las ecuaciones para estimar el coeficiente de rugosidad n de Manning y sacar un promedio por ecuación y por temporada de estiaje y lluvias.

En el tramo estudiado del río Cajamarquino, existe una alta demanda de los pobladores en la construcción de puentes para pasar de sus viviendas a las vías de comunicación y captaciones de río para mejorar sus campos agrícolas y ganaderos. Así contribuir en el futuro la eficiencia de los diseños en las estructuras hidráulicas, en un sector altamente dependiente del recurso hídrico.

1.1. CONTEXTO

En el Perú hasta hace unos años no se había enfocado en el estudio de los ríos de montaña ya que estos se encuentran frecuentemente en las regiones con poca población, alejado de las ciudades más importantes y por la altitud de que estos se encuentran; estos ríos se caracterizan por presentar cauces con mayor pendiente longitudinal, con presencia de sedimentos variados y de dimensiones considerables. Actualmente existe una carencia de información en el coeficiente n de Manning en los lechos fluviales, los cuales no están estimados con valores para cada tramo.

El problema más importante en la hidráulica fluvial es la resistencia del lecho fluvial al avance del agua, pues su determinación es la base para la solución de muchos problemas relacionados con la citada disciplina. En los diseños hidráulicos los especialistas se basan en tablas, fotografías calibradas y otras metodologías para asociar los coeficientes de rugosidad con las condiciones que presenta el tramo del río destinado a algún proyecto o investigación científica.

Los modelos numéricos 2D en el área de hidráulica necesitan el coeficiente como insumo para el procesamiento de la información numérica, así obtener un mejor manejo de las aguas fluviales con aplicaciones directas en captaciones de río, puentes, pasos aéreos de conductos de agua, defensas rivereñas, muros de contención, franja marginal, inundaciones y entre otros. De esta manera el parámetro n es de alta importancia en el proceso de modelamiento hidráulico.

1.2. DESCRIPCIÓN DEL PROBLEMA

En el río Cajamarquino en el tramo del puente Llacanora-Huayrapongo es una fuente de aprovechamiento de agua para riego, existiendo áreas agrícolas que requieren obras de derivación, también existe un tránsito permanente de personas de una margen del río hacia la carretera principal Baños del Inca – Llacanora y que necesitan la construcción de puentes. Actualmente las estructuras emplazadas a lo largo del tramo de estudio se encuentran en mal estado y han sido diseñadas utilizando coeficientes de rugosidad de tablas y fotografías de la bibliografía existente, que tienen muy poco acierto en los ríos de montaña.

1.3. FORMULACIÓN DEL PROBLEMA

¿Qué valores del coeficiente de rugosidad de Manning presenta el río Cajamarquino, en el tramo puente Llacanora-Huayrapongo para los períodos de estiaje y lluvias?

1.4. JUSTIFICACIÓN DE LA INVESTIGACIÓN

En el río Cajamarquino, tramo Puente Llacanora-Huayrapongo es importante estimar los coeficientes de resistencia para el período lluvioso y el período de estiaje y así mejorar los diseños de las estructuras hidráulicas. Para el período lluvioso es fundamental la determinación de caudales máximos con aplicaciones en el modelado numérico del cauce fluvial, diseño de captaciones, altura del tablero de los puentes, altura de pasos aéreos, inundaciones, transporte de sedimentos y erosión. Los coeficientes de resistencia determinados para el período de estiaje están ligados a la determinación de caudales mínimos con aplicaciones en el caudal ecológico para la conservación de los sistemas acuáticos y diseño de captaciones.

1.5. ALCANCES

La presente investigación estimó el coeficiente de rugosidad de Manning en un tramo de 5320 m en el río Cajamarquino, específicamente desde el puente Llacanora (Distrito de Llacanora) hasta el sector de Huayrapongo (Distrito de Baños del Inca), donde el cauce fluvial estuvo libre de afluentes que puedan variar los caudales para el estudio; la muestra se determinó con un nivel de significancia del 95%, con un error del 5% y una población de 61700 m (Longitud del río Cajamarquino), obteniéndose un valor de 381.80 m, las cuales el tramo estudiado sobrepasa la muestra calculada. El tramo del río es de alta importancia para la población, para ser utilizada como fuente de aprovechamiento de agua para el sector ganadero y agrícola, específicamente en el diseño de las captaciones; así como también para el diseño de puentes, de esta manera la población tenga vías de acceso entre ambos lados del río y finalmente los resultados de esta investigación van a mejorar el diseño del muro de contención en las márgenes de la ciudad de Llacanora que actualmente está destruido y que representa un peligro latente para la población.

Las metodologías realizadas en esta investigación son aplicables a otros ríos de montaña que tengan características similares en la morfología, granulometrías extendidas y régimen de flujo.

1.6. LIMITACIONES

Los aforos con el correntómetro PASCO PASPort (PS-2130) no se realizaron a los caudales picos de los meses lluviosos, por la gran dificultad al momento de ingresar al río, principalmente por la profundidad y velocidad del agua.

1.7. OBJETIVOS

1.1.1. Objetivo general

- Estimar la rugosidad de Manning en el río Cajamarquino en el tramo puente Llacanora-Huayrapongo para los periodos de estiaje y lluvias.

1.1.2. Objetivos Específicos

- Caracterizar morfológicamente el río Cajamarquino en el tramo puente Llacanora-Huayrapongo.
- Determinar la granulometría de los sedimentos del cauce del río Cajamarquino en el tramo puente Llacanora-Huayrapongo.
- Determinar el coeficiente de rugosidad “n” con la ecuación de Manning para los periodos en 3 meses de estiaje y 3 en meses lluviosos.
- Determinar el coeficiente de rugosidad “n”, utilizando los métodos: Ecuación de Meyer-Peter y Müller, Raudkin, Garde y Raju, y su relación existente con la ecuación de Manning en los periodos de estiaje y lluvias
- Determinar el coeficiente de rugosidad “n”, en 3 meses de estiaje, utilizando los métodos: Ecuación de Limerinos, Griffiths, Phillip e Ingersoll, Jarrett, Sauer y Riekenmann, y su relación existente con el coeficiente de rugosidad de la ecuación de Manning del período de estiaje.
- Determinar el coeficiente de rugosidad “n”, en 3 meses lluviosos, utilizando los métodos: Ecuación de Limerinos, Griffiths, Phillip e Ingersoll, Jarrett, Sauer y Riekenmann, y su relación existente con el coeficiente de rugosidad de la ecuación de Manning del período lluvioso.

CAPÍTULO II. MARCO TEÓRICO

2.1. ANTECEDENTES TEÓRICOS

En la tesis titulada: “Estimación del coeficiente de rugosidad de Manning mediante mediciones de velocidad y profundidad, utilizando un molinete hidrométrico, en el río Chonta, Cajamarca, 2016”, en un río de montaña con presencia de gravas, guijarros y cantos, se obtuvo una ecuación en función al d_{30} para predecir el coeficiente de rugosidad en el tramo de estudio: $n = 0.0438(d_{30})^{1/6}$. Ademas obteniendo con la ecuación de Manning valores que varían de 0.1151 a 0.0570 en el tramo estudiado. (Burgos, 2016)

En la tesis titulada: “Modelo de estimación del coeficiente de rugosidad de Manning con relación a la granulometría del río Santa, sector Recuay-Carhuaz-Ancash, 2019”, utilizó los métodos de Manning y medición de velocidad; obteniendo valores desde 0.0364 hasta 0.068, con un valor promedio de 0.043 a lo largo del tramo de estudio para la ecuación de Manning. (Rosales, 2019)

En la tesis titulada: “Determinación del coeficiente de rugosidad del río Tomebamba mediante fórmulas empíricas”, utilizaron las ecuaciones de Meyer-Peter y Müler, Raudkin, Garden y Raju, en el río hay presencia de partículas predominantes de gravas, guijarros y cantos rodados donde la partícula de mayor tamaño tiene 3.1m y el diámetro promedio de 0.23m, sus diámetros característicos utilizados en las ecuaciones son: d_{90} , d_{65} y d_{50} ; de esta manera obteniéndose valores promedios del coeficiente de rugosidad: 0.033, 0.032 y 0.035 respectivamente; mientras las ecuación de Limerinos se tuvo un mínimo de 0.029 y un máximo de 0.085, con un valor promedio de 0.061 y para la ecuación de Jarrett se obtuvieron valores mínimos y máximos de 0.038 a 0.111 respectivamente, con un valor promedio de 0.091. (Solano, 2020)

En la investigación: “Enfoque basado en ANFIS para predecir el coeficiente de rugosidad de Manning en canales aluviales”, utilizan la ecuación de Sauer obteniendo valores de 0.029 y 0.041, la ecuación de Griffiths obteniendo valores entre 0.042 y 0.044 y la ecuación de Phillip e Ingersoll obteniendo valores entre 0.039 a 0.052. (Mohammadi, 2012)

2.2. BASES TEÓRICAS

2.2.1. Ríos de montaña

Se tiene un aproximado del 27% de la superficie terrestre considerado como regiones de montaña, así como también el 10% de la población mundial vive en laderas de alta montaña y como resultado final más del 50% de los habitantes en la tierra depende de forma indirecta o directamente de los recursos de la montaña (FAO, 2000)

Lo más resaltante de las áreas montañosas es el aporte del recurso hídrico a nivel mundial, como por ejemplo en promedio el 63% de las aportaciones hídricas anuales en 19 cuencas y a lo largo de 4 continentes se generan en las áreas de montaña y como consecuencia con relación al caudal específico en las zonas de montaña cuadriplica a las zonas de llanura; con una relación del efecto orográfico en las precipitaciones, se tiene data que el pico de las precipitaciones con relación a la altitud está entre los 1500 a 4000 msnm, las cuales presentan menor evaporación en dichas zonas. El balance hídrico que suponen estas cifras estimadas, el consumo de las poblaciones del recurso no ha dejado de incrementarse y es así como entre los años de 1940 y 1990 se incrementó a razón de 4 veces (Liniger & Weingartner, 1998)

El transporte de los sedimentos que provienen de las cuencas a los océanos refleja la importancia de las zonas de montaña sobre las planicies; es así que, en un estudio realizado a 280 ríos en diferentes continentes, se ha determinado que el 80% de los sedimentos tiene su origen en las zonas de montaña (Milliam & Syvitski, 1992)

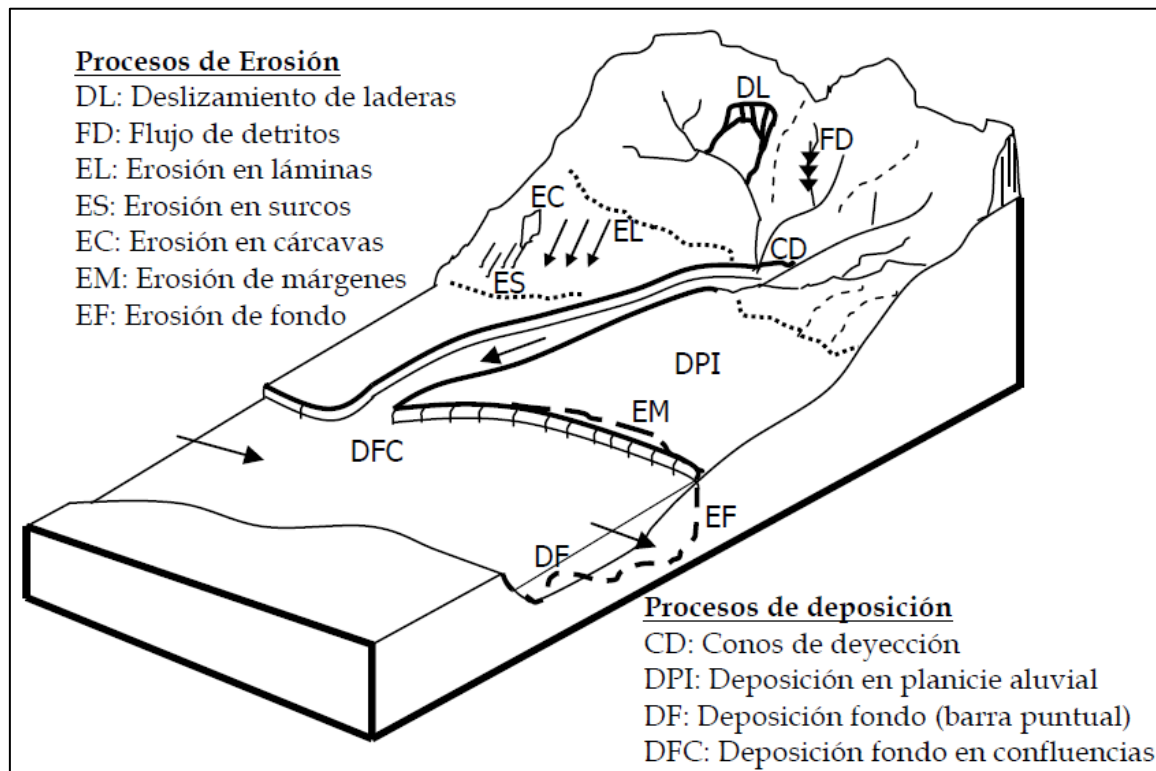
Un río de montaña se define en función a varios criterios, tales como: Los cursos de agua natural, perenne o intermitente que fluyen en regiones clasificadas como de montaña y el otro criterio utilizado es la pendiente longitudinal del cauce que tiene valores iguales o superiores a 0.2% (Jarrett, 1990)

a. Características de los ríos de montaña

Los ríos de montaña presentan fuertes pendientes y rugosidad a gran escala o a nivel de intermedio. Los elementos de rugosidad provocan localmente que el flujo no sea uniforme ocasionando zonas de separación, aceleración y desaceleración. Las pendientes pronunciadas provocan variaciones en las velocidades de las descargas, número de Froude, Reynolds y sumersión relativa; en consecuencia, los ríos de montaña presentan en general variaciones considerables.

Las características importantes en los ríos de montaña son: en relación con el régimen hidrológico estacional, con una amplia variabilidad espacial y temporal de la escorrentía y otra característica es la hidráulica, provocando elevadas susceptibilidades erosivas a perturbaciones en la cuenca (Bathurst, Li & Simons, 1979)

Figura 1. Características típicas de un río de montaña

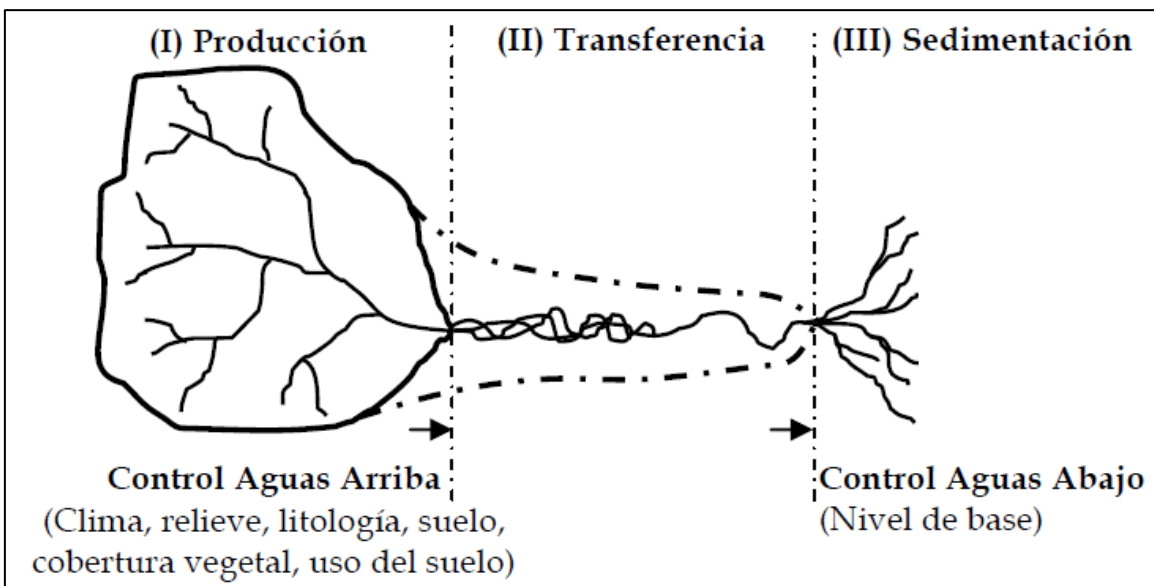


Fuente: (Cruz & Guerra, 2017)

b. Zonificación de los sistemas fluviales

Los sistemas fluviales casi en su totalidad están divididos en diferentes partes como por ejemplo la que inicia en la cota más alta que es la producción, después de esta sigue la siguiente que es la de transferencia y en la parte más baja se ubica la zona de sedimentación, abarcando un área de hasta de miles de km², la parte más alta es donde inicia el aporte de sedimentos, estrechamente ligado a la litología, relieve, suelo, uso de suelo, cobertura vegetal y entre otros; toda la carga de flujo y sedimentos procede de manera directa a la zona de transferencia y finalmente en la zona de sedimentación la densidad de drenaje es netamente alta. (Basile, 2018)

Figura 2. Características típicas de un río de montaña



Fuente: (Basile, 2018)

c. Interrelación de procesos sedimentarios

La erosión es un proceso que se origina en la naturaleza sin perturbaciones externas, con porcentajes de erosión que están en relación con las condiciones locales de cada cuenca hidrográfica. La cobertura vegetal en la cuenca protege de las precipitaciones, de esta manera los agregados gruesos y partículas finas no son arrastradas en su totalidad por el flujo superficial.

Un río aluvial equilibrado es el que a través de los años su pendiente es frágilmente ajustada para brindar, junto con la disponibilidad del caudal y las características morfosedimentológicas la velocidad requerida para el transporte de la carga de sedimentos que ofrece la cuenca. (Basile, 2018)

2.2.2. Morfología Fluvial

Es la disciplina que estudia las diferentes formas del río, abarcando los cambios que experimenta en su sección longitudinal, así como en la sección transversal. El comportamiento de un río está relacionado con la topografía, de esta manera las formas que adopta en una zona plana y en otra de fuerte pendiente son diferentes y también el comportamiento fluvial está asociado a las condiciones geológicas donde se encuentre, así los estratos cuaternarios o terciarios son importantes en los cambios de las formas fluviales (Rocha, 1998)

2.2.3. Clasificación morfológica de los ríos

Los cursos fluviales presentan 4 formas:

a. Ríos rectos

Generalmente se dan en pequeños tramos y son de naturaleza transitoria, tienden a una alineación recta, ya que realmente rectos son muy difícil de encontrar en la naturaleza. Generalmente están en las planicies y no son aptas para lograr velocidades erosivas. Los ríos rectos se clasifican con valores de sinuosidad no mayor a 1.2 (Maza & García, 1997)

b. Ríos Sinuosos

Estos ríos están en una fase intermedia entre los ríos rectos y meándricos, son poco erosionables y están limitados por la geografía de la montaña, el transporte de sólidos no es muy grande, de flujo característico en las curvas, pertenecientes a ríos maduros. En su clasificación son aquellos ríos que se encuentran entre valores superiores a 1.2 y menores 1.5 en los resultados usando la ecuación de la sinuosidad (Maza & García, 1997)

c. Ríos con meandro

En su configuración presenta curvas consecutivas en diversidad de formas y tamaños, están relacionadas con las características del material de sus márgenes. Un río meandrífico tiene una sinuosidad superior a 1.5 (Maza & García, 1997)

Lane en sus trabajos experimentales para distinguir ríos meandríficos de los trenzados, ha establecido el criterio en función del caudal medio anual y la pendiente del río; donde $SQ^{0.25} < 0.0007$, considerado río a meandros (Rocha, 2004)

Se establece una ecuación para cuantificar la sinuosidad en el cauce fluvial:

$$S = \frac{\overline{ABC}}{\overline{AC}} \quad (1)$$

Donde:

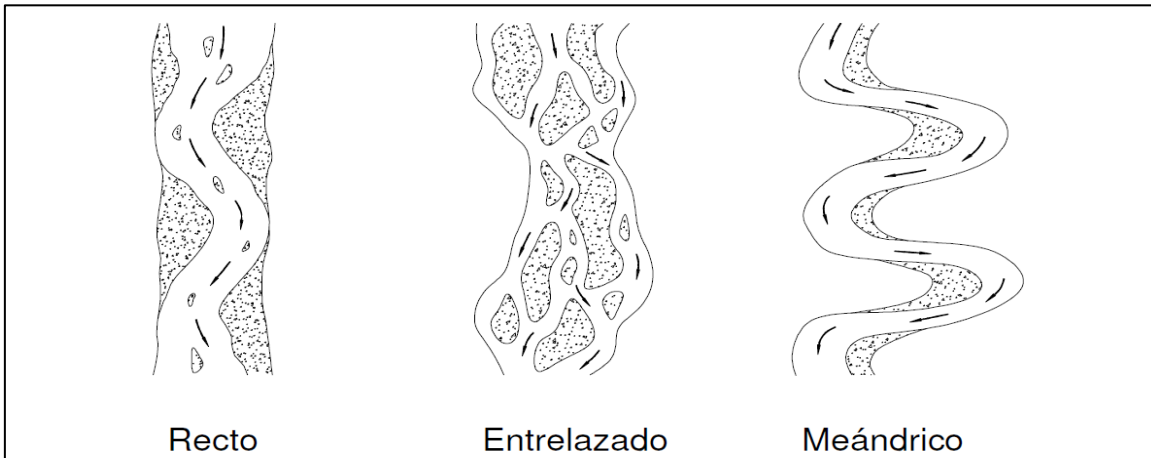
\overline{ABC} : Longitud del Talweg.

\overline{AC} : Longitud del valle.

d. Ríos Trenzados

Son los que están conformados por canales interconectados, dando la apariencia de una trenza visto desde arriba, el trenzado en ríos con formaciones de barras por la acumulación de sedimentos puede ocurrir por diferentes pendientes y para los ríos de naturaleza sedimentaria se cree que ocurre por los depósitos de materiales transportados durante las avenidas. Para Lane la ecuación que clasifica como río trenzado está en relación con el caudal medio anual y a la pendiente del río, $SQ^{0.25} > 0.0041$ (Rocha, 2004)

Figura 3. Clasificación morfológica de los ríos

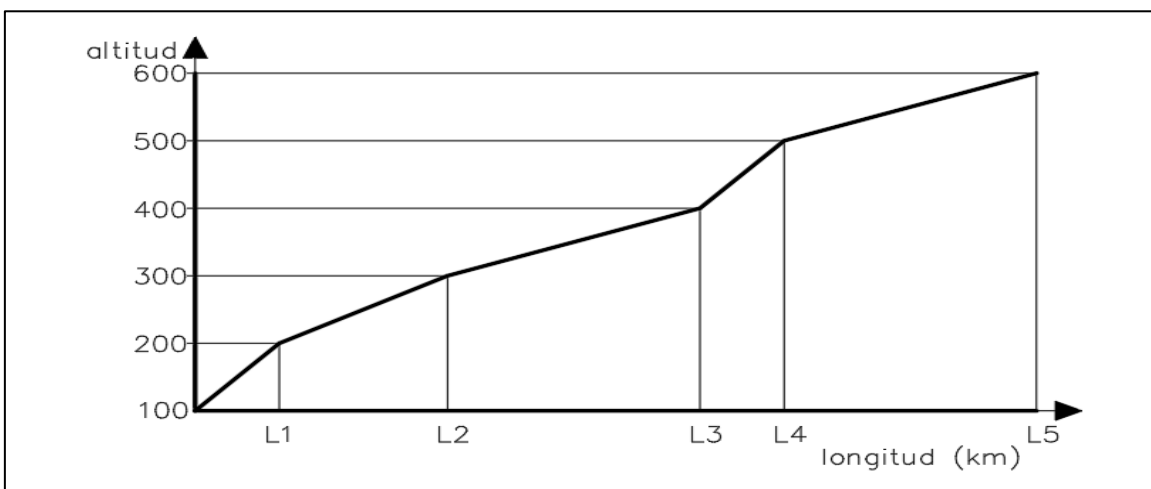


Fuente: (Rocha, 1998)

2.2.4. Perfil Longitudinal

Es la representación gráfica de la proyección horizontal de la longitud de un curso fluvial versus su altitud. La importancia radica en que proporciona información sobre las pendientes en diferentes tramos a lo largo de su recorrido, facilitando la mejor elección para la construcción de estructuras hidráulicas (Villón, 2004)

Figura 4. Perfil longitudinal de un cauce fluvial



Fuente: (Villón, 2004)

2.2.5. Pendiente del cauce

La pendiente de un curso fluvial es variable a lo largo de todo su recorrido, desde el nacimiento en las partes altas hasta las desembocaduras. Por lo general en las partes altas están las mayores pendientes que presentan altas velocidades en las corrientes de flujo y en las partes bajas se encuentran las pendientes disminuidas notablemente que mantienen velocidades de flujo menores (Rocha, 1998)

2.2.6. Pendiente Uniforme

Es el resultado que existe entre el desnivel de los extremos del cauce y la proyección horizontal de su recorrido (Villón, 2004)

$$S = \frac{H}{L} \quad (2)$$

Donde:

S: Pendiente

H: Diferencia de cotas entre los extremos del río (Km)

L: Longitud del río (Km)

2.2.7. Ecuación de Taylor y Schwarz

Esta ecuación plantea tramos de diferente o igual longitud y pendiente para cada uno de ellos, mientras mayor sea el número de tramos, la pendiente del cauce se aproximará mejor (Villón, 2004)

$$S = \left[\frac{L}{\frac{L_1}{\sqrt{S_1}} + \frac{L_2}{\sqrt{S_2}} + \dots + \frac{L_n}{\sqrt{S_n}}} \right]^2 \quad (3)$$

Donde:

S: Pendiente

L: Longitud total del río

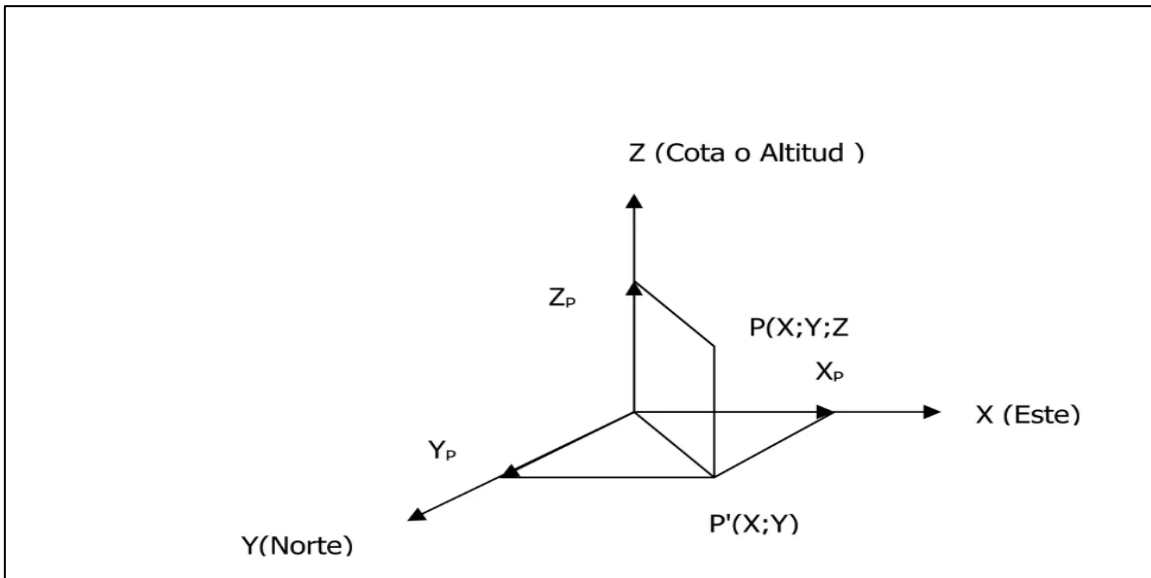
Ln: Longitud del tramo n

Sn: Pendiente del tramo n

2.2.8. Topografía

Es una ciencia con bases matemáticas, principalmente en geometría y trigonometría que representa en 2D o 3D una porción restringida de la superficie de la tierra, con los sistemas cartesianos bidimensionales y tridimensionales (Valencia, 2008)

Figura 5. Sistema cartesiano tridimensional



Fuente: (Valencia, 2008)

Donde:

X_p : Proyección Este de P

Y_p : Proyección Norte de P

Z_p : Cota o altitud de P

a. Levantamiento topográfico

Es un conjunto de actividades para determinar la posición de puntos en el espacio y su representación en el plano (Valencia, 2008)

El conjunto de actividades es:

- La selección de la metodología para el levantamiento (Poligonal, triangulación, radiación, intersección inversa, perfiles y contorno)
- Selección del instrumento a utilizar (nivel de ingeniero, estación total, regla, jalón, prisma, entre otros)
- Identificación y ubicación de vértices de apoyo (red geodésica nacional, red geodésica de nivelación nacional, red GPS y red local)
- Realización de mediciones en campo en forma directa o indirectamente.
- Registro de la toma de datos en forma manual o automatizada.
- Procesamiento de datos y realización de planos utilizando softwares.

2.2.9. Técnicas de muestreo de sedimentos

El muestreo de los sedimentos es recomendable utilizar en todo el tramo del río en estudio y el número de muestras está en relación con la homogeneidad que presenten en el lecho, las muestras se pueden tomar en islas, en barras y en el fondo del agua. Cuando se estudia el coeficiente de resistencia hidráulica en un tramo específico del río, lo recomendable por los especialistas es realizar un muestreo de los materiales superficiales del lecho fluvial, pero en el caso de los ríos de montaña es muy común que las máximas avenidas destruyan la capa superficial del lecho, y de manera consecuente es necesario realizar también un muestreo volumétrico de los sedimentos en la parte subsuperficial del cauce. (Ochoa, 2011)

La metodología más completa es el muestreo volumétrico, implica extraer del cauce del río un cierto volumen del material “subsuperficial”. Esto consiste en retirar del cauce la capa superficial en un espesor equiparable al tamaño de la mayor partícula observada en la superficie. El volumen que se deberá extraer debe ser representativo del material granular del cauce, para ello se sigue un criterio de que la mayor partícula extraída no represente más de 1% en peso de toda la muestra, o también para mayor precisión el 0.1% en peso. Por ejemplo, se tiene un $D_{máx} = 10\text{cm}$ y estos criterios dan entre 100 y 1000kg respectivamente.

$$P = D_{máx} * 10 \quad (4)$$

Donde:

P: Peso a extraer (kg)

$D_{máx}$: Diámetro máximo observado (cm)

Para los sedimentos del cauce que son gruesos se realiza un muestreo superficial del lecho y se tiene: el conteo de clastos, muestreo areal y el método por grillado. En la metodología de Wolman se realiza un muestreo de manera aleatoria de al menos 100 clastos en el recorrido de una transecta, es decir el recorrido se hace a pie a lo largo de la transecta que varía entre uno o dos pasos, se extrae el clasto está debajo del pie; generalmente se recorre varias transectas y que éstas son paralelas, abarcando un área de 100 m² aproximadamente, en otros términos la manera más sistemática se usa el método de Wolman es realizar una transecta y marcar con una cinta métrica a razón de Δx del orden de $1-d_{máx}$, así consecuentemente en varias transectas en la zona de muestreo. El muestreo areal se extrae todos los clastos expuestos en el lecho del cauce, en el rango de 0.1m² a 1m², este método puede ser de forma manual o fotográfico y es usado en lechos fluviales de grava con presencia notoria en la proporción de grava fina y arena. La metodología del grillado se

realiza en una grilla cuadrada, el área es del orden de 1m² a 10m², con una separación puntual de $\Delta x = \Delta y = 2d_{\text{máx}}$. de esta forma muestreándose todos los clastos ubicados en los puntos de intersección de dicha malla, además el método por grillado se puede realizar fotografías del lecho fluvial y de esta manera hacerse análisis en gabinete. Los métodos descritos anteriormente, la metodología por conteo del material en el lecho es equivalente al muestreo volumétrico o por peso sea el caso que el material granular sea homogéneo en profundidad. (Basile, 2018)

Tabla 1. Conteo de sedimentos para un análisis granulométrico de sedimento.

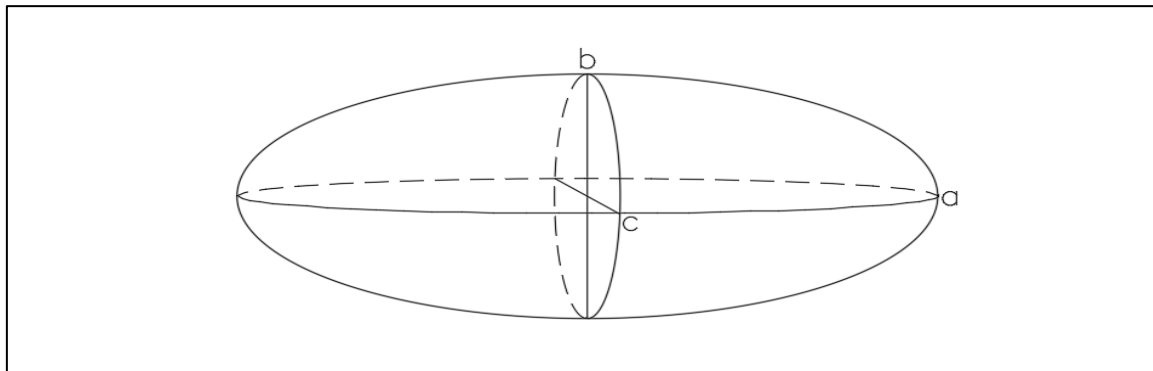
Diámetro, d		Factor de Ponderación D^3 (mm ³) (10 ³)	Conteo para cada fracción	Conteo por D^3	Porcentaje	Porcentaje que pasa
Fracción Pulg.	Media geométrica					
	mm					
9 - 8	216	8.49	10100	3	30.30	15.9
8 - 6	176	6.93	5450	14	76.30	40.2
6 - 4	124	4.90	1910	28	53.50	28.2
4 - 2	72	2.83	373	72	26.90	14.1
2 - 0.75	31	1.22	298	100	2.98	1.6
				217	189.98	100

Fuente: (Ochoa, 2011)

2.2.10. Granulometría de sedimentos del río

Los lechos de los ríos están conformados por materiales granulares o cohesivos. En el primer caso, las partículas están sueltas en distintos tamaños a lo largo de su recorrido y su propiedad más importante en la hidráulica es el peso específico tiene un valor medio de 2.65 T/m³, gracias a ello la otra propiedad importante es el tamaño de la partícula. Por tamaño se deduce que la dimensión del segundo eje (eje b de la figura 6) del elipsoide al que se asemeja una partícula. Se observa que b es la dimensión clave para que una partícula pase o no por un tamiz.

Figura 6. Ejes imaginarios de una partícula

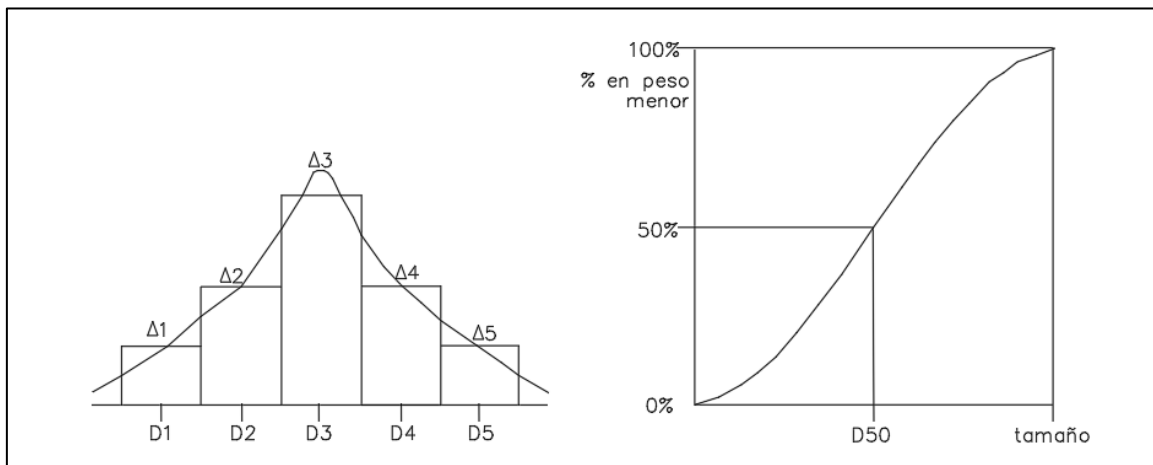


Fuente: (Vide, 2002)

a. Curva granulométrica del sedimento

Se resume en realizar el tamizado del material granular del cauce fluvial y además el pesado de dicho material en cada tamiz que logra pasar, pero que ha quedado retenido en el siguiente tamiz. Se representa de la siguiente manera:

Figura 7. Distribución continua de los tamaños y curva granulométrica continua.



Fuente: (Vide, 2002)

En esta última ilustración (Figura 7), es conocida como una curva granulométrica, la nomenclatura utilizada para designar un tamaño D_n tal que el $n\%$ del peso del material es menor que él. Por ejemplo, el D_{90} significa que es la parte gruesa del material mientras que el D_{10} significa que es la parte fina del material. Las partículas de acuerdo con el tamaño se clasifican: menores que 0.004mm se llaman arcillas, las que se encuentran entre 2mm y 64mm se llaman gravas, de allí en adelante se llaman guijarros o cantos a las partículas que llegan hasta 25.6cm y de allí continúan los bolos o bloques que superan dicha medida (Vide, 2002)

Tabla 2. Clasificación del American Geophysical Union para sedimentarios.

Grupo	Clase	Tamaño (mm)
Cantos	Muy grandes	2000 a 4000
	Grandes	1000 a 2000
	Medianos	500 a 1000
	Pequeños	250 a 500
Guijarros	Grandes	130 a 250
	Pequeñas	64 a 130
Gravas	Muy gruesa	32 a 64
	Gruesa	16 a 32
	Mediana	8 a 16
	Fina	4 a 8
	Muy fina	2 a 4
Arenas	Muy gruesa	1 a 2
	Gruesa	0.5 a 1
	Mediana	0.25 a 0.5
	Fina	0.125 a 0.25
	Muy fina	0.062 a 0.125
Limos	Gruesa	0.031 a 0.062
	Mediano	0.016 a 0.031
	Fino	0.008 a 0.016
	Muy fino	0.004 a 0.008
Arcillas	Gruesa	0.002 a 0.004
	Mediana	0.001 a 0.002
	Fina	0.0005 a 0.001
	Muy fina	0.00024 a 0.0005

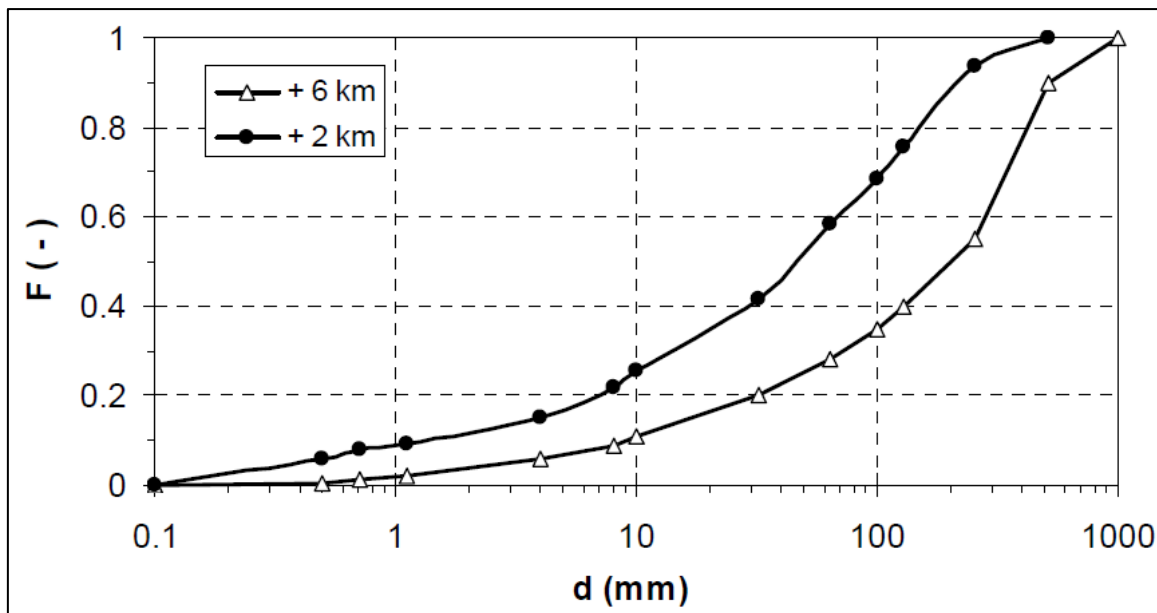
Fuente: (Pérez, Rodríguez & Molina, 2008)

b. Curva granulométrica extendida

Los cauces fluviales con granulometrías extendidas son características típicas de áreas geográficas que tienen elevados gradientes topográficos, a lo contrario los ríos aluviales con granulometrías principalmente de arenas son caracterizados por bajas pendientes.

En los lechos fluviales es muy difícil encontrar distribuciones granulométricas perfectamente gaussianas, sobre todo si el sedimento está constituido por arenas, gravas y material más grueso. En consecuencia, las distribuciones granulométricas distan mucho de las comunes curvas S simétricas logs normales de los lechos arenosos, en cambio presentan una forma cóncava hacia arriba, excepto en lugares de material grueso donde la tendencia se invierte, como en el caso de las distribuciones tipo G. de esta manera las distribuciones son de características asimétricas y no se ajustan a log normal. (Basile, 2018)

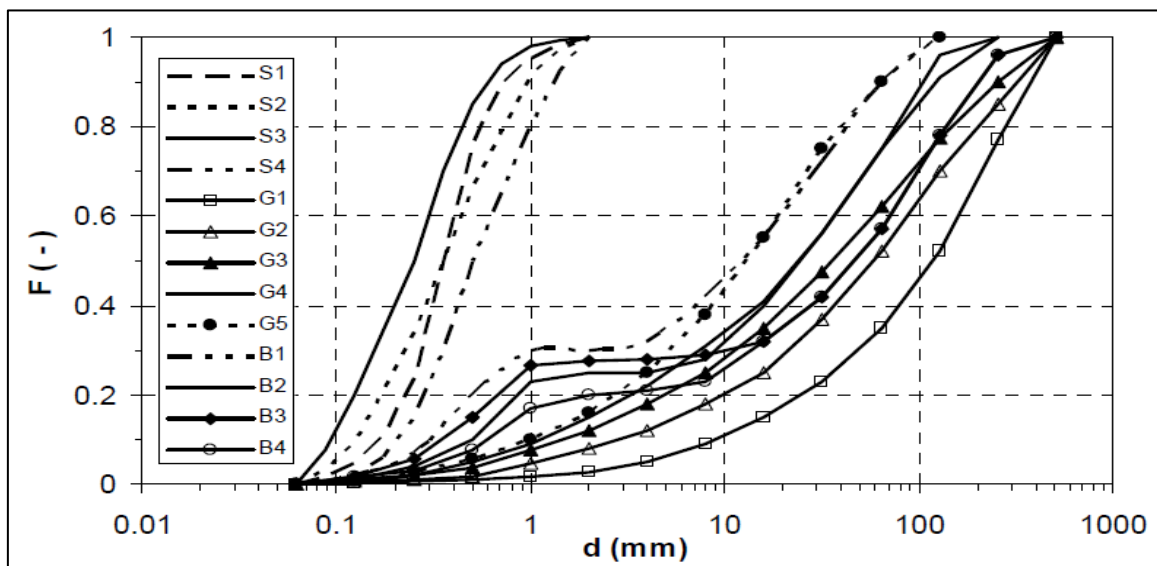
Figura 8. Distribuciones granulométricas del sedimento del lecho



Fuente: (Basile, 2018)

De la figura 8, se muestran las distribuciones granulométricas del lecho fluvial en dos secciones del torrente Mallero, Italia; en un tramo de 4km el D_{50} varía de 45mm a 205mm. La variabilidad no solo existe en el sentido longitudinal y en la parte transversal, sino también en la vertical y en tal sentido el estrato superficial es de composición más gruesa que el material subsuperficial. (Basile, 2018)

Figura 9. Tipos de distribuciones granulométricas de sedimento del lecho



Fuente: (Hey, 1983)

De la figura 9, los lechos arenosos representan una curva del tipo S, los lechos gravarenosos unimodales representan al tipo G y bimodales representan al tipo B.

Cuando se está en una granulometría no uniforme, principalmente en lechos fluviales de granulometrías extendidas, se tiene comportamientos diferentes, la no uniformidad granulométrica da origen a dos efectos: el primero es que las partículas gruesas ejercen directamente una protección a las partículas finas, de esta manera reduciendo el movimiento y por lo contrario las partículas gruesas se encuentran directamente a la acción hidrodinámica del flujo y como consecuencia de ello su movilidad se incrementa en función a las crecidas. (Fernández, 2018)

c. Diámetros característicos

Cuando ya se tiene la curva granulométrica, se determina cualquier diámetro D_n de la muestra del suelo, que son menores o iguales que d. Por ejemplo, si $D_{75} = 0.524$ mm, significa que el 75% en peso del sedimento está constituido por partículas cuyos tamaños son menores o iguales a 0.524mm (Apaclla, 2014)

El D_{10} y D_{60} permiten determinar el tipo de granulometría mediante el coeficiente de uniformidad, el D_{50} es el diámetro de la mediana de la distribución granulométrica y cuando es simétrica el D_{50} coincide con el D_m , el D_{16} , D_{84} y el D_{50} sirven para generar cualquier otro diámetro, de acuerdo con el tipo de distribución probabilística a la cual es ajustada la curva granulométrica de la muestra (Pérez, Rodríguez & Molina, 2008)

d. Coeficiente de uniformidad (C_u)

Es la relación entre los diámetros correspondientes al 60% y al 10%, sacados de la curva granulométrica. El resultado obtenido disminuye cuando el material es más uniforme, entre los parámetros se tiene: granulometría muy uniforme ($C_u < 5$), uniformidad media ($5 < C_u < 15$) y des uniforme ($C_u > 15$) (Pinto, 1998)

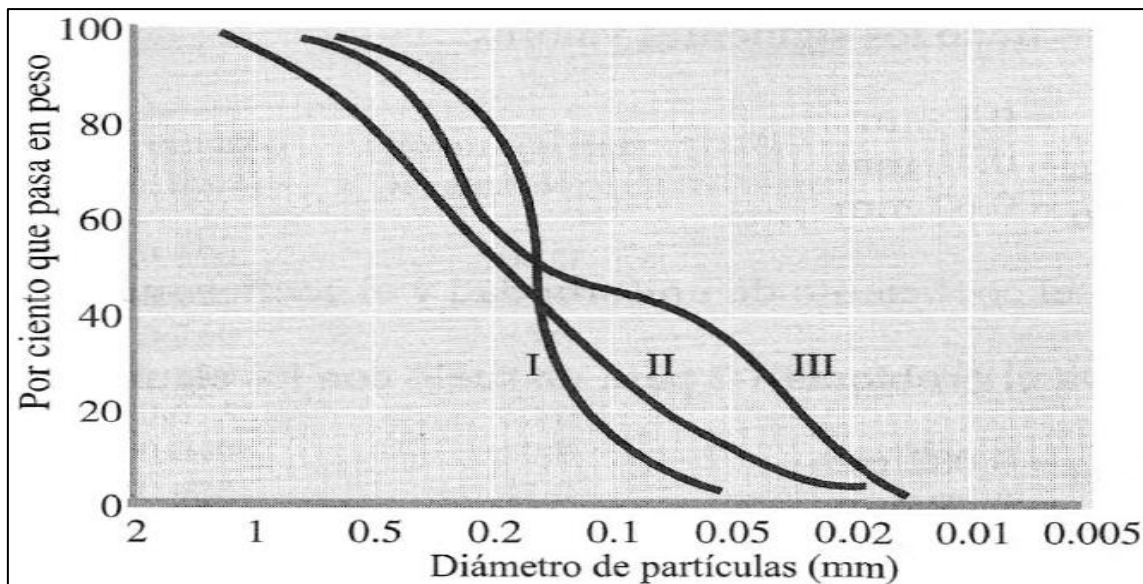
$$C_u = \frac{D_{60}}{D_{10}} \quad (5)$$

e. Coeficiente de curvatura (Cc)

Es un indicador del equilibrio relativo presente entre los diferentes rangos de tamaño de la partícula, involucrando las variables: D_{10} , D_{30} y D_{60} . Para suelos bien graduados tiene un valor de entre 1 y 3 (Pinto, 1998)

$$C_c = \frac{(D_{30})^2}{D_{60} * D_{10}} \quad (6)$$

Figura 10. tipos diferentes de curvas granulométricas.



Fuente: (Das, 2001)

De la Figura 10, la curva I representa un suelo donde la mayoría de los granos son del mismo tamaño (Suelo mal graduado), la curva II representa un suelo donde el tamaño de los granos está distribuido sobre un rango y se dice que es un suelo bien graduado, y la curva III representa una granulometría discontinua (Das, 2001)

Figura 11. Suelo bien graduado



Fuente: (Pinto, 1998)

Figura 12. Suelo de graduación uniforme



Fuente: (Pinto, 1998)

Figura 13. Suelo de graduación discontinua



Fuente: (Pinto, 1998)

2.2.11. Clima en Cajamarca

Las características en el departamento de Cajamarca presentan una diversidad de climas y en un marco general se tiene un clima templado y seco. Existen 2 temporadas definidas, los meses lluviosos que se dan desde octubre hasta abril y la otra de lluvias escasas en el período de estiaje que abarcan los meses de mayo a setiembre (INDECI, 2005)

2.2.12. Régimen fluvial

Son las variaciones del caudal medio durante un año, las causas generalmente son factores climáticos, físicos (permeabilidad, relieve y vegetación) y humanas (presas, captaciones). Estos tienen una variación en función a la ubicación geográfica y comprenden de manera general tres fases:

a. Estiaje

En este período los niveles de agua en los ríos alcanzan niveles mínimos a consecuencia de la escasez de las precipitaciones, causado generalmente por la sequía (Campos, Konstantinovich & Igorevich, 2016)

b. Crecida

Es el período corto donde los niveles de agua aumentan repentinamente como consecuencia del rápido deshielo en las montañas o por las lluvias de alta intensidad (Campos, Konstantinovich & Igorevich, 2016)

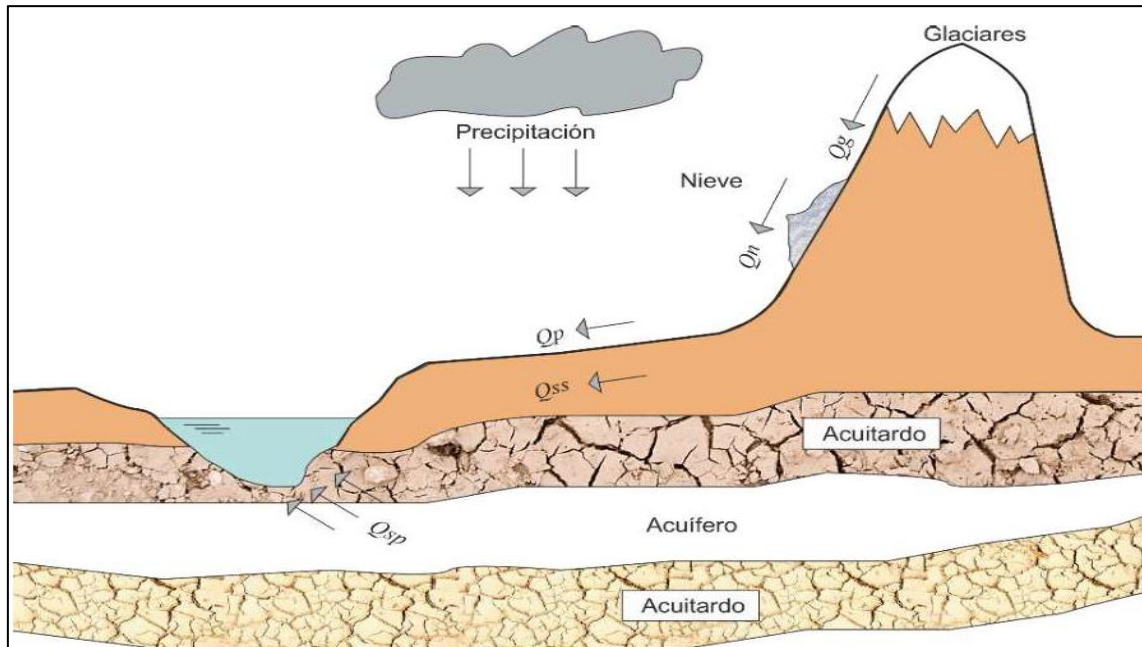
c. Inundación

Es el período prolongado en que los niveles de agua se mantienen elevados ocasionado por las constantes lluvias, causando desbordamientos hacia las áreas próximas que están secas (Campos, Konstantinovich & Igorevich, 2016)

2.2.13. Formación del escurrimiento

Es un conjunto de procesos complejos en la acumulación de agua en los cauces fluviales, teniendo 2 fuentes de alimentación: superficial y subterráneo. De esta manera la alimentación superficial puede ser por lluvias, por glaciares y por nieve. Mientras que la alimentación subterránea proviene de aportes superficiales que están a nivel de la cubierta vegetal del suelo y aportes profundos que vienen de los acuíferos y acuíferos (Campos, Konstantinovich & Igorevich, 2016)

Figura 14. Formación del escurrimiento



Fuente: (Campos, Konstantinovich & Igorevich, 2016)

2.2.14. Caudal

Es la cantidad de líquido que atraviesa una superficie durante una unidad de tiempo
(Campos, Konstantinovich & Igorevich, 2016)

$$Q = \frac{V}{t} \quad (7)$$

Donde:

Q: Caudal

V: velocidad del fluido

t: tiempo

2.2.15. Radio Hidráulico

Es la relación entre la sección de paso y el perímetro mojado y en un canal muy ancho es igual al tirante (Rocha, 1998)

$$R_h = y \quad (8)$$

$$R_h = \frac{A}{P} \quad (9)$$

Donde:

R_h = Radio hidráulico

y = tirante

A= área mojada

P= perímetro mojado

2.2.16. Medición del escurrimiento

La rama de la hidrología que se encarga de realizar las mediciones del flujo se llama la hidrometría o generalmente es llamado aforo. Aforar es determinar el caudal que pasa por una sección en un determinado tiempo. Existe una gran variedad de métodos aplicados a diferentes condiciones hidráulicas o precisiones entre las más comunes tenemos aforos con: flotadores, químicos, volumétricos, correntómetro, vertederos y medidas de la sección y pendiente (Villón, 2004)

a. Aforo con correntómetro o molinetes

Se utilizan instrumentos para medir la velocidad en un punto determinado en la corriente de agua. Esta velocidad es medida en los aparatos, mediante un órgano móvil que detecta la velocidad del flujo y transmite la información de un interruptor encargado de cerrar un circuito eléctrico, cuando ha realizado un número de vueltas sobre un contador (señales luminosas, digitales, impulsaciones de sonido, otros). Hay distintas variedades de correntómetros como los de eje vertical, sin hélice y de eje horizontal. Cabe resaltar que la velocidad se mide indirectamente, ya que en realidad lo que mide es el tiempo que emplea la hélice para dar un número de revoluciones, para luego con una fórmula propia de cada hélice determinar la velocidad (Gámez, 2009)

Figura 15. Sensor de caudal / temperatura PASCO PASPort (PS-2130)



Fuente: (PASCO scientific, 2023)

En la Figura 15 se tiene un sensor que mide la velocidad y la temperatura de arroyos, ríos y otros sistemas de flujo en tiempo real, el equipo se puede conectar a una laptop, Tablet y hasta el celular a través del software de nombre SPARKvue. Dentro de sus características se tiene:

- Mango telescópico para llegar a niveles profundos, longitud de la sonda de 0.91 a 2.13m (completamente extendida).
- Las revoluciones de un imán en el impulsor sumergible se cuentan y se transforman en medidas de velocidad (m/s).
- Tiene un sensor de temperatura incorporado, mide la temperatura en el mismo punto que el caudal.
- Determina la tasa de transporte de sedimentos para un arroyo o río.
- Medir y comparar el caudal en varios lugares de un arroyo.
- Comparar las características de un flujo con otro.

Tabla 3. Sensor de caudal/temperatura PASCO PASPort (PS-2130)

Rango de flujo	0 m/s – 3.5 m/s
Precisión	0.03 m/s
Frecuencia de pulso	8.62 pulso /pie lineal
Opciones de unidad	m/seg; pies/seg; pulsos totales
Rango de temperatura	-10°C – 50°C
Profundidad mínima	3.8 cm (1.5 pulgadas)

Fuente: (PASCO scientific)

2.2.17. Condiciones de la sección de aforo

Para conocer el campo de velocidades, en la sección que se quiere medir el caudal volumétrico se debe tener en cuenta que los filetes líquidos sean paralelos entre sí, las velocidades deben ser imprescindibles y constantes para el funcionamiento del correntómetro (Lario & Bardají, 2017)

2.2.18. Formas de aforo

a. A pie

Se utiliza en caudales pequeños, de baja profundidad y fonde estable. Para esto se instala una cinta métrica y se va midiendo la velocidad a diferentes profundidades en puntos equidistantes de una margen a otra en la sección del río (Villón, 2004)

b. A cable

La sección del río se realiza con un cable tendido de un extremo a otro y el aforo es realizado en un bote (Villón, 2004)

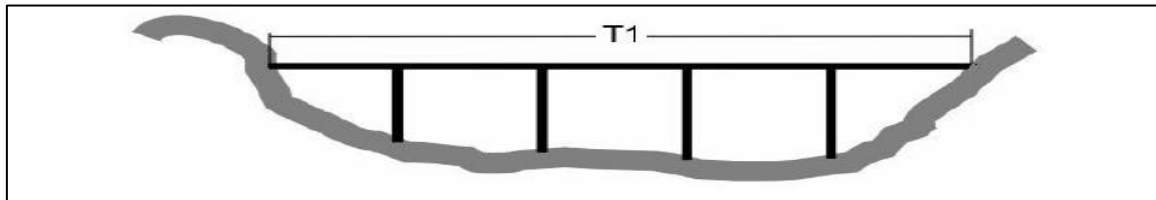
c. Sobre una pasarela

En los ríos pequeños se coloca una pasarela entre los pilotes de un puente, el encargado de realizar el aforo se coloca sobre una pasarela y se empieza a realizar la medición de las velocidades de extremo a extremo del río (Villón, 2004)

2.2.19. Proceso para realizar el aforo

- Para dar inicio el aforo, se divide la sección transversal en franjas para medir el ancho del río (espejo de agua)

Figura 16. Espejo de agua en un río

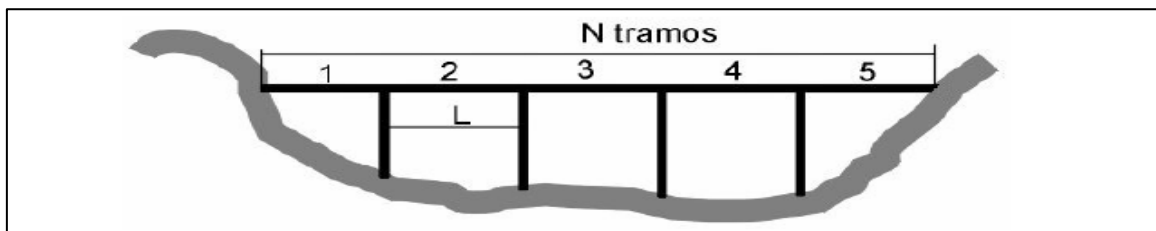


Fuente: (Villón, 2004)

- Se divide el espejo de agua T_1 , en un número de tramos N (Por lo menos N=10), obteniendo la siguiente ecuación:

$$L = \frac{T_1}{N} \quad (10)$$

Figura 17. Tramos de la sección



Fuente: (Villón, 2004)

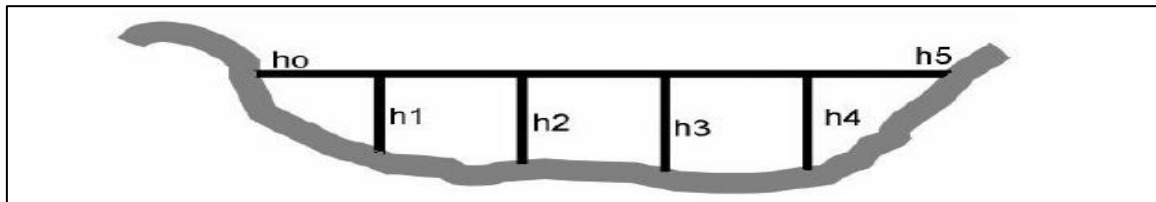
Tabla 4. Distancias mínimas entre verticales recomendadas.

Longitud de espejo de agua	Distancia de aforo
Menos de 2m	0.20 m
De entre 2m a 3m	0.30 m
De entre 3m a 4m	0.40 m
De entre 4m a 8m	0.50 m
De entre 8m a 15m	1 m
De entre 15m a 25m	2 m
De entre 25m a 35m	3 m
De entre 35m a 45m	4 m
De entre 45m a 80m	5 m
De entre 80m a 160m	10 m
De entre 160m a 350m	20 m

Fuente: (Villón, 2004)

- Se miden en cada vertical, la profundidad h , puede pasar que en las márgenes la profundidad sea cero o diferente de dicho valor.

Figura 18. Tramos de la sección



Fuente: (Villón, 2004)

- Se calcula el área utilizando la fórmula de un trapecio y en la gran mayoría en los extremos aplicar la fórmula del triángulo

$$A_1 = \left(\frac{h_0 + h_1}{2} \right) * L \quad (11)$$

$$A_1 = \frac{h_1}{2} * L \quad (12)$$

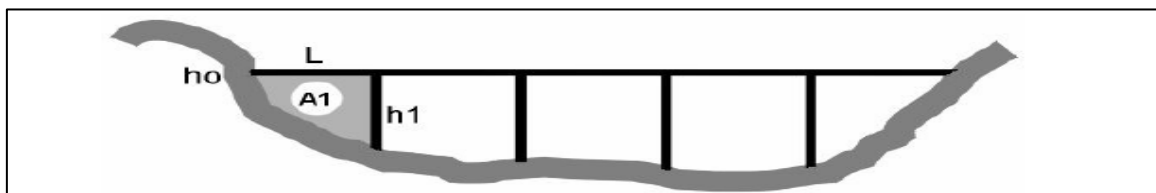
Donde:

A_1 = área del tramo 1

h_0, h_1 = profundidades de los extremos

L = ancho de la superficie del tramo

Figura 19. Tramos de la sección

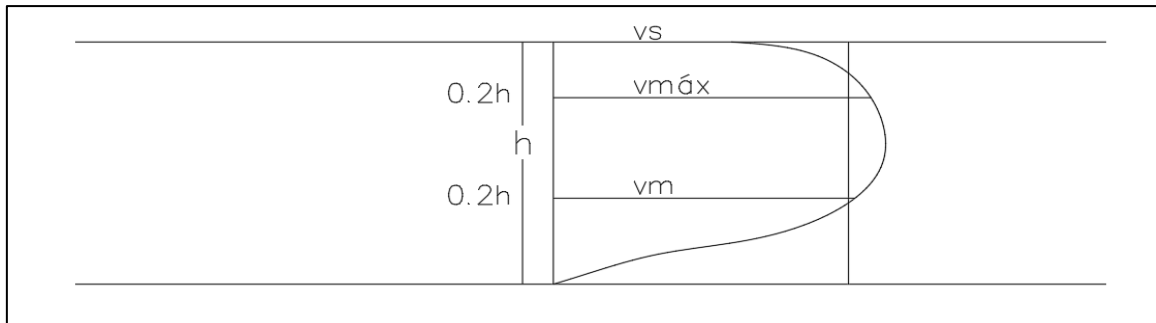


Fuente: (Villón, 2004)

2.2.20. Medición de la velocidad

Las velocidades promedio en las verticales se determinan al 60% de la profundidad, o también se toma la velocidad al promediar al 20% y 80% de profundidad del agua. El promedio calculado en el punto, multiplicado por el área entre las verticales da el caudal en la franja, de esta manera la suma del caudal de las secciones parciales da el caudal total. La velocidad media del río es la relación del caudal total entre el área total (Gámez, 2009)

Figura 20. Distribuciones de velocidades según la profundidad



Fuente: (Calvo & Mora, 2007)

De la Figura 20. se tiene que:

V_s = Velocidad superficial

$V_{máx}$ =Velocidad máxima a 0.2 de profundidad respecto a la superficie

V_m = Velocidad promedio en la vertical

- Velocidad promedio en un punto:

$$Vm = V_{0.6} \quad (13)$$

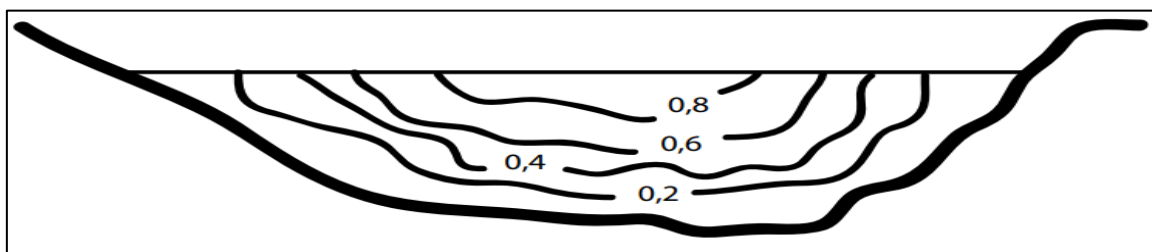
- Velocidad promedio con dos puntos:

$$Vm = \frac{V_{0.2} + V_{0.8}}{2} \quad (14)$$

- Velocidad con tres puntos:

$$Vm = \frac{V_{0.2} + V_{0.6} + V_{0.8}}{3} \quad (15)$$

Figura 21. Variación de la velocidad según la profundidad.



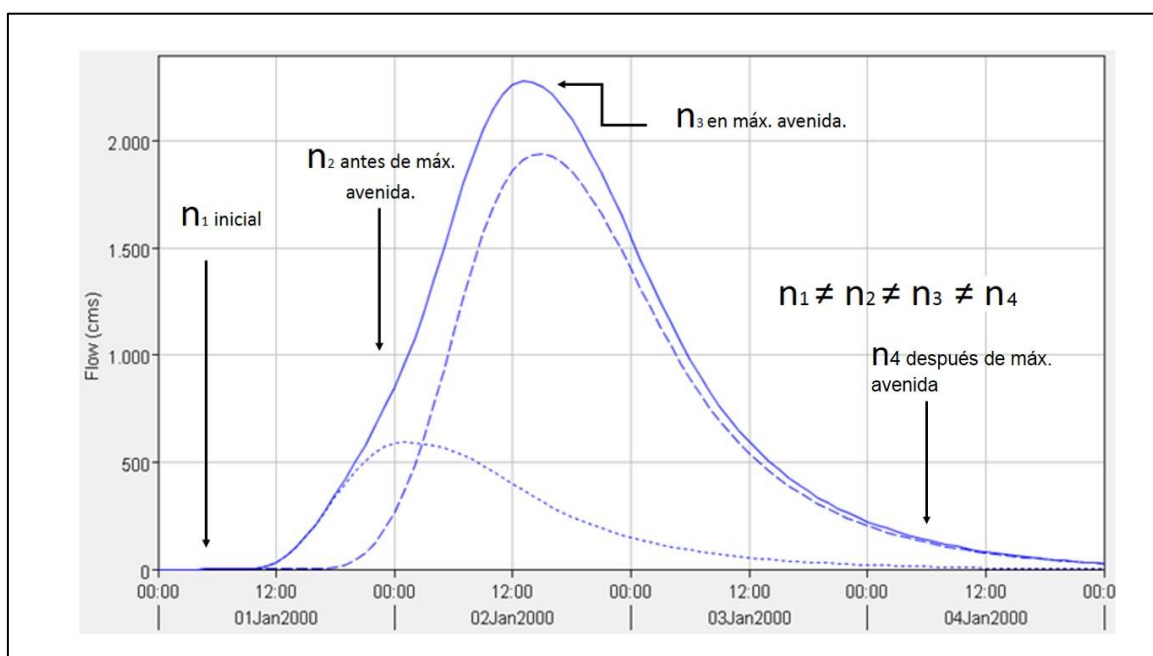
Fuente: (Calvo & Mora, 2007)

2.2.21. Resistencia al flujo

En el estudio de la hidráulica de los ríos es importante estimar la resistencia del flujo, la cual está ligada a muchas variables que relacionan el estado del cauce, geometría del canal, características del material del lecho y bancos. En la actualidad existen muchos métodos para estimar el coeficiente de rugosidad, pero cada uno de estos presentan sus limitaciones debidas a que no han sido perfeccionados por la complejidad de los cursos fluviales.

En los períodos poco lluviosos los cauces de los ríos, así como los sedimentos se mantienen con pocas variaciones en su configuración geométrica, las cuales el coeficiente de rugosidad solo varía en función del caudal, es decir a mayor caudal el coeficiente de resistencia disminuye. Existe otro punto muy importante es que la rugosidad en un canal natural es muy variable en el lapso de una máxima avenida, desde el principio de la avenida, la curva ascendente, en el pico y en el descenso de la curva; Las masas de agua iniciales en la máxima avenida generan un arrastre del material superficial del lecho, erosión de las márgenes y un porcentaje de la vegetación que se pierde por las fuertes corrientes. De esta manera se genera una reducción en la resistencia al flujo de agua, en otros términos, la disminución de la rugosidad de Manning. (Rijn, 2007)

Figura 22. Variación de la rugosidad durante una avenida.



Fuente: (Córdova, 2018)

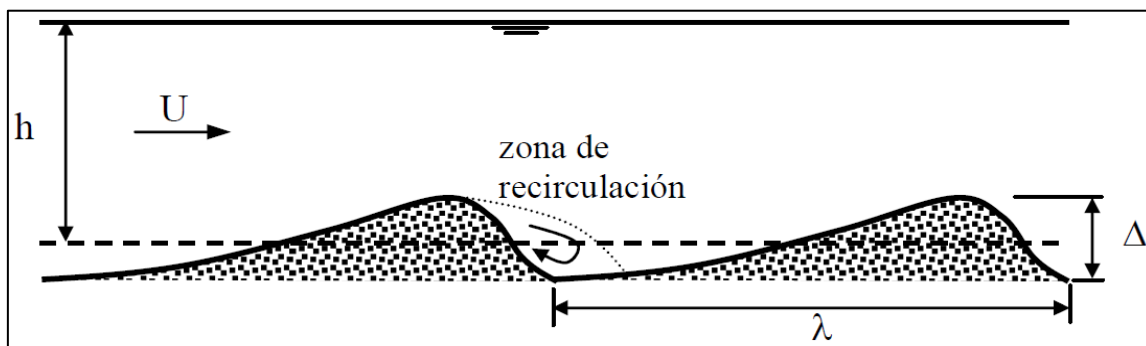
a. Resistencia al flujo en ríos aluviales con lechos de arena

Las formas generadas en el fondo del río modifican de manera importante la resistencia al flujo. En el caso de lechos con formación de dunas se dan condiciones de régimen subcrítico, en los ríos de llanura con sedimentos arenosos. El análisis de la rugosidad en un punto adquiere una importancia en múltiples problemas de hidráulica fluvial, tales como la curva altura-caudal, estimación de las tasas de erosión, entre otros. Existe una relación entre la corriente del flujo y el diámetro medio de caída de las partículas que conforma el lecho del río, de esta manera cuando estas características sean conocidas se pueda predecir las formas del fondo.

Cada forma del fondo produce diferentes rugosidades en función al tipo, dimensionamiento y material del lecho fluvial que las conforman. La resistencia asociada al tamaño de los granos del sedimento como en el caso de un fondo plano se llama resistencia de grano, está en función al diámetro d y sería $K_s \cdot(d)$; la resistencia ligada a las ondulaciones de fondo es llamada resistencia de forma, originada por la disipación de energía ubicada aguas debajo de la cresta y que está en relación con la longitud de la duna λ y su altura Δ y se definiría como $K_s''(\lambda, \Delta)$ (Basile, 2018)

$$K_s = K_s \cdot(d) + K_s''(\lambda, \Delta) \quad (16)$$

Figura 23. Perfil de un lecho con dunas



Fuente: (Basile, 2018)

Tabla 5. Grupo del sedimento con relación a la pendiente de los ríos.

Zona de flujo	Forma de fondo	N de Manning	
		Mínimo	Máximo
Inferior	Rizos	0.018	0.028
	Rizos sobre duna	0.019	0.032
	Dunas	0.020	0.040
Superior	Fondo plano	0.010	0.013
	Antidunas estacionarias	0.010	0.015
	Antidunas rompiéntes	0.012	0.012
	Pozos y rápidos	0.018	0.035

Fuente: (Richardson, 1975)

De la tabla 5, en cauces formados por arena fina a media, se ha demostrado que cada vez que pasaban máximas avenidas, la resistencia al flujo de agua disminuía. En tal sentido se recomienda usar valores mínimos para las crecidas y los valores máximos para caudales en estiaje. (Richardson, 1975)

b. Resistencia al flujo en ríos aluviales con lechos de sedimentos gruesos

Los ríos con sedimentos gruesos se encuentran principalmente en zonas de montaña, están conformados por gravas, cantes rodados y entre otros; se diferencian de los ríos con lechos de arena porque presentan una mayor variabilidad espacial y temporal en sus parámetros morfológicos, sedimentológicos e hidráulicos. Estos ríos están caracterizados por presentar pendientes elevadas, de baja profundidad y generalmente el flujo es supercrítico.

Tabla 6. Grupo del sedimento con relación a la pendiente de los ríos

Tramos del río	Pendiente (%)	Clasificación
Tramo inferior	0.5 - 2	Arenas y gravas
Tramo medio	2 - 4	Gravas y guijarros
Tramo superior	4 - 6	Guijarros y cantes
	> 7	Cantosos

Fuente: (Basile, 2018)

De la tabla 6, en el tramo inferior el sedimento se moviliza principalmente en el período de crecidas, en el tramo medio el transporte de los sedimentos se realiza para crecidas importantes y es poco probable encontrar algún rasgo de formas en el fondo y en el tramo superior la presencia y agrupamiento de cantes rodados grandes (tamaños de 1 a 2m) conlleva a que en el fluido se generen saltos para caudales en estiaje el perfil del fluido se asemeja a una secuencia de escalones y cuando las pendientes son mayores a 7% en el curso principal del río existe una abundancia de cantes rodados grandes imbricados limitando la movilidad del lecho. Además, en los canales tributarios con pendientes de entre 12% y 15% están formados por depósitos coluviales de clastos muy mal seleccionados que conllevan al flujo de dentritos (Basile, 2018)

Figura 24. Sedimentos gruesos en un río de montaña



Fuente: (Cruz & Guerra, 2017)

La rugosidad varía entre grande escala (lechos heterogéneos de guijarros y cantos), escala intermedia y a escala pequeña (lechos heterogéneos de arena y grava). Las diferentes escalas de rugosidad están relacionadas con la sumergencia relativa h/d_{84} (Bathurst, 1981)

- Pequeña sumergencia relativa:

$$h/d_{84} < 1.2 \quad (17)$$

- Sumergencia relativa intermedia:

$$1.2 \leq h/d_{84} \leq 4 \quad (18)$$

- Alta sumergencia relativa:

$$h/d_{84} > 4 \quad (19)$$

Donde:

h : profundidad del flujo

d_{84} : Diámetro del material que un 84% que pasa

Se han realizado muchos estudios tales como: Bathurst (1978), la resistencia al flujo en lechos de alta pendiente con guijarros en su superficie está en función a la forma de arrastre de los cantos, así como también a los fundamentos de la mecánica de fluidos aplicándose a la evaluación del impacto de los elementos del coeficiente de rugosidad y a la geometría del lecho sobre la velocidad del flujo. Simons y Senturk (1997), determinan una altura efectiva de rugosidad, que depende del tamaño, espaciamiento y forma de los elementos rugosos, geometría del canal y profundidad del flujo. Simons (1979), estudia los efectos

con relación a la rugosidad y resistencia al flujo cuando un cauce con guijarros es sobrecargado con sedimentos del tamaño de arenas cuando se producen el tránsito de las avenidas (Basile, 2018)

En los lechos fluviales existiendo una alta presencia de cantos los coeficientes varían de 0.04 a 0.2, para el caso de los lechos con predominancia de rocas y guijarros el coeficiente de rugosidad tendría un valor de 0.035 - 0.045 a valores incluso mayores, pero suele pasar que el material granular grueso está cubierto por una capa de arena, en ese caso la rugosidad disminuye considerablemente hasta valores de 0.015, esta reducción se da en las crecidas sobre todo en áreas áridas o semiáridas que han sido corroboradas en observaciones de campo y laboratorio (Posada, 1998)

2.2.23. Ecuaciones basadas en el tamaño del sedimento del lecho

- **Fundamentos de flujos a superficie libre**

La velocidad de corte (u_*) está definida como:

$$u_* = \sqrt{\frac{\tau_b}{\rho}} = \sqrt{ghS_b} \quad (20)$$

Donde:

τ_b = Tensión de corte

h = profundidad

- **Velocidad media en la vertical**

Ecuación para contornos hidráulicamente rugosos:

$$\frac{U}{u_*} = 2.5 \ln \left(\frac{h}{k_s} \right) + 6 = 2.5 \ln \left(\frac{11h}{k_s} \right) = 5.75 \log \left(\frac{11h}{k_s} \right) \quad (21)$$

- **Coeficientes de resistencia para flujo turbulento completamente desarrollado**

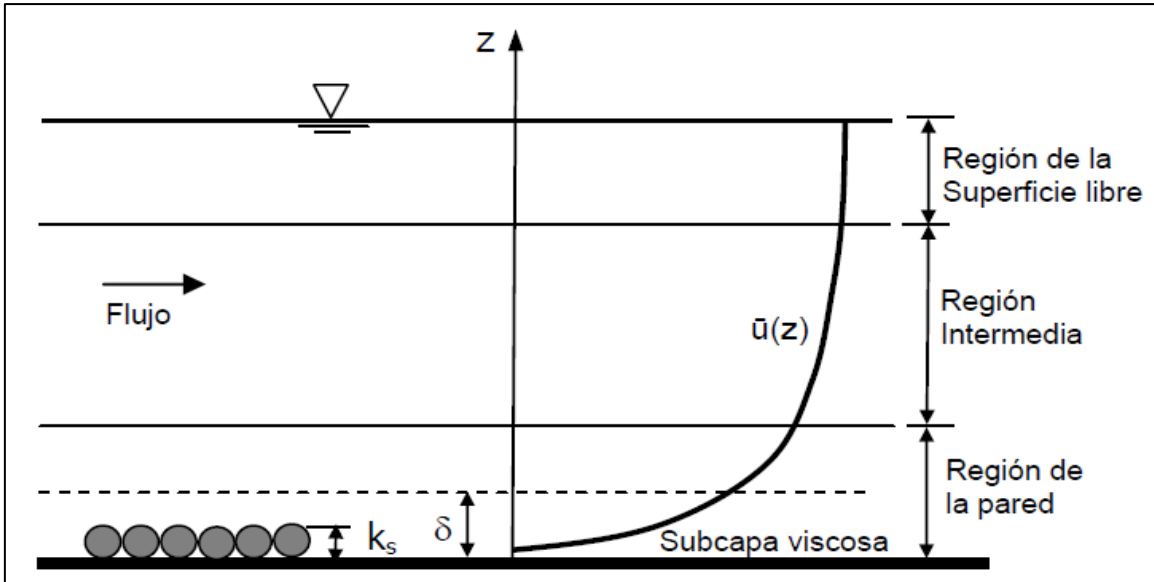
Reemplazando la velocidad de corte dada por la ecuación 20 en la ecuación 21, se obtiene la ecuación de Chezy:

$$U = C \sqrt{hS_b} \quad (22)$$

De la ecuación 22, cabe resaltar la velocidad de corte e incorporando la relación existente entre los coeficientes C de Chezy y n de Manning, se tiene:

$$\frac{U}{u_*} = \frac{C}{\sqrt{g}} = \frac{h^{1/6}}{n\sqrt{g}} \quad (23)$$

Figura 25. Regiones de flujo turbulento en un canal



Fuente: (Basile, 2018)

- **Ley potencial de distribución de velocidad en la vertical**

La ley potencial es un modelo que representa la distribución vertical de la velocidad en canales abiertos. Se expresa de la siguiente manera:

$$\frac{\bar{u}(z)}{u_z} = \beta \left(\frac{z}{z_0} \right)^m \quad (24)$$

A partir de la ecuación 28, es factible determinar el valor de z , para el cual se tiene que $\bar{u}(z) = U$ y donde U = velocidad media en la vertical. Integrando y operando de manera algebraica se tiene:

$$z = \frac{h}{(m+1)^{1/m}} \quad (25)$$

Para $m = 1/6$, se obtiene $z = 0.397h$. En términos generales, reemplazando la ecuación 25 en la ecuación 24, la velocidad media queda expresada en:

$$\frac{U}{u_*} = \frac{\beta}{(m+1)} \left(\frac{h}{z_0} \right)^m \quad (26)$$

- **Coeficientes de resistencia para flujo turbulento hidráulicamente rugoso**

Teniendo $z_0 = 0.033k_s$ (Flujo turbulento completamente desarrollado), con el exponente $m = 1/6$ (Manning) con la relación a la similitud del perfil potencial $m\beta = 0.9197$ y logarítmico; finalmente reemplazando en la fórmula de velocidad media de la ecuación 26, se obtiene:

$$\frac{U}{u_*} = 8.35 \left(\frac{h}{k_s} \right)^{1/6} \quad (27)$$

Reemplazando en la ecuación 27, la expresión de la velocidad de corte $u_* = (ghS_b)^{1/2}$, resulta la ecuación de Chezy dada por la ecuación 22, donde queda expresado como:

$$C = 26\left(\frac{h}{k_s}\right)^{1/6} \quad (28)$$

En función de la ecuación 28 y tomando las relaciones existentes entre los coeficientes de resistencia al fluido por la ecuación 23, se tienen las relaciones entre la rugosidad equivalente k_s y el coeficiente n de Manning

$$n = \frac{(k_s)^{1/6}}{26} \quad (29)$$

a. Ecuación de Meyer-Peter y Müller (1948)

Aplicado para los ríos de materiales no cohesivos de partículas gruesas en el lecho, la ecuación de resistencia tiene una potencia a la sexta como sugiere Manning-Strickler, n es el coeficiente de rugosidad asociado a resistencia del grano, expresado en función del d_{90} de la granulometría del lecho (Basile, 2018)

$$n = \frac{(d_{90})^{1/6}}{26} \quad (30)$$

Donde:

d_{90} : Diámetro del material del Lecho, tal que el 90% en peso es menor, m

b. Ecuación de Raudkin (1976)

$$n = 0.013d_{65}^{-1/6} \quad (31)$$

Donde:

d_{65} : = el 65% del material granular en peso es menor, dado en mm

c. Ecuación de Garde y Raju (1976)

Estos autores establecieron esta ecuación para ríos con lechos formado con material predominantemente gruesos (Fernández, 2018)

$$n = 0.047d_{50}^{-1/6} \quad (32)$$

Donde:

d_{50} : es el diámetro del material granular, donde el 50% del material es menor, está dado en m.

2.2.24. Ecuación basada en la velocidad, radio y gradiente hidráulica

a. Ecuación de Manning (1891)

Esta ecuación fue desarrollada a partir de 7 ecuaciones diferentes, basada en los datos experimentales de Bazin y además verificada mediante 170 observaciones. Debido a la simplicidad de su forma y a los resultados satisfactorios que arroja en aplicaciones prácticas, la ecuación de Manning se ha convertido en la más utilizada (Chow, 2004)

$$C = \frac{R^{1/6}}{n} \quad (33)$$

$$V = C\sqrt{RS} \quad (34)$$

Se sustituye la ecuación de Chezy (21) en el coeficiente de Chezy para conductos rugosos (22). Obteniendo:

$$V = \frac{R^{2/3}*S^{1/2}}{n} \quad (35)$$

De ello se desprende la ecuación para el gasto o caudal:

$$Q = \frac{A}{n} * R^{2/3} * S^{1/2} \quad (36)$$

Donde:

A: Área hidráulica, m²

R: Radio hidráulico

S: Gradiente hidráulica

n: Coeficiente de rugosidad de Manning

V: Velocidad media, m/s

Q: Caudal

2.2.25. Ecuaciones basadas en el radio hidráulico y el tamaño del sedimento

- Relación del parámetro de rugosidad con la suavidad relativa

Es el resultado de un conjunto de estudios en campo que relaciona el parámetro de la rugosidad $\frac{n}{R^{1/6}}$, con la suavidad relativa $\frac{R}{d}$, donde d es un tamaño característico del lecho de un cauce fluvial, donde no se utiliza el diámetro máximo sino el diámetro intermedio y mínimo de la partícula, además el número de Froude y la relación ancho-profundidad no están incluidos en los análisis.

En las correlaciones hechas del parámetro de rugosidad con relación a la suavidad relativa los tamaños del sedimento característicos individuales son primero utilizados, sin tener en

consideración los tamaños individuales. Los conjuntos de correlaciones tuvieron magnitudes que correspondieron a los percentiles 84, 50 y 16; se determinó que las ecuaciones que expresaban las relaciones eran muy parecidas a las presentadas por Chow, Leopold y por Vennard.

$$\frac{n}{R^{1/6}} = \frac{0.113}{a+b*\log(\frac{R}{d})} \quad (37)$$

Donde:

a y b: son constantes

R: radio hidráulico, m

d: Diámetro característico

El conjunto de datos era una recta que describía una ecuación:

$$\frac{1}{\sqrt{f}} = a + b * \log\left(\frac{R}{d}\right) \quad (38)$$

La ecuación 42 se transformó en la ecuación 41, por la relación que existía entre $\frac{1}{\sqrt{f}}$ y $\frac{n}{R^{1/6}}$, además se encontró que el coeficiente b variaba insignificativamente a partir de 2, por consiguiente, se usaron los valores teóricos de 2 como coeficiente de $\log\left(\frac{R}{d}\right)$.

Para cada una de las relaciones obtenidas, se determinaron el error estándar de estimación y el coeficiente de correlación. El error estándar de estimación está en unidades de $\frac{n}{R^{1/6}}$ y por tanto mantiene un significado limitado para el ingeniero que está interesado en los porcentajes calculados y observados. Se encontró que las diferencias porcentuales asociadas a cada una de las relaciones estaban distribuidas en torno a un valor medio que variaba solo de manera insignificante del 0%; la desviación estándar de esas diferencias porcentuales se usó como un índice de error, porque mostraba el rango aproximado en las cuales se hallaban las diferencias porcentuales para 2/3 de las mediciones. La desviación estándar de las diferencias porcentuales fue la base sobre el cual se compararon las ecuaciones con relación a su adecuación para predecir valores del coeficiente de rugosidad a partir del tamaño característico de las partículas y el radio hidráulico (Limerinos, 1970)

a. Ecuación de Limerinos (1970)

El autor ha determinado el coeficiente de Manning en el fondo en un canal natural calibrado en 50 puntos en 11 cursos de agua, para establecer la relación entre el valor de la base en el coeficiente de rugosidad de Manning “n” y el tamaño de distribución del río, El cumplimiento de la fórmula está restringido por el tamaño del sedimento donde el d_{50} está en el rango de 6 mm y 253 mm y el radio hidráulico inferior a 3.35m (Coon, 1997)

$$n = \frac{0.113 * R^{1/6}}{1.16 + 2 * \log(\frac{R}{d_{84}})} \quad (39)$$

Donde:

R: radio hidráulico, m

d_{84} : Diámetro del material que un 84% que pasa, m

b. Ecuación de Griffiths (1981)

Esta ecuación ha sido desarrollada y calibrada en 84 puntos de muestreo en 35 ríos de montaña, las cuales cumplen para una relación del radio hidráulico a d_{50} entre 1 y 200, además el d_{50} oscila entre 13mm y 301mm (Lang, Ladson & Anderson, 2004)

$$n = \frac{0.113 * R^{1/6}}{0.76 + 1.98 * \log(\frac{R}{d_{50}})} \quad (40)$$

Donde:

R: radio hidráulico, m

d_{50} : Diámetro del material que un 50% que pasa, m

c. Ecuación de Phillips e Ingersoll

Esta ecuación se ha desarrollado con el estudio de 37 puntos en 14 ríos, está limitada por el d_{50} que oscila entre 4.6 y 1181 mm (Lang, Ladson & Anderson, 2004)

$$n = \frac{0.0926 * (\frac{R}{0.3048})^{1/6}}{1.46 + 2.23 * \log(\frac{R}{d_{50}})} \quad (41)$$

Donde:

R: radio hidráulico, m

d_{50} : Diámetro del material que un 50% que pasa, m

2.2.26. Ecuación basada en el radio hidráulico y la pendiente

a. Ecuación de Jarrett (1990)

Se ha usado 75 mediciones de caudal y geometría fluvial en 21 ríos de montaña con lecho de roca. Relaciona los valores de n para corrientes de alto gradiente con el radio hidráulico. Esta ecuación es usada a canales naturales con pendientes de 0.2 – 4% y radios hidráulicos de entre 0.15m a 2.13 m (Coon, 1997)

$$n = 0.32 \times S^{0.38} \times R^{-0.16} \quad (42)$$

Donde:

S= pendiente del cauce (m/m)

R= radio hidráulico (m)

b. Ecuación de Sauer (1990)

La rugosidad del lecho fluvial está relacionada con la pendiente y las variables hidráulicas, ecuación similar en forma a la propuesta por Jarrett (1990). Esta ecuación se aplica a canales con pendientes de entre 0.03 % a 1.8% y con radios hidráulicos hasta 5.79 m; además la ecuación explica los efectos de la rugosidad no solo de la cama y material del lecho, sino otros factores como irregularidades seccionales, variaciones de la forma y tamaño (Coon, 1997)

$$n = 0.11 \times S^{0.18} \times \left(\frac{R}{0.3048} \right)^{0.08} \quad (43)$$

Donde:

S= pendiente (m/m)

R= radio hidráulico (m)

2.2.27. Ecuación basada en la sumersión relativa y la pendiente del cauce

c. Ecuación de Riekenmann (2005)

Rickenmann (1994), propuso ecuaciones para determinar la rugosidad total en términos del coeficiente de Manning-Strickler, para cursos fluviales con pendiente superiores al 0.8 % hasta el 63%

$$\frac{1}{n_{tot}} = \frac{0.97g^{0.14}Q^{0.19}}{S^{0.19}d_{90}^{-0.64}} \quad (44)$$

Donde:

g: aceleración de la gravedad

Q: Descarga

S: Pendiente

d_{90} : tamaño de grano del material del lecho superficial para el cual el 90% del material del lecho es más fino.

Wong y Parker (2006) analizaron los datos de Meyer-Peter y Müller (1948) y mostraron que la fricción del grano Kr se expresa:

$$\frac{1}{nr} = \frac{23.2}{\sqrt[6]{d_{90}}} \quad (45)$$

El aporte de la rugosidad de la forma a la rugosidad total se puede expresar de alguna manera dividiendo (48) y (49), en forma homogénea dimensional se tiene:

$$\frac{nr}{n_{tot}} = \frac{0.133Q^{0.19}}{g^{0.096}S^{0.19}d_{90}^{-0.47}} \quad (46)$$

Rickenmann (2005) propuso un procedimiento para estimar las pérdidas de resistencia al flujo debido arrastre de forma en función de la pendiente y la sumersión relativa:

$$\frac{nr}{n_{tot}} = 0.083S^{-0.35} \left(\frac{h}{d_{90}}\right)^{0.33} \quad (47)$$

Donde:

h: profundidad del flujo / radio hidráulico

2.2.28. Ecuación de muestreo

Para una población finita, es requisito que tenga menos de 100 000 elementos (Borja, 2012)

$$n = \frac{Z^2 \cdot p \cdot q \cdot N}{e^2 \cdot (N-1) + Z^2 \cdot p \cdot q} \quad (48)$$

Donde:

N: tamaño de la muestra

p: Probabilidad que la hipótesis sea verdadera

q: Probabilidad de no ocurrencia de la hipótesis

e: Error

Z: Nivel de significancia

2.2. DEFINICIÓN DE TÉRMINOS BÁSICOS

Aforo, es un conjunto de procedimientos para calcular el caudal en un curso de agua (Villón, 2004)

Cantos, son rocas grandes, pulidas y sueltas que están susceptibles a ser transportadas por las corrientes de agua. Sus dimensiones varían entre 250 a 4000 mm (Pérez, Rodríguez & Molina, 2008)

Caudal, es el volumen de agua que pasa una sección en un tiempo determinado (Rocha, 2007)

Correntómetro, es un instrumento que sirve para medir velocidades en arroyos, ríos, entre otros (Villón, 2004)

Grava, Son granos de material pétreo y de tamaño variable. Tiene un origen por fragmentación de las diferentes rocas de la corteza terrestre. Su tamaño está entre 2 a 64 mm (Das, 2001)

Guijarros, son piedras que por efecto de las corrientes de agua han sido pulidos y disminuidos de tamaños pasando de cantos a guijarros. Tienen un tamaño entre 64 a 250 mm (Pinto, 1998)

Hidrometría, es una rama de la hidrología encargada de realizar mediciones, registro y análisis los volúmenes de agua que pasa por una sección transversal (Villón, 2004)

Lecho de un río, corresponde al fondo del valle, donde fluye el caudal por causa de la gravedad, así como también el transporte de sedimentos (Cruz & Guerra, 2017)

Río, es el flujo de agua que discurre por el cauce en la superficie terrestre o de manera subterránea (Cruz & Guerra, 2017)

Sedimento, son partículas depositadas en el fondo del agua, provienen de la erosión del suelo o descomposición de seres vivos. Son las arenas, limos, arena y otros (Vide, 2002)

Sumergencia relativa, es la relación de la profundidad dividido con un diámetro característico (Coon, 1997)

Tamiz de suelo, es una malla que se usa para dividir los granos en varias fracciones de tamaño, de este modo obtener las distribuciones de las partículas (Das, 2001)

CAPÍTULO III. MATERIALES Y MÉTODOS

3.1. ASPECTOS GENERALES

3.1.1. Ubicación del área de estudio

Dicha investigación se ha realizado entre la zona de Huayrapongo, distrito de Baños del Inca y el distrito de Llacanora en el departamento de Cajamarca.

3.1.2. Ubicación política y geográfica

Tabla 7. Ubicación política de la zona de estudio

Ubicación política 1	
Región	Cajamarca
Provincia	Cajamarca
Distrito 1	Baños del Inca
Distrito 2	Llacanora

Tabla 8. Ubicación geográfica de la zona de estudio

COORDENADAS UTM WGS84			
Inicio de tramo		Fin de tramo	
Este	784035.00	Este	780340.00
Norte	9203598.00	Norte	9205097.00
Altitud	2589.25	Altitud	2631.00

Figura 26. Tramo de estudio - Río Cajamarquino (L= 5320 m)

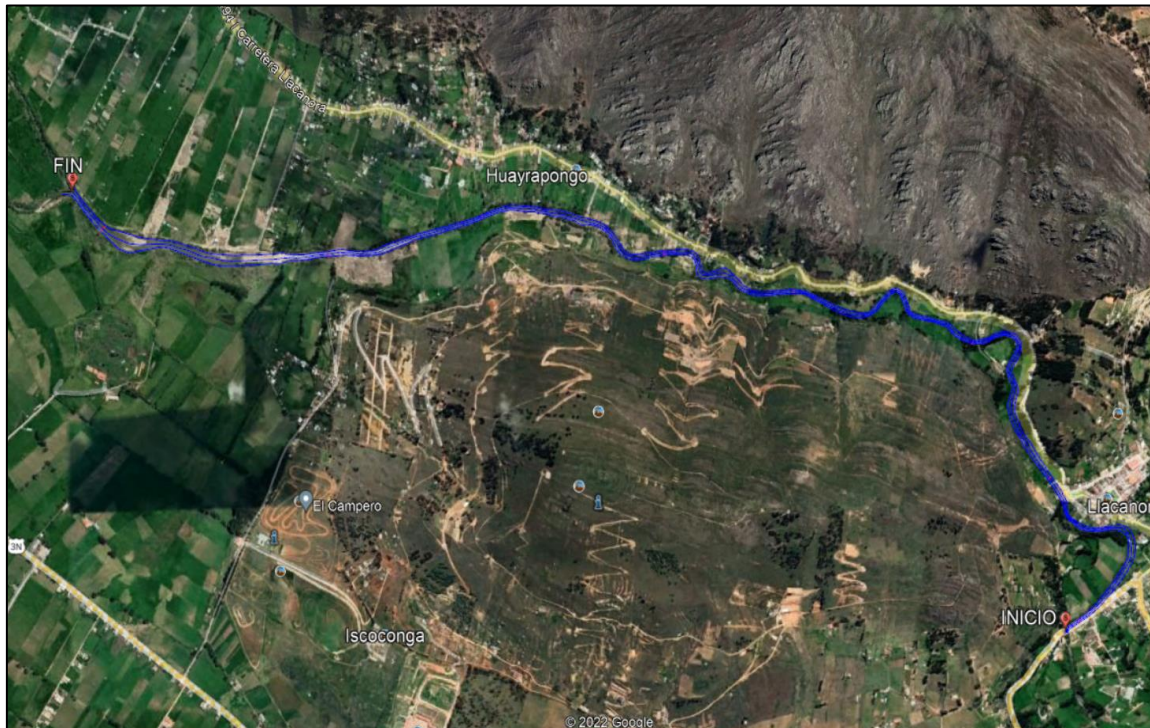


Figura 27. Ubicación Regional del río

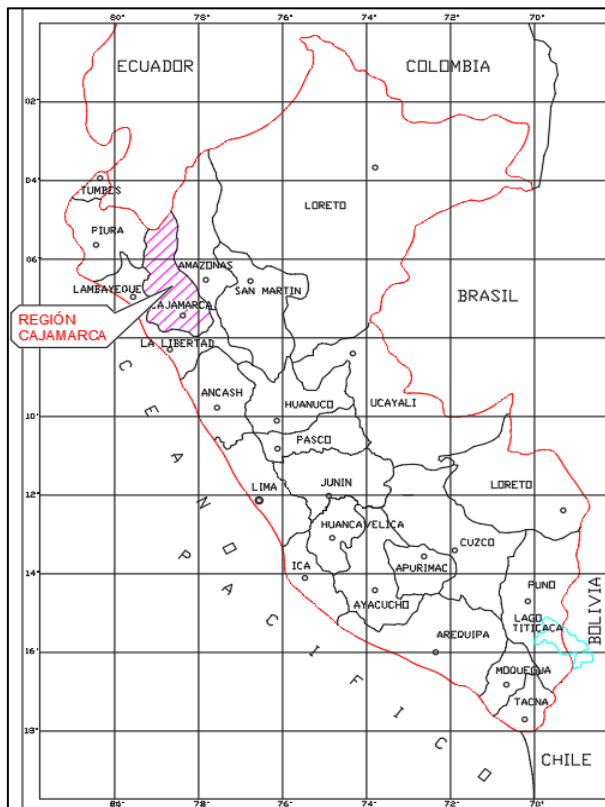


Figura 28. Ubicación Provincial del río

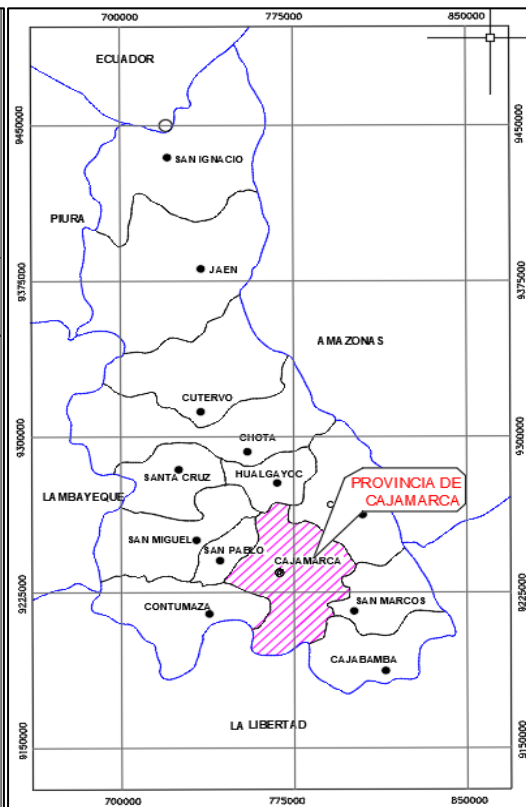


Figura 29. Ubicación Distrital del río 1



Figura 30. Ubicación Distrital del río 2



3.2. EQUIPOS Y MATERIALES UTILIZADOS EN LA INVESTIGACIÓN

Para el desarrollo de esta investigación se ha utilizado los siguientes equipos y softwares:

a. Para la etapa de campo:

- Cámara fotográfica
- GPS navegador
- Laptop para el uso del software PASCO Capstone
- Celular para el uso del software SPARKvue
- Correntómetro PASCO PASPort (PS-2130)
- Materiales para la toma de datos en el río: cordel, ganchos, pizarra, plumón, wincha, estacas, cartulina, papel, lapicero.
- Equipo de protección y seguridad: chaleco, guantes, casco y soga de 15m
- Equipo topográfico: nivel, regla estadimétrica, estación total, jalón, prisma y trípode.
- Materiales para la extracción de muestras del lecho del río: palana, picota, barreta, sacos, balanza.
- Materiales del laboratorio de suelos usados para la granulometría: balanza, horno, tamices, sacos, bolsas, plumón, papel y lapicero

b. Para la etapa de gabinete:

- Laptop
- impresora
- Lapicero, escalímetro, planos impresos
- Softwares: Microsoft Word (Para la redacción de la investigación), Microsoft Excel (para el tratamiento y cuantificación de la información), AutoCAD Civil 3D (Para el dibujo y tratamiento de la información topográfica) y PASCO Capstone (Para la extracción de datos hidrométricos)

3.3. PROCEDIMIENTO

3.3.1. Caracterización morfológica del río Cajamarquino en el tramo puente Llacañora – Huayrapongo.

a. Topografía

Se realizó un conjunto de actividades escalonadas en el tramo de estudio que van desde la zona de Huayrapongo localizada en el distrito de Baños del Inca hasta las márgenes de la ciudad del distrito de Llacañora. Para la ubicación y registro de puntos en el espacio se

utilizó el GPS navegador, datos tomados desde la intersección del río Mashcón y río Chonta (inicio del río Cajamarquino), las 8 secciones de aforo (espaciados en promedio de 700m), los 8 puntos de muestreo sedimentológico del lecho y las estructuras emplazadas a lo largo del tramo estudiado (4 puentes)

Para el levantamiento topográfico se utilizó una estación total Leica ts06 plus en el tramo de estudio (Huayrapongo - puente Llacanora), los puntos visados fueron de manera seccional y perpendicular a la dirección de la corriente del agua, se contempló el registro del talweg, eje, margen derecha y margen izquierda del río después se utilizó el AutoCAD Civil 3D para triangular la topografía de manera más realista posible. Aguas arriba de cada sección de aforo se realizó el levantamiento topográfico a razón de 5m. aproximadamente hasta superar los 50 m, con el propósito de calcular la pendiente del tramo para utilizarlo en la ecuación de Manning. El sistema de coordenadas fue la UTM WGS 84.

Figura 31. Levantamiento topográfico



b. Clasificación morfológica de los ríos

Se ha determinado la longitud aproximada del talweg y la longitud de la recta que une los extremos del tramo del río, para luego determinar la sinuosidad y clasificarlo entre río recto o río meándrico, con la ecuación 1.

c. Pendiente longitudinal del cauce

Mediante el levantamiento topográfico se determinó la longitud planimétrica del tramo del río y la diferencia de cotas de los extremos, de esta manera se calculó la pendiente uniforme, con la ecuación 2; además la selección de tramos parciales con sus pendientes uniformes se aplicó la ecuación de Taylor y Schwarz (ecuación 3) para sacar un valor promedio y así estimar la pendiente longitudinal del tramo del río Cajamarquino.

d. Elaboración de los planos topográficos

Se desarrolló un plano planimétrico georreferenciado con el detalle de las curvas de nivel, plano del perfil longitudinal, y un plano con la ubicación de calicatas, puentes, secciones de aforo, así como también la ubicación de los límites del tramo del río.

3.3.2. Determinación de la granulometría de los sedimentos del cauce del río

Cajamarquino en el tramo puente Llacanora-Huayrapongo

El muestreo de sedimentos del lecho se realizó por el método volumétrico y superficial propuesto por Martin Vide, realizándose un total de 8 puntos muestreados en zonas representativas de cada tramo y cerca de las secciones de aforo en el mes de agosto del 2022. Las partículas de sedimento mayores a 3 pulgadas han sido medidas y pesadas in situ, utilizando una wincha de 3m y una balanza calibrada; los granos finos de la muestra en el rango de arcillas, limos, arenas y gravas se transportó al laboratorio, las cuales se tamizó utilizando un juego de tamices que variaron de la N°200 a la de 3" y se pesó todas las porciones retenidas en cada malla.

La determinación de la curva granulométrica extendida de los sedimentos se hizo en base al tamizado y pesos, para luego graficarlo de forma logarítmica en función al porcentaje que pasa de la muestra y abertura de los tamices, finalmente se obtuvo los tamaños característicos: d_{10} , d_{30} , d_{50} , d_{60} , d_{65} , d_{84} y d_{90} mediante interpolación logarítmica.

Finalmente se realizó un análisis y plano de las formaciones geológicas de la cuenca que influyen en el tramo del puente Llacanora – Huayrapongo del río Cajamarquino en el aporte de los sedimentos.

Tabla 9. Ubicación de los puntos de muestreo en coordenadas UTM WGS 84

Punto muestreado	Este	Norte	Cota
E1	784092	9203640	2584.77
E2	783971	9204125	2597.18
E3	783674	9204585	2605.71
E4	783027	9204751	2611.98
E5	782532	9204887	2614.12
E6	781854	9205006	2618.25
E7	781290	9204884	2621.31
E8	780448	9204980	2630.14

Figura 32. Secado de la muestra granulométrica de los sedimentos del río



3.3.3. Determinación del coeficiente de rugosidad “n” de Manning

a. Aforos y registro de elementos geométricos de la sección del río

Se estableció 8 secciones de aforo a lo largo del tramo estudiado y las cuales comprendió una longitud total de 5320 m. Los aforos se realizaron en 3 meses en el período de estiaje (julio, agosto y septiembre) y 3 meses en el período de lluvias (octubre, diciembre y enero), se utilizó el correntómetro PASCO PASPort (PS-2130) para determinar las velocidades del flujo y también se sacó algunos elementos geométricos en la sección del río como: área de la sección, perímetro mojado, radio hidráulico y profundidad media.

Tabla 10. Ubicación de los puntos de aforo en coordenadas UTM WGS 84

Punto de aforo	Este	Norte	Cota
1	784170	9203701	2584.74
2	783969	9204122	2597.12
3	783686	9204584	2605.60
4	783019	9204755	2611.08
5	782537	9204889	2614.01
6	781861	9205012	2618.08
7	781286	9204887	2621.37
8	780452	9204975	2630.03

Figura 33. Aforo en la sección N°4, época de lluvias



b. Ecuación de Manning

En las 8 estaciones de aforo se ha extendido un cordel de margen a margen del río, amarrado en 2 estacas, luego se ha colocado ganchos de manera equidistante (0.5m) y se ha pasado a medir la velocidad del flujo con un correntómetro en cada franja. El aforo para épocas de estiaje se ha hecho al 60% de la profundidad y en épocas de lluvia la velocidad ha sido el promedio del 20% y 80% de la profundidad; las profundidades se han medido con wincha, el área de cada franja y el área total de la sección del río ha sido realizado con el AutoCAD. Se presenta un ejemplo de cálculo del coeficiente de rugosidad.

Ecuación:

$$Q = \frac{A}{n} * R^{2/3} * S^{1/2}$$

Datos en la sección N°6 del periodo lluvioso y en la fecha del 26/12/2022:

Q: 6.348 m³/s

A: 5.733 m²

R: 0.524 m

S: 0.008

Reemplazando en la ecuación, se tiene:

$$6.348 = \frac{5.733}{n} * 0.524^{\frac{2}{3}} * 0.008^{1/2}$$

$$6.348 = \frac{5.733}{n} * 0.0581$$

$$n = \frac{5.733 * 0.0581}{6.348}$$

n = 0.053

c. Ecuación de Meyer-Peter y Müller

Se realizó 8 curvas granulométricas de las muestras del sedimento extraídas del río y se determinó el d_{90} en cada una de ellas, se reemplazó en la fórmula 30, a los cuales se obtuvo 8 valores que representan la rugosidad en cada zona del río. Finalmente se sacó un valor promedio que represente el tramo estudiado y se correlacionó con los resultados para ambos periodos obtenidos por la ecuación de Manning. Se presenta un ejemplo de cálculo del coeficiente de rugosidad.

Ecuación:

$$n = \frac{(d_{90})^{1/6}}{26}$$

Datos en la sección N°6

$d_{90} = 0.135$ m

Reemplazando en la ecuación, se tiene:

$$n = \frac{(0.135)^{1/6}}{26}$$

n = 0.027

d. Ecuación de Raudkin

De las 8 curvas granulométricas se calculó el d_{65} y se aplicó la ecuación 31, los resultados muestran la rugosidad del grano de cada zona del río. Finalmente se sacó un valor promedio en el coeficiente de rugosidad que represente el tramo estudiado, así como también se ha comparado con los resultados de la ecuación de Manning en periodos de estiaje y lluvias. Se presenta un ejemplo de cálculo del coeficiente de rugosidad.

Ecuación:

$$n = 0.013 * d_{65}^{1/6}$$

Datos en la sección N°6

$$d_{65} = 95.170 \text{ mm}$$

Reemplazando en la ecuación, se tiene:

$$n = 0.013 * 95.170^{1/6}$$

n = 0.028

e. Ecuación de Garde y Raju

De las 8 curvas granulométricas obtenidas se calculó el d_{50} a través de la interpolación logarítmica, después se reemplazó en la ecuación 32, resultado de las cuales muestran la rugosidad del grano del lecho. Finalmente se calculó un promedio en el coeficiente de rugosidad que represente el tramo estudiado y se ha comparados con los resultados obtenidos para ambos periodos de estiaje y lluvias de la ecuación de Manning. Se presenta un ejemplo de cálculo del coeficiente de rugosidad.

Ecuación:

$$n = 0.047 * d_{50}^{1/6}$$

Datos en la sección N°6

$$d_{50} = 0.079 \text{ m}$$

Reemplazando en la ecuación, se tiene:

$$n = 0.047 * 0.091^{1/6}$$

n = 0.031

f. Ecuación de Limerinos

Se sacó los elementos geométricos de las 8 secciones del río en temporada de estiaje y lluvias, tales como: área de la sección del río, perímetro mojado; y se obtuvo el radio hidráulico. Una vez generada la curva granulométrica de los sedimentos se calculó el d_{84} y se aplicó en la ecuación 39, finalmente se correlacionó con los resultados obtenidos con la ecuación de Manning para ambos periodos estudiados. A continuación, se presenta un ejemplo de cálculo del coeficiente de rugosidad.

Ecuación:

$$n = \frac{0.113 * R^{1/6}}{1.16 + 2 * \text{Log}(\frac{R}{d_{84}})}$$

Datos en la sección N°6 del periodo lluvioso y en la fecha del 26/12/2022:

d_{84} : 0.125 m

R: 0.524 m

Reemplazando en la ecuación, se tiene:

$$n = \frac{0.113 * 0.524^{1/6}}{1.16 + 2 * \text{Log}(\frac{0.524}{0.125})}$$

$$n = \frac{0.10146}{2.4048}$$

n = 0.042

g. Ecuación de Griffiths

En las 8 secciones de aforo establecidas en el tramo de estudio para la temporada de estiaje y lluvias, se recopiló la información de los elementos geométricos de las secciones del río como: el área de la sección y el perímetro mojado, con las cuales se determinó el radio. De la curva granulométrica se calculó el d_{50} y luego se aplicó en la ecuación 40, así como también se comparó los resultados con la ecuación de Manning para ambos periodos. A continuación, se presenta un ejemplo de cálculo del coeficiente de rugosidad.

Ecuación:

$$n = \frac{0.113 * R^{1/6}}{0.76 + 1.98 * \text{Log}(\frac{R}{d_{50}})}$$

Datos en la sección N°6 del periodo lluvioso y en la fecha del 26/12/2022:

d_{50} : 0.079 m

R: 0.524 m

Reemplazando en la ecuación, se tiene:

$$n = \frac{0.113 * 0.524^{1/6}}{0.76 + 1.98 * \text{Log}(\frac{0.524}{0.079})}$$

$$n = \frac{0.10146}{2.38697}$$

n = 0.042

h. Ecuación de Phillip e Ingersoll

Se recopiló la información de los elementos geométricos de la sección del río en los meses de estiaje y lluvias, además de la curva granulométrica se calculó el d_{50} y aplicó en la ecuación 41, después se compararon los resultados obtenidos con la ecuación de Manning.

A continuación, se presenta un ejemplo de cálculo del coeficiente de rugosidad.

Ecuación:

$$n = \frac{0.0926 * (\frac{R}{0.3048})^{1/6}}{1.46 + 2.23 * \text{Log}(\frac{R}{d_{50}})}$$

Datos en la sección N°6 del periodo lluvioso y en la fecha del 26/12/2022:

d_{50} : 0.079 m

R: 0.524 m

Reemplazando en la ecuación, se tiene:

$$n = \frac{0.0926 * (\frac{0.524}{0.3048})^{1/6}}{1.46 + 2.23 * \text{Log}(\frac{0.524}{0.079})}$$

$$n = \frac{0.10135}{3.2924}$$

n = 0.031

i. Ecuación de Jarrett

Esta ecuación se ha aplicó a los periodos de estiaje y lluvias, los tramos aguas arriba de cada sección se levantó con estación total leica ts06 plus para determinar la pendiente promedio del cauce aplicando la ecuación 3, así como también se obtuvo el área de la sección y perímetro mojado para la obtener el radio hidráulico. Se aplicó la ecuación 42 y se ha comparado con los resultados de la ecuación de Manning para el período de estiaje y lluvioso. A continuación, se presenta un ejemplo de cálculo del coeficiente de rugosidad.

Ecuación:

$$n = 0.32 \times S^{0.38} \times R^{-0.16}$$

Datos en la sección N°6 del periodo lluvioso y en la fecha del 26/12/2022:

R: 0.524 m

S: 0.008

Reemplazando en la ecuación, se tiene:

$$n = 0.32 \times 0.008^{0.38} \times 0.524^{-0.16}$$

n = 0.057

j. Ecuación de Sauer

Está ecuación se utilizó para los períodos de estiaje y lluvias, para las pendientes en los 8 tramos se realizó el levantamiento topográfico aguas arriba de cada sección y aplicó la ecuación 3 para la pendiente promedio, también se tomó los elementos geométricos como el área de la sección y el perímetro mojado de la sección para obtener el radio hidráulico.

A continuación, se presenta un ejemplo de cálculo del coeficiente de rugosidad.

Ecuación:

$$n = 0.11 \times S^{0.18} \times \left(\frac{R}{0.3048}\right)^{0.08}$$

Datos en la sección N°6 del periodo lluvioso y en la fecha del 26/12/2022:

R: 0.524 m

S: 0.008

Reemplazando en la ecuación, se tiene:

$$n = 0.11 \times 0.008^{0.18} \times \left(\frac{0.524}{0.3048}\right)^{0.08}$$

n = 0.048

k. Ecuación de Riekenman

En esta ecuación se utilizó para los períodos de estiaje y lluvias, se determinó las pendientes de los tramos aguas arriba de las estaciones de aforo, la profundidad media del flujo y el d_{90} de la curva granulométrica para las cuales se calculó la sumersión relativa. Dichos valores se aplicaron en la ecuación 47 para la estimación del coeficiente de rugosidad y los resultados se compararon con la ecuación de Manning para los períodos de estiaje y lluvias.

A continuación, se presenta un ejemplo de cálculo del coeficiente de rugosidad.

Ecuaciones:

$$\frac{1}{nr} = \frac{23.2}{\sqrt[6]{d_{90}}}$$

$$\frac{nr}{n_{tot}} = 0.083S^{-0.35} \left(\frac{h}{d_{90}}\right)^{0.33}$$

Datos en la sección N°6 del periodo lluvioso y en la fecha del 26/12/2022:

$$d_{90}: 0.135$$

$$R: 0.524 \text{ m}$$

$$S: 0.008$$

Reemplazando en la ecuación, se tiene:

$$\frac{1}{nr} = \frac{23.2}{\sqrt[6]{d_{90}}}$$

$$\frac{1}{nr} = \frac{23.2}{\sqrt[6]{0.135}}$$

$$\frac{1}{nr} = \frac{23.2}{0.7162}$$

$$nr = 0.031$$

$$\frac{nr}{n_{tot}} = 0.083 * S^{-0.35} * \left(\frac{h}{d_{90}}\right)^{0.33}$$

$$\frac{0.031}{n_{tot}} = 0.083 * 0.008^{-0.35} * \left(\frac{0.524}{0.135}\right)^{0.33}$$

$$\frac{0.031}{n_{tot}} = 0.8414$$

$$\mathbf{n_{tot} = 0.044}$$

CAPÍTULO IV. RESULTADOS Y DISCUSIÓN

4.1. Caracterización morfológica del río Cajamarquino en el tramo puente Llacanora – Huayrapongo

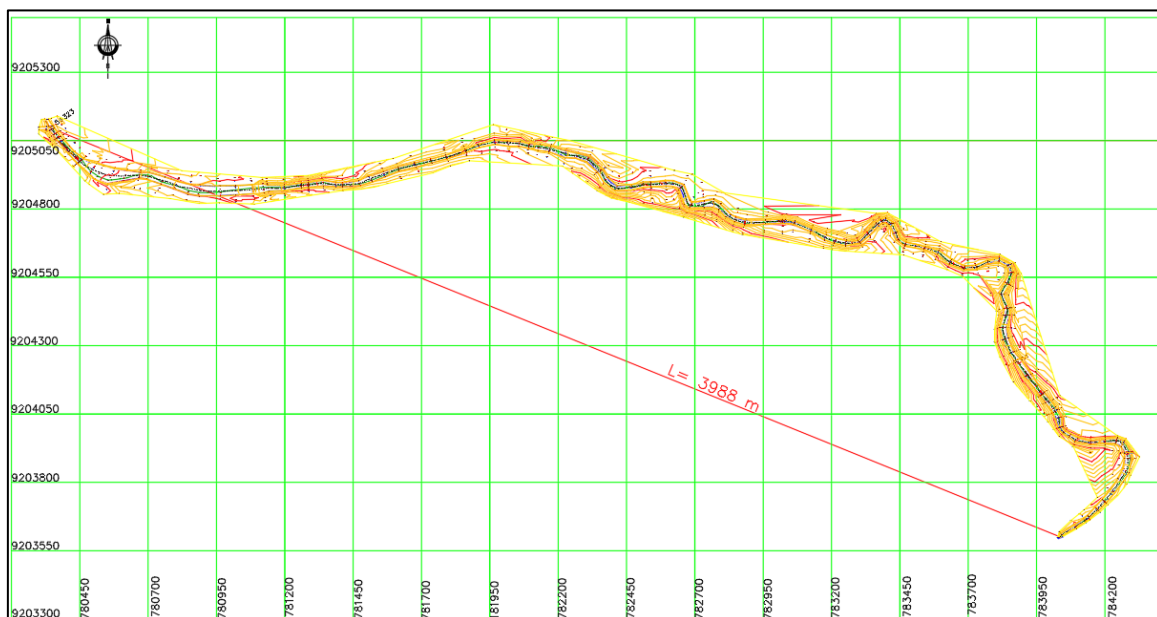
4.1.1. Topografía

El levantamiento topográfico registró un total de 5320.00 m entre Huayrapongo y el Puente Llacanora, los extremos del tramo estudiado tienen un desnivel de 41.75 m, el ancho mínimo del cauce es 9.10m y un ancho máximo es de 60.30m. Los planos topográficos realizados se encuentran en el Anexo N°6

4.1.2. Clasificación morfológica de los ríos

El tramo de estudio tiene una longitud recta que une los extremos de 3988 m y una longitud del Talweg del río de 5383.00 m

Figura 34. Longitud del tramo del río Cajamarquino



Se aplicó la ecuación 1, que dio un resultado $S= 1.35$ y según la clasificación de (Maza & García, 1997) la sinuosidad es mayor que 1.2 y menor a 1.5, considerándose sinuoso.

4.1.3. Pendiente Longitudinal del cauce

- Pendiente uniforme

La longitud del río es de 5320 m con un desnivel de 41.75m, se aplicó la ecuación 2, teniendo un resultado de $S= 0.0078$ o $S= 0.78 \%$ como la pendiente longitudinal del tramo estudiado.

- Ecuación de Taylor y Schwarz

Se ha aplicó a la ecuación 3, dando un resultado de $S = 0.00637$ o $S = 0.637\%$ como pendiente longitudinal del tramo estudiado.

De las dos ecuaciones que se utilizó, se eligió a la pendiente igual a 0.637%, debido a que (Rocha, 1998) considera que las pendientes son variables en todo el recorrido del río, de esta manera la ecuación de Taylor y Schwarz representa mejor el cauce del río y la pendiente uniforme no.

4.2. Granulometría de los sedimentos del tramo del río Cajamarquino

Los sedimentos en la cuenca que influye en el tramo de estudio tienen múltiples formaciones geológicas que inciden en las características de los sedimentos (Anexo N°6), entre las más resaltantes se tiene:

Ki-ca: compuesto por arenisca de grano fino y de color gris

Ki-chi: está compuesto por areniscas cuarzosas, blanquecinas y mezcladas con limo arcillas

Ki-chu: compuesta por calizas arenosas, limo arcillitas y margas

Ki-fa: conformada por areniscas cuarzosas con laminación sesgada

Ki-pt: Conformada por calizas grises y lutitas negras estratificadas

Qh-al: Conformados por suelos arcillosos

Nm-ya/2: Conformado por depósitos de flujo de lava

Nm-fr/4: Conformado por piroclastos de pómez, cristales y cenizas

Ki-in: Areniscas de grano fino con limo arcillitas

Tabla 11. Ubicación de los puntos de muestreo en coordenadas UTM WGS 84

Punto muestreado	Este	Norte	Cota
E1	784092	9203640	2584.77
E2	783971	9204125	2597.18
E3	783674	9204585	2605.71
E4	783027	9204751	2611.98
E5	782532	9204887	2614.12
E6	781854	9205006	2618.25
E7	781290	9204884	2621.31
E8	780448	9204980	2630.14

Tabla 12. Diámetros característicos del material del lecho del río -Punto N°1

Diámetros característicos (D)	valor (m)
10	0.017
30	0.080
50	0.119
60	0.140
65	0.149
84	0.188
90	0.201

De la tabla 12, aplicando la ecuación 5, se determinó un coeficiente de uniformidad (C_u) igual a 8.13, las cuales para (Pinto, 1998) se trata de un suelo que tiene una uniformidad media por estar en el rango $5 < C_u < 15$; también se aplicó la ecuación 6, en donde se calculó el coeficiente de curvatura (C_c) igual a 2.68 que para (Pinto, 1998) y (Das, 2001) se trata de un suelo bien graduado por estar en el rango de 1 y 3

Tabla 13. Diámetros característicos del material del lecho del río -Punto N°2

Diámetros característicos (D)	valor (m)
10	0.010
30	0.054
50	0.094
60	0.104
65	0.111
84	0.139
90	0.150

De la tabla 13, aplicando la ecuación 5, se determinó un coeficiente de uniformidad (C_u) igual a 9.99, las cuales para (Pinto, 1998) se trata de un suelo que tiene una uniformidad media por encontrarse en el rango $5 < C_u < 15$; también se aplicó la ecuación 6, en donde se calculó el coeficiente de curvatura (C_c) igual a 2.67 que para (Pinto, 1998) y (Das, 2001) se trata de un suelo bien graduado por estar en el rango de 1 y 3

Tabla 14. Diámetros característicos del material del lecho del río -Punto N°3

Diámetros característicos (D)	valor (m)
10	0.029
30	0.094
50	0.117
60	0.131
65	0.138
84	0.168
90	0.180

De la tabla 14, aplicando la ecuación 5, se determinó un coeficiente de uniformidad (Cu) igual a 4.58, las cuales para (Pinto, 1998) se trata de un suelo muy uniforme por encontrarse en el rango Cu <5; también se aplicó la ecuación 6, en donde se calculó el coeficiente de curvatura (Cc) igual a 2.35 que para (Pinto, 1998) y (DAS, 20011) se trata de un suelo bien graduado por estar en el rango de 1 y 3

Tabla 15. Diámetros característicos del material del lecho del río -Punto N°4

Diámetros característicos (D)	valor (m)
10	0.012
30	0.067
50	0.110
60	0.135
65	0.144
84	0.180
90	0.197

De la tabla 15, aplicando la ecuación 5, se determinó un coeficiente de uniformidad (Cu) igual a 10.90, las cuales para (Pinto, 1998) se trata de un suelo que tiene una uniformidad media por estar en el rango 5<Cu<15; también se aplicó la ecuación 6, en donde se calculó el coeficiente de curvatura (Cc) igual a 2.71 que para (Pinto, 1998) y (Das, 2001) se trata de un suelo bien graduado por estar en el rango de 1 y 3

Tabla 16. Diámetros característicos del material del lecho del río -Punto N°5

Diámetros característicos (D)	valor (m)
10	0.007
30	0.040
50	0.091
60	0.101
65	0.108
84	0.138
90	0.149

De la tabla 16, aplicando la ecuación 5, se determinó un coeficiente de uniformidad (Cu) igual a 14.70, las cuales para (Pinto, 1998) se trata de un suelo que tiene una uniformidad media por estar en el rango de $5 < Cu < 15$; también se aplicó la ecuación 6, en donde se calculó el coeficiente de curvatura (Cc) igual a 2.32 que para (Pinto, 1998) y (Das, 2001) se trata de un suelo bien graduado por estar en el rango de 1 y 3

Tabla 17. Diámetros característicos del material del lecho del río -Punto N°6

Diámetros característicos (D)	valor (m)
10	0.022
30	0.059
50	0.079
60	0.091
65	0.095
84	0.125
90	0.135

De la tabla 17, aplicando la ecuación 5, se determinó un coeficiente de uniformidad (Cu) igual a 4.09, las cuales para (Pinto, 1998) se trata de un suelo muy uniforme por estar en el rango de $Cu < 5$; también se aplicó la ecuación 6, en donde se calculó el coeficiente de curvatura (Cc) igual a 1.75 que para (Pinto, 1998) y (Das, 2001) se trata de un suelo bien graduado por estar en el rango de 1 y 3

Tabla 18. Diámetros característicos del material del lecho del río -Punto N°7

Diámetros característicos (D)	valor (m)
10	0.014
30	0.055
50	0.091
60	0.102
65	0.111
84	0.153
90	0.169

De la tabla 18, aplicando la ecuación 5, se determinó un coeficiente de uniformidad (C_u) igual a 7.22, las cuales para (Pinto, 1998) se trata de un suelo que tiene una uniformidad media por estar en el rango de $5 < C_u < 15$; también se aplicó la ecuación 6, en donde se calculó el coeficiente de curvatura (C_c) igual a 2.13 que para (Pinto, 1998) y (Das, 2001) se trata de un suelo bien graduado por estar en el rango de 1 y 3

Tabla 19. Diámetros característicos del material del lecho del río -Punto N°8

Diámetros característicos (D)	valor (m)
10	0.024
30	0.044
50	0.062
60	0.072
65	0.077
84	0.098
90	0.103

De la tabla 19, aplicando la ecuación 5, se determinó un coeficiente de uniformidad (C_u) igual a 2.95, las cuales para (Pinto, 1998) se trata de un suelo muy uniforme porque se encuentra en el rango de $C_u < 5$; también se aplicó la ecuación 6, en donde se calculó el coeficiente de curvatura (C_c) igual a 1.11 que para (Pinto, 1998) y (Das, 2001) se trata de un suelo bien graduado por estar en el rango de 1 y 3

4.3. Estimación del coeficiente de rugosidad “n” de Manning

La selección de los puntos de aforo en el tramo puente Llacanora – Huayrapongo del río Cajamarquino se realizó en el mes de Julio, con la finalidad de encontrar secciones uniformes, tramos rectos mayor a 50 m delante de las secciones y sobre todo puntos seguros ante el período lluvioso.

Tabla 20. Ubicación de los puntos de aforo en coordenadas UTM WGS 84

Punto de aforo	Este	Norte	Cota
1	784170	9203701	2584.74
2	783969	9204122	2597.12
3	783686	9204584	2605.60
4	783019	9204755	2611.08
5	782537	9204889	2614.01
6	781861	9205012	2618.08
7	781286	9204887	2621.37
8	780452	9204975	2630.03

En el período de estiaje (Julio, Agosto y Setiembre) se obtuvo un rango de caudales fue de 0.135 m³/s a 1.827 m³/s y en el período lluvioso (Octubre, Diciembre y Enero) el rango de caudales estuvo en 4.03 m³/s a 8.9 m³/s. Con la data extraída de campo se calculó un total de 750 coeficientes de rugosidad con las 10 ecuaciones empíricas.

4.3.1. Resultados de la ecuación de Manning

Tabla 21. Resultados de la ecuación de Manning – Período de estiaje.

Fechas	Sec./1	Sec./2	Sec./3	Sec./4	Sec./5	Sec./6	Sec./7	Sec./8
17/07/22	0.0950	0.0911	0.1111	0.0971	0.0911	0.0961	0.0790	0.0730
25/07/22	0.0851	0.0812	0.0852	0.0762	0.0822	0.0730	0.0750	0.0637
13/08/22	0.0830	0.0570	0.0821	0.0640	0.0701	0.0641	0.0691	0.0540
21/09/22	0.0832	0.0551	0.0800	0.0631	0.0661	0.0630	0.0671	0.0532
30/09/22	0.0841	0.0561	0.0811	0.0601	0.0643	0.0641	0.0661	0.0541
Prom.	0.086	0.068	0.088	0.072	0.075	0.072	0.071	0.059

Tabla 22. Resultados de la ecuación de Manning – Período de lluvias.

Fechas	Sec./1	Sec./2	Sec./3	Sec./4	Sec./5	Sec./6	Sec./7	Sec./8
25/10/22	0.0801	0.0572	0.0881	0.0421	0.0551	0.0542	0.0411	0.0381
29/10/22	0.0790	0.0541	0.0790	0.0410	0.0542	0.0541	0.0402	0.0372
26/12/22	0.0783	0.0533	0.0742	0.0410	0.0531	0.0530	0.0401	0.0361
02/01/23	0.0780	0.0531	0.0741	0.0412	0.0540	0.0521	0.0391	0.0360
12/01/23	0.0772	0.0522	0.0643	0.0391	0.0501	0.0473	0.0374	0.0350
Prom.	0.078	0.054	0.076	0.041	0.053	0.052	0.040	0.037

De la tabla 21, la ecuación de Manning para el período de estiaje en el tramo Puente Llacanora – Huayrapongo del río Cajamarquino, el coeficiente de rugosidad n tiene un valor promedio de 0.074 y la tabla 22, para el período lluvioso es de 0.054. Indicando de

esta manera que, al incremento del caudal en el período lluvioso, la rugosidad disminuye de valor, tal como como propone (Chow, 1998) como una de las causas de la variación del “n” en función del caudal.

4.3.2. Resultados de Meyer-Peter y Müller, Raudkin, Garde y Raju

Tabla 23. Coeficientes de rugosidad en función del diámetro del sedimento

Ecuaciones								
Meyer-Peter y Müller			Raudkin			Garde y Raju		
Secciones	D90(m)	n	Secciones	D65(mm)	n	Secciones	D50(m)	n
E1	0.201	0.029	1	148.50	0.030	1	0.119	0.033
E2	0.150	0.028	2	111.09	0.029	2	0.094	0.032
E3	0.180	0.029	3	138.07	0.030	3	0.117	0.033
E4	0.197	0.029	4	144.23	0.030	4	0.110	0.033
E5	0.149	0.028	5	107.60	0.028	5	0.091	0.032
E6	0.135	0.027	6	95.17	0.028	6	0.079	0.031
E7	0.169	0.028	7	111.47	0.029	7	0.091	0.031
E8	0.103	0.026	8	76.55	0.027	8	0.062	0.030
Promedio	-	0.028	-	-	0.029	-	-	0.032

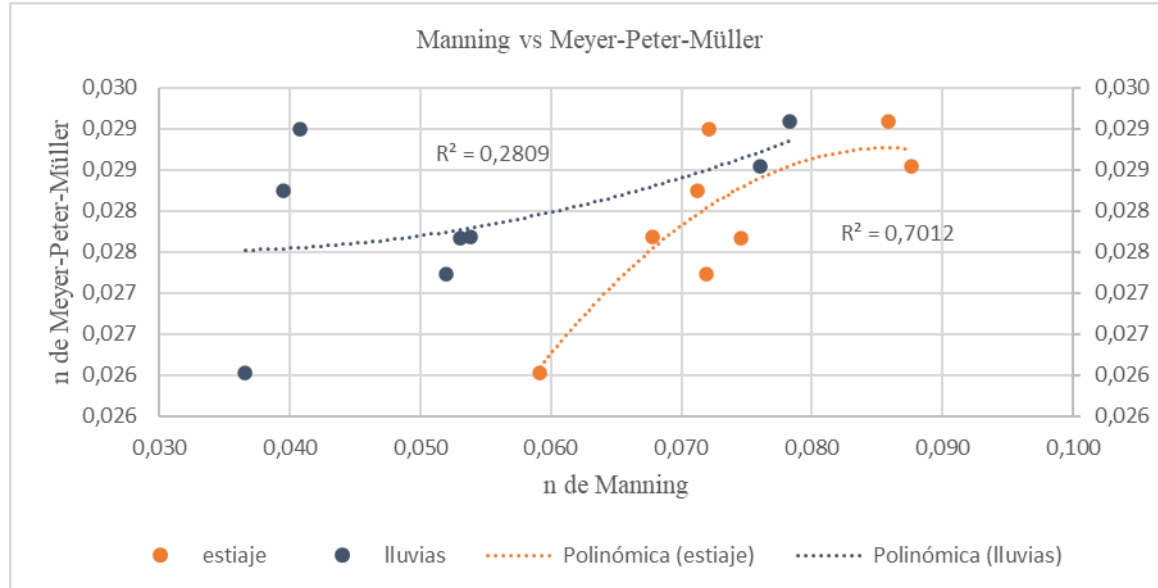
De la tabla 23, las ecuaciones de Meyer-Peter y Müller, Raudkin, Garde y Raju tienen un valor promedio de 0.028, 0.029 y 0.032 respectivamente para el tramo estudiado de la zona de Huayrapongo a el puente Llacanora del río Cajamarquino.

Tabla 24. Porcentaje de variación en los coeficientes de rugosidad

Coeficientes de Rugosidad - estiaje							
Ecuaciones	Manning	M-P-M	V (%)	Raudkin	V (%)	Garde y Raju	V (%)
E1	0.086	0.029	-66.10	0.030	-65.14	0.033	-61.57
E2	0.068	0.028	-59.18	0.029	-57.97	0.032	-53.28
E3	0.088	0.029	-67.42	0.030	-66.27	0.033	-62.47
E4	0.072	0.029	-59.80	0.030	-58.72	0.033	-54.89
E5	0.075	0.028	-62.87	0.028	-61.96	0.032	-57.71
E6	0.072	0.027	-62.13	0.028	-61.36	0.031	-57.19
E7	0.071	0.028	-60.36	0.029	-59.97	0.031	-55.80
E8	0.059	0.026	-56.01	0.027	-54.74	0.030	-50.07
Promedio	0.074	0.028	-62.14	0.029	-61.17	0.032	-57.06
Coeficientes de Rugosidad - lluvias							
Ecuaciones	Manning	M-P-M	V (%)	Raudkin	V (%)	Garde y Raju	V (%)
E1	0.078	0.029	-62.84	0.030	-61.79	0.033	-57.87
E2	0.054	0.028	-48.55	0.029	-47.03	0.032	-41.11
E3	0.076	0.029	-62.48	0.030	-61.15	0.033	-56.78
E4	0.041	0.029	-28.96	0.030	-27.05	0.033	-20.27
E5	0.053	0.028	-47.80	0.028	-46.53	0.032	-40.55
E6	0.052	0.027	-47.63	0.028	-46.57	0.031	-40.79
E7	0.040	0.028	-28.58	0.029	-27.88	0.031	-20.35
E8	0.037	0.026	-28.82	0.027	-26.76	0.030	-19.20
Promedio	0.054	0.028	-48.04	0.029	-46.72	0.032	-41.08

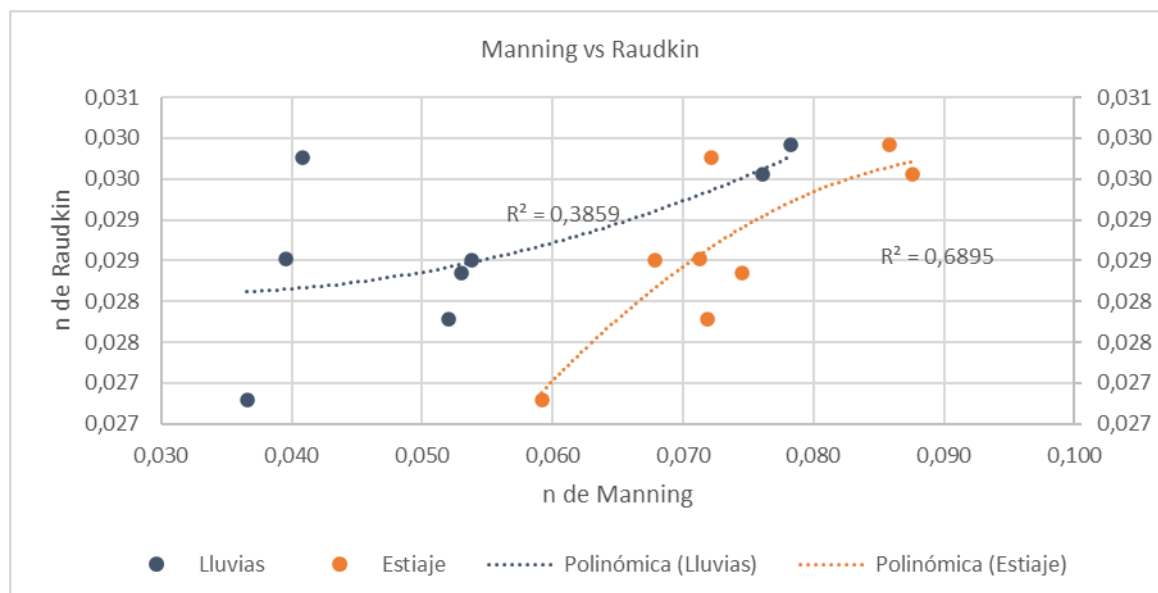
De la tabla 24, en el período de estiaje, las ecuaciones de Meyer-Peter y Müller, Raudkin, Garde y Raju varían -62.14%, -61% y -57.06% respectivamente con relación a la ecuación de Manning, la ecuación de Garde y Raju presenta menor error. En el período de lluvias las ecuaciones de Meyer-Peter y Müller, Raudkin, Garde y Raju varían -48.04%, -46.72% y -41.08% respectivamente a la ecuación de Manning, Garde y Raju tiene el menor error.

Gráfico 1. Correlación de Manning vs Meyer-Peter y Müller.



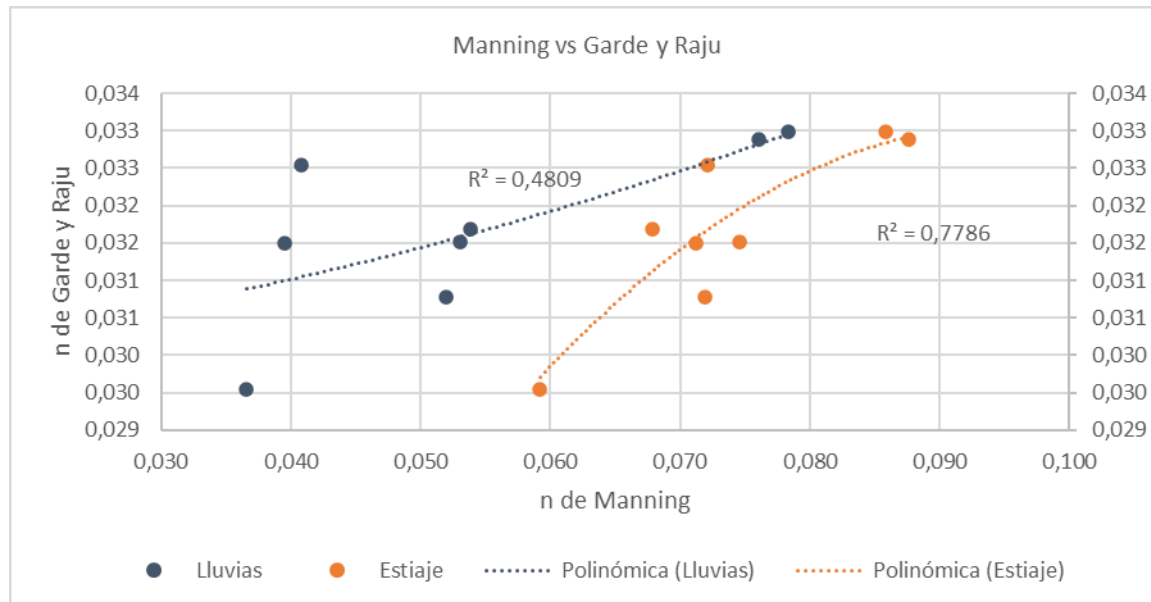
En el gráfico 1, se tiene el mejor ajuste a una tendencia polinómica en el período de estiaje, con un $R^2=0.701$, lo que indica que la variable de respuesta tiene un 70.1% de ser calculada por la variable predictiva (n de Manning), mientras que la de menor ajuste lo tiene en el período de lluvias con una tendencia polinómica de $R^2=0.2809$.

Gráfico 2. Correlación de Manning vs Raudkin.



En el gráfico 2, se tiene el mejor ajuste a una tendencia polinómica en el período de estiaje con un $R^2 = 0.6895$, mientras que el menor ajuste se da en el período lluvioso con un $R^2 = 0.3859$

Gráfico 3. Correlación de Manning vs Garde y Raju



Del gráfico 3, se tiene el mejor ajuste a una tendencia polinómica al período de estiaje, con un $R^2 = 0.778$ y el menor ajuste al período de lluvioso con una tendencia de $R^2 = 0.4809$

4.3.3. Resultados de la ecuación de Limerinos

Tabla 25. Resultados de la ecuación de Limerinos – Período de estiaje.

Fechas	Sec./1	Sec./2	Sec./3	Sec./4	Sec./5	Sec./6	Sec./7	Sec./8
17/07/22	0.085	0.067	0.073	0.080	0.064	0.061	0.072	0.054
25/07/22	0.070	0.056	0.062	0.075	0.061	0.060	0.063	0.052
13/08/22	0.062	0.060	0.061	0.067	0.056	0.056	0.060	0.052
21/09/22	0.057	0.061	0.064	0.064	0.054	0.054	0.057	0.051
30/09/22	0.054	0.055	0.058	0.058	0.050	0.051	0.053	0.050
Prom.	0.066	0.060	0.064	0.069	0.057	0.056	0.061	0.052

Tabla 26. Resultados de la ecuación de Limerinos – Período de lluvias.

Fechas	Sec./1	Sec./2	Sec./3	Sec./4	Sec./5	Sec./6	Sec./7	Sec./8
25/10/22	0.052	0.046	0.046	0.051	0.045	0.044	0.048	0.043
29/10/22	0.051	0.045	0.045	0.050	0.044	0.043	0.047	0.043
26/12/22	0.049	0.044	0.045	0.048	0.043	0.042	0.045	0.041
2/01/23	0.050	0.044	0.049	0.049	0.043	0.042	0.046	0.042
12/01/23	0.047	0.042	0.047	0.047	0.042	0.041	0.044	0.040
Prom.	0.050	0.044	0.046	0.049	0.043	0.043	0.046	0.042

De la tabla 25, a ecuación de Limerinos en el período de estiaje en el tramo Puente Llacañora – Huayrapongo del río Cajamarquino, tiene un valor promedio de 0.061 y de la

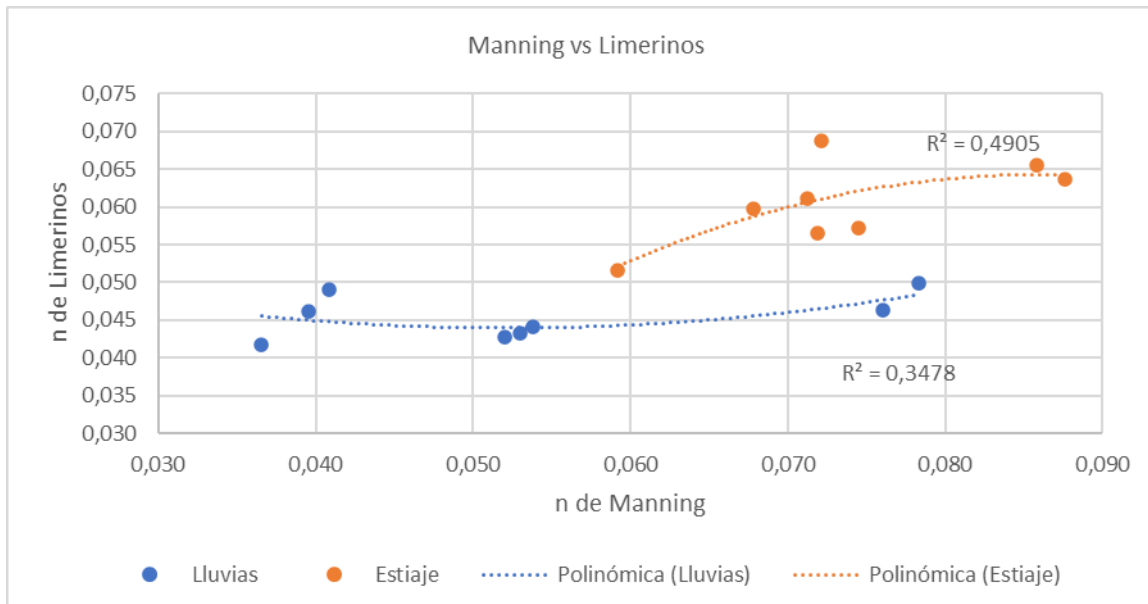
tabla 26, en el período lluvioso es de 0.045. esto indica que al incrementar el radio hidráulico el coeficiente de rugosidad “n” disminuye su valor.

Tabla 27. Variación de la ecuación de Limerinos y la ecuación de Manning

Coeficientes de Rugosidad - Estiaje				Coeficientes de Rugosidad - Lluvias		
Secciones	Manning	Limerinos	Variación (%)	Manning	Limerinos	Variación (%)
E1	0.086	0.066	-23.59	0.078	0.050	-36.34
E2	0.068	0.060	-11.92	0.054	0.044	-17.82
E3	0.088	0.064	-27.41	0.076	0.046	-39.16
E4	0.072	0.069	-4.66	0.041	0.049	20.11
E5	0.075	0.057	-23.33	0.053	0.043	-18.20
E6	0.072	0.056	-21.46	0.052	0.043	-17.79
E7	0.071	0.061	-14.15	0.040	0.046	16.73
E8	0.059	0.052	-12.78	0.037	0.042	14.39
Prom.	0.074	0.061	-17.99	0.054	0.045	-15.50

De la tabla 27, en el período de estiaje, la ecuación de Limerinos presenta una variación de -17.99% con relación a la ecuación de Manning, y para el período lluvioso la ecuación de Limerinos tiene una variación de -15.5% respecto a la ecuación de Manning. En los dos resultados la variación porcentual en el periodo de lluvias es menor.

Gráfico 4. Correlación de Manning vs Limerinos



Del gráfico 4, el período de estiaje muestra una mejor tendencia polinómica con un $R^2=0.4905$ y para el período de lluvias una tendencia de $R^2=0.3478$

4.3.4. Resultados de la ecuación de Griffiths

Tabla 28. Resultados de la ecuación de Griffiths – Período de estiaje.

Fechas	Sec./1	Sec./2	Sec./3	Sec./4	Sec./5	Sec./6	Sec./7	Sec./8
17/07/22	0.086	0.071	0.079	0.078	0.067	0.062	0.068	0.054
25/07/22	0.070	0.058	0.067	0.073	0.063	0.061	0.061	0.052
13/08/22	0.063	0.063	0.066	0.066	0.058	0.057	0.058	0.052
21/09/22	0.058	0.064	0.063	0.063	0.056	0.054	0.055	0.052
30/09/22	0.054	0.057	0.057	0.057	0.051	0.051	0.052	0.050
Prom.	0.066	0.063	0.066	0.068	0.059	0.057	0.059	0.052

Tabla 29. Resultados de la ecuación de Griffiths – Período de lluvias.

Fechas	Sec./1	Sec./2	Sec./3	Sec./4	Sec./5	Sec./6	Sec./7	Sec./8
25/10/22	0.053	0.047	0.048	0.051	0.046	0.045	0.047	0.044
29/10/22	0.052	0.047	0.048	0.050	0.045	0.044	0.046	0.043
26/12/22	0.050	0.045	0.047	0.048	0.044	0.042	0.045	0.042
02/01/23	0.050	0.045	0.048	0.048	0.044	0.043	0.045	0.042
12/01/23	0.048	0.044	0.047	0.047	0.043	0.042	0.043	0.040
Prom.	0.050	0.046	0.047	0.049	0.044	0.043	0.045	0.042

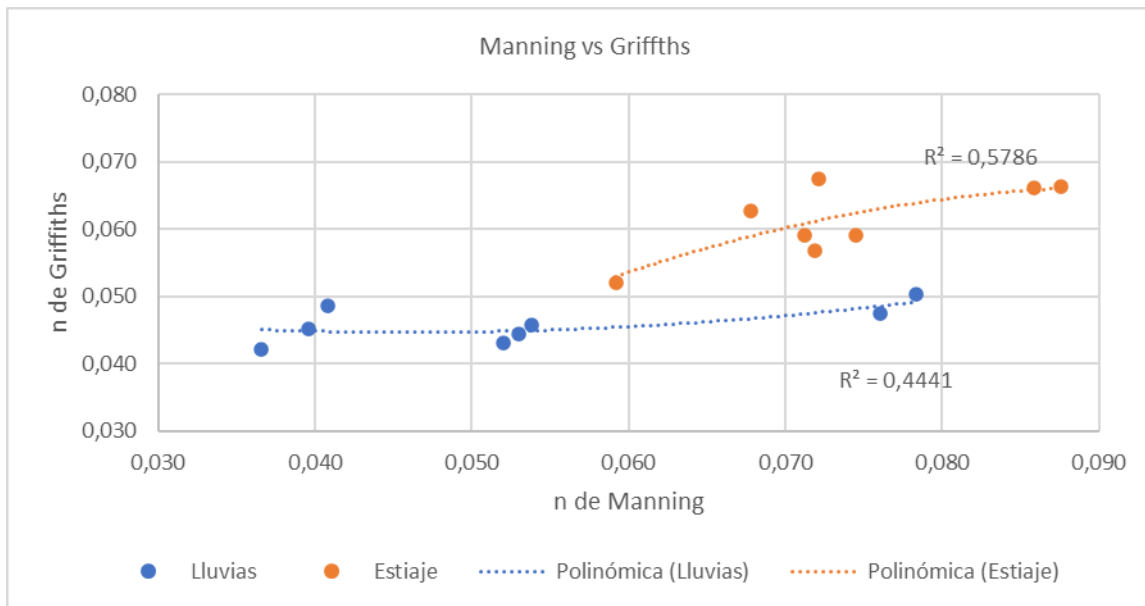
De la tabla 28, la ecuación de Griffiths en el período de estiaje tiene un promedio en el coeficiente de rugosidad “n” de 0.061 y de la tabla 29, en el período lluvioso el promedio es de 0.046, de esta manera al incrementarse el radio hidráulico el coeficiente reduce su valor.

Tabla 30. Variación de la ecuación de Griffiths y la ecuación de Manning

Coeficientes de Rugosidad - Estiaje				Coeficientes de Rugosidad - Lluvias		
Secciones	Manning	Griffiths	Variación (%)	Manning	Griffiths	Variación (%)
E1	0.086	0.066	-22.91	0.078	0.050	-35.75
E2	0.068	0.063	-7.68	0.054	0.046	-15.07
E3	0.088	0.066	-24.33	0.076	0.047	-37.63
E4	0.072	0.068	-6.38	0.041	0.049	19.26
E5	0.075	0.059	-20.79	0.053	0.044	-16.18
E6	0.072	0.057	-20.98	0.052	0.043	-17.17
E7	0.071	0.059	-17.15	0.040	0.045	14.46
E8	0.059	0.052	-12.20	0.037	0.042	15.27
Promedio	0.074	0.061	-17.08	0.054	0.046	-14.66

De la tabla 30, en el período de estiaje, la ecuación de Griffiths presenta una variación de -17.08% con relación a la ecuación de Manning, y para el período lluvioso la ecuación de Griffiths tiene una variación de -14.66% respecto a la ecuación de Manning. En los dos resultados calculados la variación porcentual en el periodo lluvioso es menor.

Gráfico 5. Correlación de Manning vs Griffiths



Del gráfico 5, presenta un mejor ajuste al período de estiaje una tendencia polinómica de $R^2= 0.5786$ y para el período lluvioso un valor de $R^2= 0.4441$

4.3.5. Resultados de la ecuación de Phillip e Ingersoll

Tabla 31. Resultados de la ecuación de Phillip e Ingersoll – Período de estiaje.

Fechas	Sec./1	Sec./2	Sec./3	Sec./4	Sec./5	Sec./6	Sec./7	Sec./8
17/07/22	0.049	0.043	0.047	0.046	0.041	0.039	0.042	0.035
25/07/22	0.044	0.038	0.042	0.044	0.040	0.039	0.039	0.035
13/08/22	0.041	0.040	0.042	0.042	0.038	0.037	0.038	0.035
21/09/22	0.039	0.040	0.040	0.040	0.037	0.036	0.037	0.034
30/09/22	0.037	0.038	0.038	0.038	0.035	0.035	0.035	0.034
Prom.	0.042	0.040	0.042	0.042	0.038	0.037	0.038	0.035

Tabla 32. Resultados de la ecuación de Phillip e Ingersoll – Período de lluvias.

Fechas	Sec./1	Sec./2	Sec./3	Sec./4	Sec./5	Sec./6	Sec./7	Sec./8
25/10/22	0.036	0.033	0.034	0.035	0.033	0.032	0.033	0.031
29/10/22	0.036	0.033	0.034	0.035	0.032	0.031	0.033	0.031
26/12/22	0.035	0.032	0.033	0.034	0.032	0.031	0.032	0.030
2/01/23	0.035	0.032	0.034	0.034	0.032	0.031	0.032	0.030
12/01/23	0.034	0.032	0.033	0.033	0.031	0.030	0.031	0.029
Prom.	0.035	0.033	0.034	0.034	0.032	0.031	0.032	0.030

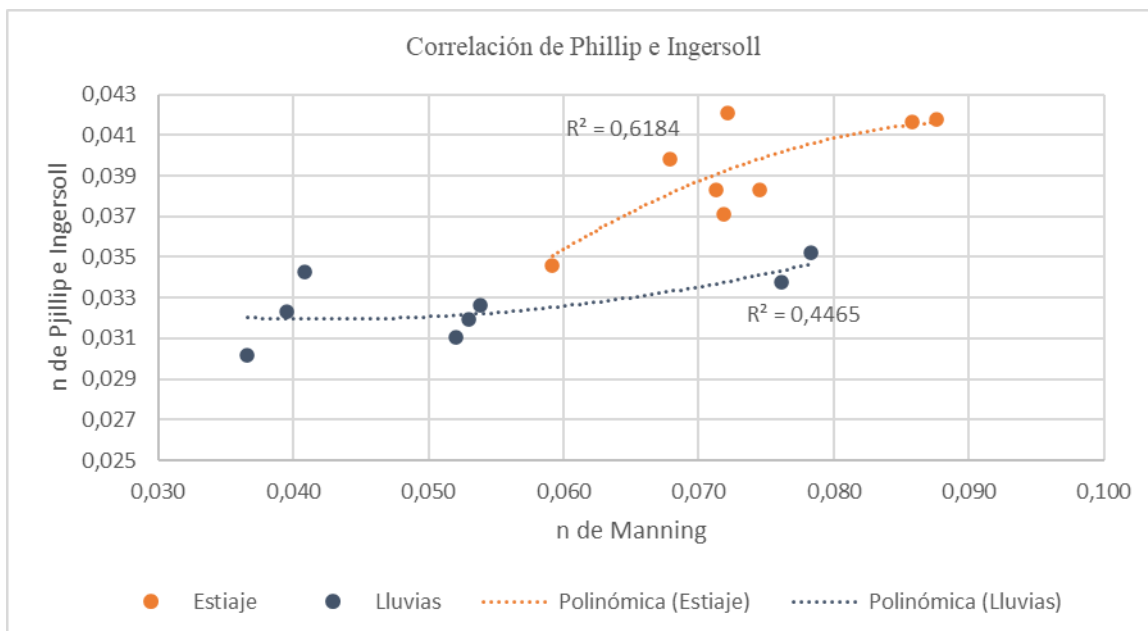
De la tabla 31, la ecuación de Phillip e Ingersoll para el coeficiente de rugosidad “n”, presenta un promedio de 0.039 para el período de estiaje y en la tabla 32, un valor promedio de 0.033 para el período de lluvias. Los resultados indican que cuando el radio hidráulico se incrementa, el coeficiente “n” disminuye.

Tabla 33. Variación de la ecuación de Phillip e Ingersoll y la ecuación de Manning

Coeficientes de Rugosidad - Estiaje				Coeficientes de Rugosidad - Lluvias		
Secciones	Manning	Phillip e Ingersoll	Variación (%)	Manning	Phillip e Ingersoll	Variación (%)
E1	0.086	0.042	-51.44	0.078	0.035	-55.04
E2	0.068	0.040	-41.24	0.054	0.033	-39.41
E3	0.088	0.042	-52.33	0.076	0.034	-55.57
E4	0.072	0.042	-41.61	0.041	0.034	-15.98
E5	0.075	0.038	-48.58	0.053	0.032	-39.73
E6	0.072	0.037	-48.38	0.052	0.031	-40.29
E7	0.071	0.038	-46.23	0.040	0.032	-18.24
E8	0.059	0.035	-41.56	0.037	0.030	-17.46
Prom.	0.074	0.039	-46.85	0.054	0.033	-39.22

De la tabla 33, en el período de estiaje, la ecuación de Phillip e Ingersoll tiene una variación de -46.85% con relación a la ecuación de Manning, y para el período lluvioso la ecuación de Phillip e Ingersoll tiene una variación de -39.85% respecto a la ecuación de Manning.

Gráfico 6. Correlación de Manning vs Phillip e Ingersoll



Del gráfico 6, en el período de estiaje se tiene el mejor ajuste a una tendencia polinómica con un $R^2= 0.6184$, mientras el período de lluvias se tiene una tendencia polinómica de $R^2= 0.4465$

4.3.6. Resultado de la ecuación de Jarrett

Tabla 34. Resultados de la ecuación de Jarrett – Período de estiaje.

Fechas	Sec./1	Sec./2	Sec./3	Sec./4	Sec./5	Sec./6	Sec./7	Sec./8
17/07/22	0.089	0.070	0.062	0.052	0.060	0.069	0.057	0.061
25/07/22	0.085	0.066	0.059	0.051	0.059	0.069	0.055	0.060
13/08/22	0.082	0.068	0.059	0.049	0.057	0.067	0.054	0.060
21/09/22	0.079	0.068	0.049	0.049	0.056	0.066	0.053	0.060
30/09/22	0.076	0.065	0.047	0.047	0.054	0.064	0.051	0.059
Prom.	0.082	0.067	0.055	0.049	0.057	0.067	0.054	0.060

Tabla 35. Resultados de la ecuación de Jarrett – Período de lluvias.

Fechas	Sec./1	Sec./2	Sec./3	Sec./4	Sec./5	Sec./6	Sec./7	Sec./8
25/10/22	0.075	0.059	0.050	0.044	0.050	0.059	0.049	0.055
29/10/22	0.074	0.058	0.050	0.043	0.050	0.058	0.048	0.054
26/12/22	0.073	0.057	0.049	0.043	0.049	0.057	0.047	0.053
02/01/23	0.073	0.057	0.043	0.043	0.049	0.061	0.047	0.053
12/01/23	0.071	0.056	0.042	0.042	0.048	0.056	0.046	0.051
Prom.	0.073	0.058	0.047	0.043	0.049	0.058	0.047	0.053

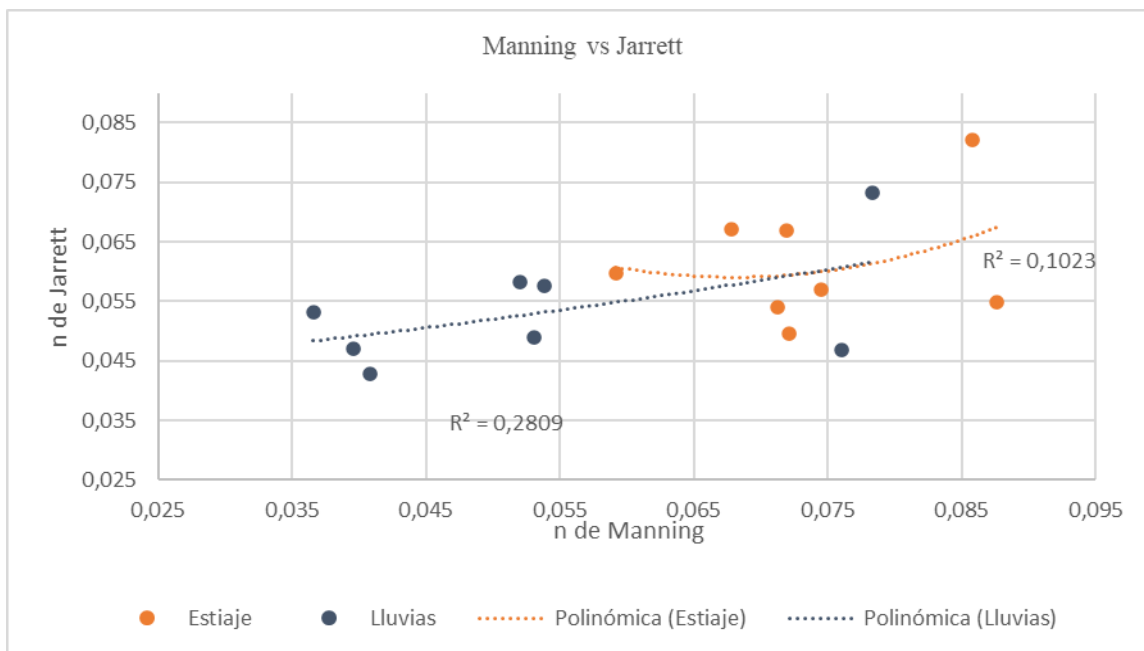
De la tabla 34, la ecuación de Jarrett presenta un valor promedio en el coeficiente de rugosidad de 0.061 para el período de estiaje y de la tabla 35, un valor de 0.053 para el período de lluvioso. Los resultados muestran si el radio hidráulico se incrementa, el valor del parámetro “n” disminuye.

Tabla 36. Variación de la ecuación de Jarrett y la ecuación de Manning

Coeficientes de Rugosidad - Estiaje				Coeficientes de Rugosidad - Lluvias		
Secciones	Manning	Jarrett	Variación (%)	Manning	Jarrett	Variación (%)
E1	0.086	0.082	-4.35	0.078	0.073	-6.44
E2	0.068	0.067	-0.91	0.054	0.058	7.07
E3	0.088	0.055	-37.34	0.076	0.047	-38.44
E4	0.072	0.049	-31.38	0.041	0.043	5.08
E5	0.075	0.057	-23.66	0.053	0.049	-7.59
E6	0.072	0.067	-6.93	0.052	0.058	11.90
E7	0.071	0.054	-24.25	0.040	0.047	19.16
E8	0.059	0.060	1.06	0.037	0.053	45.19
Promedio	0.074	0.061	-16.77	0.054	0.053	-0.50

La tabla 36, en el período de estiaje la ecuación de Jarrett presenta una variación de -16.77% con relación a la ecuación de Manning, y para el período lluvioso la ecuación de Jarrett tiene una variación de -0.50% respecto a la ecuación de Manning.

Gráfico 7. Correlación de Manning vs Jarrett



El gráfico 7, el período lluvioso tiene el mejor ajuste a una tendencia polinómica con un $R^2 = 0.2809$ a relación del período de estiaje con un $R^2 = 0.1023$

4.3.7. Resultado de la ecuación de Sauer

Tabla 37. Resultados de la ecuación de Sauer – Período de estiaje.

Fechas	Sec./1	Sec./2	Sec./3	Sec./4	Sec./5	Sec./6	Sec./7	Sec./8
17/07/22	0.049	0.044	0.042	0.038	0.041	0.044	0.040	0.041
25/07/22	0.050	0.045	0.043	0.039	0.041	0.044	0.041	0.041
13/08/22	0.051	0.045	0.043	0.039	0.042	0.044	0.041	0.041
21/09/22	0.052	0.045	0.039	0.039	0.042	0.045	0.041	0.041
30/09/22	0.053	0.045	0.040	0.040	0.043	0.046	0.042	0.042
Prom.	0.051	0.045	0.042	0.039	0.042	0.045	0.041	0.041

Tabla 38. Resultados de la ecuación de Sauer – Período de lluvias.

Fechas	Sec./1	Sec./2	Sec./3	Sec./4	Sec./5	Sec./6	Sec./7	Sec./8
25/10/22	0.053	0.048	0.046	0.041	0.045	0.047	0.043	0.043
29/10/22	0.054	0.048	0.047	0.042	0.045	0.048	0.044	0.044
26/12/22	0.054	0.048	0.047	0.042	0.045	0.048	0.044	0.044
02/01/23	0.054	0.048	0.042	0.042	0.045	0.048	0.044	0.044
12/01/23	0.055	0.049	0.043	0.043	0.046	0.049	0.044	0.045
Prom.	0.054	0.048	0.045	0.042	0.045	0.048	0.044	0.044

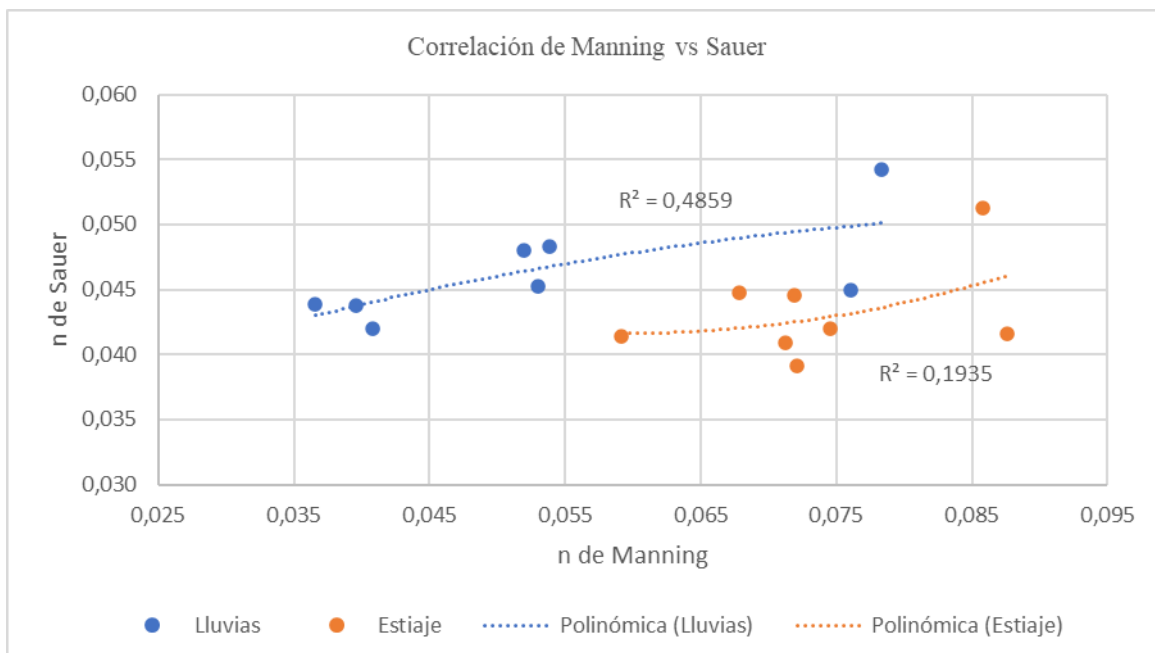
En la tabla 37, la ecuación de Sauer presenta un valor promedio en el coeficiente “n” para el período de estiaje de 0.043 y en la tabla 38 para el período lluvioso de 0.046.

Tabla 39. Variación de la ecuación de Sauer y la ecuación de Manning

Coeficientes de Rugosidad - Estiaje				Coeficientes de Rugosidad - Lluvias		
Secciones	Manning	Sauer	Variación (%)	Manning	Sauer	Variación (%)
E1	0.086	0.051	-40.24	0.078	0.054	-30.72
E2	0.068	0.045	-34.02	0.054	0.048	-10.20
E3	0.088	0.042	-52.55	0.076	0.045	-40.88
E4	0.072	0.039	-45.72	0.041	0.042	3.02
E5	0.075	0.042	-43.61	0.053	0.045	-14.62
E6	0.072	0.045	-38.04	0.052	0.048	-7.59
E7	0.071	0.041	-42.54	0.040	0.044	10.77
E8	0.059	0.041	-30.11	0.037	0.044	20.02
Promedio	0.074	0.043	-41.44	0.054	0.046	-13.84

En la tabla 39, el período de estiaje, la ecuación de Sauer presenta una variación de -41.44% con relación a la ecuación de Manning, y para el período lluvioso la ecuación de Sauer tiene una variación de -13.84% respecto a la ecuación de Manning.

Gráfico 8. Correlación de Manning vs Sauer



Del gráfico 8, se tiene el mejor ajuste a una tendencia polinómica, con un $R^2= 0.4859$ para el período lluvioso, mientras que para el período de estiaje tiene un valor de $R^2= 0.1935$

4.3.8. Resultado de la ecuación de Riekenmann

Tabla 40. Resultados de la ecuación de Riekenmann – Período de estiaje.

Fechas	Sec./1	Sec./2	Sec./6
17/07/22	0.102	0.071	0.066
25/07/22	0.092	0.062	0.065
13/08/22	0.085	0.066	0.062
21/09/22	0.079	0.066	0.059
30/09/22	0.074	0.060	0.056
Prom.	0.086	0.065	0.062

Tabla 41. Resultados de la ecuación de Riekenmann – Período de lluvias.

Fechas	Sec./1	Sec./2	Sec./6
25/10/22	0.072	0.050	0.048
29/10/22	0.070	0.049	0.046
26/12/22	0.067	0.047	0.044
2/01/23	0.068	0.047	0.050
12/01/23	0.063	0.044	0.043
Prom.	0.068	0.047	0.046

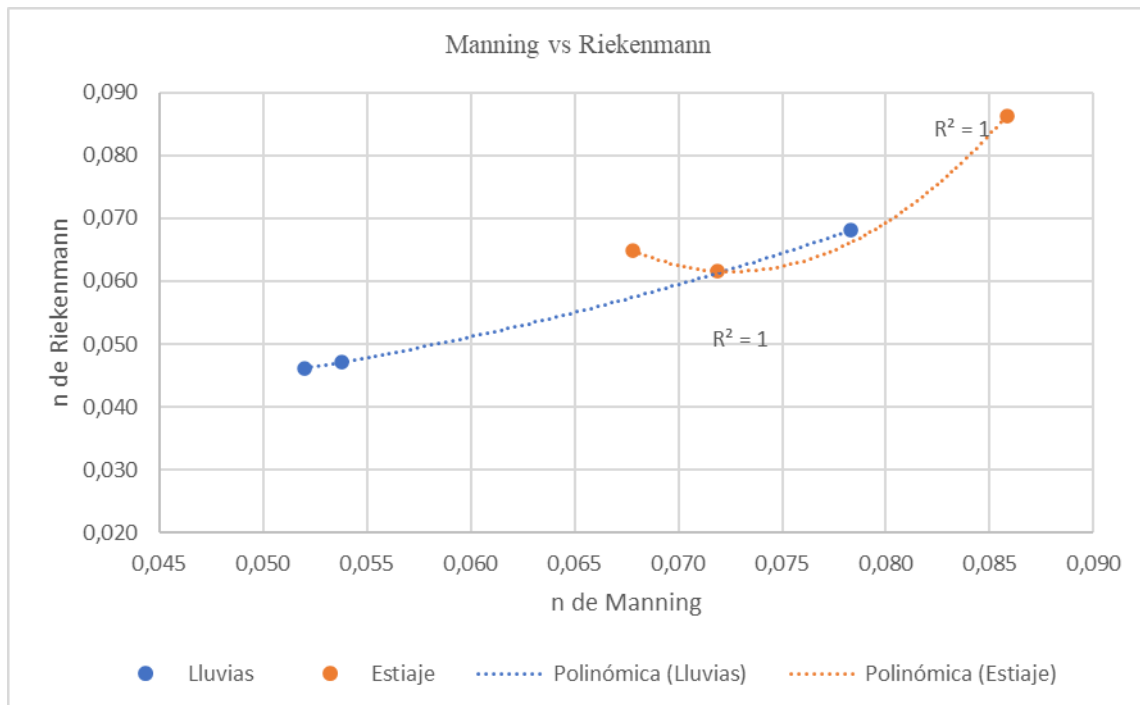
De la tabla 40, la ecuación de Riekenmann presenta un valor promedio de 0.071 para el período de estiaje y de la tabla 41 se tiene un valor promedio de 0.054 para el período lluvioso en el tramo de estudio Puente Llacanora – Huayrapongo del río Cajamarquino. Los resultados muestran que, al incrementar la sumersión relativa, el coeficiente de rugosidad disminuye.

Tabla 42. Variación de la ecuación de Riekenman y la ecuación de Manning

Coeficientes de Rugosidad - Estiaje				Coeficientes de Rugosidad - Lluvias		
Secciones	Manning	Riekenman	Variación (%)	Manning	Riekenman	Variación (%)
E1	0.086	0.086	0.61	0.078	0.068	-13.04
E2	0.068	0.065	-4.42	0.054	0.047	-12.34
E6	0.072	0.062	-14.28	0.052	0.046	-11.19
Prom.	0.075	0.071	-6.030	0.061	0.054	-12.190

En la tabla 42, del período de estiaje, la ecuación de Riekenman presenta una variación de -6.03% con relación a la ecuación de Manning, y para el período lluvioso la ecuación de Riekenman tiene una variación de -12.19% respecto a la ecuación de Manning. Presenta mejores resultados a en el período de estiaje.

Gráfico 9. Correlación de Manning vs Riekenmann



Del gráfico 9, en el período de estiaje y en el período de lluvias $R^2=1$, indicando un alto valor de correlación.

4.3.9. Contraste de resultados con los antecedentes teóricos

- La investigación de Burgos (2016) determina el coeficiente de la rugosidad de Manning para el río Chonta entre cada una de sus secciones un valor mínimo de 0.057 y un valor máximo de 0.1151 y en esta investigación para el tramo del puente Llacanora – Huayrapongo del río Cajamarquino se encontró valores para estiaje de entre 0.059 y 0.088 y para el periodo de lluvias valores entre 0.037 a 0.078. Los resultados en esta investigación muestran un mejor ajuste de los coeficientes de Manning para el período de estiaje.
- En su investigación Rosales (2019) estima el coeficiente de la rugosidad para el río Santa, sector de Recuay en el departamento de Ancash, los valores estaban entre 0.0364 a 0.068 y en esta investigación para el tramo del puente Llacanora – Huayrapongo del río Cajamarquino se encontró valores para estiaje de entre 0.059 y 0.08 y para el periodo de lluvias valores entre 0.037 a 0.078. Los resultados de la ecuación de Manning del período lluvioso se ajustan mejor.

- Martínez & Solano (2020) determinan los coeficientes de rugosidad del río Tomebamba en Ecuador teniendo resultados para las ecuaciones de Meyer – Peter y Müller, Raudkin, Garde y Raju de 0.033, 0.032 y 0.035; además ha usado las ecuaciones de Limerinos teniendo valores entre 0.029 a 0.085 y la de Jarrett obteniendo valores de 0.038 a 0.111. Los resultados en esta investigación para las ecuaciones de Meyer – Peter y Müller, Raudkin, Garde y Raju de 0.028, 0.029 y 0.032 respectivamente; para la ecuación de Limerinos se tiene valores de 0.052 a 0.069 para el período de estiaje y de entre 0.042 a 0.050 para el período de lluvias, para la ecuación de Jarrett en el periodo de estiaje los valores oscilan entre 0.049 a 0.082 y para el periodo de lluvias los valores están entre 0.043 a 0.073. Los resultados en las ecuaciones de Meyer – Peter y Müller, Raudkin, Garde y Raju son muy similares a la investigación del antecedente teórico, la ecuación de Limerinos y de Jarrett tiene una variación en el valor.
- Baharamifar & Mohammadi (2012), determinan valores para Sauer entre 0.029 y 0.041, mientras que para Phillip e Ingersoll está entre 0.039 a 0.052. Los resultados en esta investigación para Sauer varían entre 0.044 a 0.054 para el período de lluvias y entre 0.041 a 0.051 para el período de estiaje, ambos teniendo resultados parecidos; para los resultados de Phillip e Ingersoll varía entre 0.035 a 0.042 para el período de estiaje y entre 0.042 a 0.054 para el período lluvioso, de los 2 resultados el período lluvioso se ajusta mejor.

CAPITULO V. CONCLUSIONES Y RECOMENDACIONES

5.1. CONCLUSIONES

- Los coeficientes de rugosidad en el tramo del Puente Llacanora – Huayrapongo del río Cajamarquino, utilizando las ecuaciones de Meyer – Peter y Müller, Raudkin, Garde y Raju mostraron resultados promedios de 0.028, 0.029 y 0.032 respectivamente; mientras que las ecuaciones Manning, Limerinos, Griffiths, Phillip e Ingersoll, Jarrett, Sauer y Riekenmann, para el período de estiaje mostraron valores promedios de 0.074, 0.061, 0.061, 0.039, 0.061, 0.043 y 0.071 respectivamente y para el período lluvioso valores promedios de 0.054, 0.045, 0.046, 0.033, 0.053, 0.046 y 0.054 respectivamente; para el período de estiaje se obtuvo los mejores resultados con relación a la ecuación de Manning fue la ecuación de Riekenmann con una variación porcentual de -6.03% y para el período lluvioso fue la ecuación de Jarrett con una variación porcentual de -0.5%, de esta manera la ecuación de Riekenmann y Jarrett se ajustan a las condiciones de la morfología, la granulometría de los sedimentos y al régimen de flujo en el río Cajamarquino, tramo puente Llacanora - Huayrapongo.
- El tramo del río Cajamarquino Puente Llacanora – Huayrapongo presenta una pendiente longitudinal aproximada de 0.637 % y tiene una sinuosidad de 1.35 que lo clasifica como un río sinuoso.
- El tramo del río Cajamarquino Puente Llacanora – Huayrapongo se muestrearon en 8 lugares representativos, el D_{50} varía en el rango de 61.77 mm a 119.47 mm, el D_{65} varía en el rango de 76.55 mm a 148.50 mm, el D_{84} varía en el rango de 97.66 mm a 188.02 mm y el D_{90} está en el rango de 103.39 hasta 201.35 mm
- El coeficiente de rugosidad en el tramo Puente Llacanora – Huayrapongo del río Cajamarquino en el período de estiaje, la ecuación de Manning presenta resultados que varían desde 0.059 a 0.088 un valor promedio de 0.074 y para el período lluvioso están en el rango de 0.037 a 0.078 con valor promedio de 0.054
- El coeficiente de rugosidad en el tramo del Puente Llacanora – Huayrapongo del río Cajamarquino, las ecuaciones de Meyer – Peter y Müller, Raudkin, Garde y Raju para el período de estiaje tienen un valor promedio de 0.028, 0.029 y 0.032 respectivamente y sus variaciones porcentuales están en -62.14%, -61.17% y -57.06% respectivamente con

respecto a la ecuación de Manning del periodo de estiaje; las ecuaciones de Meyer – Peter y Müller, Raudkin, Garde y Raju tienen variaciones porcentuales de -48.04%, -46.72% y -41.08% respectivamente con respecto a la ecuación de Manning del periodo lluvioso.

- Para el coeficiente de rugosidad en el tramo del Puente Llacanora – Huayrapongo del río Cajamarquino en el período de estiaje, las ecuaciones de Limerinos, Griffiths, Phillip e Ingersoll, Jarrett, Sauer y Riekenmann tiene un valor promedio de 0.061, 0.061, 0.039, 0.061, 0.043 y 0.071 respectivamente y sus variaciones porcentuales son -17.99%, -17.08%, -46.85%, -16.77%, -41.44% y de -6.03% respectivamente con relación a la ecuación de Manning del periodo de estiaje. Mostrando los mejores resultados para el período de estiaje la ecuación de Riekenmann.
- Para el coeficiente de rugosidad en el tramo del Puente Llacanora – Huayrapongo del río Cajamarquino en el período lluvioso, las ecuaciones de Limerinos, Griffiths, Phillip e Ingersoll, Jarrett, Sauer y Riekenmann tiene un valor promedio de 0.045, 0.046, 0.033, 0.053, 0.046 y 0.054 respectivamente y sus variaciones porcentuales son -15.5%, -14.66%, -39.85%, -0.50%, -13.84% y de -12.19% respectivamente con relación a la ecuación de Manning del periodo de lluvioso. Mostrando los mejores resultados para el período lluvioso la ecuación de Jarrett.

5.2. RECOMENDACIONES

- Es importante la construcción de estaciones de aforo a lo largo de los ríos de montaña, con finalidad de sacar datos como los elementos geométricos de la sección y los caudales máximos, de esta manera contribuir en la mejora de los diseños de las estructuras hidráulicas sin sobredimensionar los cálculos y costos.
- Además de las ecuaciones empíricas para determinar el coeficiente de rugosidad en los ríos, se deben utilizar otras metodologías como en función a la relación de velocidades y comparar los resultados para una mejor elección al momento del diseño.
- La construcción de trampas de sedimentos en el cauce del río en los meses de estiaje y así en los meses lluviosos poder retener el material de arrastre para ese año puntual, desde arenas hasta bolos para la generación de curvas granulométricas extendidas.
- Para una mejor precisión en los resultados tomados en campo al flujo, es necesario utilizar el rugosímetro.

REFERENCIAS BIBLIOGRÁFICAS

- Apaclla, R. (2014). Hidráulica Fluvial. Universidad Agraria La Molina. Lima, Perú. 219 P.
- Basile, P.A. (2018). Transporte de sedimentos y morfodinámica de ríos aluviales. Universidad Nacional de Rosario, Argentina. 455p.
- Bathurst, J. (1981). Flow Resistance of Large-Scale Roughness. Journal of the Hydraulics Division, Vol. 104, N°12. 158 p.
- Campos, A., Konstantinovich, E., Igorevich, I. (2016). Hidráulica e Hidrología para Ingeniería. Universidad de la Amistad de los pueblos de Rusia. 293p.
- Chow, V. (2004). Hidráulica de Canales Abiertos. Editorial Nomos. Primera Edición. Santafé de Bogotá, CO. 667 p.
- Coon, W. (1998). Estimación del coeficiente de rugosidad para cauces de arroyos naturales con riberas cubiertas de vegetación. Universidad de California, EE.UU. 154p.
- Cruz, F. y Guerra, E. (2017). Ecosistemas ribereños de montaña. Universidad Nacional Autónoma de México, México. 178 p.
- Das, B. M. (2001). Fundamentos de ingeniería geotécnica. Thomson Learning. 585p.
- García B. (1996). Resistencia al Flujo en Río de Montaña. XVII Congreso Latinoamericano de Hidráulica, 116 p.
- Garde, R. J. y Raju. G. (1985). Mechanics of sediment transportation and alluvial stream problems. 2^a ed. New Delhi: Jhon Wiley and Sons, 618p.
- Griffiths, G. (1987). Flow Resistance in Coarse Gravel BED Rivers. Journal of the Hydraulics Division, Vol. 107, 102 p.
- Hey, R. (1979). Flow Resistance in Gravel – Bed Rivers. Journal of the Hydraulics Divicion, Vol. 105, N°4 365 p.
- Lang, S., (Ladson), S. y Anderson, B. 2004. Una revisión de las ecuaciones empíricas para estimar rugosidad de la corriente y su aplicación a cuatro arroyos en Victoria. Revista Australiana de recursos hídricos.
- Lario, G., Bardají, A. (2017). Introducción a los riegos geológicos. Madrid, España. 302p.
- Limerinos, J. (1970). Determination of the Manning Coefficient from Measured Bed Roughness in Natural Channels. U.S. Govt. Water Supply Paper 1898-B. 47 p.

- López, A. (2005). Resistencia al Flujo de Ríos de Montaña. Desarrollo de Ecuaciones de predicción. Lleida. 155 p.
- Martínez, E. (2001). Hidráulica Fluvial Principios y Práctica. Ediciones Técnicas y Científicas BELLISCO, Madrid. 382 P.
- Ochoa, T. (2011). Hidráulica de ríos y procesos morfológicos. Ecoe Ediciones, Colombia.632 P.
- Pérez, B., Rodríguez, A. y Molina, J. (2017). Ingeniería de ríos. Universidad Michoacana de San Nicolas de Hidalgo, México. 279p.
- Pinto, H. (1998). Mecánica de suelos y sus aplicaciones. Editorial JC. Sexta edición. 234p.
- Rocha, A. (1998). Introducción a la Hidráulica Fluvial. Facultad de Ingeniería Civil. Universidad Nacional de Ingeniería. Lima, Perú. 270 P.
- U.S. DEPARTAMENT OF TRANSPORTATION. Stream Stability at Highway Structures. HEC N 20, March 2001
- Valencia W. (2008). Topografía para ingeniería. Universidad de la Serena, Santiago de Chile. 108 p.
- Vide, M. J. (2002). Ingeniería de Ríos. Ediciones UPC. Barcelona, ES. 331 p.
- Villón, V. M. (2004). Hidrología. Editorial Tecnológica de Costa Rica. Segunda Edición. Cartago, CR. 436 p.

ANEXOS

ANEXO N°1: PANEL FOTOGRÁFICO

Figura 35. Aforo en la sección N°1 del día 21/09/2022, $Q= 1.047\text{m}^3/\text{s}$ y $n= 0.083$



Figura 36. Aforo en la sección N°2 del día 25/07/2022, $Q= 0.576\text{m}^3/\text{s}$ y $n= 0.081$

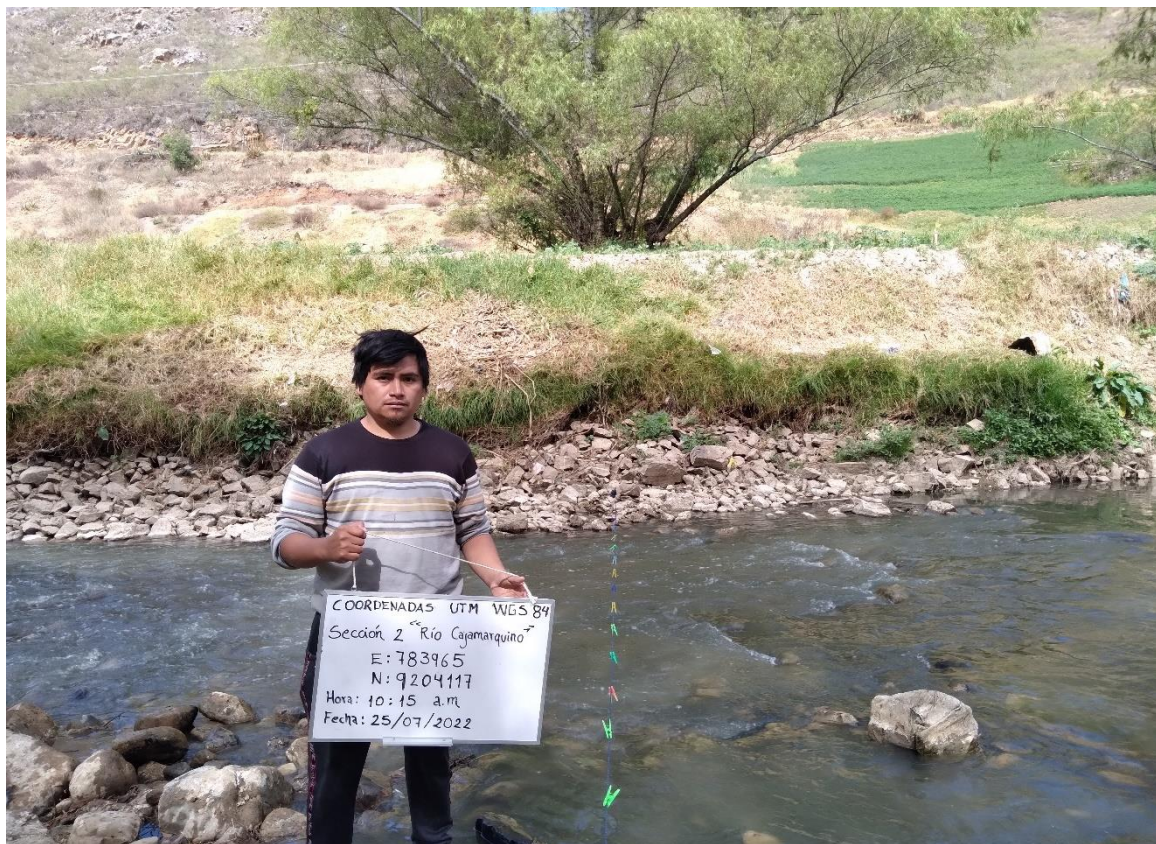


Figura 37. Aforo en la sección N°3 del día 13/08/2022, $Q= 0.778\text{m}^3/\text{s}$ y $n= 0.082$



Figura 38. Aforo en la sección N°4 del día 17/07/2022, $Q= 0.266\text{m}^3/\text{s}$ y $n= 0.097$



Figura 39. Aforo en la sección N°5 del día 25/07/2022, $Q= 0.490\text{m}^3/\text{s}$ y $n= 0.082$

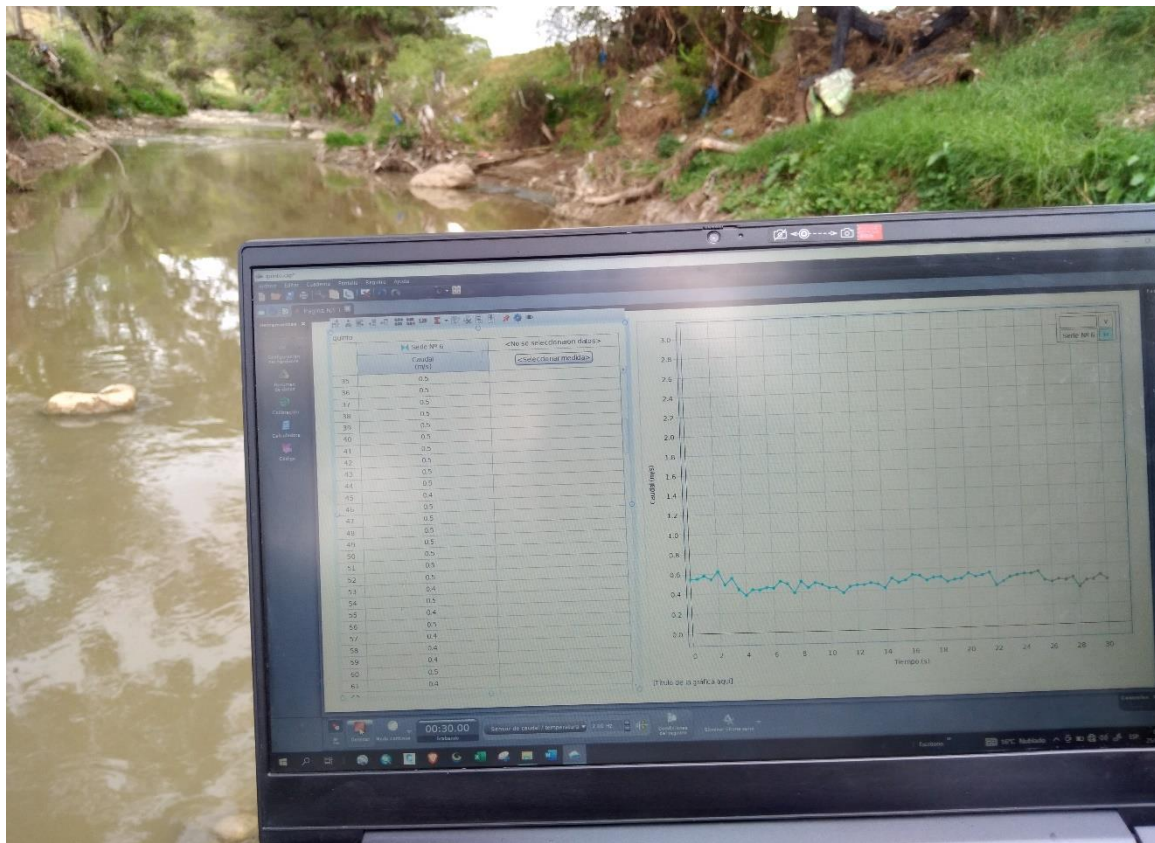


Figura 40. Aforo en la sección N°6 del día 17/07/2022, $Q= 0.278\text{m}^3/\text{s}$ y $n= 0.096$



Figura 41. Aforo en la sección N°7 del día 21/09/2022, $Q= 1.005\text{m}^3/\text{s}$ y $n= 0.067$



Figura 42. Aforo en la sección N°8 del día 13/08/2022, $Q= 0.741\text{m}^3/\text{s}$ y $n= 0.054$



Figura 43. Aforo en la sección N°1 del día 25/10/2022, $Q= 4.049\text{m}^3/\text{s}$ y $n= 0.080$



Figura 44. Aforo en la sección N°2 del día 25/10/2022, $Q= 4.027\text{m}^3/\text{s}$ y $n= 0.057$



Figura 45. Aforo en la sección N°3 del día 02/01/2023, $Q= 6.312\text{m}^3/\text{s}$ y $n= 0.074$



Figura 46. Aforo en la sección N°5 del día 26/12/2022, $Q= 6.585\text{m}^3/\text{s}$ y $n= 0.053$



Figura 47. Aforo en la sección N°8 del día 12/01/2023, $Q= 8.83\text{m}^3/\text{s}$ y $n= 0.035$



Figura 48. Muestreo de sedimentos en el punto N°8



Figura 49. Muestreo de sedimentos en el punto N°7



Figura 50. Muestreo de sedimentos en el punto N°6



Figura 51. Muestreo de sedimentos en el punto N°5



Figura 52. Muestreo de sedimentos en el punto N°4



Figura 53. Muestreo de sedimentos en el punto N°3



Figura 54. Muestreo de sedimentos en el punto N°2



Figura 55. Muestreo de sedimentos en el punto N°1



Figura 56. Secado de la muestra en el laboratorio de mecánica de suelos



Figura 57. Tamizado de la muestra de sedimentos del río



Figura 58. pesado de la muestra en el laboratorio.



ANEXO N°2: TOPOGRAFÍA

Tabla 43. Pendientes en la sección 1 de aforo

ESTE	NORTE	ALTITUD	LONGITUD(m)	DESNIVEL(m)	S	$\ln / \sqrt{S_n}$
784091.072	9203637.920	2584.740	4.92	0.075	1.524	3.98
784099.468	9203643.279	2584.815	5.09	0.090	1.768	3.83
784099.468	9203643.279	2584.905	5.07	0.120	2.367	3.30
784103.770	9203645.990	2585.025	5.08	0.077	1.516	4.13
784108.111	9203648.660	2585.102	5.08	0.064	1.260	4.53
784112.403	9203651.419	2585.166	5.09	0.075	1.475	4.19
784116.679	9203654.222	2585.241	5.11	0.068	1.331	4.43
784120.890	9203656.964	2585.309	5.02	0.088	1.753	3.79
784124.986	9203659.628	2585.397	4.88	0.087	1.783	3.65
784129.181	9203662.544	2585.484	5.09	0.088	1.729	3.87
784133.020	9203665.720	2585.572	5.07	0.068	1.341	4.38
784136.837	9203669.028	2585.640	5.06	0.069	1.364	4.33
784140.617	9203672.256	2585.709	4.95	0.058	1.172	4.57
784144.307	9203675.533	2585.767	4.92	0.089	1.809	3.66
784148.036	9203679.028	2585.856	5.08	0.077	1.516	4.13
784151.513	9203682.695	2585.933	5.02	0.092	1.833	3.71
TOTAL			80.53			64.47
			S1			1.560

Tabla 44. Pendientes en la sección 2 de aforo

ESTE	NORTE	ALTITUD	LONGITUD(m)	DESNIVEL(m)	S	$\ln / \sqrt{S_n}$
783966.503	9204126.795	2597.120	5.35	0.063	1.18	4.93
783963.197	9204130.973	2597.183	5.28	0.036	0.68	6.39
783959.947	9204135.158	2597.219	5.21	0.055	1.06	5.07
783956.944	9204139.344	2597.274	5.11	0.045	0.88	5.45
783954.03	9204143.642	2597.319	5.17	0.044	0.85	5.60
783951.114	9204148.005	2597.363	5.20	0.053	1.01	5.18
783944.978	9204156.280	2597.416	5.18	0.038	0.73	6.05
783941.686	9204160.308	2597.454	5.13	0.037	0.72	6.04
783938.338	9204164.318	2597.491	5.22	0.036	0.69	6.29
783934.876	9204168.290	2597.527	5.27	0.030	0.57	6.98
783931.659	9204172.318	2597.557	5.11	0.043	0.84	5.57
783928.536	9204176.425	2597.600	5.16	0.042	0.81	5.72
783925.942	9204180.863	2597.642	5.14	0.026	0.51	7.23
783923.316	9204185.293	2597.668	5.15	0.043	0.84	5.63
783920.493	9204189.637	2597.711	5.18	0.038	0.73	6.07
783917.531	9204193.935	2597.748	5.22	0.057	1.09	5.00
783914.298	9204197.969	2597.805	5.17	0.044	0.85	5.60
783911.429	9204202.246	2597.849	5.15	0.053	1.03	5.07
783908.527	9204206.513	2597.902	5.16	0.064	1.24	4.63
TOTAL			98.55			108.50
			S2			0.825

Tabla 45. Pendientes en la sección 3 de aforo

ESTE	NORTE	ALTITUD	LONGITUD(m)	DESNIVEL(m)	S	$\ln / \sqrt{S_n}$
783685.470	9204584.220	2605.600	4.90	0.030	0.61	6.28
783680.836	9204585.812	2605.630	4.95	0.029	0.59	6.43
783676.205	9204587.561	2605.659	5.10	0.035	0.69	6.13
783671.391	9204589.246	2605.694	5.08	0.045	0.89	5.39
783666.572	9204590.852	2605.740	5.06	0.040	0.79	5.69
783661.81	9204592.563	2605.780	5.12	0.032	0.63	6.45
783657.013	9204594.353	2605.812	5.11	0.023	0.45	7.60
783652.267	9204596.248	2605.835	4.98	0.028	0.56	6.63
783647.641	9204598.089	2605.863	5.08	0.034	0.67	6.20
783642.967	9204600.080	2605.897	5.02	0.029	0.58	6.58
783638.978	9204603.129	2605.926	5.07	0.026	0.52	7.06
TOTAL			55.47			70.44
			S3			0.620

Tabla 46. Pendientes en la sección 4 de aforo

ESTE	NORTE	ALTITUD	LONGITUD(m)	DESNIVEL(m)	S	$\ln / \sqrt{S_n}$
783019.432	9204755.534	2611.080	5.13	0.012	0.23	10.70
783014.307	9204755.293	2611.092	5.12	0.018	0.35	8.68
783009.191	9204755.482	2611.110	5.04	0.019	0.38	8.21
783004.153	9204755.349	2611.129	4.90	0.022	0.44	7.35
782999.259	9204755.091	2611.150	5.01	0.025	0.50	7.12
782994.251	9204755.032	2611.175	4.88	0.016	0.33	8.52
782989.398	9204754.509	2611.191	5.11	0.015	0.29	9.43
782984.289	9204754.386	2611.206	5.08	0.022	0.43	7.72
782979.237	9204753.856	2611.228	5.07	0.024	0.47	7.37
782974.189	9204753.380	2611.252	5.02	0.027	0.53	6.88
782969.173	9204753.202	2611.279	5.14	0.021	0.41	8.04
782964.070	9204752.579	2611.300	4.87	0.023	0.47	7.09
782959.04	9204752.79	2611.323	5.06	0.025	0.49	7.23
782945.115	9204750.156	2611.348	4.95	0.023	0.47	7.19
782940.167	9204749.994	2611.371	5.05	0.020	0.40	8.02
782935.119	9204750.122	2611.391	5.12	0.024	0.47	7.48
782930.007	9204749.841	2611.415	5.12	0.013	0.25	10.16
782924.889	9204749.701	2611.428	4.92	0.018	0.37	8.13
782919.971	9204749.860	2611.446	5.03	0.011	0.22	10.67
782914.942	9204749.778	2611.457	5.02	0.024	0.48	7.26
TOTAL			100.64			163.25
			S4			0.380

Tabla 47. Pendientes en la sección 5 de aforo

ESTE	NORTE	ALTITUD	LONGITUD(m)	DESNIVEL(m)	S	$\ln / \sqrt{S_n}$
782537.930	9204893.240	2613.940	4.842	0.027	0.56	6.48
782533.092	9204891.07	2613.967	4.972	0.026	0.52	6.88
782528.137	9204890.683	2613.993	5.117	0.028	0.55	6.92
782523.028	9204890.564	2614.021	5.073	0.031	0.61	6.47
782518.046	9204889.626	2614.052	5.061	0.038	0.76	5.81
782512.995	9204889.325	2614.091	5.077	0.034	0.67	6.20
782507.942	9204888.832	2614.125	5.064	0.026	0.51	7.07
782502.948	9204888.019	2614.151	5.123	0.038	0.74	5.97
782497.969	9204886.822	2614.188	4.962	0.025	0.50	7.03
782493.176	9204885.547	2614.213	5.048	0.029	0.57	6.66
782488.316	9204884.182	2614.242	5.079	0.021	0.41	7.90
782483.341	9204883.208	2614.263	4.911	0.015	0.30	8.98
782478.684	9204881.65	2614.278	5.074	0.024	0.48	7.32
782473.673	9204880.881	2614.302	5.012	0.027	0.53	6.87
782468.438	9204880.843	2614.329	5.087	0.025	0.49	7.26
782463.433	9204879.974	2614.354	4.983	0.028	0.56	6.68
782458.532	9204879.148	2614.381	4.977	0.031	0.62	6.31
782453.619	9204878.399	2614.412	5.033	0.039	0.77	5.72
782448.639	9204877.688	2614.451	4.983	0.040	0.80	5.56
TOTAL			95.48			128.08
			S5			0.556

Tabla 48. Pendientes en la sección 6 de aforo

ESTE	NORTE	ALTITUD	LONGITUD(m)	DESNIVEL(m)	S	$\ln / \sqrt{S_n}$
781860.710	9205013.630	2618.080	5.249	0.031	0.59	6.83
781855.715	9205012.018	2618.111	5.138	0.038	0.73	6.01
781850.978	9205010.026	2618.149	5.112	0.049	0.95	5.24
781846.751	9205007.152	2618.197	4.973	0.047	0.95	5.12
781842.165	9205005.236	2618.244	5.140	0.029	0.56	6.87
781837.366	9205003.395	2618.273	5.143	0.036	0.70	6.15
781832.598	9205001.498	2618.309	5.132	0.031	0.60	6.60
781827.522	9205000.738	2618.340	5.118	0.042	0.82	5.65
781822.933	9204998.472	2618.382	4.887	0.037	0.76	5.62
781818.388	9204996.677	2618.419	4.970	0.046	0.93	5.17
781813.657	9204995.153	2618.465	5.144	0.049	0.95	5.27
781808.800	9204993.459	2618.514	5.087	0.046	0.90	5.35
781803.915	9204992.040	2618.560	5.078	0.045	0.89	5.39
781799.072	9204990.514	2618.605	5.027	0.046	0.92	5.26
781794.183	9204989.343	2618.651	5.073	0.050	0.99	5.11
781789.193	9204988.431	2618.701	4.084	0.051	1.25	3.65
TOTAL			80.36			89.28
			S6			0.810

Tabla 49. Pendientes en la sección 7 de aforo

ESTE	NORTE	ALTITUD	LONGITUD(m)	DESNIVEL(m)	S	$\ln / \sqrt{S_n}$
781286.340	9204889.330	2621.352	5.140	0.016	0.31	9.21
781281.265	9204888.517	2621.368	6.253	0.021	0.34	10.79
781275.067	9204887.688	2621.389	4.850	0.028	0.58	6.38
781270.248	9204887.139	2621.417	5.500	0.022	0.40	8.70
781264.749	9204887.062	2621.439	6.011	0.026	0.43	9.14
781258.762	9204886.518	2621.465	5.220	0.031	0.59	6.77
781253.565	9204886.029	2621.496	5.130	0.027	0.53	7.07
781248.532	9204885.037	2621.523	5.070	0.028	0.55	6.82
781243.497	9204884.446	2621.551	5.084	0.041	0.81	5.66
781238.458	9204883.802	2621.592	5.180	0.034	0.66	6.39
TOTAL			53.44			76.94
			S7			0.482

Tabla 50. Pendientes en la sección 8 de aforo

ESTE	NORTE	ALTITUD	LONGITUD(m)	DESNIVEL(m)	S	$\ln / \sqrt{S_n}$
780448.360	9204973.610	2629.970	5.279	0.017	0.32	9.30
780444.293	9204976.976	2629.987	5.072	0.021	0.41	7.88
780440.679	9204980.534	2630.008	5.883	0.042	0.71	6.96
780436.345	9204984.513	2630.050	4.957	0.034	0.69	5.99
780433.401	9204988.501	2630.084	5.077	0.031	0.61	6.50
780430.126	9204992.380	2630.115	5.132	0.021	0.41	8.02
780426.158	9204995.635	2630.136	5.227	0.029	0.55	7.02
780422.141	9204998.979	2630.165	5.673	0.032	0.56	7.55
780417.883	9205002.723	2630.197	5.142	0.036	0.70	6.15
780414.046	9205006.143	2630.233	5.327	0.017	0.32	9.43
780409.932	9205009.528	2630.250	5.114	0.035	0.68	6.18
780406.708	9205013.497	2630.285	5.130	0.038	0.74	5.96
780403.345	9205017.447	2630.323	5.234	0.036	0.69	6.31
780399.918	9205021.324	2630.359	5.077	0.032	0.63	6.39
780396.717	9205025.264	2630.391	5.480	0.034	0.62	6.96
780392.742	9205029.037	2630.425	5.190	0.028	0.54	7.07
780389.269	9205032.893	2630.453	5.225	0.037	0.71	6.21
780385.197	9205036.167	2630.490	5.342	0.041	0.77	6.10
780380.936	9205039.390	2630.531	5.554	0.039	0.70	6.63
TOTAL			100.12			132.60
			S8			0.570

ANEXO N°3: ANÁLISIS GRANULOMÉTRICO

Tabla 51. Muestreo de sedimentos en el lecho del río – Punto N°1

Tamiz	AASHTO T-27	Peso	Porcentaje	Retenido	Porcentaje	Descripción de la muestra
	(mm)	Retenido	Retenido	Acumulado	Que pasa	
9"	228.60	0.00	0.00	0.00	100.00	Cu = 8.13
8"	203.20	39446.0	9.17	9.17	90.83	Cc = 2.68
7"	177.80	49165.0	11.43	20.60	79.40	
6"	152.40	52334.0	12.16	32.76	67.24	D10 = 17.18mm
5"	127.00	61241.0	14.23	47.00	53.00	D30 = 80.16mm
4"	101.60	43758.0	10.17	57.17	42.83	D50 = 119.47mm
3 1/2"	88.90	40037.0	9.31	66.47	33.53	D60 = 139.66mm
3"	76.20	22013.0	5.12	71.59	28.41	D65 = 148.50mm
2 1/2"	63.50	17146.0	3.99	75.58	24.42	D84 = 188.02mm
2"	50.80	16175.0	3.76	79.34	20.66	D90 = 201.35mm
1 1/2"	38.10	15295.0	3.56	82.89	17.11	
1"	25.40	15041.0	3.50	86.39	13.61	
3/4"	19.05	12325.0	2.86	89.25	10.75	
1/2"	12.70	11424.0	2.66	91.91	8.09	
3/8"	9.53	8439.0	1.96	93.87	6.13	
1/4"	6.35	7884.0	1.83	95.70	4.30	
N° 4	4.75	5871.0	1.36	97.07	2.93	
N° 10	2.36	2607.0	0.61	97.67	2.33	
N°20	0.85	2270.0	0.53	98.20	1.80	
N°30	0.6	2024.0	0.47	98.67	1.33	
N°40	0.43	2205.0	0.51	99.18	0.82	
N°60	0.25	1882.0	0.44	99.62	0.38	
N°100	0.15	818.0	0.19	99.81	0.19	
N°200	0.08	710.0	0.17	99.97	0.03	Peso
Cazoleta	0.08	108.0	0.03	100.00	0.00	Seco: 430 Kg.

Gráfico 10. Curva granulométrica extendida de la muestra N°1

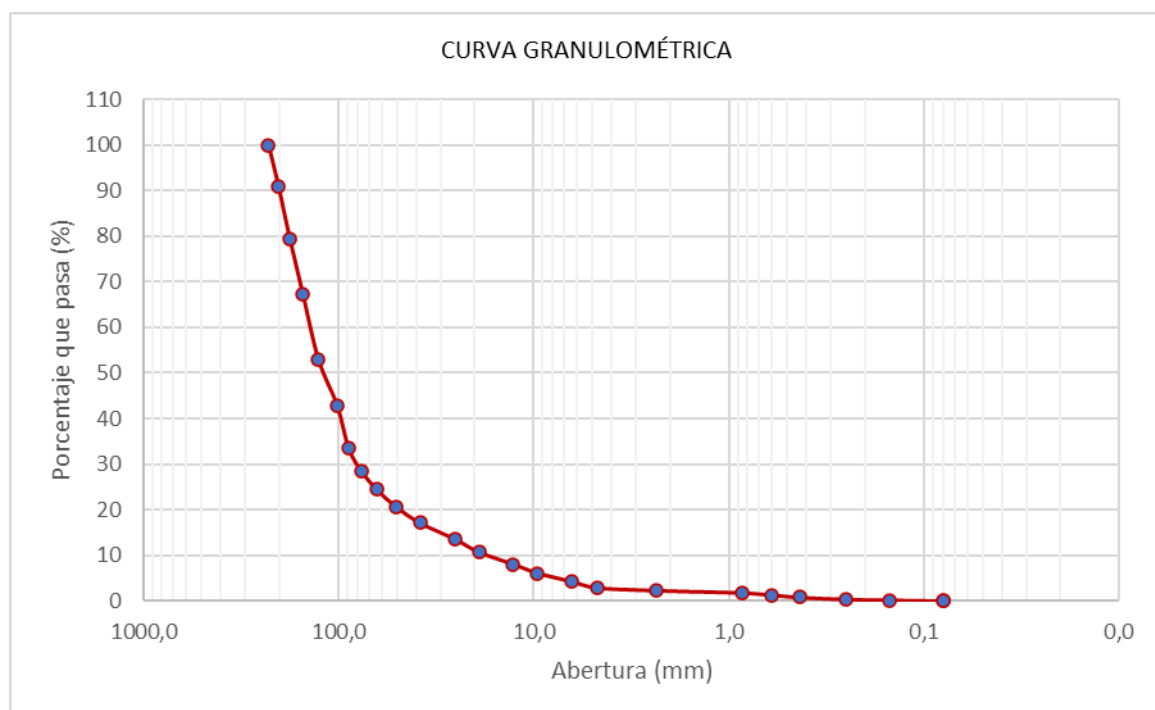


Tabla 52. Muestreo de sedimentos en el lecho del río – Punto N°2

Tamiz	AASHTO T-27	Peso	Porcentaje	Retenido	Porcentaje	Descripción de la muestra	
	(mm)	Retenido	Retenido	Acumulado	Que pasa		
7"	177.80	0.00	0.00	0.00	100.00	Cu =	9.99
6"	152.40	25970	8.37	8.37	91.63	Cc =	2.67
5"	127.00	44972	14.50	22.87	77.13		
4"	101.60	59385	19.15	42.02	57.98	D10 =	10.44mm
3 1/2"	88.90	39990	12.89	54.91	45.09	D30 =	53.98mm
3"	76.20	18700	6.03	60.94	39.06	D50 =	93.91mm
2 1/2"	63.50	17108	5.52	66.45	33.55	D60 =	104.35mm
2"	50.80	14810	4.77	71.23	28.77	D65 =	111.09mm
1 1/2"	38.10	14260	4.60	75.83	24.17	D84 =	139.01mm
1"	25.40	14920	4.81	80.64	19.36	D90 =	149.54mm
3/4"	19.05	12800	4.13	84.76	15.24		
1/2"	12.70	10906	3.52	88.28	11.72		
3/8"	9.53	7566	2.44	90.72	9.28		
1/4"	6.35	6950	2.24	92.96	7.04		
Nº 4	4.75	5210	1.68	94.64	5.36		
Nº 10	2.36	4870	1.57	96.21	3.79		
Nº20	0.85	3166	1.02	97.23	2.77		
Nº30	0.6	1955	0.63	97.86	2.14		
Nº40	0.43	2479	0.80	98.66	1.34		
Nº60	0.25	2226	0.72	99.38	0.62		
Nº100	0.15	1178	0.38	99.76	0.24		
Nº200	0.08	612	0.20	99.95	0.05	Peso	
Cazoleta	0.08	147	0.05	100.00	0.00	Seco:	310 Kg.

Gráfico 11. Curva granulométrica extendida de la muestra N°2

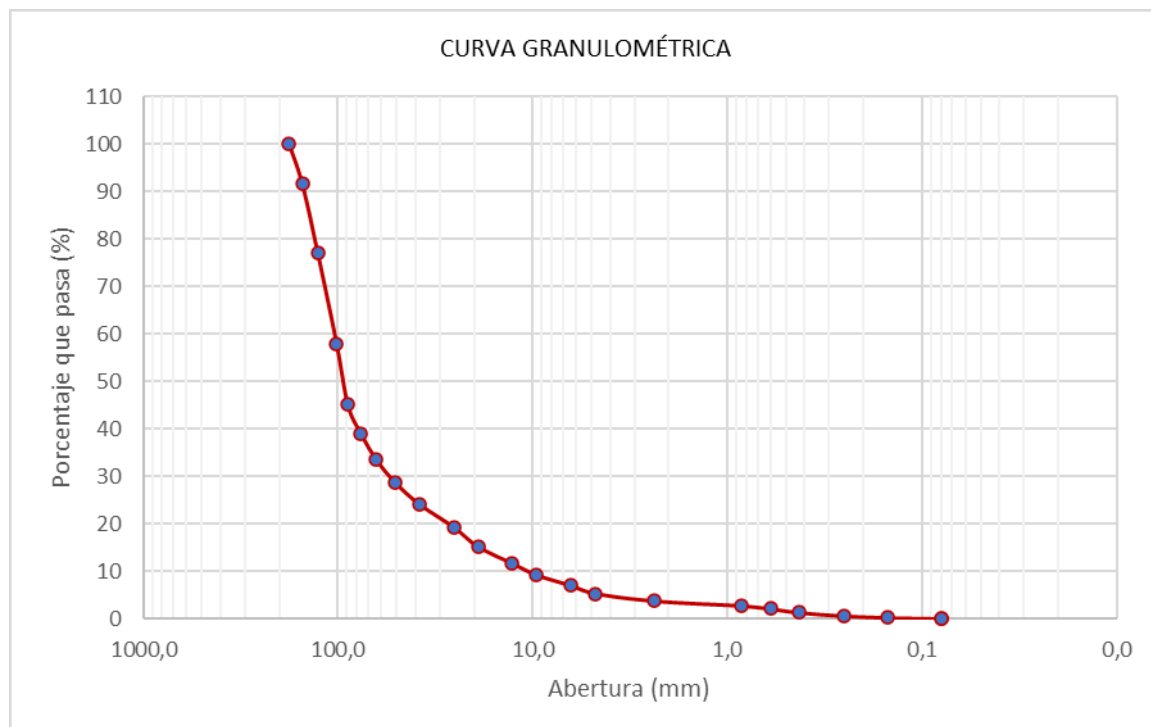


Tabla 53. Muestreo de sedimentos en el lecho del río – Punto N°3

Tamiz	AASHTO T-27	Peso	Porcentaje	Retenido	Porcentaje	Descripción de la muestra	
	(mm)	Retenido	Retenido	Acumulado	Que pasa		
8"	203.20	0.00	0.00	0.00	100.00	Cu =	4.58
7"	177.80	48750	10.83	10.83	89.17	Cc =	2.35
6"	152.40	58181	12.92	23.75	76.25		
5"	127.00	87660	19.47	43.22	56.78	D10 =	28.69mm
4"	101.60	76510	16.99	60.21	39.79	D30 =	94.18mm
3 1/2"	88.90	70140	15.58	75.79	24.21	D50 =	117.26mm
3"	76.20	17853	3.97	79.76	20.24	D60 =	131.41mm
2 1/2"	63.50	13430	2.98	82.74	17.26	D65 =	138.07mm
2"	50.80	10880	2.42	85.16	14.84	D84 =	167.64mm
1 1/2"	38.10	12330	2.74	87.90	12.10	D90 =	179.72mm
1"	25.40	13020	2.89	90.79	9.21		
3/4"	19.05	6890	1.53	92.32	7.68		
1/2"	12.70	8110	1.80	94.12	5.88		
3/8"	9.53	4378	0.97	95.09	4.91		
1/4"	6.35	4942	1.10	96.19	3.81		
Nº 4	4.75	2503	0.56	96.75	3.25		
Nº 10	2.36	3778	0.84	97.58	2.42		
Nº20	0.85	3287	0.73	98.31	1.69		
Nº30	0.60	2229	0.50	98.81	1.19		
Nº40	0.43	2111	0.47	99.28	0.72		
Nº60	0.25	1509	0.34	99.61	0.39		
Nº100	0.15	946	0.21	99.82	0.18		
Nº200	0.08	632	0.14	99.96	0.04	Peso	
Cazoleta	0.08	163	0.04	100.00	0.00	Seco:	450 Kg.

Gráfico 12. Curva granulométrica extendida de la muestra N°3

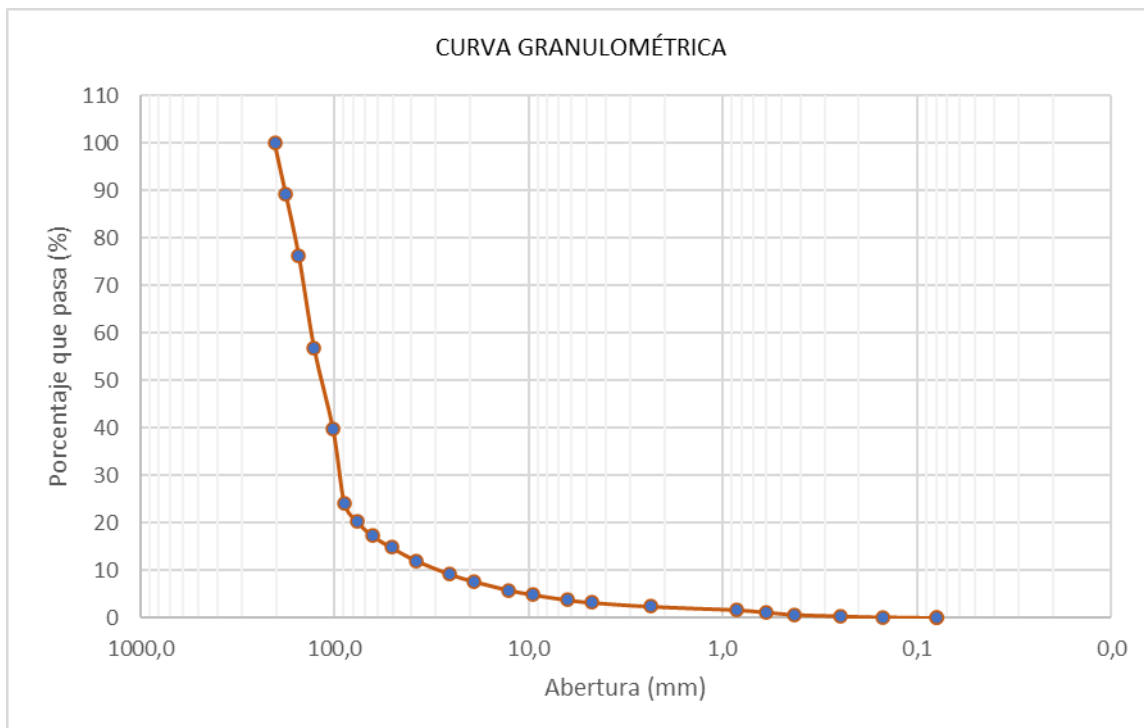


Tabla 54. Muestreo de sedimentos en el lecho del río – Punto N°4

Tamiz	AASHTO T-27	Peso	Porcentaje	Retenido	Porcentaje	Descripción de la muestra	
	(mm)	Retenido	Retenido	Acumulado	Que pasa		
9"	228.60	0.00	0.00	0.00	100.00	Cu =	10.90
8"	203.20	29353	7.91	7.91	92.09	Cc =	2.71
7"	177.80	33149	8.93	16.83	83.17		
6"	152.40	50883	13.70	30.54	69.46	D10 =	12.39mm
5"	127.00	50883	13.70	44.24	55.76	D30 =	67.30mm
4"	101.60	32375	8.72	52.96	47.04	D50 =	110.06mm
3 1/2"	88.90	29766	8.02	60.97	39.03	D60 =	134.96mm
3"	76.20	21227	5.72	66.69	33.31	D65 =	144.23mm
2 1/2"	63.50	17619	4.74	71.44	28.56	D84 =	180.13mm
2"	50.80	16476	4.44	75.87	24.13	D90 =	197.17mm
1 1/2"	38.10	15790	4.25	80.13	19.87		
1"	25.40	12640	3.40	83.53	16.47		
3/4"	19.05	13390	3.61	87.14	12.86		
1/2"	12.70	9880	2.66	89.80	10.20		
3/8"	9.53	7850	2.11	91.91	8.09		
1/4"	6.35	6500	1.75	93.66	6.34		
Nº 4	4.75	4500	1.21	94.87	5.13		
Nº 10	2.36	4820	1.30	96.17	3.83		
Nº20	0.85	3236	0.87	97.04	2.96		
Nº30	0.60	3110	0.84	97.88	2.12		
Nº40	0.43	3175	0.86	98.73	1.27		
Nº60	0.25	2235	0.60	99.34	0.66		
Nº100	0.15	1334	0.36	99.70	0.30		
Nº200	0.08	905	0.24	99.94	0.06	Peso	
Cazoleta	0.08	224	0.06	100.00	0.00	Seco:	360 Kg.

Gráfico 13. Curva granulométrica extendida de la muestra N°4

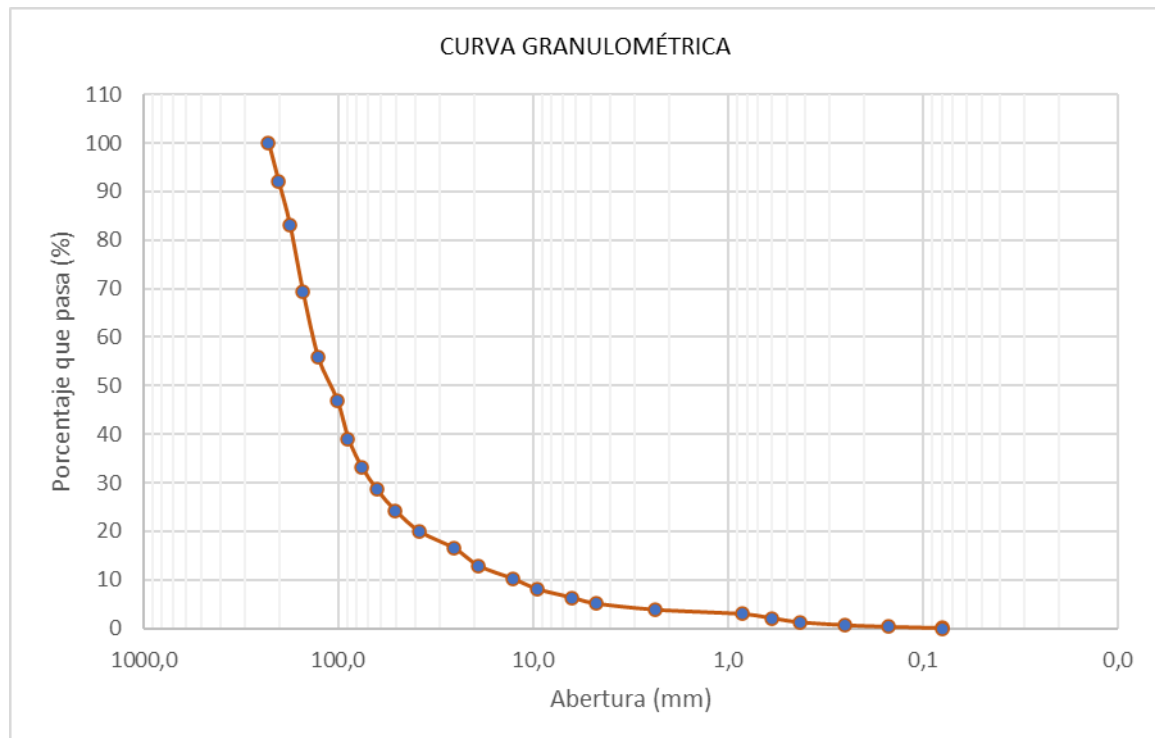


Tabla 55. Muestreo de sedimentos en el lecho del río – Punto N°5

Tamiz	AASHTO T-27	Peso	Porcentaje	Retenido	Porcentaje	Descripción de la muestra
	(mm)	Retenido	Retenido	Acumulado	Que pasa	
7"	177.80	0.00	0.00	0.00	100.00	Cu = 14.70
6"	152.40	24358	8.38	8.38	91.62	Cc = 2.32
5"	127.00	38215	13.14	21.51	78.49	
4"	101.60	51172	17.59	39.11	60.89	D10 = 6.85mm
3 1/2"	88.90	37679	12.96	52.06	47.94	D30 = 39.99mm
3"	76.20	16006	5.50	57.57	42.43	D50 = 91.02mm
2 1/2"	63.50	13500	4.64	62.21	37.79	D60 = 100.77mm
2"	50.80	12260	4.22	66.42	33.58	D65 = 107.60mm
1 1/2"	38.10	12368	4.25	70.68	29.32	D84 = 137.57mm
1"	25.40	17550	6.03	76.71	23.29	D90 = 149.22mm
3/4"	19.05	10050	3.46	80.17	19.83	
1/2"	12.70	14540	5.00	85.17	14.83	
3/8"	9.53	6200	2.13	87.30	12.70	
1/4"	6.35	9430	3.24	90.54	9.46	
Nº 4	4.75	4990	1.72	92.26	7.74	
Nº 10	2.36	6760	2.32	94.58	5.42	
Nº20	0.85	4944	1.70	96.28	3.72	
Nº30	0.60	3434	1.18	97.46	2.54	
Nº40	0.43	3636	1.25	98.71	1.29	
Nº60	0.25	2586	0.89	99.60	0.40	
Nº100	0.15	548	0.19	99.79	0.21	
Nº200	0.08	424	0.15	99.93	0.07	Peso
Cazoleta	0.08	190	0.07	100.00	0.00	Seco: 290 Kg.

Gráfico 14. Curva granulométrica extendida de la muestra N°5

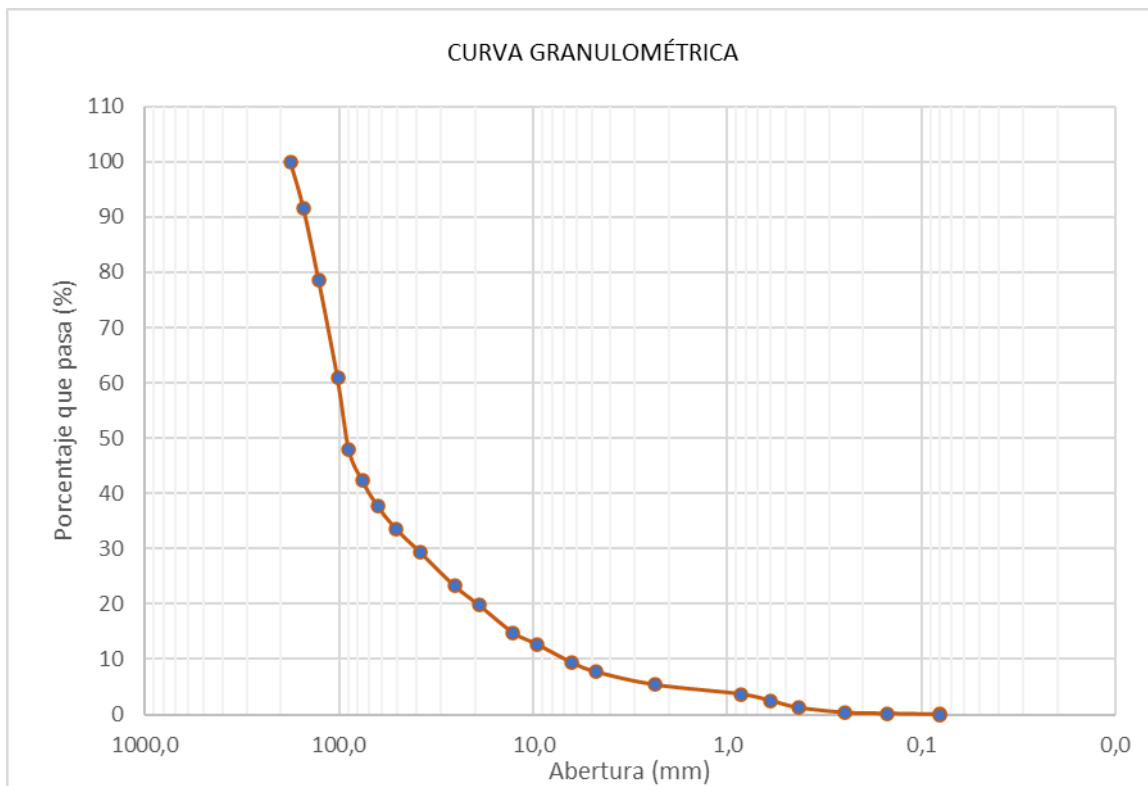


Tabla 56. Muestreo de sedimentos en el lecho del río – Punto N°6

Tamiz	AASHTO T-27	Peso	Porcentaje	Retenido	Porcentaje	Descripción de la muestra	
	(mm)	Retenido	Retenido	Acumulado	Que pasa		
6"	152.40	0.00	0.00	0.00	100.00	Cu =	4.09
5"	127.00	31350	14.8967	14.90	85.10	Cc =	1.75
4"	101.60	27252	12.9495	27.85	72.15		
3 1/2"	88.90	29152	13.8523	41.70	58.30	D10 =	22.14mm
3"	76.20	22055	10.4800	52.18	47.82	D30 =	59.21mm
2 1/2"	63.50	33737	16.0310	68.21	31.79	D50 =	78.89mm
2"	50.80	15795	7.5054	75.71	24.29	D60 =	90.51mm
1 1/2"	38.10	13430	6.3816	82.10	17.90	D65 =	95.17mm
1"	25.40	13650	6.4861	88.58	11.42	D84 =	124.78mm
3/4"	19.05	5820	2.7655	91.35	8.65	D90 =	135.29mm
1/2"	12.70	4790	2.2761	93.62	6.38		
3/8"	9.53	2930	1.3923	95.02	4.98		
1/4"	6.35	2300	1.0929	96.11	3.89		
Nº 4	4.75	1120	0.5322	96.64	3.36		
Nº 10	2.36	1720	0.8173	97.46	2.54		
Nº20	0.85	1023	0.4861	97.94	2.06		
Nº30	0.60	1394	0.6624	98.61	1.39		
Nº40	0.43	1114	0.5293	99.14	0.86		
Nº60	0.25	983	0.4671	99.60	0.40		
Nº100	0.15	425	0.2019	99.81	0.19		
Nº200	0.08	217	0.1031	99.91	0.09	Peso	
Cazoleta	0.08	192	0.0912	100.00	0.00	Seco:	210 Kg.

Gráfico 15. Curva granulométrica extendida de la muestra N°6

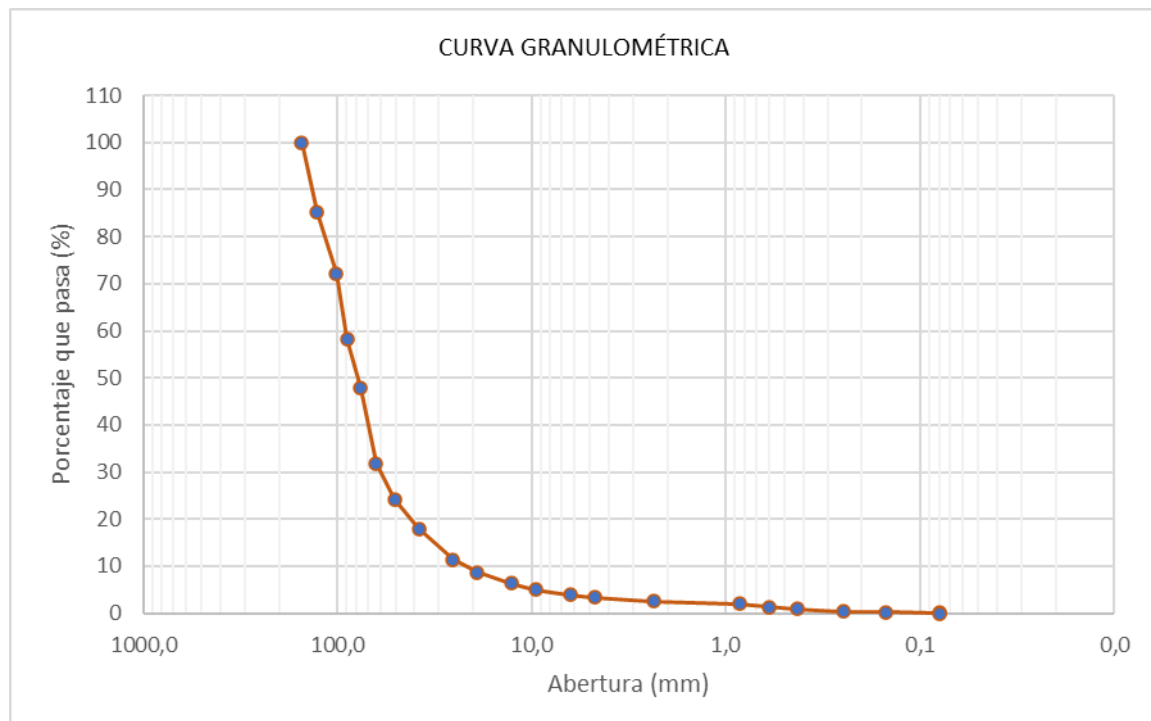


Tabla 57. Muestreo de sedimentos en el lecho del río – Punto N°7

Tamiz	AASHTO T-27	Peso	Porcentaje	Retenido	Porcentaje	Descripción de la muestra	
	(mm)	Retenido	Retenido	Acumulado	Que pasa		
8"	203.20	0.00	0.00	0.00	100.00	Cu =	7.22
7"	177.80	20620	6.378	6.38	93.62	Cc =	2.13
6"	152.40	32425	10.030	16.41	83.59		
5"	127.00	35534	10.991	27.40	72.60	D10 =	14.06 mm
4"	101.60	40456	12.514	39.91	60.09	D30 =	55.16 mm
3 1/2"	88.90	37310	11.541	51.45	48.55	D50 =	90.56 mm
3"	76.20	15078	4.664	56.12	43.88	D60 =	101.51 mm
2 1/2"	63.50	26171	8.095	64.21	35.79	D65 =	111.47 mm
2"	50.80	28198	8.722	72.94	27.06	D84 =	153.41 mm
1 1/2"	38.10	20528	6.350	79.29	20.71	D90 =	168.51 mm
1"	25.40	15720	4.863	84.15	15.85		
3/4"	19.05	9200	2.846	86.99	13.01		
1/2"	12.70	12450	3.851	90.84	9.16		
3/8"	9.53	5670	1.754	92.60	7.40		
1/4"	6.35	8150	2.521	95.12	4.88		
Nº 4	4.75	5060	1.565	96.68	3.32		
Nº 10	2.36	2300	0.711	97.40	2.60		
Nº20	0.85	1990	0.616	98.01	1.99		
Nº30	0.60	1365	0.422	98.43	1.57		
Nº40	0.43	1918	0.593	99.03	0.97		
Nº60	0.25	1896	0.586	99.61	0.39		
Nº100	0.15	781	0.242	99.86	0.14		
Nº200	0.08	349	0.108	99.96	0.04	Peso	
Cazoleta	0.08	123	0.038	100.00	0.00	Seco:	320 Kg.

Gráfico 16. Curva granulométrica extendida de la muestra N°7

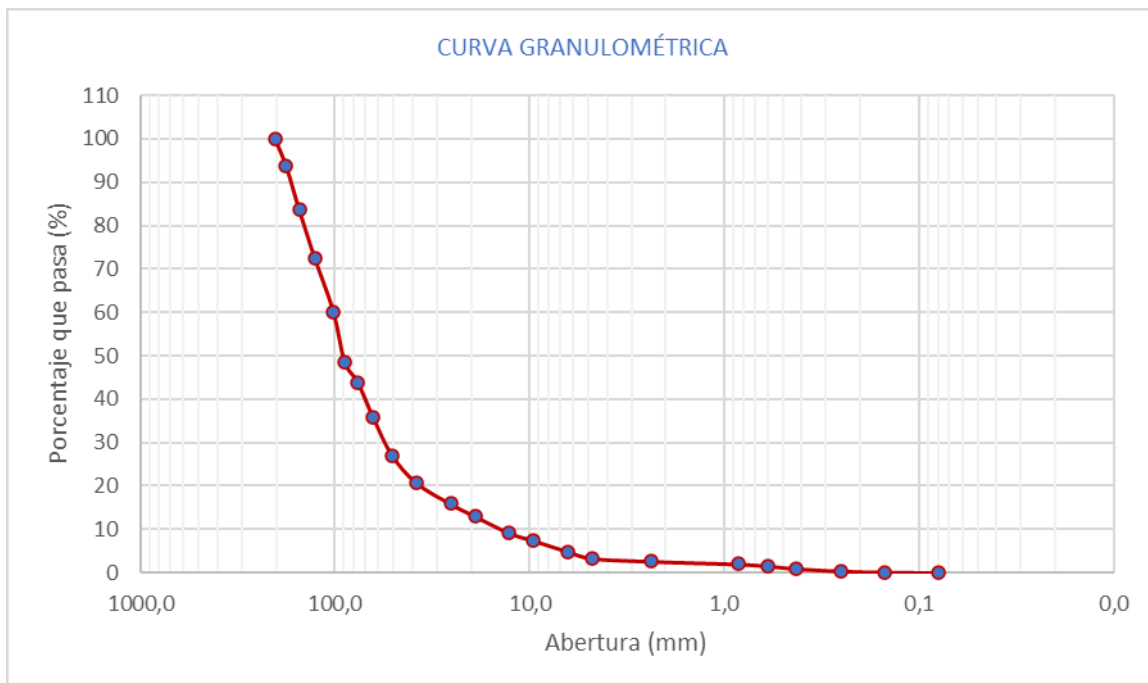
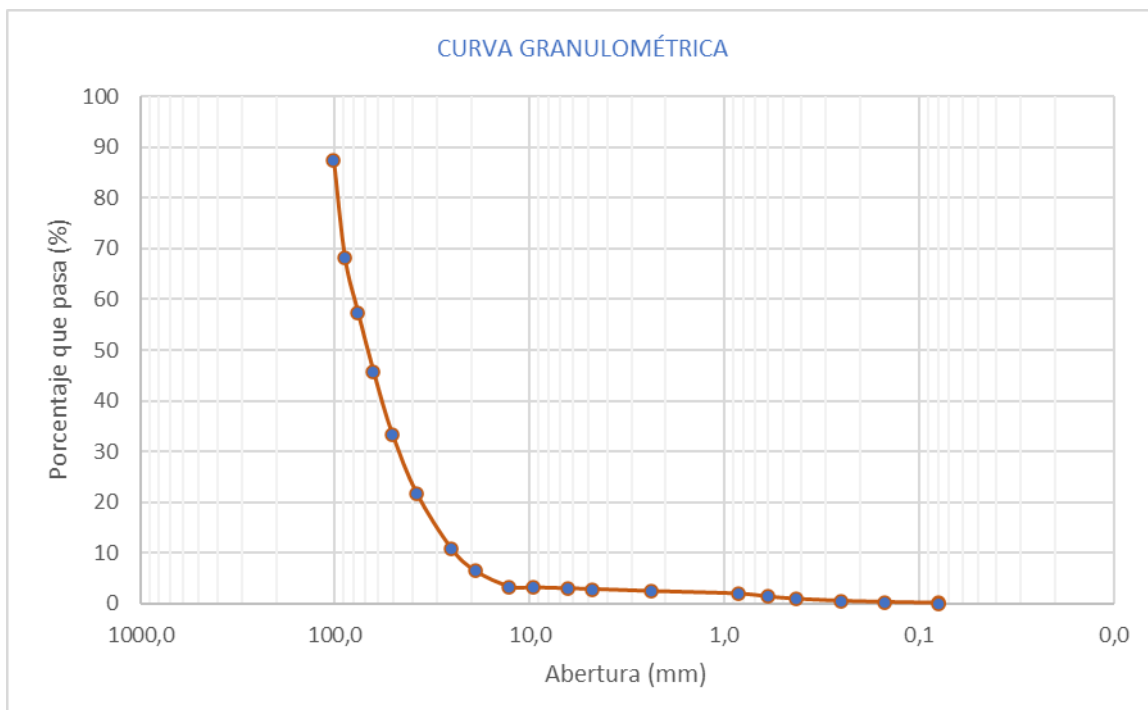


Tabla 58. Muestreo de sedimentos en el lecho del río – Punto N°8

Tamiz	AASHTO T-27	Peso	Porcentaje	Retenido	Porcentaje	Descripción de la muestra	
	(mm)	Retenido	Retenido	Acumulado	Que pasa		
5"	127.00	0.00	0.00	0.00	100.00	Cu =	2.95
4"	101.60	19008	12.537	12.537	87.463	Cc =	1.11
3 1/2"	88.90	29331	19.345	31.882	68.118		
3"	76.20	16283	10.739	42.622	57.378	D10 =	24.25mm
2 1/2"	63.50	17575	11.592	54.213	45.787	D30 =	43.85mm
2"	50.80	18779	12.386	66.599	33.401	D50 =	61.77mm
1 1/2"	38.10	17678	11.660	78.259	21.741	D60 =	71.54mm
1"	25.40	16375	10.800	89.059	10.941	D65 =	76.55mm
3/4"	19.05	6837	4.509	93.568	6.432	D84 =	97.66mm
1/2"	12.70	4691	3.094	96.662	3.338	D90 =	103.39mm
3/8"	9.53	262	0.173	96.835	3.165		
1/4"	6.35	287	0.189	97.024	2.976		
N° 4	4.75	217	0.143	97.167	2.833		
N° 10	2.36	597	0.394	97.561	2.439		
N°20	0.85	745	0.491	98.052	1.948		
N°30	0.60	865	0.571	98.623	1.377		
N°40	0.43	665	0.439	99.061	0.939		
N°60	0.25	633	0.417	99.479	0.521		
N°100	0.15	331	0.218	99.697	0.303		
N°200	0.08	296	0.195	99.892	0.108	Peso	
Cazoleta	0.08	163	0.108	100.000	0.000	Seco:	150 Kg.

Gráfico 17. Curva granulométrica extendida de la muestra N°8



ANEXO N°4: AFOROS EN LAS SECCIONES DEL RÍO

- Aforo primer grupo en el período de estiaje (17/07/2022)

Tabla 59. Aforo en la sección N°1 – Bloque N°1- Época de estiaje

SECCIÓN 1								
N°	Distancia(m)	H(m)	0.6xH	AP(m2)	V(m/s)	Q(m3/s)	Fecha	17/07/2022
1	0.50	0.14	0.09	0.054	0.166	0.009	hr.	9:45 a. m.
2	1.00	0.15	0.09	0.078	0.355	0.028	Qt	0.134 m3/s
3	1.50	0.22	0.13	0.104	0.458	0.048	PM	2.366 m
4	2.00	0.18	0.11	0.090	0.415	0.037	At	0.358 m2
5	2.15	0.16	0.09	0.032	0.392	0.013	RH	0.151 m

Tabla 60. Aforo en la sección N°2 – Bloque N°1- Época de estiaje

SECCIÓN 2								
N°	Distancia(m)	H(m)	0.6xH	AP(m2)	V(m/s)	Q(m3/s)	Fecha	17/07/2022
1	0.50	0.13	0.08	0.055	0.104	0.006	hr.	10:50 a. m.
2	1.00	0.16	0.09	0.082	0.288	0.024		
3	1.50	0.21	0.13	0.100	0.421	0.042		
4	2.00	0.15	0.09	0.080	0.315	0.025	Qt	0.151 m3/s
5	2.50	0.17	0.10	0.080	0.327	0.026	PM	3.58 m
6	3.00	0.17	0.10	0.080	0.298	0.024	At	0.536 m2
7	3.50	0.14	0.08	0.059	0.0822	0.005	RH	0.150 m

Tabla 61. Aforo en la sección N°3 – Bloque N°1- Época de estiaje

SECCIÓN 3								
N°	Distancia(m)	H(m)	0.6xH	AP(m2)	V(m/s)	Q(m3/s)	Fecha	17/07/2022
1	0.50	0.17	0.10	0.078	0.152	0.012	hr.	11:45 a. m.
2	1.00	0.23	0.14	0.112	0.137	0.015		
3	1.50	0.23	0.14	0.112	0.263	0.029		
4	2.00	0.21	0.13	0.106	0.204	0.022		
5	2.50	0.22	0.13	0.109	0.263	0.029		
6	3.00	0.22	0.13	0.112	0.293	0.033		
7	3.50	0.22	0.13	0.110	0.248	0.027		
8	4.00	0.19	0.11	0.092	0.244	0.022		
9	4.50	0.10	0.06	0.055	0.208	0.011	Qt	0.221 m3/s
10	5.00	0.15	0.09	0.066	0.197	0.013	PM	6.2 m
11	5.50	0.09	0.05	0.047	0.107	0.005	At	1.031 m2
12	6.00	0.08	0.05	0.032	0.076	0.002	RH	0.166 m

Tabla 62. Aforo en la sección N°4 – Bloque N°1- Época de estiaje

SECCIÓN 4								
Nº	Distancia(m)	H(m)	0.6xH	AP(m2)	V(m/s)	Q(m3/s)	Fecha	17/07/2022
1	0.50	0.13	0.08	0.063	0.063	0.004	hr.	12:50 p. m.
2	1.00	0.17	0.10	0.083	0.109	0.009		
3	1.50	0.15	0.09	0.077	0.085	0.007		
4	2.00	0.18	0.11	0.091	0.139	0.013		
5	2.50	0.23	0.14	0.110	0.218	0.024		
6	3.00	0.13	0.08	0.068	0.233	0.016		
7	3.50	0.13	0.08	0.067	0.241	0.016		
8	4.00	0.21	0.13	0.102	0.220	0.022		
9	4.50	0.20	0.12	0.102	0.071	0.007		
10	5.00	0.21	0.13	0.102	0.168	0.017		
11	5.50	0.16	0.10	0.083	0.134	0.011		
12	6.00	0.19	0.11	0.094	0.217	0.020		
13	6.50	0.19	0.11	0.093	0.284	0.026		
14	7.00	0.13	0.08	0.068	0.190	0.013		
15	7.50	0.14	0.08	0.066	0.268	0.018	Qt	0.266 m3/s
16	8.00	0.08	0.05	0.043	0.276	0.012	PM	9.17 m
17	8.50	0.13	0.08	0.064	0.190	0.012	At	1.433 m2
18	9.00	0.13	0.08	0.057	0.317	0.018	RH	0.156 m

Tabla 63. Aforo en la sección N°5 – Bloque N°1- Época de estiaje

SECCIÓN 5								
Nº	Distancia(m)	H(m)	0.6xH	AP(m2)	V(m/s)	Q(m3/s)	Fecha	17/07/2022
1	0.50	0.13	0.08	0.056	0.100	0.006	hr.	1:50 p. m.
2	1.00	0.13	0.08	0.062	0.100	0.006		
3	1.50	0.04	0.04	0.025	0.038	0.001		
4	2.00	0.07	0.04	0.032	0.100	0.003		
5	2.50	0.04	0.02	0.024	0.000	0.000		
6	3.00	0.11	0.07	0.051	0.181	0.009		
7	3.50	0.10	0.06	0.053	0.176	0.009		
8	4.00	0.16	0.10	0.078	0.038	0.003		
9	4.50	0.19	0.11	0.096	0.265	0.025		
10	5.00	0.23	0.14	0.115	0.420	0.048		
11	5.50	0.26	0.16	0.129	0.324	0.042		
12	6.00	0.27	0.16	0.136	0.438	0.060	Qt	0.298 m3/s
13	6.50	0.30	0.18	0.148	0.371	0.055	PM	7.73 m
14	7.00	0.27	0.16	0.134	0.180	0.024	A	1.237 m2
15	7.50	0.20	0.12	0.098	0.071	0.007	RH	0.160 m

Tabla 64. Aforo en la sección N°6 – Bloque N°1- Época de estiaje

SECCIÓN 6								
Nº	Distancia(m)	H(m)	0.6xH	AP(m2)	V(m/s)	Q(m3/s)	Fecha	
1	0.50	0.15	0.09	0.064	0.108	0.007	hr.	2:45 p. m.
2	1.00	0.18	0.11	0.088	0.179	0.016		
3	1.50	0.19	0.11	0.096	0.283	0.027		
4	2.00	0.18	0.11	0.089	0.486	0.043		
5	2.50	0.19	0.11	0.089	0.157	0.014		
6	3.00	0.16	0.09	0.079	0.198	0.016		
7	3.50	0.15	0.09	0.075	0.324	0.024		
8	4.00	0.19	0.11	0.092	0.379	0.035		
9	4.50	0.16	0.10	0.080	0.346	0.028		
10	5.00	0.11	0.07	0.060	0.279	0.017	Qt	0.278 m3/s
11	5.50	0.15	0.09	0.072	0.305	0.022	PM	6.639 m
12	6.00	0.16	0.09	0.079	0.220	0.017	A	1.031 m2
13	6.50	0.16	0.10	0.068	0.189	0.013	RH	0.155 m

Tabla 65. Aforo en la sección N°7 – Bloque N°1- Época de estiaje

SECCIÓN 7								
Nº	Distancia(m)	H(m)	0.6xH	AP(m2)	V(m/s)	Q(m3/s)	Fecha	
1	0.50	0.21	0.13	0.097	0.103	0.010	hr.	3:40 p. m.
2	1.00	0.21	0.12	0.102	0.217	0.022		
3	1.50	0.19	0.11	0.095	0.268	0.025		
4	2.00	0.18	0.11	0.093	0.397	0.037		
5	2.50	0.17	0.10	0.083	0.386	0.032		
6	3.00	0.11	0.07	0.060	0.393	0.024		
7	3.50	0.15	0.09	0.071	0.382	0.027		
8	4.00	0.12	0.07	0.063	0.373	0.023		
9	4.50	0.14	0.08	0.068	0.174	0.012		
10	5.00	0.14	0.08	0.073	0.123	0.009	Qt	0.254 m3/s
11	5.50	0.18	0.11	0.086	0.253	0.022	PM	6.699 m
12	6.00	0.14	0.08	0.072	0.043	0.003	A	1.019 m2
13	6.50	0.13	0.08	0.056	0.132	0.007	RH	0.152 m

- **Aforo tercer grupo en el período de estiaje (13/08/2022)**

Tabla 75. Aforo en la sección N°1 – Bloque N°3- Época de estiaje

SECCIÓN 1								
Nº	Distancia(m)	H(m)	0.6xH	AP(m2)	V(m/s)	Q(m3/s)	Fecha	13/08/2022
1	0.50	0.15	0.09	0.061	0.416	0.025	hr.	9:15 a. m.
2	1.00	0.19	0.11	0.089	0.539	0.048		
3	1.50	0.18	0.11	0.104	0.584	0.061		
4	2.00	0.37	0.22	0.176	0.615	0.108		
5	2.50	0.36	0.22	0.186	0.651	0.121	QT1	0.704 m3/s
6	3.00	0.45	0.27	0.215	0.710	0.153	PM	4.312 m
7	3.50	0.39	0.24	0.199	0.684	0.136	A	1.134 m2
8	3.70	0.39	0.23	0.104	0.497	0.052	RH	0.263 m

Tabla 76. Aforo en la sección N°2 – Bloque N°3- Época de estiaje

SECCIÓN 2								
Nº	Distancia(m)	H(m)	0.6xH	AP(m2)	V(m/s)	Q(m3/s)	Fecha	13/08/2022
1	0.50	0.13	0.08	0.055	0.334	0.018	hr.	10:20 a. m.
2	1.00	0.20	0.12	0.098	0.767	0.075		
3	1.50	0.29	0.17	0.143	0.724	0.104		
4	2.00	0.33	0.20	0.165	0.701	0.116		
5	2.50	0.30	0.18	0.152	0.597	0.091		
6	3.00	0.25	0.15	0.125	0.505	0.063		
7	3.50	0.26	0.16	0.129	0.705	0.091		
8	4.00	0.25	0.15	0.122	0.564	0.069		
9	4.50	0.18	0.11	0.091	0.566	0.052		
10	5.00	0.17	0.10	0.086	0.264	0.023		
11	5.50	0.15	0.09	0.073	0.224	0.016		
12	6.00	0.11	0.07	0.056	0.245	0.014	Qt	0.731 m3/s
13	6.50	0.09	0.05	0.043	0.107	0.005	PM	7.586 m
14	7.00	0.09	0.05	0.045	0.088	0.004	At	1.415 m2
15	7.50	0.08	0.05	0.032	0.067	0.002	RH	0.187 m

Tabla 77. Aforo en la sección N°3 – Bloque N°3- Época de estiaje

SECCIÓN 3								
Nº	Distancia(m)	H(m)	0.6xH	AP(m2)	V(m/s)	Q(m3/s)	Fecha	13/08/2022
1	0.50	0.11	0.07	0.051	0.108	0.005	hr.	11:20 a. m.
2	1.00	0.16	0.10	0.082	0.266	0.022		
3	1.50	0.22	0.13	0.111	0.331	0.037		
4	2.00	0.30	0.18	0.146	0.467	0.068		
5	2.50	0.31	0.18	0.152	0.476	0.072		
6	3.00	0.31	0.19	0.156	0.537	0.084		
7	3.50	0.35	0.21	0.176	0.511	0.090		
8	4.00	0.39	0.23	0.193	0.463	0.089		
9	4.50	0.38	0.23	0.190	0.423	0.080		
10	5.00	0.36	0.22	0.176	0.368	0.065		
11	5.50	0.27	0.16	0.133	0.314	0.042		
12	6.00	0.21	0.13	0.108	0.277	0.030		
13	6.50	0.22	0.13	0.108	0.193	0.021		
14	7.00	0.18	0.11	0.092	0.192	0.018		
15	7.50	0.17	0.10	0.08	0.316	0.025	Qt	0.778 m3/s
16	8.00	0.15	0.09	0.076	0.229	0.017	PM	9.104 m
17	8.50	0.11	0.07	0.055	0.132	0.007	At	2.124 m2
18	9.00	0.09	0.05	0.039	0.114	0.004	RH	0.233 m

Tabla 78. Aforo en la sección N°4 – Bloque N°3- Época de estiaje

SECCION 4								
Nº	Distancia(m)	H(m)	0.6xH	AP(m2)	V(m/s)	Q(m3/s)	Fecha	13/08/2022
1	0.50	0.15	0.09	0.067	0.174	0.012	hr.	12:00 p. m.
2	1.00	0.12	0.07	0.066	0.169	0.011		
3	1.50	0.15	0.09	0.078	0.183	0.014		
4	2.00	0.21	0.13	0.104	0.230	0.024		
5	2.50	0.24	0.15	0.121	0.282	0.034		
6	3.00	0.27	0.16	0.134	0.302	0.041		
7	3.50	0.30	0.18	0.145	0.337	0.049		
8	4.00	0.27	0.16	0.134	0.471	0.063		
9	4.50	0.24	0.14	0.119	0.486	0.058		
10	5.00	0.21	0.12	0.106	0.279	0.030		
11	5.50	0.23	0.14	0.117	0.400	0.047		
12	6.00	0.27	0.16	0.129	0.381	0.049		
13	6.50	0.25	0.15	0.121	0.432	0.052		
14	7.00	0.19	0.11	0.100	0.457	0.046		
15	7.50	0.22	0.13	0.106	0.365	0.039		
16	8.00	0.22	0.13	0.106	0.401	0.042		
17	8.50	0.18	0.11	0.091	0.380	0.035	Qt	0.780 m3/s
18	9.00	0.18	0.11	0.092	0.440	0.040	PM	10.213 m
19	9.50	0.26	0.15	0.124	0.405	0.050	At	2.175 m2
20	10.00	0.28	0.17	0.115	0.390	0.045	RH	0.213 m

Tabla 79. Aforo en la sección N°5 – Bloque N°3- Época de estiaje

SECCIÓN 5								
Nº	Distancia(m)	H(m)	0.6xH	AP(m2)	V(m/s)	Q(m3/s)	Fecha	13/08/2022
1	0.50	0.06	0.03	0.027	0.064	0.002	hr.	1:30 p. m.
2	1.00	0.09	0.05	0.047	0.081	0.004		
3	1.50	0.16	0.09	0.075	0.142	0.011		
4	2.00	0.19	0.11	0.095	0.246	0.023		
5	2.50	0.26	0.15	0.119	0.254	0.030		
6	3.00	0.20	0.12	0.102	0.312	0.032		
7	3.50	0.22	0.13	0.104	0.284	0.030		
8	4.00	0.18	0.11	0.094	0.392	0.037		
9	4.50	0.24	0.14	0.113	0.263	0.030		
10	5.00	0.23	0.14	0.116	0.432	0.050		
11	5.50	0.27	0.16	0.129	0.353	0.046		
12	6.00	0.26	0.15	0.131	0.587	0.077		
13	6.50	0.31	0.18	0.148	0.573	0.085		
14	7.00	0.28	0.17	0.142	0.676	0.096		
15	7.50	0.33	0.20	0.158	0.562	0.089	Qt	0.815 m3/s
16	8.00	0.31	0.18	0.155	0.475	0.074	PM	9.118 m
17	8.50	0.33	0.20	0.153	0.607	0.093	At	1.982 m2
18	9.00	0.16	0.10	0.074	0.110	0.008	RH	0.217 m

Tabla 80. Aforo en la sección N°6 – Bloque N°3- Época de estiaje

SECCIÓN 6								
Nº	Distancia(m)	H(m)	0.6xH	AP(m2)	V(m/s)	Q(m3/s)	Fecha	13/08/2022
1	0.50	0.26	0.16	0.097	0.223	0.022	hr.	2:10 p. m.
2	1.00	0.26	0.16	0.129	0.364	0.047		
3	1.50	0.25	0.15	0.122	0.458	0.056		
4	2.00	0.20	0.12	0.106	0.584	0.062		
5	2.50	0.25	0.15	0.122	0.672	0.082		
6	3.00	0.26	0.16	0.126	0.556	0.070		
7	3.50	0.20	0.12	0.104	0.486	0.051		
8	4.00	0.21	0.13	0.107	0.563	0.060		
9	4.50	0.25	0.15	0.120	0.498	0.060		
10	5.00	0.22	0.13	0.111	0.362	0.040		
11	5.50	0.20	0.12	0.097	0.587	0.057		
12	6.00	0.13	0.08	0.071	0.573	0.041		
13	6.50	0.16	0.10	0.078	0.496	0.039		
14	7.00	0.17	0.10	0.082	0.451	0.037	Qt	0.753 m3/s
15	7.50	0.15	0.09	0.072	0.270	0.019	PM	8.647 m
16	8.00	0.09	0.05	0.048	0.161	0.008	At	1.623 m2
17	8.50	0.07	0.04	0.031	0.104	0.003	RH	0.188 m

Tabla 81. Aforo en la sección N°7 – Bloque N°3- Época de estiaje

SECCIÓN 7								
Nº	Distancia(m)	H(m)	0.6xH	AP(m2)	V(m/s)	Q(m3/s)	Fecha	13/08/202 2
1	0.50	0.16	0.09	0.075	0.103	0.008	hr.	3:45 p. m.
2	1.00	0.19	0.11	0.100	0.223	0.022		
3	1.50	0.24	0.15	0.116	0.412	0.048		
4	2.00	0.19	0.11	0.096	0.348	0.033		
5	2.50	0.23	0.14	0.113	0.336	0.038		
6	3.00	0.27	0.16	0.132	0.357	0.047		
7	3.50	0.26	0.16	0.13	0.348	0.045		
8	4.00	0.26	0.16	0.131	0.449	0.059		
9	4.50	0.27	0.16	0.131	0.502	0.066		
10	5.00	0.23	0.14	0.115	0.355	0.041		
11	5.50	0.21	0.13	0.104	0.402	0.042		
12	6.00	0.20	0.12	0.100	0.450	0.045		
13	6.50	0.24	0.15	0.121	0.514	0.062		
14	7.00	0.27	0.16	0.131	0.480	0.063		
15	7.50	0.24	0.14	0.118	0.336	0.040		
16	8.00	0.21	0.13	0.106	0.485	0.051	Qt	0.752 m3/s
17	8.50	0.20	0.12	0.100	0.291	0.029	PM	9.699 m
18	9.00	0.16	0.10	0.084	0.152	0.013	A	2.079 m2
19	9.50	0.19	0.11	0.076	0.076	0.006	RH	0.214 m

Tabla 82. Aforo en la sección N°8 – Bloque N°3- Época de estiaje

SECCIÓN 8								
Nº	Distancia(m)	H(m)	0.6xH	AP(m2)	V(m/s)	Q(m3/s)	Fecha	13/08/202 2
1	0.50	0.08	0.05	0.035	0.154	0.005	hr.	5:15 p. m.
2	1.00	0.10	0.06	0.049	0.205	0.010		
3	1.50	0.10	0.06	0.052	0.241	0.013		
4	2.00	0.11	0.06	0.053	0.264	0.014		
5	2.50	0.10	0.06	0.053	0.357	0.019		
6	3.00	0.12	0.07	0.058	0.397	0.023		
7	3.50	0.11	0.07	0.059	0.505	0.030		
8	4.00	0.14	0.08	0.066	0.517	0.034		
9	4.50	0.14	0.08	0.068	0.461	0.031		
10	5.00	0.15	0.09	0.075	0.519	0.039		
11	5.50	0.20	0.12	0.098	0.534	0.052		
12	6.00	0.24	0.14	0.118	0.484	0.057		
13	6.50	0.27	0.16	0.131	0.512	0.067		
14	7.00	0.26	0.15	0.127	0.455	0.058		
15	7.50	0.24	0.14	0.121	0.491	0.059		
16	8.00	0.27	0.16	0.130	0.435	0.057		
17	8.50	0.24	0.14	0.116	0.425	0.049	Qt	0.741 m3/s
18	9.00	0.19	0.11	0.096	0.462	0.044	PM	10.106 m
19	9.50	0.19	0.11	0.093	0.448	0.042	At	1.676 m2
20	10.00	0.19	0.11	0.078	0.481	0.038	RH	0.166 m

- **Aforo cuarto grupo en el período de estiaje (21/09/2022)**

Tabla 83. Aforo en la sección N°1 – Bloque N°4- Época de estiaje

SECCIÓN 1								
N°	Distancia(m)	H(m)	0.6xH	AP(m2)	V(m/s)	Q(m3/s)	Fecha	21/09/2022
1	0.50	0.23	0.14	0.092	0.462	0.043	hr.	9:30 a. m.
2	1.00	0.28	0.17	0.129	0.637	0.082		
3	1.50	0.15	0.09	0.104	0.722	0.075		
4	2.00	0.48	0.29	0.216	0.716	0.155		
5	2.50	0.43	0.26	0.227	0.784	0.178	Qt	1.047 m3/s
6	3.00	0.57	0.34	0.271	0.812	0.220	PM	4.567 m
7	3.50	0.48	0.29	0.248	0.787	0.195	At	1.480 m2
8	4.00	0.52	0.31	0.193	0.514	0.099	RH	0.324 m

Tabla 84. Aforo en la sección N°2 – Bloque N°4- Época de estiaje

SECCIÓN 2								
N°	Distancia(m)	H(m)	0.6xH	AP(m2)	V(m/s)	Q(m3/s)	Fecha	21/09/2022
1	0.50	0.09	0.05	0.041	0.158	0.006	hr.	10:15 a. m.
2	1.00	0.13	0.08	0.065	0.366	0.024		
3	1.50	0.18	0.11	0.09	0.347	0.031		
4	2.00	0.25	0.15	0.127	0.644	0.082		
5	2.50	0.36	0.22	0.172	0.758	0.130		
6	3.00	0.33	0.20	0.166	0.669	0.111		
7	3.50	0.29	0.17	0.145	0.625	0.091		
8	4.00	0.20	0.12	0.117	0.602	0.070		
9	4.50	0.33	0.20	0.147	0.521	0.077		
10	5.00	0.17	0.10	0.098	0.546	0.054		
11	5.50	0.19	0.12	0.094	0.502	0.047		
12	6.00	0.17	0.10	0.085	0.427	0.036		
13	6.50	0.14	0.08	0.07	0.413	0.029		
14	7.00	0.12	0.07	0.059	0.488	0.029		
15	7.50	0.09	0.05	0.049	0.491	0.024	Qt	0.894 m3/s
16	8.00	0.11	0.07	0.054	0.443	0.024	PM	9.118 m
17	8.50	0.11	0.06	0.053	0.402	0.021	At	1.670 m2
18	9.00	0.10	0.06	0.038	0.214	0.008	RH	0.183 m

Tabla 85. Aforo en la sección N°3 – Bloque N°4- Época de estiaje

SECCIÓN 3								
Nº	Distancia(m)	H(m)	0.6xH	AP(m2)	V(m/s)	Q(m3/s)	Fecha	21/09/2022
1	0.50	0.17	0.10	0.065	0.201	0.013	hr.	11:30 a. m.
2	1.00	0.22	0.13	0.109	0.288	0.031		
3	1.50	0.30	0.18	0.146	0.413	0.060		
4	2.00	0.36	0.21	0.174	0.513	0.089		
5	2.50	0.37	0.22	0.183	0.527	0.096		
6	3.00	0.38	0.23	0.189	0.581	0.110		
7	3.50	0.41	0.24	0.205	0.546	0.112		
8	4.00	0.48	0.29	0.232	0.538	0.125		
9	4.50	0.47	0.28	0.232	0.439	0.102		
10	5.00	0.46	0.27	0.219	0.538	0.118		
11	5.50	0.32	0.19	0.161	0.335	0.054		
12	6.00	0.24	0.14	0.126	0.304	0.038		
13	6.50	0.29	0.17	0.137	0.262	0.036		
14	7.00	0.25	0.15	0.125	0.312	0.039		
15	7.50	0.25	0.15	0.121	0.389	0.047		
16	8.00	0.22	0.13	0.106	0.374	0.040	Qt	1.153 m3/s
17	8.50	0.16	0.09	0.081	0.275	0.022	PM	9.697 m
18	9.00	0.16	0.09	0.074	0.177	0.013	At	2.727 m2
19	9.50	0.11	0.06	0.042	0.157	0.007	RH	0.281 m

Tabla 86. Aforo en la sección N°4 – Bloque N°4- Época de estiaje

SECCIÓN 4								
Nº	Distancia(m)	H(m)	0.6xH	AP(m2)	V(m/s)	Q(m3/s)	Fecha	21/09/2022
1	0.50	0.20	0.12	0.073	0.208	0.015	hr.	12:40 p. m.
2	1.00	0.16	0.10	0.084	0.228	0.019		
3	1.50	0.19	0.11	0.097	0.243	0.024		
4	2.00	0.25	0.15	0.123	0.260	0.032		
5	2.50	0.28	0.17	0.135	0.341	0.046		
6	3.00	0.23	0.14	0.121	0.362	0.044		
7	3.50	0.27	0.16	0.134	0.396	0.053		
8	4.00	0.30	0.18	0.146	0.503	0.073		
9	4.50	0.27	0.16	0.135	0.514	0.069		
10	5.00	0.24	0.14	0.122	0.338	0.041		
11	5.50	0.24	0.14	0.124	0.459	0.057		
12	6.00	0.30	0.18	0.145	0.440	0.064		
13	6.50	0.28	0.17	0.136	0.477	0.065		
14	7.00	0.20	0.12	0.108	0.050	0.005		
15	7.50	0.25	0.15	0.122	0.425	0.052		
16	8.00	0.25	0.15	0.123	0.460	0.057		
17	8.50	0.21	0.13	0.106	0.439	0.047	Qt	0.933 m3/s
18	9.00	0.18	0.11	0.099	0.481	0.048	PM	10.295 m
19	9.50	0.29	0.17	0.142	0.464	0.066	At	2.402 m2
20	10.00	0.35	0.21	0.127	0.449	0.057	RH	0.233 m

Tabla 87. Aforo en la sección N°5 – Bloque N°4- Época de estiaje

SECCIÓN 5								
Nº	Distancia(m)	H(m)	0.6xH	AP(m2)	V(m/s)	Q(m3/s)	Fecha	
1	0.50	0.08	0.05	0.032	0.102	0.003	hr.	1:50 p. m.
2	1.00	0.11	0.07	0.057	0.321	0.018		
3	1.50	0.18	0.11	0.087	0.203	0.018		
4	2.00	0.21	0.13	0.107	0.336	0.036		
5	2.50	0.28	0.17	0.132	0.490	0.065		
6	3.00	0.22	0.13	0.115	0.550	0.063		
7	3.50	0.24	0.14	0.116	0.467	0.054		
8	4.00	0.20	0.12	0.106	0.535	0.057		
9	4.50	0.26	0.16	0.126	0.479	0.060		
10	5.00	0.25	0.15	0.128	0.585	0.075		
11	5.50	0.29	0.17	0.142	0.501	0.071		
12	6.00	0.28	0.17	0.144	0.602	0.087		
13	6.50	0.33	0.20	0.160	0.557	0.089		
14	7.00	0.30	0.18	0.155	0.603	0.093		
15	7.50	0.35	0.21	0.171	0.539	0.092	Qt	1.026 m ³ /s
16	8.00	0.33	0.20	0.168	0.257	0.043	PM	9.123 m
17	8.50	0.35	0.21	0.162	0.552	0.089	A	2.180 m ²
18	9.00	0.16	0.10	0.072	0.161	0.012	RH	0.239 m

Tabla 88. Aforo en la sección N°6 – Bloque N°4- Época de estiaje

SECCIÓN 6								
Nº	Distancia(m)	H(m)	0.6xH	AP(m2)	V(m/s)	Q(m3/s)	Fecha	
1	0.50	0.33	0.20	0.132	0.262	0.035	hr.	3:15 p. m.
2	1.00	0.29	0.17	0.147	0.430	0.063		
3	1.50	0.28	0.17	0.138	0.496	0.068		
4	2.00	0.24	0.14	0.125	0.642	0.080		
5	2.50	0.28	0.17	0.138	0.697	0.096		
6	3.00	0.29	0.17	0.141	0.609	0.086		
7	3.50	0.23	0.14	0.119	0.575	0.068		
8	4.00	0.24	0.14	0.123	0.597	0.073		
9	4.50	0.30	0.18	0.143	0.536	0.077		
10	5.00	0.25	0.15	0.127	0.475	0.060		
11	5.50	0.23	0.14	0.112	0.625	0.070		
12	6.00	0.16	0.10	0.087	0.612	0.053		
13	6.50	0.21	0.13	0.102	0.534	0.055		
14	7.00	0.21	0.13	0.103	0.489	0.050		
15	7.50	0.18	0.11	0.088	0.397	0.035	Qt	0.997 m ³ /s
16	8.00	0.12	0.07	0.061	0.264	0.016	PM	9.205 m
17	8.50	0.08	0.05	0.042	0.173	0.007	A	1.958 m ²
18	9.00	0.08	0.05	0.030	0.114	0.003	RH	0.213 m

Tabla 89. Aforo en la sección N°7 – Bloque N°4- Época de estiaje

SECCIÓN 7								
Nº	Distancia(m)	H(m)	0.6xH	AP(m2)	V(m/s)	Q(m3/s)	Fecha	21/09/2022
1	0.50	0.13	0.08	0.054	0.138	0.007	hr.	4:20 p. m.
2	1.00	0.22	0.13	0.109	0.258	0.028		
3	1.50	0.29	0.17	0.136	0.446	0.061		
4	2.00	0.22	0.13	0.117	0.383	0.045		
5	2.50	0.26	0.16	0.131	0.370	0.048		
6	3.00	0.31	0.19	0.151	0.391	0.059		
7	3.50	0.30	0.18	0.151	0.382	0.058		
8	4.00	0.30	0.18	0.151	0.484	0.073		
9	4.50	0.31	0.19	0.152	0.536	0.081		
10	5.00	0.27	0.16	0.136	0.417	0.057		
11	5.50	0.25	0.15	0.125	0.436	0.055		
12	6.00	0.23	0.14	0.119	0.485	0.058		
13	6.50	0.28	0.17	0.139	0.548	0.076		
14	7.00	0.31	0.19	0.151	0.514	0.078		
15	7.50	0.28	0.17	0.140	0.471	0.066		
16	8.00	0.25	0.15	0.127	0.519	0.066		
17	8.50	0.25	0.15	0.122	0.325	0.040	Qt	1.01 m3/s
18	9.00	0.20	0.12	0.105	0.286	0.030	PM	10.102 m
19	9.50	0.23	0.14	0.106	0.141	0.015	A	2.471 m2
20	10.00	0.11	0.07	0.049	0.104	0.005	RH	0.245 m

Tabla 90. Aforo en la sección N°8 – Bloque N°4- Época de estiaje

SECCIÓN 8								
Nº	Distancia(m)	H(m)	0.6xH	AP(m2)	V(m/s)	Q(m3/s)	Fecha	21/09/2022
1	0.50	0.23	0.14	0.097	0.292	0.028	hr.	5:20 p. m.
2	1.00	0.20	0.12	0.096	0.346	0.033		
3	1.50	0.15	0.09	0.074	0.376	0.028		
4	2.00	0.13	0.08	0.063	0.408	0.026		
5	2.50	0.12	0.07	0.058	0.538	0.031		
6	3.00	0.11	0.06	0.053	0.522	0.028		
7	3.50	0.11	0.06	0.053	0.501	0.027		
8	4.00	0.11	0.06	0.054	0.523	0.028		
9	4.50	0.11	0.07	0.056	0.484	0.027		
10	5.00	0.12	0.07	0.057	0.288	0.016		
11	5.50	0.11	0.06	0.054	0.325	0.018		
12	6.00	0.12	0.07	0.058	0.190	0.011		
13	6.50	0.13	0.08	0.062	0.241	0.015		
14	7.00	0.13	0.08	0.063	0.278	0.018		
15	7.50	0.13	0.08	0.062	0.310	0.019		
16	8.00	0.12	0.07	0.059	0.394	0.023		
17	8.50	0.14	0.08	0.066	0.434	0.029		

18	9.00	0.13	0.08	0.066	0.541	0.036		
19	9.50	0.18	0.11	0.084	0.565	0.047		
20	10.00	0.18	0.11	0.088	0.498	0.044		
21	10.50	0.19	0.11	0.092	0.556	0.051		
22	11.00	0.20	0.12	0.102	0.557	0.057		
23	11.50	0.28	0.17	0.133	0.520	0.069		
24	12.00	0.28	0.17	0.139	0.549	0.076		
25	12.50	0.30	0.18	0.145	0.492	0.071		
26	13.00	0.28	0.17	0.138	0.528	0.073		
27	13.50	0.27	0.16	0.134	0.472	0.063		
28	14.00	0.28	0.17	0.134	0.462	0.062	Qt	1.199 m ³ /s
29	14.50	0.23	0.14	0.116	0.479	0.056	PM	15.614 m
30	15.00	0.23	0.14	0.11	0.478	0.053	A	2.648 m ²
31	15.50	0.19	0.11	0.082	0.450	0.037	RH	0.170 m

- **Aforo quinto grupo en el período de estiaje (30/09/2022)**

Tabla 91. Aforo en la sección N°1 – Bloque N°5- Época de estiaje

SECCIÓN 1								
N°	Distancia(m)	H(m)	0.6xH	AP(m ²)	V(m/s)	Q(m ³ /s)	Fecha	30/09/2021
1	0.50	0.17	0.10	0.073	0.384	0.028	hr.	8:15 a. m.
2	1.00	0.28	0.17	0.139	0.635	0.088		
3	1.50	0.38	0.23	0.190	0.713	0.136		
4	2.00	0.48	0.29	0.242	0.696	0.168		
5	2.50	0.61	0.37	0.290	0.779	0.226		
6	3.00	0.51	0.31	0.269	0.840	0.226		
7	3.50	0.64	0.38	0.298	0.903	0.269	Qt	1.827 m ³ /s
8	4.00	0.42	0.25	0.234	0.944	0.221	PM	5.694 m
9	4.50	0.58	0.35	0.283	0.901	0.255	A	2.264 m ²
10	5.00	0.63	0.38	0.246	0.855	0.210	RH	0.398 m

Tabla 92. Aforo en la sección N°2 – Bloque N°5- Época de estiaje

SECCIÓN 2								
N°	Distancia(m)	H(m)	0.6xH	AP(m ²)	V(m/s)	Q(m ³ /s)	Fecha	30/09/2022 1
1	0.50	0.12	0.07	0.050	0.205	0.010	hr.	9:30 a. m.
2	1.00	0.13	0.08	0.070	0.440	0.031		
3	1.50	0.22	0.13	0.110	0.421	0.046		
4	2.00	0.31	0.19	0.155	0.768	0.119		
5	2.50	0.40	0.24	0.194	0.831	0.161		
6	3.00	0.39	0.23	0.193	0.782	0.151		
7	3.50	0.34	0.20	0.176	0.727	0.128		
8	4.00	0.39	0.23	0.191	0.779	0.149		
9	4.50	0.38	0.23	0.187	0.784	0.147		
10	5.00	0.32	0.19	0.162	0.661	0.107		
11	5.50	0.30	0.18	0.146	0.576	0.084		

12	6.00	0.22	0.13	0.117	0.541	0.063		
13	6.50	0.25	0.15	0.122	0.539	0.066		
14	7.00	0.23	0.14	0.111	0.584	0.065		
15	7.50	0.14	0.08	0.079	0.565	0.045		
16	8.00	0.20	0.12	0.096	0.531	0.051		
17	8.50	0.19	0.11	0.093	0.476	0.044	Qt	1.519 m ³ /s
18	9.00	0.15	0.09	0.074	0.381	0.028	PM	10.113 m
19	9.50	0.10	0.06	0.053	0.306	0.016	A	2.419 m ²
20	10.00	0.10	0.06	0.040	0.207	0.008	RH	0.239 m

Tabla 93. Aforo en la sección N°3 – Bloque N°5- Época de estiaje

SECCIÓN 3								
Nº	Distancia(m)	H(m)	0.6xH	AP(m ²)	V(m/s)	Q(m ³ /s)	Fecha	30/09/2021
1	0.50	0.08	0.05	0.039	0.295	0.012	hr.	10.45 am
2	1.00	0.26	0.15	0.118	0.518	0.061		
3	1.50	0.28	0.17	0.146	0.455	0.066		
4	2.00	0.43	0.26	0.200	0.697	0.139		
5	2.50	0.38	0.23	0.198	0.597	0.118		
6	3.00	0.50	0.30	0.236	0.675	0.159		
7	3.50	0.43	0.26	0.220	0.597	0.131		
8	4.00	0.48	0.29	0.238	0.607	0.145		
9	4.50	0.53	0.32	0.256	0.514	0.132		
10	5.00	0.48	0.29	0.243	0.690	0.168		
11	5.50	0.51	0.30	0.244	0.419	0.102		
12	6.00	0.41	0.24	0.209	0.389	0.081		
13	6.50	0.41	0.24	0.199	0.353	0.070		
14	7.00	0.36	0.21	0.182	0.328	0.060		
15	7.50	0.38	0.23	0.186	0.436	0.081		
16	8.00	0.37	0.22	0.178	0.415	0.074	Qt	1.694 m ³ /s
17	8.50	0.29	0.17	0.147	0.311	0.046	PM	9.703 m
18	9.00	0.28	0.17	0.135	0.234	0.032	At	3.462 m ²
19	9.50	0.23	0.14	0.088	0.198	0.017	RH	0.357 m

Tabla 94. Aforo en la sección N°4 – Bloque N°5- Época de estiaje

SECCIÓN 4								
Nº	Distancia(m)	H(m)	0.6xH	AP(m ²)	V(m/s)	Q(m ³ /s)	Fecha	30/09/2021
1	0.50	0.21	0.13	0.083	0.285	0.024	hr.	11:40 a. m.
2	1.00	0.27	0.16	0.134	0.290	0.039		
3	1.50	0.32	0.19	0.153	0.315	0.048		
4	2.00	0.25	0.15	0.131	0.341	0.045		
5	2.50	0.28	0.17	0.142	0.392	0.056		
6	3.00	0.34	0.20	0.164	0.413	0.068		
7	3.50	0.31	0.19	0.161	0.448	0.072		
8	4.00	0.38	0.23	0.179	0.582	0.104		
9	4.50	0.28	0.17	0.151	0.624	0.094		
10	5.00	0.35	0.21	0.166	0.549	0.091		
11	5.50	0.28	0.17	0.147	0.521	0.077		
12	6.00	0.33	0.20	0.157	0.492	0.077		

13	6.50	0.32	0.19	0.159	0.543	0.086		
14	7.00	0.31	0.19	0.157	0.568	0.089		
15	7.50	0.33	0.20	0.161	0.521	0.084		
16	8.00	0.28	0.17	0.144	0.512	0.074		
17	8.50	0.30	0.18	0.152	0.490	0.075	Qt	1.515 m ³ /s
18	9.00	0.35	0.21	0.176	0.550	0.097	PM	10.571 m
19	9.50	0.41	0.25	0.214	0.516	0.110	At	3.145 m ²
20	10.00	0.61	0.37	0.214	0.495	0.106	RH	0.298 m

Tabla 95. Aforo en la sección N°5 – Bloque N°5- Época de estiaje

SECCIÓN 5								
Nº	Distancia(m)	H(m)	0.6xH	AP(m ²)	V(m/s)	Q(m ³ /s)	Fecha	30/09/2021
1	0.50	0.11	0.07	0.048	0.139	0.007	hr.	1:30 p. m.
2	1.00	0.21	0.13	0.106	0.564	0.060		
3	1.50	0.32	0.19	0.152	0.264	0.040		
4	2.00	0.31	0.19	0.159	0.426	0.068		
5	2.50	0.36	0.22	0.181	0.746	0.135		
6	3.00	0.43	0.26	0.211	0.787	0.166		
7	3.50	0.43	0.26	0.215	0.650	0.140		
8	4.00	0.43	0.26	0.216	0.678	0.147		
9	4.50	0.44	0.26	0.214	0.711	0.152		
10	5.00	0.36	0.22	0.186	0.752	0.140		
11	5.50	0.38	0.23	0.189	0.674	0.127		
12	6.00	0.39	0.23	0.191	0.635	0.121		
13	6.50	0.33	0.20	0.171	0.543	0.093		
14	7.00	0.37	0.22	0.179	0.579	0.104		
15	7.50	0.32	0.19	0.159	0.537	0.085		
16	8.00	0.26	0.16	0.133	0.426	0.057	Qt	1.733 m ³ /s
17	8.50	0.25	0.15	0.124	0.497	0.062	PM	9.618 m
18	9.00	0.22	0.13	0.107	0.211	0.023	At	3.002 m ²
19	9.50	0.15	0.09	0.061	0.127	0.008	RH	0.312 m

Tabla 96. Aforo en la sección N°6 – Bloque N°5- Época de estiaje

SECCIÓN 6								
Nº	Distancia(m)	H(m)	0.6xH	AP(m ²)	V(m/s)	Q(m ³ /s)	Fecha	30/09/2021
1	0.50	0.29	0.17	0.114	0.314	0.036	hr.	2:35 p. m.
2	1.00	0.41	0.24	0.194	0.482	0.094		
3	1.50	0.40	0.24	0.196	0.623	0.122		
4	2.00	0.36	0.21	0.176	0.694	0.122		
5	2.50	0.30	0.18	0.155	0.748	0.116		
6	3.00	0.36	0.21	0.171	0.661	0.113		
7	3.50	0.31	0.18	0.156	0.627	0.098		
8	4.00	0.31	0.18	0.154	0.649	0.100		
9	4.50	0.34	0.20	0.161	0.627	0.101		
10	5.00	0.27	0.16	0.136	0.666	0.091		
11	5.50	0.26	0.15	0.131	0.677	0.089		
12	6.00	0.31	0.18	0.146	0.664	0.097		
13	6.50	0.26	0.15	0.128	0.615	0.079		
14	7.00	0.21	0.12	0.111	0.584	0.065		

15	7.50	0.30	0.18	0.139	0.510	0.071		
16	8.00	0.26	0.15	0.126	0.470	0.059		
17	8.50	0.19	0.11	0.096	0.388	0.037		
18	9.00	0.14	0.08	0.072	0.366	0.026	Qt	1.548 m ³ /s
19	9.50	0.14	0.09	0.070	0.227	0.016	PM	10.709 m
20	10.00	0.12	0.07	0.061	0.187	0.011	At	2.735 m ²
21	10.50	0.11	0.07	0.042	0.136	0.006	RH	0.255 m

Tabla 97. Aforo en la sección N°7 – Bloque N°5- Época de estiaje

SECCIÓN 7								
Nº	Distancia(m)	H(m)	0.6xH	AP(m ²)	V(m/s)	Q(m ³ /s)	Fecha	30/09/2021
1	0.50	0.18	0.11	0.037	0.187	0.007	hr.	3:50 p. m.
2	1.00	0.15	0.09	0.094	0.310	0.029		
3	1.50	0.28	0.17	0.137	0.499	0.068		
4	2.00	0.33	0.20	0.160	0.433	0.069		
5	2.50	0.41	0.25	0.152	0.431	0.066		
6	3.00	0.42	0.25	0.152	0.443	0.067		
7	3.50	0.41	0.25	0.161	0.427	0.069		
8	4.00	0.40	0.24	0.151	0.513	0.077		
9	4.50	0.34	0.20	0.148	0.580	0.086		
10	5.00	0.35	0.21	0.164	0.458	0.075		
11	5.50	0.33	0.20	0.173	0.480	0.083		
12	6.00	0.29	0.17	0.174	0.533	0.093		
13	6.50	0.30	0.18	0.197	0.594	0.117		
14	7.00	0.33	0.20	0.205	0.559	0.115		
15	7.50	0.30	0.18	0.209	0.501	0.105		
16	8.00	0.30	0.18	0.201	0.576	0.116		
17	8.50	0.33	0.20	0.167	0.370	0.062	Qt	1.375 m ³ /s
18	9.00	0.28	0.17	0.135	0.330	0.045	PM	10.128 m
19	9.50	0.19	0.11	0.085	0.186	0.016	At	2.977 m ²
20	10.00	0.08	0.05	0.075	0.148	0.011	RH	0.294 m

Tabla 98. Aforo en la sección N°8 – Bloque N°5- Época de estiaje

SECCIÓN 8								
Nº	Distancia(m)	H(m)	0.6xH	AP(m ²)	V(m/s)	Q(m ³ /s)	Fecha	30/09/2021
1	0.50	0.24	0.14	0.099	0.533	0.053	hr.	5:15 p. m.
2	1.00	0.18	0.11	0.093	0.580	0.054		
3	1.50	0.17	0.10	0.082	0.435	0.036		
4	2.00	0.12	0.07	0.064	0.453	0.029		
5	2.50	0.13	0.08	0.064	0.320	0.020		
6	3.00	0.12	0.07	0.061	0.281	0.017		
7	3.50	0.13	0.08	0.064	0.297	0.019		
8	4.00	0.12	0.07	0.061	0.288	0.018		
9	4.50	0.12	0.07	0.060	0.280	0.017		
10	5.00	0.12	0.07	0.060	0.253	0.015		
11	5.50	0.12	0.07	0.060	0.249	0.015		
12	6.00	0.12	0.07	0.060	0.267	0.016		
13	6.50	0.12	0.07	0.060	0.266	0.016		
14	7.00	0.12	0.07	0.061	0.297	0.018		
15	7.50	0.14	0.08	0.068	0.344	0.023		

16	8.00	0.12	0.07	0.063	0.336	0.021		
17	8.50	0.15	0.09	0.075	0.367	0.028		
18	9.00	0.18	0.11	0.089	0.371	0.033		
19	9.50	0.19	0.11	0.098	0.418	0.041		
20	10.00	0.24	0.14	0.116	0.510	0.059		
21	10.50	0.22	0.13	0.114	0.472	0.054		
22	11.00	0.27	0.16	0.132	0.548	0.072		
23	11.50	0.27	0.16	0.136	0.589	0.080		
24	12.00	0.29	0.17	0.144	0.618	0.089		
25	12.50	0.29	0.17	0.147	0.639	0.094		
26	13.00	0.32	0.19	0.158	0.612	0.097		
27	13.50	0.32	0.19	0.158	0.633	0.100		
28	14.00	0.29	0.17	0.145	0.580	0.084	Qt	1.404 m ³ /s
29	14.50	0.26	0.16	0.133	0.496	0.066	PM	15.749 m
30	15.00	0.28	0.17	0.135	0.591	0.080	At	2.955 m ²
31	15.50	0.22	0.13	0.095	0.421	0.040	RH	0.188 m

AFORO PERÍODO DE LLUVIAS

- Aforo primer grupo en el período de lluvia (25/10/2022)

Tabla 99. Aforo en la sección N°1 – Bloque N°1- Época de lluvias

SECCIÓN 1									
Nº	Distancia(m)	H(m)	0.2xH	0.8xH	AP(m ²)	0.2 v	0.8 v	V(m/s)	Q(m ³ /s)
1	0.5	0.25	0.05	0.20	0.107	0.254	0.347	0.301	0.032
2	1.0	0.30	0.06	0.24	0.149	0.201	0.274	0.238	0.035
3	1.5	0.29	0.06	0.23	0.145	0.260	0.335	0.298	0.043
4	2.0	0.28	0.06	0.23	0.142	0.249	0.318	0.284	0.040
5	2.5	0.28	0.06	0.23	0.143	0.505	0.687	0.596	0.085
6	3.0	0.30	0.06	0.24	0.149	0.392	0.649	0.521	0.078
7	3.5	0.32	0.06	0.26	0.161	0.385	0.625	0.505	0.081
8	4.0	0.33	0.07	0.27	0.167	0.584	0.797	0.691	0.115
9	4.5	0.29	0.06	0.23	0.149	0.579	0.662	0.621	0.092
10	5.0	0.24	0.05	0.20	0.126	0.696	0.735	0.716	0.090
11	5.5	0.37	0.07	0.29	0.177	0.549	0.692	0.621	0.110
12	6.0	0.48	0.10	0.38	0.239	0.729	0.948	0.839	0.200
13	6.5	0.58	0.12	0.46	0.290	0.711	1.048	0.880	0.255
14	7.0	0.68	0.14	0.54	0.342	0.897	1.211	1.054	0.361
15	7.5	0.81	0.16	0.65	0.390	0.977	1.296	1.137	0.443
16	8.0	0.71	0.14	0.57	0.364	0.969	1.338	1.153	0.420
17	8.5	0.75	0.15	0.60	0.366	1.123	1.300	1.211	0.443
18	9.0	0.62	0.12	0.50	0.325	1.118	1.341	1.230	0.400
19	9.5	0.72	0.14	0.58	0.356	1.081	1.328	1.205	0.429
20	10.0	0.53	0.11	0.42	0.317	0.798	1.065	0.932	0.295
Fecha	25/10/2022			Qt	4.05	m ³ /s	At	4.604	m ²
hr.	2:30 p. m.			PM	10.794	m	RH	0.427	m

Tabla 100. Aforo en la sección N°2 – Bloque N°1- Época de lluvias

SECCIÓN 2									
N°	Distancia(m)	H(m)	0.2xH	0.8xH	AP(m2)	0.2 v	0.8 v	V(m/s)	Q(m3/s)
1	0.5	0.28	0.06	0.23	0.119	0.243	0.325	0.284	0.034
2	1.0	0.41	0.08	0.33	0.200	0.413	0.787	0.600	0.120
3	1.5	0.44	0.09	0.35	0.226	0.703	0.986	0.844	0.191
4	2.0	0.57	0.11	0.45	0.279	0.813	1.036	0.924	0.258
5	2.5	0.62	0.12	0.50	0.306	0.902	1.125	1.013	0.310
6	3.0	0.61	0.12	0.49	0.304	0.937	1.109	1.023	0.311
7	3.5	0.58	0.12	0.46	0.293	0.857	1.159	1.008	0.295
8	4.0	0.60	0.12	0.48	0.297	0.964	1.269	1.117	0.332
9	4.5	0.58	0.12	0.46	0.291	0.945	1.255	1.100	0.320
10	5.0	0.58	0.12	0.47	0.289	0.887	1.266	1.076	0.311
11	5.5	0.54	0.11	0.43	0.268	0.892	1.266	1.079	0.289
12	6.0	0.45	0.09	0.36	0.228	0.787	1.124	0.955	0.218
13	6.5	0.43	0.09	0.34	0.212	0.854	1.134	0.994	0.211
14	7.0	0.36	0.07	0.29	0.185	0.786	1.161	0.973	0.180
15	7.5	0.37	0.07	0.30	0.183	0.755	1.017	0.886	0.162
16	8.0	0.32	0.06	0.26	0.166	0.666	0.946	0.806	0.134
17	8.5	0.36	0.07	0.29	0.178	0.683	0.956	0.819	0.146
18	9.0	0.38	0.08	0.31	0.185	0.411	0.733	0.572	0.106
19	9.5	0.29	0.06	0.24	0.145	0.423	0.655	0.539	0.078
20	10.0	0.17	0.03	0.14	0.073	0.220	0.380	0.300	0.022
Fecha	25/10/2022			Qt	4.03	m3/s	At	4.427	m2
hr.	1:00 p. m.			PM	10.268	m	RH	0.431	m

Tabla 101. Aforo en la sección N°3 – Bloque N°1- Época de lluvias

SECCIÓN 3									
N°	Distancia(m)	H(m)	0.2xH	0.8xH	AP(m2)	0.2 v	0.8 v	V(m/s)	Q(m3/s)
1	0.5	0.14	0.03	0.11	0.070	0.141	0.206	0.174	0.012
2	1.0	0.32	0.06	0.26	0.162	0.274	0.327	0.301	0.049
3	1.5	0.40	0.08	0.32	0.198	0.354	0.396	0.375	0.074
4	2.0	0.44	0.09	0.35	0.222	0.516	0.680	0.598	0.133
5	2.5	0.53	0.11	0.42	0.266	0.574	0.695	0.634	0.169
6	3.0	0.63	0.13	0.51	0.315	0.643	0.910	0.777	0.245
7	3.5	0.70	0.14	0.56	0.349	0.636	0.917	0.777	0.271
8	4.0	0.75	0.15	0.60	0.372	0.733	0.976	0.854	0.318
9	4.5	0.77	0.15	0.62	0.383	0.649	0.904	0.777	0.297
10	5.0	0.76	0.15	0.60	0.381	0.663	0.911	0.787	0.300
11	5.5	0.80	0.16	0.64	0.404	0.658	0.930	0.794	0.321
12	6.0	0.90	0.18	0.72	0.439	0.777	0.962	0.870	0.382
13	6.5	0.82	0.16	0.66	0.413	0.482	0.916	0.699	0.289
14	7.0	0.78	0.16	0.63	0.389	0.511	0.827	0.669	0.260
15	7.5	0.70	0.14	0.56	0.355	0.575	0.690	0.632	0.225
16	8.0	0.70	0.14	0.56	0.344	0.546	0.670	0.608	0.209

17	8.5	0.61	0.12	0.49	0.312	0.451	0.580	0.516		0.161
18	9.0	0.63	0.13	0.50	0.314	0.418	0.571	0.494		0.155
19	9.5	0.63	0.13	0.50	0.312	0.311	0.470	0.390		0.122
20	10.0	0.58	0.12	0.46	0.287	0.245	0.382	0.314		0.090
21	10.5	0.48	0.10	0.38	0.246	0.239	0.317	0.278		0.068
22	11.0	0.48	0.10	0.38	0.195	0.216	0.297	0.257		0.050
Fecha	25/10/2022			Qt	4.20	m3/s	At	6.728		m2
hr.	12:20 p. m.			PM	11.461	m	RH	0.587		m

Tabla 102. Aforo en la sección N°4 – Bloque N°1- Época de lluvias

SECCIÓN 4										
N°	Distancia(m)	H(m)	0.2xH	0.8xH	AP(m2)	0.2 v	0.8 v	V(m/s)	Q(m3/s)	
1	0.5	0.23	0.05	0.18	0.109	0.294	0.335	0.314		0.034
2	1.0	0.38	0.08	0.31	0.186	0.344	0.571	0.457		0.085
3	1.5	0.44	0.09	0.35	0.216	0.434	0.587	0.510		0.110
4	2.0	0.45	0.09	0.36	0.226	0.430	0.735	0.582		0.132
5	2.5	0.49	0.10	0.40	0.243	0.650	0.867	0.758		0.184
6	3.0	0.48	0.10	0.38	0.244	0.524	0.796	0.660		0.161
7	3.5	0.53	0.11	0.42	0.261	0.683	0.957	0.820		0.214
8	4.0	0.50	0.10	0.40	0.251	0.758	1.035	0.897		0.225
9	4.5	0.48	0.10	0.38	0.238	0.934	1.234	1.084		0.258
10	5.0	0.43	0.09	0.34	0.215	0.837	1.275	1.056		0.227
11	5.5	0.38	0.08	0.30	0.196	0.850	1.370	1.110		0.218
12	6.0	0.43	0.09	0.34	0.211	0.707	1.120	0.914		0.193
13	6.5	0.42	0.08	0.34	0.212	0.604	0.977	0.791		0.168
14	7.0	0.44	0.09	0.35	0.217	0.664	0.957	0.810		0.176
15	7.5	0.41	0.08	0.33	0.206	0.738	1.134	0.936		0.193
16	8.0	0.40	0.08	0.32	0.208	0.617	0.960	0.788		0.164
17	8.5	0.52	0.10	0.41	0.250	0.854	1.220	1.037		0.259
18	9.0	0.48	0.10	0.38	0.243	0.773	1.062	0.917		0.223
19	9.5	0.49	0.10	0.39	0.246	0.785	1.240	1.012		0.249
20	10.0	0.53	0.11	0.42	0.266	0.771	1.117	0.944		0.251
21	10.5	0.58	0.12	0.46	0.281	0.772	1.170	0.971		0.273
22	11.0	0.48	0.10	0.38	0.198	0.519	0.610	0.564		0.112
Fecha	25/10/2022			Qt	4.11	m3/s	At	4.923		m2
hr.	11:20 a. m.			PM	11.451	m	RH	0.430		m

Tabla 103. Aforo en la sección N°5 – Bloque N°1- Época de lluvias

SECCIÓN 5									
N°	Distancia(m)	H(m)	0.2xH	0.8xH	AP(m2)	0.2 v	0.8 v	V(m/s)	Q(m3/s)
1	0.5	0.18	0.04	0.14	0.078	0.082	0.107	0.095	0.007
2	1.0	0.34	0.07	0.27	0.163	0.214	0.377	0.296	0.048
3	1.5	0.40	0.08	0.32	0.198	0.369	0.524	0.447	0.088
4	2.0	0.43	0.09	0.35	0.220	0.475	0.678	0.577	0.127
5	2.5	0.51	0.10	0.41	0.248	0.518	0.712	0.615	0.152
6	3.0	0.48	0.10	0.38	0.243	0.509	0.882	0.696	0.169
7	3.5	0.50	0.10	0.40	0.244	0.669	0.977	0.823	0.201
8	4.0	0.45	0.09	0.36	0.230	0.700	1.145	0.923	0.212
9	4.5	0.48	0.10	0.38	0.237	0.778	1.160	0.969	0.230
10	5.0	0.46	0.09	0.37	0.234	0.837	1.240	1.039	0.243
11	5.5	0.50	0.10	0.40	0.251	0.869	1.230	1.050	0.263
12	6.0	0.55	0.11	0.44	0.274	0.885	1.298	1.092	0.299
13	6.5	0.59	0.12	0.47	0.294	0.824	1.157	0.991	0.291
14	7.0	0.66	0.13	0.52	0.323	0.754	1.167	0.961	0.310
15	7.5	0.66	0.13	0.53	0.327	0.704	1.258	0.981	0.321
16	8.0	0.62	0.12	0.49	0.309	0.743	1.195	0.969	0.299
17	8.5	0.59	0.12	0.47	0.296	0.769	1.174	0.971	0.288
18	9.0	0.56	0.11	0.45	0.283	0.689	1.040	0.864	0.245
19	9.5	0.56	0.11	0.45	0.270	0.458	1.066	0.762	0.206
20	10.0	0.40	0.08	0.32	0.198	0.381	0.545	0.463	0.092
21	10.5	0.18	0.04	0.14	0.087	0.072	0.118	0.095	0.008
Fecha	25/10/2022			Qt	4.10	m3/s	At	5.007	m2
hr.	10:45 a. m.			PM	10.712	m	RH	0.467	m

Tabla 104. Aforo en la sección N°6 – Bloque N°1- Época de lluvias

SECCIÓN 6									
N°	Distancia(m)	H(m)	0.2xH	0.8xH	AP(m2)	0.2 v	0.8 v	V(m/s)	Q(m3/s)
1	0.500	0.33	0.07	0.26	0.145	0.285	0.430	0.357	0.052
2	1.000	0.48	0.10	0.38	0.232	0.585	0.867	0.726	0.168
3	1.500	0.50	0.10	0.40	0.252	0.743	0.990	0.866	0.218
4	2.000	0.53	0.11	0.42	0.265	0.725	1.051	0.888	0.235
5	2.500	0.56	0.11	0.44	0.275	0.774	1.210	0.992	0.273
6	3.000	0.54	0.11	0.43	0.272	0.877	1.373	1.125	0.306
7	3.500	0.55	0.11	0.44	0.274	0.686	1.302	0.994	0.272
8	4.000	0.54	0.11	0.43	0.269	0.847	1.344	1.096	0.295
9	4.500	0.51	0.10	0.41	0.258	0.870	1.290	1.080	0.279
10	5.000	0.52	0.10	0.42	0.257	0.765	1.286	1.025	0.264
11	5.500	0.48	0.10	0.38	0.241	0.826	1.300	1.063	0.256
12	6.000	0.45	0.09	0.36	0.226	0.843	1.272	1.057	0.239
13	6.500	0.44	0.09	0.35	0.218	0.754	1.134	0.944	0.206
14	7.000	0.40	0.08	0.32	0.202	0.846	1.380	1.113	0.225
15	7.500	0.40	0.08	0.32	0.199	0.796	1.294	1.045	0.208

16	8.000	0.38	0.08	0.30	0.188	0.833	1.227	1.030		0.194
17	8.500	0.32	0.06	0.26	0.161	0.770	0.936	0.853		0.137
18	9.000	0.28	0.06	0.22	0.143	0.616	0.775	0.695		0.099
19	9.500	0.28	0.06	0.22	0.140	0.598	0.713	0.656		0.092
20	10.000	0.29	0.06	0.23	0.137	0.330	0.462	0.396		0.054
21	10.500	0.20	0.04	0.16	0.087	0.297	0.375	0.336		0.029
Fecha	25/10/2022			Qt	4.10	m3/s	At	4.441		m2
hr.	9:20 a. m.			PM	10.807	m	RH	0.411		m

Tabla 105. Aforo en la sección N°7 – Bloque N°1- Época de lluvias

SECCIÓN 7										
N°	Distancia(m)	H(m)	0.2xH	0.8xH	AP(m2)	0.2 v	0.8 v	V(m/s)	Q(m3/s)	
1	0.5	0.52	0.10	0.42	0.224	0.405	0.563	0.484		0.108
2	1.0	0.48	0.10	0.38	0.244	0.481	0.635	0.558		0.136
3	1.5	0.50	0.10	0.40	0.251	0.693	0.783	0.738		0.185
4	2.0	0.53	0.11	0.42	0.264	0.704	0.883	0.794		0.210
5	2.5	0.55	0.11	0.44	0.271	0.619	0.735	0.677		0.183
6	3.0	0.51	0.10	0.41	0.259	0.828	1.160	0.994		0.257
7	3.5	0.53	0.11	0.42	0.254	0.804	1.190	0.997		0.253
8	4.0	0.38	0.08	0.30	0.206	0.967	1.333	1.150		0.237
9	4.5	0.48	0.10	0.38	0.229	0.940	1.337	1.139		0.261
10	5.0	0.41	0.08	0.33	0.207	1.176	1.415	1.295		0.268
11	5.5	0.38	0.08	0.30	0.201	1.149	1.387	1.268		0.255
12	6.0	0.52	0.10	0.42	0.253	1.117	1.413	1.265		0.320
13	6.5	0.55	0.11	0.44	0.272	1.043	1.415	1.229		0.334
14	7.0	0.53	0.11	0.42	0.260	0.803	1.259	1.031		0.268
15	7.5	0.43	0.09	0.34	0.218	0.718	1.054	0.886		0.193
16	8.0	0.38	0.08	0.30	0.195	0.642	1.070	0.856		0.167
17	8.5	0.41	0.08	0.33	0.195	0.700	1.190	0.945		0.184
18	9.0	0.28	0.06	0.22	0.144	0.700	0.844	0.772		0.111
19	9.5	0.21	0.04	0.17	0.105	0.700	0.746	0.723		0.076
20	10.0	0.14	0.03	0.11	0.059	0.427	0.427	0.427		0.025
Fecha	25/10/2022			Qt	4.033	m3/s	At	4.311		m2
hr.	10:00 a. m.			PM	10.518	m	RH	0.410		m

Tabla 106. Aforo en la sección N°8 – Bloque N°1- Época de lluvias

SECCIÓN 8										
N°	Distancia(m)	H(m)	0.2xH	0.8xH	AP(m2)	0.2 v	0.8 v	V(m/s)	Q(m3/s)	
1	0.5	0.23	0.05	0.18	0.105	0.599	0.946	0.772		0.081
2	1.0	0.32	0.06	0.26	0.159	0.699	0.970	0.834		0.133
3	1.5	0.30	0.06	0.24	0.150	0.627	0.732	0.680		0.102
4	2.0	0.29	0.06	0.23	0.143	0.724	0.835	0.780		0.111
5	2.5	0.27	0.05	0.22	0.320	0.460	0.677	0.569		0.182
6	3.0	0.20	0.04	0.16	0.107	0.477	0.715	0.596		0.064
7	3.5	0.24	0.05	0.19	0.114	0.477	0.704	0.591		0.067

8	4.0	0.21	0.04	0.17	0.110	0.668	0.821	0.744	0.082
9	4.5	0.26	0.05	0.21	0.126	0.466	0.684	0.575	0.072
10	5.0	0.21	0.04	0.17	0.109	0.444	0.615	0.530	0.058
11	5.5	0.21	0.04	0.17	0.103	0.580	0.732	0.656	0.068
12	6.0	0.18	0.04	0.14	0.094	0.563	0.714	0.638	0.060
13	6.5	0.21	0.04	0.17	0.101	0.502	0.646	0.574	0.058
14	7.0	0.18	0.04	0.14	0.095	0.564	0.688	0.626	0.059
15	7.5	0.23	0.05	0.18	0.112	0.754	0.934	0.844	0.095
16	8.0	0.23	0.05	0.18	0.118	0.769	0.917	0.843	0.099
17	8.5	0.28	0.06	0.22	0.134	0.744	0.908	0.826	0.111
18	9.0	0.25	0.05	0.20	0.129	0.872	1.025	0.948	0.122
19	9.5	0.28	0.06	0.22	0.141	0.899	1.068	0.984	0.139
20	10.0	0.33	0.07	0.26	0.165	0.880	1.154	1.017	0.168
21	10.5	0.38	0.08	0.30	0.186	0.667	1.137	0.902	0.168
22	11.0	0.36	0.07	0.29	0.180	0.942	1.218	1.080	0.194
23	11.5	0.34	0.07	0.27	0.175	0.877	1.305	1.091	0.191
24	12.0	0.40	0.08	0.32	0.198	0.902	1.325	1.114	0.220
25	12.5	0.42	0.08	0.34	0.211	0.852	1.277	1.065	0.225
26	13.0	0.45	0.09	0.36	0.223	0.993	1.306	1.150	0.256
27	13.5	0.45	0.09	0.36	0.220	1.013	1.315	1.164	0.256
28	14.0	0.40	0.08	0.32	0.200	1.026	1.216	1.121	0.224
29	14.5	0.37	0.07	0.29	0.183	0.977	1.107	1.042	0.191
30	15.0	0.33	0.07	0.26	0.164	0.952	1.204	1.078	0.177
31	15.5	0.30	0.06	0.24	0.124	0.924	1.167	1.045	0.130
Fecha	25/10/2022			Qt	4.163	m3/s	At	4.699	m2
hr.	8:20 a. m.			PM	15.81	m	RH	0.297	m

- **Aforo segundo grupo en el período de lluvia (29/10/2022)**

Tabla 107. Aforo en la sección N°1 – Bloque N°2- Época de lluvias

SECCIÓN 1									
N°	Distancia(m)	H(m)	0.2xH	0.8xH	AP(m2)	0.2 v	0.8 v	V(m/s)	Q(m3/s)
1	0.5	0.29	0.06	0.23	0.128	0.314	0.422	0.368	0.047
2	1.0	0.35	0.07	0.28	0.170	0.211	0.349	0.280	0.048
3	1.5	0.34	0.07	0.27	0.169	0.250	0.410	0.330	0.056
4	2.0	0.33	0.07	0.27	0.167	0.261	0.413	0.337	0.056
5	2.5	0.33	0.07	0.27	0.168	0.515	0.822	0.669	0.112
6	3.0	0.35	0.07	0.28	0.174	0.415	0.725	0.570	0.099
7	3.5	0.37	0.07	0.30	0.185	0.395	0.697	0.546	0.101
8	4.0	0.35	0.07	0.28	0.177	0.604	0.938	0.771	0.137
9	4.5	0.34	0.07	0.27	0.168	0.584	0.740	0.662	0.111
10	5.0	0.33	0.07	0.26	0.169	0.686	0.820	0.753	0.127
11	5.5	0.42	0.08	0.33	0.209	0.665	0.901	0.783	0.164
12	6.0	0.53	0.11	0.42	0.264	0.734	1.023	0.878	0.232
13	6.5	0.63	0.13	0.50	0.315	0.882	1.313	1.098	0.346
14	7.0	0.73	0.15	0.58	0.363	1.097	1.301	1.199	0.435

15	7.5	0.79	0.16	0.63	0.390	1.086	1.410	1.248	0.487
16	8.0	0.76	0.15	0.61	0.383	1.029	1.414	1.221	0.468
17	8.5	0.78	0.16	0.62	0.383	1.218	1.430	1.324	0.507
18	9.0	0.67	0.13	0.54	0.348	1.228	1.446	1.337	0.465
19	9.5	0.77	0.15	0.62	0.376	1.131	1.413	1.272	0.478
20	10.0	0.70	0.14	0.56	0.323	0.750	1.230	0.990	0.320
Fecha	29/10/2022			Qt	4.80	m3/s	At	5.029	m2
hr.	4:40 p. m.			PM	10.82	m	RH	0.465	m

Tabla 108. Aforo en la sección N°2 – Bloque N°2- Época de lluvias

SECCIÓN 2									
N°	Distancia(m)	H(m)	0.2xH	0.8xH	AP(m2)	0.2 v	0.8 v	V(m/s)	Q(m3/s)
1	0.5	0.30	0.06	0.24	0.136	0.250	0.350	0.300	0.041
2	1.0	0.51	0.10	0.41	0.246	0.635	0.887	0.761	0.187
3	1.5	0.57	0.11	0.46	0.282	0.580	0.786	0.683	0.193
4	2.0	0.56	0.11	0.45	0.285	0.957	1.154	1.056	0.301
5	2.5	0.61	0.12	0.49	0.305	1.039	1.254	1.147	0.350
6	3.0	0.61	0.12	0.49	0.300	1.008	1.251	1.130	0.339
7	3.5	0.58	0.12	0.46	0.293	1.242	1.352	1.297	0.380
8	4.0	0.60	0.12	0.48	0.297	1.216	1.314	1.265	0.376
9	4.5	0.58	0.12	0.46	0.285	1.057	1.300	1.178	0.336
10	5.0	0.48	0.10	0.38	0.244	1.106	1.305	1.206	0.294
11	5.5	0.45	0.09	0.36	0.227	0.993	1.309	1.151	0.261
12	6.0	0.47	0.09	0.38	0.242	0.954	1.280	1.117	0.270
13	6.5	0.55	0.11	0.44	0.264	0.966	1.312	1.139	0.301
14	7.0	0.49	0.10	0.39	0.248	0.878	1.290	1.084	0.269
15	7.5	0.49	0.10	0.39	0.242	0.890	1.309	1.099	0.266
16	8.0	0.45	0.09	0.36	0.228	0.818	1.190	1.004	0.229
17	8.5	0.46	0.09	0.37	0.226	0.810	0.962	0.886	0.200
18	9.0	0.41	0.08	0.32	0.202	0.640	0.886	0.763	0.154
19	9.5	0.35	0.07	0.28	0.168	0.580	0.668	0.624	0.105
20	10.0	0.19	0.04	0.15	0.087	0.178	0.252	0.215	0.019
Fecha	29/10/2022			Qt	4.87	m3/s	At	4.807	m2
hr.	3:30 p. m.			PM	10.32	m	RH	0.466	m

Tabla 109. Aforo en la sección N°3 – Bloque N°2- Época de lluvias

SECCIÓN 3									
N°	Distancia(m)	H(m)	0.2xH	0.8xH	AP(m2)	0.2 v	0.8 v	V(m/s)	Q(m3/s)
1	0.5	0.17	0.03	0.14	0.079	0.207	0.357	0.282	0.022
2	1.0	0.38	0.08	0.31	0.191	0.308	0.398	0.353	0.067
3	1.5	0.50	0.10	0.40	0.248	0.381	0.657	0.519	0.129
4	2.0	0.55	0.11	0.44	0.272	0.536	0.710	0.623	0.169
5	2.5	0.57	0.11	0.46	0.292	0.609	0.845	0.727	0.212
6	3.0	0.70	0.14	0.56	0.347	0.678	0.950	0.814	0.282
7	3.5	0.74	0.15	0.59	0.369	0.681	0.947	0.814	0.300

8	4.0	0.75	0.15	0.60	0.375	0.768	1.096	0.932	0.349
9	4.5	0.77	0.15	0.62	0.388	0.797	1.050	0.924	0.358
10	5.0	0.83	0.17	0.66	0.410	0.788	0.987	0.887	0.364
11	5.5	0.80	0.16	0.64	0.406	0.683	0.987	0.835	0.339
12	6.0	0.86	0.17	0.69	0.423	0.814	1.292	1.053	0.445
13	6.5	0.82	0.16	0.66	0.411	0.907	1.210	1.058	0.435
14	7.0	0.78	0.16	0.63	0.394	0.707	0.988	0.847	0.334
15	7.5	0.79	0.16	0.63	0.390	0.700	0.924	0.812	0.317
16	8.0	0.70	0.14	0.56	0.353	0.607	0.803	0.705	0.249
17	8.5	0.66	0.13	0.53	0.335	0.486	0.684	0.585	0.196
18	9.0	0.70	0.14	0.56	0.345	0.439	0.604	0.521	0.180
19	9.5	0.63	0.13	0.50	0.317	0.336	0.547	0.441	0.140
20	10.0	0.58	0.12	0.46	0.293	0.312	0.427	0.370	0.108
21	10.5	0.58	0.12	0.46	0.284	0.257	0.422	0.340	0.096
22	11.0	0.48	0.10	0.38	0.198	0.279	0.397	0.338	0.067
Fecha	29/10/2022			Qt	5.16	m3/s	At	7.120	m2
hr.	12:30 p. m.			PM	11.477	m	RH	0.620	m

Tabla 110. Aforo en la sección N°4 – Bloque N°2- Época de lluvias

SECCIÓN 4									
N°	Distancia(m)	H(m)	0.2xH	0.8xH	AP(m2)	0.2 v	0.8 v	V(m/s)	Q(m3/s)
1	0.5	0.29	0.06	0.23	0.126	0.375	0.427	0.401	0.051
2	1.0	0.37	0.07	0.30	0.186	0.607	0.642	0.625	0.116
3	1.5	0.43	0.09	0.34	0.212	0.595	0.661	0.628	0.133
4	2.0	0.45	0.09	0.36	0.225	0.520	0.796	0.658	0.148
5	2.5	0.47	0.09	0.38	0.237	0.734	0.938	0.836	0.198
6	3.0	0.53	0.11	0.42	0.265	0.627	0.854	0.741	0.196
7	3.5	0.60	0.12	0.48	0.293	0.760	1.028	0.894	0.262
8	4.0	0.54	0.11	0.43	0.272	0.837	1.096	0.967	0.263
9	4.5	0.53	0.11	0.42	0.262	1.014	1.297	1.156	0.303
10	5.0	0.48	0.10	0.38	0.248	0.937	1.338	1.138	0.282
11	5.5	0.56	0.11	0.44	0.269	1.324	1.437	1.381	0.371
12	6.0	0.48	0.10	0.38	0.244	0.780	1.074	0.927	0.226
13	6.5	0.47	0.09	0.38	0.240	0.782	1.047	0.915	0.219
14	7.0	0.54	0.11	0.43	0.261	0.754	1.018	0.886	0.231
15	7.5	0.46	0.09	0.37	0.234	0.811	1.210	1.011	0.236
16	8.0	0.45	0.09	0.36	0.232	0.630	1.021	0.826	0.192
17	8.5	0.56	0.11	0.45	0.272	1.038	1.294	1.166	0.317
18	9.0	0.53	0.11	0.42	0.266	0.560	1.515	1.038	0.276
19	9.5	0.52	0.10	0.42	0.265	1.097	1.304	1.201	0.318
20	10.0	0.58	0.12	0.46	0.289	1.008	1.275	1.142	0.330
21	10.5	0.63	0.13	0.50	0.313	0.848	1.247	1.048	0.328
22	11.0	0.53	0.11	0.42	0.234	0.594	0.694	0.644	0.151
Fecha	29/10/2022			Qt	5.15	m3/s	At	5.445	m2
hr.	11:25 a. m.			PM	11.598	m	RH	0.469	m

Tabla 111. Aforo en la sección N°5 – Bloque N°2- Época de lluvias

SECCIÓN 5									
N°	Distancia(m)	H(m)	0.2xH	0.8xH	AP(m2)	0.2 v	0.8 v	V(m/s)	Q(m3/s)
1	0.5	0.17	0.03	0.13	0.084	0.119	0.124	0.122	0.010
2	1.0	0.35	0.07	0.28	0.168	0.477	0.437	0.457	0.077
3	1.5	0.40	0.08	0.32	0.201	0.452	0.594	0.523	0.105
4	2.0	0.46	0.09	0.37	0.229	0.627	0.729	0.678	0.155
5	2.5	0.49	0.10	0.39	0.249	0.628	0.830	0.729	0.182
6	3.0	0.58	0.12	0.46	0.281	0.714	0.934	0.824	0.232
7	3.5	0.55	0.11	0.44	0.275	0.773	1.029	0.901	0.248
8	4.0	0.54	0.11	0.43	0.273	0.958	1.200	1.079	0.295
9	4.5	0.57	0.11	0.46	0.282	0.884	1.127	1.006	0.284
10	5.0	0.54	0.11	0.43	0.276	1.141	1.304	1.223	0.337
11	5.5	0.62	0.12	0.50	0.304	1.004	1.380	1.192	0.362
12	6.0	0.60	0.12	0.48	0.302	0.980	1.349	1.165	0.352
13	6.5	0.62	0.12	0.49	0.305	0.928	1.408	1.168	0.356
14	7.0	0.58	0.12	0.46	0.295	0.980	1.318	1.149	0.339
15	7.5	0.63	0.13	0.50	0.314	1.085	1.309	1.197	0.376
16	8.0	0.67	0.13	0.53	0.329	0.945	1.246	1.096	0.360
17	8.5	0.64	0.13	0.51	0.320	0.871	1.225	1.048	0.335
18	9.0	0.63	0.13	0.50	0.314	0.781	1.091	0.936	0.294
19	9.5	0.61	0.12	0.49	0.295	0.721	1.117	0.919	0.271
20	10.0	0.43	0.09	0.34	0.213	0.405	0.596	0.501	0.107
21	10.5	0.23	0.05	0.18	0.110	0.194	0.225	0.210	0.023
Fecha	29/10/2022			Qt	5.10	m3/s	At	5.419	m2
hr.	10:25 a. m.			PM	10.82	m	RH	0.501	m

Tabla 112. Aforo en la sección N°6 – Bloque N°2- Época de lluvias

SECCIÓN 6									
N°	Distancia(m)	H(m)	0.2xH	0.8xH	AP(m2)	0.2 v	0.8 v	V(m/s)	Q(m3/s)
1	0.500	0.38	0.08	0.30	0.168	0.336	0.463	0.400	0.067
2	1.000	0.49	0.10	0.39	0.243	0.650	0.897	0.774	0.188
3	1.500	0.56	0.11	0.45	0.275	0.800	1.024	0.912	0.251
4	2.000	0.55	0.11	0.44	0.275	0.886	1.086	0.986	0.271
5	2.500	0.53	0.11	0.42	0.272	0.836	1.242	1.039	0.283
6	3.000	0.61	0.12	0.49	0.299	1.104	1.427	1.266	0.378
7	3.500	0.60	0.12	0.48	0.300	0.744	1.335	1.040	0.312
8	4.000	0.59	0.12	0.47	0.297	1.204	1.377	1.291	0.383
9	4.500	0.61	0.12	0.49	0.300	1.067	1.320	1.193	0.358
10	5.000	0.57	0.11	0.46	0.288	0.937	1.317	1.127	0.325
11	5.500	0.58	0.12	0.46	0.283	0.887	1.304	1.095	0.310
12	6.000	0.50	0.10	0.40	0.257	1.004	1.284	1.144	0.294
13	6.500	0.54	0.11	0.43	0.261	0.806	1.177	0.991	0.259
14	7.000	0.45	0.09	0.36	0.233	0.904	1.416	1.160	0.270
15	7.500	0.49	0.10	0.40	0.240	0.861	1.324	1.093	0.262

16	8.000	0.43	0.09	0.34	0.218	1.004	1.272	1.138	0.248
17	8.500	0.42	0.08	0.33	0.207	0.837	0.958	0.898	0.186
18	9.000	0.39	0.08	0.31	0.197	0.764	0.906	0.835	0.164
19	9.500	0.42	0.08	0.34	0.200	0.664	0.820	0.742	0.148
20	10.000	0.28	0.06	0.22	0.148	0.461	0.584	0.523	0.077
21	10.500	0.26	0.05	0.21	0.110	0.365	0.482	0.424	0.047
Fecha	29/10/2022			Qt	5.08	m3/s	At	5.071	m2
hr.	9:25 a. m.			PM	10.932	m	RH	0.464	m

Tabla 113. Aforo en la sección N°7 – Bloque N°2- Época de lluvias

SECCIÓN 7									
N°	Distancia(m)	H(m)	0.2xH	0.8xH	AP(m2)	0.2 v	0.8 v	V(m/s)	Q(m3/s)
1	0.5	0.57	0.11	0.46	0.251	0.527	0.575	0.551	0.138
2	1.0	0.53	0.11	0.42	0.269	0.527	0.784	0.655	0.176
3	1.5	0.55	0.11	0.44	0.279	0.734	0.877	0.806	0.225
4	2.0	0.63	0.13	0.50	0.308	0.794	0.934	0.864	0.266
5	2.5	0.60	0.12	0.48	0.299	0.883	0.975	0.929	0.278
6	3.0	0.56	0.11	0.45	0.284	0.878	1.215	1.047	0.297
7	3.5	0.58	0.12	0.46	0.282	1.036	1.176	1.106	0.312
8	4.0	0.47	0.09	0.38	0.245	1.027	1.402	1.215	0.298
9	4.5	0.51	0.10	0.41	0.249	0.980	1.387	1.184	0.295
10	5.0	0.46	0.09	0.37	0.233	1.226	1.525	1.375	0.320
11	5.5	0.47	0.09	0.37	0.239	1.209	1.428	1.318	0.315
12	6.0	0.57	0.11	0.46	0.280	1.175	1.480	1.328	0.372
13	6.5	0.60	0.12	0.48	0.297	1.075	1.442	1.259	0.374
14	7.0	0.58	0.12	0.46	0.285	0.894	1.329	1.111	0.317
15	7.5	0.48	0.10	0.38	0.245	0.898	1.334	1.116	0.273
16	8.0	0.46	0.09	0.37	0.231	0.802	1.280	1.041	0.240
17	8.5	0.46	0.09	0.37	0.222	0.910	1.220	1.065	0.236
18	9.0	0.33	0.07	0.26	0.17	0.880	1.075	0.978	0.166
19	9.5	0.29	0.06	0.23	0.139	0.852	0.974	0.913	0.127
20	10.0	0.19	0.04	0.15	0.086	0.538	0.561	0.550	0.047
Fecha	29/10/2022			Qt	5.073	m3/s	At	4.893	m2
hr.	9:20 a. m.			PM	10.593	m	RH	0.462	m

Tabla 114. Aforo en la sección N°8 – Bloque N°2- Época de lluvias

SECCIÓN 8									
N°	Distancia(m)	H(m)	0.2xH	0.8xH	AP(m2)	0.2 v	0.8 v	V(m/s)	Q(m3/s)
1	0.5	0.28	0.06	0.22	0.120	0.777	0.953	0.865	0.104
2	1.0	0.34	0.07	0.27	0.165	0.761	0.965	0.863	0.142
3	1.5	0.33	0.07	0.26	0.163	0.708	0.752	0.730	0.119
4	2.0	0.29	0.06	0.23	0.146	0.710	0.872	0.791	0.115
5	2.5	0.29	0.06	0.23	0.143	0.666	0.710	0.688	0.098
6	3.0	0.27	0.05	0.21	0.133	0.683	0.744	0.714	0.095
7	3.5	0.26	0.05	0.20	0.128	0.673	0.734	0.704	0.090
8	4.0	0.26	0.05	0.20	0.127	0.689	0.860	0.774	0.098
9	4.5	0.26	0.05	0.20	0.127	0.580	0.714	0.647	0.082
10	5.0	0.26	0.05	0.20	0.127	0.570	0.675	0.622	0.079
11	5.5	0.26	0.05	0.20	0.126	0.711	0.782	0.746	0.094
12	6.0	0.23	0.05	0.18	0.116	0.684	0.744	0.714	0.083
13	6.5	0.26	0.05	0.20	0.127	0.623	0.782	0.703	0.089
14	7.0	0.27	0.05	0.22	0.136	0.689	0.737	0.713	0.097
15	7.5	0.28	0.06	0.22	0.137	0.795	0.964	0.879	0.120
16	8.0	0.28	0.06	0.22	0.14	0.890	0.9554	0.923	0.129
17	8.5	0.32	0.06	0.25	0.154	0.867	1.17	1.019	0.157
18	9.0	0.30	0.06	0.24	0.151	0.910	1.27075	1.090	0.165
19	9.5	0.33	0.07	0.26	0.164	0.932	1.298	1.115	0.183
20	10.0	0.38	0.08	0.30	0.188	1.021	1.2834	1.152	0.217
21	10.5	0.43	0.09	0.34	0.211	0.898	1.357	1.128	0.238
22	11.0	0.45	0.09	0.36	0.224	1.117	1.338	1.227	0.275
23	11.5	0.43	0.09	0.34	0.217	1.123	1.426	1.275	0.277
24	12.0	0.45	0.09	0.36	0.223	1.088	1.3905	1.239	0.276
25	12.5	0.47	0.09	0.37	0.233	1.079	1.317	1.198	0.279
26	13.0	0.50	0.10	0.40	0.241	1.088	1.3346	1.211	0.292
27	13.5	0.42	0.08	0.33	0.211	1.064	1.3795	1.222	0.258
28	14.0	0.40	0.08	0.32	0.197	1.176	1.2996	1.238	0.244
29	14.5	0.37	0.07	0.29	0.185	1.101	1.227	1.164	0.215
30	15.0	0.37	0.07	0.30	0.183	1.124	1.264	1.194	0.218
31	15.5	0.34	0.07	0.27	0.141	0.981	1.217	1.099	0.155
Fecha	29/10/2022			Qt	5.084	m3/s	At	5.084	m2
hr.	8:10 a. m.			PM	15.862	m	RH	0.321	m

- Aforo tercer grupo en el período de lluvia (26/12/2022)

Tabla 115. Aforo en la sección N°1 – Bloque N°3- Época de lluvias

SECCIÓN 1									
N°	Distancia(m)	H(m)	0.2xH	0.8xH	AP(m2)	0.2 v	0.8 v	V(m/s)	Q(m3/s)
1	0.5	0.34	0.07	0.27	0.159	0.390	0.451	0.421	0.067
2	1.0	0.40	0.08	0.32	0.203	0.428	0.509	0.469	0.095
3	1.5	0.51	0.10	0.41	0.245	0.517	0.624	0.570	0.140
4	2.0	0.46	0.09	0.37	0.232	0.524	0.610	0.567	0.132
5	2.5	0.45	0.09	0.36	0.224	0.506	0.710	0.608	0.136
6	3.0	0.47	0.09	0.37	0.231	0.698	0.906	0.802	0.185
7	3.5	0.43	0.09	0.35	0.218	0.770	0.977	0.874	0.190
8	4.0	0.49	0.10	0.39	0.242	0.754	1.022	0.888	0.215
9	4.5	0.49	0.10	0.39	0.245	0.802	1.140	0.971	0.238
10	5.0	0.41	0.08	0.33	0.213	0.755	1.055	0.905	0.193
11	5.5	0.40	0.08	0.32	0.214	0.845	1.177	1.011	0.216
12	6.0	0.54	0.11	0.43	0.268	1.037	1.445	1.241	0.333
13	6.5	0.60	0.12	0.48	0.307	0.920	1.447	1.184	0.363
14	7.0	0.77	0.15	0.62	0.378	1.067	1.436	1.252	0.473
15	7.5	0.80	0.16	0.64	0.404	1.168	1.544	1.356	0.548
16	8.0	0.86	0.17	0.69	0.425	1.257	1.584	1.421	0.604
17	8.5	0.83	0.17	0.66	0.418	1.119	1.450	1.284	0.537
18	9.0	0.85	0.17	0.68	0.421	1.154	1.504	1.329	0.560
19	9.5	0.80	0.16	0.64	0.406	1.025	1.452	1.239	0.503
20	10.0	0.84	0.17	0.68	0.414	0.996	1.487	1.241	0.514
21	10.5	0.769	0.1538	0.6152	0.358	0.989	1.370	1.180	0.422
Fecha	26/12/2022			Qt	6.66	m3/s	At	6.225	m2
hr.	4:30 p. m.			PM	11.497	m	RH	0.541	m

Tabla 116. Aforo en la sección N°2 – Bloque N°3- Época de lluvias

SECCIÓN 2									
N°	Distancia(m)	H(m)	0.2xH	0.8xH	AP(m2)	0.2 v	0.8 v	V(m/s)	Q(m3/s)
1	0.5	0.28	0.06	0.22	0.130	0.404	0.428	0.416	0.054
2	1.0	0.42	0.08	0.33	0.206	0.787	0.993	0.890	0.183
3	1.5	0.51	0.10	0.40	0.257	0.820	1.240	1.030	0.265
4	2.0	0.65	0.13	0.52	0.320	0.905	1.380	1.142	0.366
5	2.5	0.68	0.14	0.54	0.345	0.965	1.466	1.216	0.419
6	3.0	0.78	0.16	0.62	0.385	0.892	1.557	1.225	0.471
7	3.5	0.78	0.16	0.62	0.385	0.961	1.450	1.206	0.464
8	4.0	0.73	0.15	0.58	0.368	0.997	1.479	1.238	0.456
9	4.5	0.75	0.15	0.60	0.371	1.057	1.575	1.316	0.488
10	5.0	0.69	0.14	0.55	0.343	1.166	1.496	1.331	0.456
11	5.5	0.58	0.12	0.46	0.229	1.140	1.527	1.334	0.305
12	6.0	0.63	0.13	0.50	0.312	0.943	1.443	1.193	0.372
13	6.5	0.63	0.13	0.50	0.309	0.987	1.418	1.203	0.372
14	7.0	0.55	0.11	0.44	0.274	0.905	1.394	1.150	0.315

15	7.5	0.47	0.09	0.37	0.242	0.981	1.411	1.196	0.289
16	8.0	0.52	0.10	0.42	0.260	0.903	1.354	1.129	0.293
17	8.5	0.55	0.11	0.44	0.273	0.904	1.373	1.139	0.311
18	9.0	0.53	0.11	0.42	0.261	0.748	1.133	0.941	0.245
19	9.5	0.45	0.09	0.36	0.225	0.786	0.977	0.882	0.198
20	10.0	0.39	0.08	0.31	0.185	0.291	0.363	0.327	0.060
21	10.5	0.205	0.041	0.164	0.097	0.264	0.351	0.308	0.030
Fecha	26/12/2022			Qt	6.41	m3/s	At	5.777	m2
hr.	3:15 p. m.			PM	10.949	m	RH	0.528	m

Tabla 117. Aforo en la sección N°3 – Bloque N°3- Época de lluvias

SECCIÓN 3									
N°	Distancia(m)	H(m)	0.2xH	0.8xH	AP(m2)	0.2 v	0.8 v	V(m/s)	Q(m3/s)
1	0.5	0.31	0.06	0.25	0.140	0.284	0.391	0.337	0.047
2	1.0	0.50	0.10	0.40	0.250	0.396	0.449	0.423	0.106
3	1.5	0.62	0.12	0.49	0.309	0.451	0.691	0.571	0.176
4	2.0	0.69	0.14	0.55	0.338	0.584	0.847	0.716	0.242
5	2.5	0.67	0.13	0.54	0.342	0.678	0.905	0.792	0.271
6	3.0	0.75	0.15	0.60	0.375	0.744	1.017	0.881	0.330
7	3.5	0.79	0.16	0.63	0.394	0.815	1.088	0.952	0.375
8	4.0	0.80	0.16	0.64	0.400	0.834	1.179	1.007	0.403
9	4.5	0.82	0.16	0.66	0.413	0.858	1.188	1.023	0.422
10	5.0	0.88	0.18	0.70	0.439	0.855	1.250	1.052	0.462
11	5.5	0.92	0.18	0.74	0.463	0.885	1.233	1.059	0.490
12	6.0	0.97	0.19	0.77	0.476	0.854	1.382	1.118	0.532
13	6.5	0.87	0.17	0.70	0.439	0.857	1.242	1.050	0.461
14	7.0	0.83	0.17	0.67	0.422	0.771	1.211	0.991	0.418
15	7.5	0.88	0.18	0.71	0.431	0.763	1.105	0.934	0.403
16	8.0	0.75	0.15	0.60	0.384	0.682	0.910	0.796	0.306
17	8.5	0.76	0.15	0.61	0.383	0.552	0.839	0.696	0.266
18	9.0	0.81	0.16	0.65	0.396	0.501	0.795	0.648	0.257
19	9.5	0.68	0.14	0.54	0.346	0.465	0.785	0.625	0.216
20	10.0	0.63	0.13	0.50	0.320	0.401	0.608	0.504	0.161
21	10.5	0.67	0.13	0.53	0.323	0.385	0.567	0.476	0.154
22	11.0	0.53	0.11	0.42	0.242	0.351	0.486	0.418	0.101
Fecha	26/12/2022			Qt	6.60	m3/s	At	8.025	m2
hr.	2:10 p. m.			PM	11.702	m	RH	0.686	m

Tabla 118. Aforo en la sección N°4 – Bloque N°3- Época de lluvias

SECCIÓN 4									
N°	Distancia(m)	H(m)	0.2xH	0.8xH	AP(m ²)	0.2 v	0.8 v	V(m/s)	Q(m ³ /s)
1	0.5	0.34	0.07	0.27	0.165	0.412	0.492	0.452	0.075
2	1.0	0.48	0.10	0.39	0.234	0.672	0.744	0.708	0.166
3	1.5	0.49	0.10	0.39	0.254	0.665	0.756	0.711	0.180
4	2.0	0.61	0.12	0.49	0.295	0.594	1.010	0.802	0.237
5	2.5	0.53	0.11	0.43	0.275	0.802	1.054	0.928	0.255
6	3.0	0.59	0.12	0.47	0.297	0.697	0.974	0.836	0.248
7	3.5	0.67	0.13	0.53	0.328	0.843	1.114	0.979	0.321
8	4.0	0.66	0.13	0.53	0.326	0.904	1.193	1.049	0.342
9	4.5	0.59	0.12	0.47	0.298	1.084	1.470	1.277	0.381
10	5.0	0.54	0.11	0.43	0.277	1.063	1.462	1.263	0.350
11	5.5	0.58	0.12	0.46	0.284	1.421	1.527	1.474	0.419
12	6.0	0.54	0.11	0.43	0.278	0.865	1.465	1.165	0.324
13	6.5	0.60	0.12	0.48	0.295	0.854	1.374	1.114	0.329
14	7.0	0.56	0.11	0.45	0.282	0.817	1.195	1.006	0.284
15	7.5	0.52	0.10	0.42	0.266	0.885	1.351	1.118	0.297
16	8.0	0.56	0.11	0.44	0.280	0.712	1.170	0.941	0.263
17	8.5	0.63	0.13	0.50	0.307	1.016	1.452	1.234	0.379
18	9.0	0.59	0.12	0.47	0.298	0.730	1.580	1.155	0.344
19	9.5	0.59	0.12	0.47	0.3	1.087	1.5	1.294	0.388
20	10.0	0.70	0.14	0.56	0.342	1.011	1.425	1.218	0.417
21	10.5	0.69	0.14	0.55	0.343	1.034	1.341	1.188	0.407
22	11.0	0.55	0.11	0.44	0.252	0.668	0.774	0.721	0.182
Fecha	26/12/2022			Qt	6.59	m ³ /s	At	6.276	
hr.	12:30 p. m.			PM	11.734	m	RH	0.535	m

Tabla 119. Aforo en la sección N°5 – Bloque N°3- Época de lluvias

SECCIÓN 5									
N°	Distancia(m)	H(m)	0.2xH	0.8xH	AP(m ²)	0.2 v	0.8 v	V(m/s)	Q(m ³ /s)
1	0.5	0.26	0.05	0.21	0.131	0.192	0.228	0.210	0.027
2	1.0	0.42	0.08	0.34	0.209	0.545	0.617	0.581	0.121
3	1.5	0.46	0.09	0.37	0.232	0.532	0.760	0.646	0.150
4	2.0	0.52	0.10	0.42	0.265	0.695	0.908	0.801	0.212
5	2.5	0.63	0.13	0.50	0.310	0.694	0.977	0.835	0.259
6	3.0	0.64	0.13	0.51	0.317	0.794	1.117	0.955	0.303
7	3.5	0.61	0.12	0.49	0.306	0.838	1.339	1.088	0.333
8	4.0	0.61	0.12	0.48	0.308	1.026	1.347	1.186	0.365
9	4.5	0.69	0.14	0.55	0.339	0.966	1.269	1.117	0.379
10	5.0	0.70	0.14	0.56	0.348	1.203	1.413	1.308	0.455
11	5.5	0.68	0.14	0.55	0.341	1.085	1.540	1.312	0.448
12	6.0	0.66	0.13	0.53	0.333	1.066	1.474	1.270	0.423
13	6.5	0.68	0.14	0.54	0.336	0.996	1.523	1.259	0.423
14	7.0	0.64	0.13	0.51	0.326	1.066	1.470	1.268	0.413

15	7.5	0.69	0.14	0.55	0.345	1.183	1.447	1.315	0.454
16	8.0	0.73	0.15	0.58	0.360	1.238	1.387	1.312	0.472
17	8.5	0.70	0.14	0.56	0.351	0.986	1.367	1.176	0.413
18	9.0	0.69	0.14	0.55	0.345	0.840	1.251	1.045	0.361
19	9.5	0.67	0.13	0.54	0.331	0.797	1.267	1.032	0.342
20	10.0	0.57	0.11	0.46	0.282	0.562	0.737	0.650	0.183
21	10.5	0.35	0.07	0.28	0.165	0.265	0.316	0.290	0.048
Fecha	26/12/2022			Qt	6.58	m3/s	At	6.280	m2
hr.	11:15 a. m.			PM	10.985	m	RH	0.572	m

Tabla 120. Aforo en la sección N°6 – Bloque N°3- Época de lluvias

SECCIÓN 6									
N°	Distancia(m)	H(m)	0.2xH	0.8xH	AP(m2)	0.2 v	0.8 v	V(m/s)	Q(m3/s)
1	0.500	0.43	0.09	0.34	0.195	0.499	0.614	0.556	0.108
2	1.000	0.55	0.11	0.44	0.270	0.724	0.990	0.857	0.231
3	1.500	0.61	0.12	0.49	0.302	0.884	1.314	1.099	0.332
4	2.000	0.61	0.12	0.48	0.302	0.956	1.324	1.140	0.344
5	2.500	0.58	0.12	0.47	0.299	0.908	1.395	1.152	0.344
6	3.000	0.66	0.13	0.53	0.326	1.184	1.514	1.349	0.440
7	3.500	0.65	0.13	0.52	0.327	0.864	1.422	1.143	0.374
8	4.000	0.64	0.13	0.52	0.324	1.324	1.485	1.405	0.455
9	4.500	0.66	0.13	0.53	0.327	1.147	1.420	1.284	0.420
10	4.500	0.62	0.12	0.50	0.315	1.024	1.494	1.259	0.397
11	4.500	0.63	0.13	0.50	0.310	0.965	1.482	1.224	0.379
12	4.500	0.55	0.11	0.44	0.284	0.955	1.354	1.155	0.328
13	4.500	0.59	0.12	0.47	0.288	0.877	1.440	1.159	0.334
14	4.500	0.50	0.10	0.40	0.260	0.986	1.550	1.268	0.330
15	4.500	0.55	0.11	0.44	0.267	0.942	1.422	1.182	0.316
16	4.500	0.48	0.10	0.39	0.245	1.085	1.374	1.230	0.301
17	4.500	0.47	0.09	0.38	0.234	0.922	1.244	1.083	0.253
18	4.500	0.44	0.09	0.35	0.224	0.845	1.067	0.956	0.214
19	4.500	0.48	0.10	0.38	0.227	0.756	0.894	0.825	0.187
20	4.500	0.33	0.07	0.27	0.175	0.650	0.934	0.792	0.139
21	4.500	0.32	0.06	0.25	0.153	0.547	0.633	0.590	0.090
22	4.500	0.163	0.0326	0.1304	0.079	0.322	0.487	0.405	0.032
Fecha	26/12/2022			Qt	6.35	m3/s	At	5.733	m2
hr.	9:15 a. m.			PM	10.932	m	RH	0.524	m

Tabla 121. Aforo en la sección N°7 – Bloque N°3- Época de lluvias

SECCIÓN 7									
N°	Distancia(m)	H(m)	0.2xH	0.8xH	AP(m2)	0.2 v	0.8 v	V(m/s)	Q(m3/s)
1	0.5	0.59	0.12	0.48	0.261	0.599	0.684	0.641	0.167
2	1.0	0.59	0.12	0.47	0.294	0.592	0.874	0.733	0.216
3	1.5	0.61	0.12	0.48	0.306	0.799	0.963	0.881	0.270
4	2.0	0.69	0.14	0.55	0.336	0.865	1.027	0.946	0.318
5	2.5	0.66	0.13	0.52	0.327	0.959	1.120	1.039	0.340
6	3.0	0.62	0.12	0.49	0.311	0.942	1.344	1.143	0.355
7	3.5	0.64	0.13	0.51	0.317	1.120	1.288	1.204	0.382
8	4.0	0.64	0.13	0.51	0.316	1.092	1.487	1.290	0.407
9	4.5	0.56	0.11	0.45	0.283	1.064	1.387	1.225	0.347
10	5.0	0.52	0.10	0.41	0.265	1.303	1.634	1.468	0.389
11	5.5	0.59	0.12	0.47	0.292	1.272	1.527	1.399	0.409
12	6.0	0.63	0.13	0.50	0.312	1.285	1.557	1.421	0.443
13	6.5	0.66	0.13	0.52	0.324	1.141	1.560	1.351	0.438
14	7.0	0.64	0.13	0.51	0.321	0.968	1.420	1.194	0.383
15	7.5	0.66	0.13	0.53	0.321	0.961	1.340	1.150	0.369
16	8.0	0.52	0.10	0.42	0.267	0.869	1.355	1.112	0.297
17	8.5	0.52	0.10	0.41	0.256	0.981	1.374	1.178	0.301
18	9.0	0.49	0.10	0.39	0.237	0.949	1.148	1.048	0.248
19	9.5	0.34	0.07	0.27	0.173	0.918	1.166	1.042	0.180
20	10.0	0.24	0.05	0.19	0.113	0.618	0.777	0.697	0.079
Fecha	26/12/2022			Qt	6.338	m3/s	At	5.632	m2
hr.	10:15 a. m.			PM	10.593	m	RH	0.532	m

Tabla 122. Aforo en la sección N°8 – Bloque N°3- Época de lluvias

SECCIÓN 8									
N°	Distancia(m)	H(m)	0.2xH	0.8xH	AP(m2)	0.2 v	0.8 v	V(m/s)	Q(m3/s)
1	0.5	0.33	0.07	0.26	0.142	0.955	1.054	1.005	0.143
2	1.0	0.39	0.08	0.31	0.193	0.938	1.195	1.066	0.206
3	1.5	0.39	0.08	0.31	0.191	0.784	0.954	0.869	0.166
4	2.0	0.34	0.07	0.27	0.174	0.890	0.978	0.934	0.162
5	2.5	0.35	0.07	0.28	0.171	0.749	0.823	0.786	0.134
6	3.0	0.32	0.06	0.26	0.161	0.760	0.945	0.852	0.137
7	3.5	0.31	0.06	0.25	0.156	0.752	0.839	0.795	0.124
8	4.0	0.31	0.06	0.25	0.156	0.869	0.974	0.921	0.144
9	4.5	0.31	0.06	0.25	0.156	0.659	0.823	0.741	0.116
10	5.0	0.31	0.06	0.25	0.156	0.654	0.779	0.716	0.112
11	5.5	0.31	0.06	0.25	0.154	0.790	0.892	0.841	0.130
12	6.0	0.28	0.06	0.22	0.144	0.762	0.845	0.804	0.116
13	6.5	0.31	0.06	0.25	0.155	0.701	0.789	0.745	0.115
14	7.0	0.33	0.07	0.26	0.164	0.768	0.840	0.804	0.132
15	7.5	0.33	0.07	0.26	0.165	0.974	1.165	1.069	0.176
16	8.0	0.33	0.07	0.26	0.168	0.971	1.1612	1.066	0.179

17	8.5	0.37	0.07	0.30	0.182	0.947	1.0645	1.006	0.183
18	9.0	0.35	0.07	0.28	0.179	1.082	1.181	1.132	0.203
19	9.5	0.38	0.08	0.30	0.192	1.096	1.202	1.149	0.221
20	10.0	0.43	0.09	0.34	0.216	1.131	1.2892	1.210	0.261
21	10.5	0.48	0.10	0.38	0.239	0.978	1.4925	1.235	0.295
22	11.0	0.51	0.10	0.41	0.252	1.197	1.449	1.323	0.333
23	11.5	0.49	0.10	0.39	0.245	1.303	1.528	1.415	0.347
24	12.0	0.50	0.10	0.40	0.251	1.376	1.49675	1.436	0.360
25	12.5	0.52	0.10	0.42	0.261	1.277	1.4205	1.349	0.352
26	13.0	0.46	0.09	0.37	0.234	1.271	1.4388	1.355	0.317
27	13.5	0.47	0.09	0.37	0.231	1.346	1.53175	1.439	0.332
28	14.0	0.42	0.08	0.34	0.213	1.255	1.4528	1.354	0.288
29	14.5	0.42	0.08	0.34	0.209	1.181	1.3445	1.263	0.264
30	15.0	0.39	0.08	0.31	0.193	1.201	1.3675	1.284	0.248
31	15.5	0.32	0.06	0.25	0.144	1.037	1.3635	1.200	0.173
Fecha	26/12/2022			Qt	6.469	m3/s	At	5.847	m2
hr.	8:20 a. m.			PM	15.912	m	RH	0.367	m

- **Aforo cuarto grupo en el período de lluvia (02/01/2023)**

Tabla 123. Aforo en la sección N°1 – Bloque N°4- Época de lluvias

SECCIÓN 1									
N°	Distancia(m)	H(m)	0.2xH	0.8xH	AP(m2)	0.2 v	0.8 v	V(m/s)	Q(m3/s)
1	0.5	0.31	0.06	0.25	0.146	0.432	0.474	0.453	0.066
2	1.0	0.37	0.07	0.30	0.186	0.427	0.466	0.447	0.083
3	1.5	0.44	0.09	0.35	0.215	0.488	0.459	0.474	0.102
4	2.0	0.42	0.08	0.34	0.212	0.472	0.492	0.482	0.102
5	2.5	0.42	0.08	0.34	0.212	0.591	0.797	0.694	0.147
6	3.0	0.44	0.09	0.35	0.220	0.636	0.853	0.744	0.164
7	3.5	0.44	0.09	0.35	0.219	0.662	0.824	0.743	0.163
8	4.0	0.45	0.09	0.36	0.222	0.759	0.969	0.864	0.192
9	4.5	0.45	0.09	0.36	0.225	0.773	0.977	0.875	0.197
10	5.0	0.42	0.08	0.33	0.212	0.801	0.975	0.888	0.188
11	5.5	0.43	0.09	0.35	0.220	0.835	0.982	0.908	0.200
12	6.0	0.51	0.10	0.41	0.256	0.864	1.271	1.068	0.273
13	6.5	0.58	0.12	0.46	0.295	0.981	1.366	1.173	0.346
14	7.0	0.75	0.15	0.60	0.366	1.162	1.406	1.284	0.470
15	7.5	0.78	0.16	0.62	0.391	1.203	1.514	1.358	0.531
16	8.0	0.84	0.17	0.67	0.416	1.223	1.536	1.379	0.574
17	8.5	0.86	0.17	0.69	0.426	1.248	1.477	1.363	0.581
18	9.0	0.83	0.17	0.66	0.415	1.271	1.512	1.392	0.578
19	9.5	0.82	0.16	0.66	0.411	0.726	1.503	1.115	0.458
20	10.0	0.82	0.16	0.66	0.405	1.094	1.395	1.245	0.504
21	10.5	0.736	0.15	0.59	0.332	0.887	1.177	1.032	0.343
Fecha	2/01/2023			Qt	6.26	m3/s	At	6.002	m2
hr.	7:30 a. m.			PM	11.497	m	RH	0.522	m

Tabla 124. Aforo en la sección N°2 – Bloque N°4- Época de lluvias

SECCIÓN 2									
N°	Distancia(m)	H(m)	0.2xH	0.8xH	AP(m2)	0.2 v	0.8 v	V(m/s)	Q(m3/s)
1	0.5	0.30	0.06	0.24	0.139	0.387	0.442	0.415	0.058
2	1.0	0.46	0.09	0.37	0.228	0.770	1.007	0.888	0.203
3	1.5	0.54	0.11	0.43	0.271	0.710	0.896	0.803	0.218
4	2.0	0.63	0.13	0.50	0.311	0.982	1.384	1.183	0.368
5	2.5	0.66	0.13	0.52	0.329	1.060	1.480	1.270	0.418
6	3.0	0.71	0.14	0.57	0.353	1.013	1.443	1.228	0.433
7	3.5	0.75	0.15	0.60	0.374	1.164	1.468	1.316	0.492
8	4.0	0.76	0.15	0.61	0.379	1.163	1.388	1.276	0.484
9	4.5	0.73	0.15	0.58	0.359	1.086	1.505	1.295	0.465
10	5.0	0.61	0.12	0.49	0.309	1.101	1.418	1.259	0.389
11	5.5	0.55	0.11	0.44	0.282	1.126	1.509	1.318	0.372
12	6.0	0.61	0.12	0.48	0.301	1.008	1.379	1.194	0.359
13	6.5	0.63	0.13	0.51	0.311	1.052	1.432	1.242	0.386
14	7.0	0.52	0.10	0.42	0.268	1.026	1.409	1.218	0.326
15	7.5	0.51	0.10	0.41	0.256	0.975	1.427	1.201	0.307
16	8.0	0.50	0.10	0.40	0.252	0.923	1.289	1.106	0.279
17	8.5	0.53	0.11	0.42	0.261	0.840	1.285	1.063	0.277
18	9.0	0.50	0.10	0.40	0.248	0.770	1.007	0.889	0.220
19	9.5	0.42	0.08	0.34	0.212	0.641	0.786	0.713	0.151
20	10.0	0.37	0.07	0.29	0.173	0.295	0.375	0.335	0.058
21	10.5	0.18	0.036	0.144	0.078	0.245	0.3273	0.286	0.022
Fecha	2/01/2023			Qt	6.29	m3/s	At	5.694	m2
hr.	8:50 a. m.			PM	10.967	m	RH	0.519	m

Tabla 125. Aforo en la sección N°3 – Bloque N°4- Época de lluvias

SECCIÓN 3									
N°	Distancia(m)	H(m)	0.2xH	0.8xH	AP(m2)	0.2 v	0.8 v	V(m/s)	Q(m3/s)
1	0.5	0.28	0.06	0.23	0.128	0.275	0.389	0.332	0.043
2	1.0	0.44	0.09	0.35	0.221	0.382	0.439	0.410	0.091
3	1.5	0.56	0.11	0.45	0.279	0.446	0.689	0.568	0.158
4	2.0	0.66	0.13	0.53	0.328	0.590	0.744	0.667	0.219
5	2.5	0.73	0.15	0.58	0.360	0.673	0.890	0.782	0.281
6	3.0	0.73	0.15	0.58	0.366	0.741	0.999	0.870	0.318
7	3.5	0.77	0.15	0.61	0.384	0.778	1.033	0.905	0.348
8	4.0	0.82	0.16	0.65	0.407	0.861	1.153	1.007	0.410
9	4.5	0.84	0.17	0.67	0.420	0.857	1.128	0.992	0.417
10	5.0	0.85	0.17	0.68	0.429	0.951	1.234	1.093	0.469
11	5.5	0.90	0.18	0.72	0.450	0.764	1.125	0.944	0.425
12	6.0	0.94	0.19	0.76	0.467	0.864	1.302	1.083	0.506
13	6.5	0.90	0.18	0.72	0.450	0.912	1.241	1.076	0.484
14	7.0	0.86	0.17	0.69	0.431	0.789	1.064	0.926	0.399
15	7.5	0.86	0.17	0.69	0.425	0.761	0.987	0.874	0.372

16	8.0	0.78	0.16	0.62	0.392	0.674	0.971	0.823	0.323
17	8.5	0.74	0.15	0.59	0.370	0.549	0.928	0.738	0.273
18	9.0	0.72	0.14	0.58	0.359	0.500	0.843	0.671	0.241
19	9.5	0.66	0.13	0.52	0.329	0.430	0.628	0.529	0.174
20	10.0	0.61	0.12	0.48	0.305	0.387	0.582	0.484	0.148
21	10.5	0.59	0.12	0.47	0.292	0.351	0.512	0.431	0.126
22	11.0	0.51	0.10	0.40	0.208	0.395	0.456	0.426	0.089
Fecha	2/01/2023			Qt	6.31	m3/s	At	7.800	m2
hr.	9:45 a. m.			PM	11.702	m	RH	0.667	m

Tabla 126. Aforo en la sección N°4 – Bloque N°4- Época de lluvias

SECCIÓN 4									
N°	Distancia(m)	H(m)	0.2xH	0.8xH	AP(m2)	0.2 v	0.8 v	V(m/s)	Q(m3/s)
1	0.5	0.32	0.06	0.25	0.153	0.424	0.487	0.455	0.070
2	1.0	0.46	0.09	0.37	0.226	0.670	0.733	0.701	0.158
3	1.5	0.54	0.11	0.43	0.271	0.660	0.749	0.704	0.191
4	2.0	0.62	0.12	0.50	0.303	0.587	0.974	0.781	0.237
5	2.5	0.58	0.12	0.46	0.295	0.798	1.036	0.917	0.271
6	3.0	0.64	0.13	0.51	0.316	0.692	0.954	0.823	0.260
7	3.5	0.64	0.13	0.51	0.321	0.832	1.111	0.971	0.312
8	4.0	0.63	0.13	0.51	0.318	0.901	1.185	1.043	0.332
9	4.5	0.63	0.13	0.51	0.315	1.079	1.424	1.251	0.394
10	5.0	0.60	0.12	0.48	0.299	1.030	1.440	1.235	0.369
11	5.5	0.55	0.11	0.44	0.278	1.403	1.522	1.462	0.407
12	6.0	0.52	0.10	0.41	0.265	0.853	1.360	1.106	0.293
13	6.5	0.58	0.12	0.46	0.282	0.848	1.251	1.049	0.296
14	7.0	0.54	0.11	0.43	0.269	0.816	1.175	0.995	0.268
15	7.5	0.50	0.10	0.40	0.254	0.878	1.321	1.099	0.279
16	8.0	0.53	0.11	0.42	0.263	0.701	1.136	0.918	0.241
17	8.5	0.53	0.11	0.43	0.269	1.057	1.413	1.235	0.332
18	9.0	0.57	0.11	0.45	0.281	0.675	1.588	1.131	0.318
19	9.5	0.56	0.11	0.45	0.285	1.122	1.442	1.282	0.365
20	10.0	0.62	0.12	0.50	0.308	1.040	1.390	1.215	0.374
21	10.5	0.61	0.12	0.49	0.31	0.971	1.334	1.153	0.357
22	11.0	0.52	0.10	0.42	0.239	0.661	0.774	0.717	0.171
Fecha	2/01/2023			Qt	6.29	m3/s	At	6.120	m2
hr.	11:10 a. m.			PM	11.734	m	RH	0.522	m

Tabla 127. Aforo en la sección N°5 – Bloque N°4- Época de lluvias

SECCIÓN 5									
N°	Distancia(m)	H(m)	0.2xH	0.8xH	AP(m2)	0.2 v	0.8 v	V(m/s)	Q(m3/s)
1	0.5	0.24	0.05	0.19	0.106	0.189	0.201	0.195	0.021
2	1.0	0.39	0.08	0.31	0.191	0.442	0.533	0.487	0.093
3	1.5	0.48	0.10	0.38	0.239	0.523	0.683	0.603	0.144
4	2.0	0.55	0.11	0.44	0.273	0.692	0.824	0.758	0.207
5	2.5	0.61	0.12	0.48	0.300	0.723	0.909	0.816	0.245
6	3.0	0.61	0.12	0.49	0.307	0.785	1.031	0.908	0.279
7	3.5	0.63	0.13	0.50	0.311	0.837	1.190	1.013	0.315
8	4.0	0.61	0.12	0.49	0.308	1.023	1.279	1.151	0.355
9	4.5	0.66	0.13	0.53	0.328	0.956	1.204	1.080	0.354
10	5.0	0.67	0.13	0.54	0.335	1.203	1.410	1.307	0.438
11	5.5	0.66	0.13	0.53	0.332	1.076	1.466	1.271	0.422
12	6.0	0.68	0.14	0.55	0.339	1.054	1.417	1.236	0.419
13	6.5	0.66	0.13	0.52	0.330	0.993	1.471	1.232	0.407
14	7.0	0.66	0.13	0.53	0.326	1.054	1.400	1.227	0.400
15	7.5	0.61	0.12	0.49	0.311	1.165	1.384	1.274	0.396
16	8.0	0.66	0.13	0.53	0.327	1.123	1.322	1.222	0.400
17	8.5	0.68	0.14	0.54	0.336	0.959	1.302	1.130	0.380
18	9.0	0.67	0.13	0.53	0.330	0.841	1.177	1.009	0.333
19	9.5	0.61	0.12	0.49	0.405	0.790	1.198	0.994	0.402
20	10.0	0.55	0.11	0.44	0.267	0.515	0.672	0.593	0.158
21	10.5	0.35	0.07	0.28	0.157	0.261	0.303	0.282	0.044
Fecha	2/01/2023			Qt	6.211	m3/s	At	6.158	m2
hr.	12:30 p. m.			PM	10.906	m	RH	0.565	m

Tabla 128. Aforo en la sección N°6 – Bloque N°4- Época de lluvias

SECCIÓN 6									
N°	Distancia(m)	H(m)	0.2xH	0.8xH	AP(m2)	0.2 v	0.8 v	V(m/s)	Q(m3/s)
1	0.500	0.41	0.08	0.57	0.170	0.447	0.587	0.517	0.088
2	1.000	0.52	0.10	0.97	0.258	0.717	0.974	0.845	0.218
3	1.500	0.59	0.12	1.20	0.290	0.872	1.199	1.036	0.300
4	2.000	0.58	0.12	1.24	0.293	0.951	1.235	1.093	0.320
5	2.500	0.62	0.12	1.35	0.308	0.902	1.349	1.125	0.347
6	3.000	0.64	0.13	1.50	0.317	1.174	1.501	1.337	0.424
7	3.500	0.63	0.13	1.41	0.314	0.934	1.409	1.171	0.368
8	4.000	0.62	0.12	1.46	0.311	1.294	1.461	1.378	0.428
9	4.500	0.64	0.13	1.40	0.313	1.137	1.500	1.318	0.413
10	4.500	0.57	0.11	1.44	0.292	1.011	1.436	1.223	0.357
11	4.500	0.60	0.12	1.42	0.300	0.956	1.423	1.189	0.357
12	4.500	0.61	0.12	1.35	0.303	1.010	1.349	1.179	0.357
13	4.500	0.57	0.11	1.34	0.286	0.871	1.339	1.105	0.316
14	4.500	0.56	0.11	1.51	0.278	0.975	1.513	1.244	0.346
15	4.500	0.52	0.10	1.40	0.260	0.932	1.403	1.167	0.303

16	4.500	0.46	0.09	1.35	0.233	1.075	1.353	1.214	0.283
17	4.500	0.44	0.09	1.13	0.221	0.910	1.131	1.020	0.225
18	4.500	0.42	0.08	1.02	0.208	0.835	1.017	0.926	0.193
19	4.500	0.41	0.08	0.89	0.197	0.740	0.887	0.814	0.160
20	4.500	0.31	0.06	0.79	0.160	0.586	0.789	0.687	0.110
21	4.500	0.29	0.06	0.59	0.141	0.486	0.649	0.567	0.080
22	4.500	0.146	0.03	0.1168	0.062	0.4297	0.55887	0.494	0.031
Fecha	2/01/2023			Qt	6.024	m3/s	At	5.515	m2
hr.	2:30 p. m.			PM	10.932	m	RH	0.504	m

Tabla 129. Aforo en la sección N°7 – Bloque N°4- Época de lluvias

SECCIÓN 7									
N°	Distancia(m)	H(m)	0.2xH	0.8xH	AP(m2)	0.2 v	0.8 v	V(m/s)	Q(m3/s)
1	0.5	0.50	0.10	0.66	0.202	0.593	0.660	0.626	0.126
2	1.0	0.56	0.11	0.86	0.278	0.590	0.859	0.724	0.201
3	1.5	0.58	0.12	0.95	0.290	0.796	0.950	0.873	0.253
4	2.0	0.60	0.12	1.01	0.302	0.860	1.011	0.935	0.282
5	2.5	0.63	0.13	1.08	0.314	0.951	1.077	1.014	0.318
6	3.0	0.64	0.13	1.31	0.317	0.940	1.310	1.125	0.357
7	3.5	0.61	0.12	1.26	0.307	1.108	1.262	1.185	0.364
8	4.0	0.62	0.12	1.47	0.306	1.090	1.475	1.282	0.392
9	4.5	0.59	0.12	1.42	0.294	1.052	1.417	1.234	0.363
10	5.0	0.55	0.11	1.61	0.279	1.294	1.609	1.452	0.405
11	5.5	0.56	0.11	1.51	0.283	1.270	1.507	1.389	0.393
12	6.0	0.60	0.12	1.55	0.300	1.260	1.549	1.404	0.421
13	6.5	0.63	0.13	1.53	0.312	1.138	1.531	1.335	0.416
14	7.0	0.61	0.12	1.40	0.306	0.961	1.404	1.183	0.362
15	7.5	0.60	0.12	1.37	0.299	0.959	1.367	1.163	0.348
16	8.0	0.55	0.11	1.35	0.275	0.866	1.347	1.106	0.304
17	8.5	0.49	0.10	1.33	0.243	0.976	1.327	1.151	0.280
18	9.0	0.40	0.08	1.14	0.198	0.944	1.1415	1.043	0.206
19	9.5	0.32	0.06	1.10	0.156	0.915	1.100	1.008	0.157
20	10.0	0.22	0.04	0.70	0.099	0.608	0.699	0.653	0.065
Fecha	2/01/2023			Qt	6.015	m3/s	At	5.360	m2
hr.	3:45 p. m.			PM	10.593	m	RH	0.506	m

Tabla 130. Aforo en la sección N°8 – Bloque N°4- Época de lluvias

SECCIÓN 8									
N°	Distancia(m)	H(m)	0.2xH	0.8xH	AP(m2)	0.2 v	0.8 v	V(m/s)	Q(m3/s)
1	0.5	0.31	0.06	0.24	0.133	0.905	1.012	0.959	0.128
2	1.0	0.37	0.07	0.29	0.180	0.937	1.089	1.013	0.182
3	1.5	0.36	0.07	0.29	0.180	0.783	0.812	0.798	0.144
4	2.0	0.34	0.07	0.27	0.171	0.887	0.934	0.910	0.156
5	2.5	0.32	0.06	0.26	0.160	0.745	0.776	0.760	0.122
6	3.0	0.30	0.06	0.24	0.149	0.759	0.803	0.781	0.116
7	3.5	0.29	0.06	0.23	0.144	0.750	0.796	0.773	0.112
8	4.0	0.29	0.06	0.23	0.143	0.866	0.926	0.896	0.128
9	4.5	0.29	0.06	0.23	0.145	0.657	0.777	0.717	0.104
10	5.0	0.31	0.06	0.25	0.152	0.649	0.736	0.693	0.105
11	5.5	0.29	0.06	0.23	0.145	0.788	0.846	0.817	0.118
12	6.0	0.29	0.06	0.23	0.143	0.761	0.804	0.782	0.112
13	6.5	0.29	0.06	0.23	0.144	0.700	0.744	0.722	0.104
14	7.0	0.31	0.06	0.24	0.151	0.766	0.797	0.782	0.118
15	7.5	0.31	0.06	0.24	0.153	0.972	1.024	0.998	0.153
16	8.0	0.31	0.06	0.24	0.156	0.968	1.017	0.993	0.155
17	8.5	0.35	0.07	0.28	0.173	0.944	1.022	0.983	0.170
18	9.0	0.38	0.08	0.30	0.186	1.085	1.137	1.111	0.207
19	9.5	0.36	0.07	0.28	0.183	1.092	1.159	1.126	0.206
20	10.0	0.41	0.08	0.32	0.203	1.114	1.245	1.179	0.239
21	10.5	0.46	0.09	0.36	0.227	0.976	1.434	1.205	0.273
22	11.0	0.49	0.10	0.39	0.239	1.194	1.403	1.298	0.310
23	11.5	0.46	0.09	0.37	0.233	1.301	1.486	1.393	0.325
24	12.0	0.48	0.10	0.38	0.238	1.369	1.453	1.411	0.336
25	12.5	0.50	0.10	0.40	0.245	1.273	1.378	1.325	0.325
26	13.0	0.47	0.09	0.38	0.238	1.270	1.396	1.333	0.317
27	13.5	0.48	0.10	0.39	0.238	1.343	1.465	1.404	0.334
28	14.0	0.43	0.09	0.34	0.215	1.253	1.385	1.319	0.284
29	14.5	0.40	0.08	0.32	0.200	1.179	1.295	1.237	0.247
30	15.0	0.40	0.08	0.32	0.199	1.200	1.325	1.262	0.251
31	15.5	0.37	0.07	0.30	0.154	1.046	1.299	1.173	0.181
Fecha	2/01/2023			Qt	6.061	m3/s	At	5.621	m2
hr.	4:45 p. m.			PM	15.888	m	RH	0.354	m

- **Aforo quinto grupo en el período de lluvia (12/01/2023)**

Tabla 131. Aforo en la sección N°1 – Bloque N°5- Época de lluvias

SECCIÓN 1									
N°	Distancia(m)	H(m)	0.2xH	0.8xH	AP(m2)	0.2 v	0.8 v	V(m/s)	Q(m3/s)
1	0.5	0.40	0.08	0.32	0.185	0.393	0.451	0.422	0.078
2	1.0	0.46	0.09	0.37	0.229	0.505	0.619	0.562	0.129
3	1.5	0.53	0.11	0.42	0.258	0.566	0.684	0.625	0.161
4	2.0	0.51	0.10	0.41	0.550	0.524	0.804	0.664	0.365
5	2.5	0.53	0.11	0.43	0.266	0.506	0.876	0.691	0.184
6	3.0	0.60	0.12	0.48	0.295	0.698	0.981	0.839	0.248
7	3.5	0.59	0.12	0.47	0.295	0.804	1.167	0.985	0.291
8	4.0	0.55	0.11	0.44	0.274	0.845	1.129	0.987	0.270
9	4.5	0.54	0.11	0.43	0.267	0.947	1.214	1.081	0.288
10	5.0	0.52	0.10	0.42	0.265	0.955	1.255	1.105	0.293
11	5.5	0.55	0.11	0.44	0.274	0.925	1.381	1.153	0.316
12	6.0	0.60	0.12	0.48	0.302	1.029	1.445	1.237	0.374
13	6.5	0.73	0.15	0.58	0.362	1.266	1.547	1.407	0.509
14	7.0	0.83	0.17	0.67	0.412	1.267	1.636	1.452	0.598
15	7.5	0.87	0.17	0.69	0.434	1.296	1.744	1.520	0.660
16	8.0	0.92	0.18	0.74	0.461	1.357	1.784	1.571	0.724
17	8.5	0.97	0.19	0.78	0.484	1.487	1.845	1.666	0.806
18	9.0	1.01	0.20	0.80	0.496	1.474	1.904	1.689	0.838
19	9.5	0.91	0.18	0.73	0.460	1.347	1.652	1.500	0.690
20	10.0	0.90	0.18	0.72	0.447	1.218	1.579	1.398	0.625
21	10.5	0.821	0.16	0.66	0.375	0.989	1.420	1.205	0.452
Fecha	12/01/2023			Qt	8.90	m3/s	At	7.391	m2
hr.	8:00 a. m.			PM	11.497	m	RH	0.643	m

Tabla 132. Aforo en la sección N°2 – Bloque N°5- Época de lluvias

SECCIÓN 2									
N°	Distancia(m)	H(m)	0.2xH	0.8xH	AP(m2)	0.2 v	0.8 v	V(m/s)	Q(m3/s)
1	0.5	0.39	0.08	0.31	0.174	0.397	0.512	0.455	0.079
2	1.0	0.59	0.12	0.48	0.291	0.770	0.977	0.873	0.254
3	1.5	0.63	0.13	0.50	0.316	0.710	1.216	0.963	0.304
4	2.0	0.72	0.14	0.57	0.357	1.056	1.540	1.298	0.463
5	2.5	0.79	0.16	0.63	0.389	1.558	1.956	1.757	0.683
6	3.0	0.79	0.16	0.63	0.399	1.436	1.922	1.679	0.670
7	3.5	0.84	0.17	0.67	0.417	1.335	1.823	1.579	0.658
8	4.0	0.85	0.17	0.68	0.422	1.507	1.885	1.696	0.716
9	4.5	0.81	0.16	0.65	0.406	1.286	1.766	1.526	0.619
10	5.0	0.75	0.15	0.60	0.377	1.411	1.708	1.560	0.588
11	5.5	0.69	0.14	0.55	0.348	1.213	1.666	1.439	0.501
12	6.0	0.69	0.14	0.55	0.347	1.108	1.607	1.358	0.471
13	6.5	0.72	0.14	0.58	0.356	1.152	1.525	1.338	0.476
14	7.0	0.67	0.13	0.54	0.338	1.116	1.470	1.293	0.437

15	7.5	0.64	0.13	0.52	0.321	1.018	1.423	1.220	0.392
16	8.0	0.59	0.12	0.47	0.298	0.923	1.374	1.148	0.342
17	8.5	0.61	0.12	0.49	0.304	0.940	1.255	1.098	0.334
18	9.0	0.59	0.12	0.47	0.293	0.770	1.058	0.914	0.268
19	9.5	0.55	0.11	0.44	0.271	0.741	0.948	0.844	0.229
20	10.0	0.46	0.09	0.36	0.225	0.412	0.477	0.444	0.100
21	10.5	0.261	0.0522	0.2088	0.119	0.245	0.398	0.322	0.038
Fecha	12/01/2023			Qt	8.62	m3/s	At	6.768	m2
hr.	10:00 a. m.			PM	10.981	m	RH	0.616	m

Tabla 133. Aforo en la sección N°3 – Bloque N°5- Época de lluvias

SECCIÓN 3									
N°	Distancia(m)	H(m)	0.2xH	0.8xH	AP(m2)	0.2 v	0.8 v	V(m/s)	Q(m3/s)
1	0.5	0.36	0.07	0.29	0.163	0.305	0.425	0.365	0.059
2	1.0	0.52	0.10	0.42	0.261	0.417	0.533	0.475	0.124
3	1.5	0.64	0.13	0.51	0.319	0.572	0.822	0.697	0.222
4	2.0	0.74	0.15	0.59	0.368	0.605	0.936	0.771	0.284
5	2.5	0.81	0.16	0.65	0.403	0.990	1.344	1.167	0.470
6	3.0	0.84	0.17	0.67	0.422	1.123	1.451	1.287	0.543
7	3.5	0.89	0.18	0.71	0.444	1.140	1.522	1.331	0.591
8	4.0	0.90	0.18	0.72	0.450	0.967	1.471	1.219	0.549
9	4.5	0.92	0.18	0.74	0.460	1.178	1.567	1.373	0.631
10	5.0	0.93	0.19	0.75	0.469	0.988	1.489	1.239	0.581
11	5.5	0.98	0.20	0.78	0.484	0.906	1.478	1.192	0.577
12	6.0	0.94	0.19	0.75	0.472	1.067	1.555	1.311	0.619
13	6.5	0.98	0.20	0.78	0.484	0.967	1.487	1.227	0.594
14	7.0	0.94	0.19	0.75	0.471	0.878	1.207	1.043	0.491
15	7.5	0.94	0.19	0.75	0.468	0.877	1.164	1.021	0.478
16	8.0	0.92	0.18	0.73	0.453	0.903	1.325	1.114	0.505
17	8.5	0.82	0.16	0.66	0.414	0.873	1.170	1.022	0.423
18	9.0	0.80	0.16	0.64	0.399	0.522	0.929	0.725	0.289
19	9.5	0.74	0.15	0.59	0.369	0.486	0.713	0.599	0.221
20	10.0	0.69	0.14	0.55	0.345	0.512	0.842	0.677	0.234
21	10.5	0.67	0.13	0.54	0.332	0.406	0.532	0.469	0.156
22	11.0	0.59	0.12	0.47	0.242	0.372	0.520	0.446	0.108
Fecha	12/01/2023			Qt	8.75	m3/s	At	8.692	m2
hr.	11:10 a. m.			PM	11.7	m	RH	0.743	m

Tabla 134. Aforo en la sección N°4 – Bloque N°5- Época de lluvias

SECCIÓN 4									
N°	Distancia(m)	H(m)	0.2xH	0.8xH	AP(m2)	0.2 v	0.8 v	V(m/s)	Q(m3/s)
1	0.5	0.40	0.08	0.32	0.190	0.414	0.462	0.438	0.083
2	1.0	0.60	0.12	0.48	0.292	0.674	0.754	0.714	0.208
3	1.5	0.63	0.13	0.51	0.319	0.667	0.826	0.747	0.238
4	2.0	0.71	0.14	0.56	0.349	0.596	0.980	0.788	0.275
5	2.5	0.72	0.14	0.58	0.361	0.804	1.224	1.014	0.366
6	3.0	0.75	0.15	0.60	0.371	0.899	1.217	1.058	0.393
7	3.5	0.73	0.15	0.58	0.365	0.945	1.410	1.178	0.430
8	4.0	0.72	0.14	0.58	0.360	0.906	1.570	1.238	0.446
9	4.5	0.72	0.14	0.58	0.354	1.386	1.812	1.599	0.566
10	5.0	0.63	0.13	0.50	0.320	1.465	1.933	1.699	0.544
11	5.5	0.64	0.13	0.51	0.319	1.423	1.825	1.624	0.518
12	6.0	0.66	0.13	0.53	0.328	1.168	1.544	1.356	0.445
13	6.5	0.66	0.13	0.53	0.328	0.988	1.467	1.227	0.403
14	7.0	0.63	0.13	0.50	0.316	0.944	1.377	1.160	0.367
15	7.5	0.64	0.13	0.51	0.316	0.908	1.470	1.189	0.376
16	8.0	0.62	0.12	0.49	0.313	0.989	1.539	1.264	0.396
17	8.5	0.67	0.13	0.54	0.338	1.374	1.744	1.559	0.527
18	9.0	0.76	0.15	0.60	0.369	1.368	1.804	1.586	0.585
19	9.5	0.71	0.14	0.56	0.356	1.245	1.644	1.444	0.514
20	10.0	0.71	0.14	0.57	0.357	1.013	1.395	1.204	0.430
21	10.5	0.75	0.15	0.60	0.368	0.990	1.211	1.101	0.405
22	11.0	0.68	0.14	0.54	0.286	0.670	0.844	0.757	0.216
Fecha	12/01/2023			Qt	8.73	m3/s	At	7.275	m2
hr.	12:25 p. m.			PM	11.835	m	RH	0.615	m

Tabla 135. Aforo en la sección N°5 – Bloque N°5- Época de lluvias

SECCIÓN 5									
N°	Distancia(m)	H(m)	0.2xH	0.8xH	AP(m2)	0.2 v	0.8 v	V(m/s)	Q(m3/s)
1	0.5	0.32	0.06	0.26	0.161	0.394	0.540	0.467	0.075
2	1.0	0.55	0.11	0.44	0.272	0.647	0.844	0.746	0.203
3	1.5	0.62	0.12	0.50	0.306	0.634	0.987	0.811	0.248
4	2.0	0.63	0.13	0.51	0.319	0.797	1.155	0.976	0.311
5	2.5	0.69	0.14	0.55	0.342	0.796	1.280	1.038	0.355
6	3.0	0.70	0.14	0.56	0.353	0.896	1.144	1.020	0.360
7	3.5	0.76	0.15	0.61	0.376	0.940	1.366	1.153	0.434
8	4.0	0.77	0.15	0.61	0.381	1.013	1.374	1.193	0.455
9	4.5	0.75	0.15	0.60	0.375	1.168	1.496	1.332	0.500
10	5.0	0.76	0.15	0.61	0.378	1.305	1.785	1.545	0.584
11	5.5	0.74	0.15	0.59	0.374	1.387	1.867	1.627	0.608
12	6.0	0.77	0.15	0.62	0.384	1.468	1.801	1.635	0.628
13	6.5	0.78	0.16	0.62	0.386	1.398	1.750	1.574	0.608
14	7.0	0.75	0.15	0.60	0.376	1.268	1.597	1.433	0.539

15	7.5	0.77	0.15	0.62	0.384	1.285	1.674	1.480	0.568
16	8.0	0.79	0.16	0.63	0.391	1.234	1.514	1.374	0.537
17	8.5	0.76	0.15	0.61	0.381	1.088	1.494	1.291	0.492
18	9.0	0.75	0.15	0.60	0.373	0.942	1.378	1.160	0.433
19	9.5	0.70	0.14	0.56	0.353	0.899	1.294	1.097	0.387
20	10.0	0.70	0.14	0.56	0.345	0.664	0.964	0.814	0.281
21	10.5	0.44	0.09	0.35	0.206	0.367	0.797	0.582	0.120
Fecha	12/01/2023			Qt	8.724	m3/s	At	7.216	m2
hr.	2:15 p. m.			PM	11.134	m	RH	0.648	m

Tabla 136. Aforo en la sección N°6 – Bloque N°5- Época de lluvias

SECCIÓN 6									
N°	Distancia(m)	H(m)	0.2xH	0.8xH	AP(m2)	0.2 v	0.8 v	V(m/s)	Q(m3/s)
1	0.500	0.49	0.10	0.57	0.215	0.529	0.650	0.589	0.127
2	1.000	0.66	0.13	0.97	0.322	0.754	1.026	0.890	0.287
3	1.500	0.67	0.13	1.20	0.341	0.941	1.350	1.146	0.391
4	2.000	0.75	0.15	1.24	0.370	0.986	1.460	1.223	0.453
5	2.500	0.76	0.15	1.35	0.379	1.068	1.531	1.300	0.493
6	3.000	0.77	0.15	1.50	0.380	1.214	1.650	1.432	0.544
7	3.500	0.71	0.14	1.41	0.360	0.994	1.580	1.287	0.463
8	4.000	0.70	0.14	1.46	0.350	1.354	1.621	1.488	0.521
9	4.500	0.67	0.13	1.40	0.335	1.377	1.756	1.567	0.525
10	4.500	0.66	0.13	1.44	0.328	1.395	1.873	1.634	0.536
11	4.500	0.64	0.13	1.42	0.326	1.426	1.882	1.654	0.539
12	4.500	0.70	0.14	1.35	0.342	1.467	1.872	1.669	0.571
13	4.500	0.65	0.13	1.34	0.328	1.368	1.776	1.572	0.516
14	4.500	0.64	0.13	1.51	0.320	1.316	1.786	1.551	0.496
15	4.500	0.61	0.12	1.40	0.306	1.240	1.758	1.499	0.459
16	4.500	0.60	0.12	1.35	0.299	1.415	1.741	1.578	0.472
17	4.500	0.56	0.11	1.13	0.281	1.077	1.428	1.253	0.352
18	4.500	0.50	0.10	1.02	0.253	1.024	1.540	1.282	0.324
19	4.500	0.49	0.10	0.89	0.244	0.865	1.177	1.021	0.249
20	4.500	0.46	0.09	0.79	0.228	0.680	0.970	0.825	0.188
21	4.500	0.38	0.08	0.59	0.189	0.577	0.869	0.723	0.137
22	4.500	0.232	0.05	0.19	0.107	0.452	0.723	0.588	0.063
Fecha	12/01/2023			Qt	8.703	m3/s	At	6.603	m2
hr.	3:10 p. m.			PM	11.501	m	RH	0.574	m

Tabla 137. Aforo en la sección N°7 – Bloque N°5- Época de lluvias

SECCIÓN 7									
N°	Distancia(m)	H(m)	0.2xH	0.8xH	AP(m2)	0.2 v	0.8 v	V(m/s)	Q(m3/s)
1	0.5	0.58	0.12	0.66	0.245	0.714	0.903	0.809	0.198
2	1.0	0.68	0.14	0.86	0.335	0.727	1.093	0.910	0.305
3	1.5	0.71	0.14	0.95	0.354	0.837	1.182	1.009	0.357
4	2.0	0.73	0.15	1.01	0.362	0.977	1.346	1.161	0.420
5	2.5	0.72	0.14	1.08	0.359	1.104	1.439	1.271	0.456
6	3.0	0.72	0.14	1.31	0.364	1.087	1.563	1.325	0.482
7	3.5	0.77	0.15	1.26	0.378	1.165	1.607	1.386	0.524
8	4.0	0.70	0.14	1.47	0.354	1.237	1.706	1.471	0.521
9	4.5	0.67	0.13	1.42	0.341	1.309	1.806	1.557	0.531
10	5.0	0.71	0.14	1.61	0.348	1.418	1.853	1.635	0.569
11	5.5	0.65	0.13	1.51	0.335	1.417	1.846	1.631	0.546
12	6.0	0.76	0.15	1.55	0.375	1.430	1.976	1.703	0.638
13	6.5	0.77	0.15	1.53	0.379	1.386	1.879	1.632	0.619
14	7.0	0.70	0.14	1.40	0.356	1.313	1.739	1.526	0.543
15	7.5	0.75	0.15	1.37	0.367	1.158	1.659	1.408	0.517
16	8.0	0.64	0.13	1.35	0.322	1.014	1.574	1.294	0.417
17	8.5	0.58	0.12	1.33	0.289	1.126	1.493	1.309	0.378
18	9.0	0.54	0.11	1.14	0.263	1.094	1.467	1.280	0.337
19	9.5	0.40	0.08	1.10	0.203	0.898	1.285	1.091	0.222
20	10.0	0.30	0.06	0.70	0.140	0.686	0.996	0.841	0.118
Fecha	12/01/2023			Qt	8.698	m3/s	At	6.469	m2
hr.	4:25 p. m.			PM	10.68	m	RH	0.606	m

Tabla 138. Aforo en la sección N°8 – Bloque N°5- Época de lluvias

SECCIÓN 8									
N°	Distancia(m)	H(m)	0.2xH	0.8xH	AP(m2)	0.2 v	0.8 v	V(m/s)	Q(m3/s)
1	0.5	0.40	0.08	0.32	0.175	0.960	1.188	1.074	0.188
2	1.0	0.46	0.09	0.36	0.225	0.983	1.366	1.175	0.264
3	1.5	0.45	0.09	0.36	0.225	0.917	1.453	1.185	0.267
4	2.0	0.43	0.09	0.34	0.216	0.990	1.509	1.250	0.270
5	2.5	0.41	0.08	0.33	0.205	0.877	1.200	1.039	0.213
6	3.0	0.39	0.08	0.31	0.194	0.890	1.105	0.998	0.194
7	3.5	0.38	0.08	0.30	0.189	0.868	1.047	0.957	0.181
8	4.0	0.38	0.08	0.30	0.188	0.914	1.292	1.103	0.207
9	4.5	0.38	0.08	0.30	0.190	0.897	1.210	1.054	0.200
10	5.0	0.40	0.08	0.32	0.197	0.950	1.382	1.166	0.230
11	5.5	0.38	0.08	0.30	0.190	0.964	1.433	1.198	0.228
12	6.0	0.38	0.08	0.30	0.188	0.888	1.369	1.129	0.212
13	6.5	0.38	0.08	0.30	0.189	0.966	1.392	1.179	0.223
14	7.0	0.40	0.08	0.32	0.196	0.949	1.419	1.184	0.232
15	7.5	0.40	0.08	0.32	0.198	0.899	1.302	1.101	0.218
16	8.0	0.40	0.08	0.32	0.201	0.910	1.427	1.169	0.235

17	8.5	0.44	0.09	0.35	0.218	1.096	1.462	1.279	0.279
18	9.0	0.47	0.09	0.38	0.231	1.116	1.488	1.302	0.301
19	9.5	0.45	0.09	0.36	0.228	1.007	1.436	1.222	0.279
20	10.0	0.50	0.10	0.40	0.248	1.118	1.592	1.355	0.336
21	10.5	0.54	0.11	0.43	0.272	1.188	1.675	1.432	0.389
22	11.0	0.58	0.12	0.46	0.284	1.234	1.680	1.457	0.414
23	11.5	0.55	0.11	0.44	0.278	1.310	1.659	1.485	0.413
24	12.0	0.57	0.11	0.45	0.281	1.266	1.659	1.462	0.411
25	12.5	0.56	0.11	0.45	0.28	1.177	1.569	1.373	0.384
26	13.0	0.56	0.11	0.45	0.28	1.171	1.632	1.401	0.392
27	13.5	0.54	0.11	0.43	0.269	1.233	1.689	1.461	0.393
28	14.0	0.52	0.10	0.41	0.257	1.313	1.615	1.464	0.376
29	14.5	0.49	0.10	0.39	0.245	1.305	1.612	1.459	0.357
30	15.0	0.49	0.10	0.39	0.241	1.234	1.542	1.388	0.335
31	15.5	0.42	0.08	0.33	0.176	0.999	1.388	1.193	0.210
Fecha	12/01/2023			Qt	8.830	m3/s	At	6.954	m2
hr.	5:20 p. m.			PM	16.028	m	RH	0.434	m

ANEXO N°5: COEFICIENTES DE RUGOSIDAD

Tabla 139. Resultados de la ecuación de Manning – Período de estiaje

Fecha: 17/07/2022		S	Rh(m)	Q(m3/s)	A(m2)	n
Sección	1	0.016	0.151	0.134	0.358	0.095
Sección	2	0.008	0.150	0.151	0.536	0.091
Sección	3	0.006	0.166	0.221	1.031	0.111
Sección	4	0.004	0.156	0.266	1.433	0.097
Sección	5	0.006	0.160	0.298	1.237	0.091
Sección	6	0.008	0.155	0.278	1.031	0.096
Sección	7	0.005	0.152	0.254	1.019	0.079
Sección	8	0.006	0.151	0.318	1.079	0.073
Fecha: 25/07/2022		S	Rh(m)	Q(m3/s)	A(m2)	n
Sección	1	0.016	0.208	0.298	0.578	0.085
Sección	2	0.008	0.227	0.576	1.374	0.081
Sección	3	0.006	0.226	0.563	1.636	0.085
Sección	4	0.004	0.173	0.463	1.761	0.076
Sección	5	0.006	0.180	0.490	1.568	0.082
Sección	6	0.008	0.162	0.483	1.313	0.073
Sección	7	0.005	0.191	0.545	1.768	0.075
Sección	8	0.006	0.163	0.528	1.407	0.063
Fecha: 13/08/2022		S	Rh(m)	Q(m3/s)	A(m2)	n
Sección	1	0.016	0.263	0.704	1.134	0.083
Sección	2	0.008	0.187	0.731	1.415	0.057
Sección	3	0.006	0.233	0.778	2.124	0.082
Sección	4	0.004	0.213	0.780	2.175	0.064
Sección	5	0.006	0.217	0.815	1.982	0.070
Sección	6	0.008	0.188	0.753	1.623	0.064
Sección	7	0.005	0.214	0.752	2.079	0.069
Sección	8	0.006	0.166	0.741	1.676	0.054
Fecha: 21/09/2022		S	Rh(m)	Q(m3/s)	A(m2)	n
Sección	1	0.016	0.324	1.047	1.480	0.083
Sección	2	0.008	0.183	0.894	1.670	0.055
Sección	3	0.006	0.281	1.153	2.727	0.080
Sección	4	0.004	0.233	0.933	2.402	0.063
Sección	5	0.006	0.239	1.026	2.180	0.066
Sección	6	0.008	0.213	0.997	1.958	0.063
Sección	7	0.005	0.245	1.005	2.471	0.067
Sección	8	0.006	0.170	1.199	2.648	0.053
Fecha: 30/09/2022		S	Rh(m)	Q(m3/s)	A(m2)	n
Sección	1	0.016	0.398	1.827	2.419	0.084
Sección	2	0.008	0.239	1.519	2.419	0.056
Sección	3	0.006	0.357	1.694	3.462	0.081
Sección	4	0.004	0.298	1.515	3.145	0.060
Sección	5	0.006	0.312	1.733	3.002	0.064
Sección	6	0.008	0.255	1.548	2.735	0.064
Sección	7	0.005	0.294	1.375	2.977	0.066
Sección	8	0.006	0.188	1.404	2.955	0.054

Tabla 140. Resultados de la ecuación de Manning – Período de lluvias

Fecha: 25/10/2022		S	Rh(m)	Q(m3/s)	A(m2)	n
Sección	1	0.016	0.427	4.049	4.604	0.080
Sección	2	0.008	0.431	4.027	4.427	0.057
Sección	3	0.006	0.587	4.199	6.728	0.088
Sección	4	0.004	0.430	4.108	4.923	0.042
Sección	5	0.006	0.467	4.100	5.007	0.055
Sección	6	0.008	0.411	4.101	4.441	0.054
Sección	7	0.005	0.410	4.033	4.311	0.041
Sección	8	0.006	0.297	4.163	4.699	0.038
Fecha: 29/10/2022		S	Rh(m)	Q(m3/s)	A(m2)	n
Sección	1	0.016	0.465	4.796	5.029	0.079
Sección	2	0.008	0.466	4.870	4.807	0.054
Sección	3	0.006	0.620	5.160	7.120	0.079
Sección	4	0.004	0.469	5.148	5.445	0.041
Sección	5	0.006	0.501	5.099	5.419	0.054
Sección	6	0.008	0.464	5.082	5.071	0.054
Sección	7	0.005	0.462	5.073	4.893	0.040
Sección	8	0.006	0.321	5.084	5.084	0.037
Fecha: 26/12/2022		S	Rh(m)	Q(m3/s)	A(m2)	n
Sección	1	0.016	0.541	6.663	6.225	0.078
Sección	2	0.008	0.528	6.415	5.777	0.053
Sección	3	0.006	0.686	6.599	8.025	0.074
Sección	4	0.004	0.535	6.586	6.276	0.041
Sección	5	0.006	0.572	6.585	6.280	0.053
Sección	6	0.008	0.524	6.348	5.733	0.053
Sección	7	0.005	0.532	6.338	5.632	0.040
Sección	8	0.006	0.367	6.469	5.847	0.036
Fecha: 02/01/2023		S	Rh(m)	Q(m3/s)	A(m2)	n
Sección	1	0.016	0.522	6.261	6.002	0.078
Sección	2	0.008	0.519	6.286	5.694	0.053
Sección	3	0.006	0.667	6.312	7.800	0.074
Sección	4	0.004	0.522	6.295	6.120	0.041
Sección	5	0.006	0.565	6.211	6.158	0.054
Sección	6	0.008	0.504	6.024	5.515	0.052
Sección	7	0.005	0.506	6.015	5.360	0.039
Sección	8	0.006	0.354	6.061	5.621	0.036
Fecha: 12/01/2023		S	Rh(m)	Q(m3/s)	A(m2)	n
Sección	1	0.016	0.643	8.898	6.768	0.077
Sección	2	0.008	0.616	8.624	6.768	0.052
Sección	3	0.006	0.743	8.748	8.692	0.064
Sección	4	0.004	0.615	8.730	7.275	0.039
Sección	5	0.006	0.648	8.724	7.216	0.050
Sección	6	0.008	0.574	8.703	6.603	0.047
Sección	7	0.005	0.606	8.698	6.469	0.037
Sección	8	0.006	0.434	8.830	6.954	0.035

Tabla 141. Resultados de la ecuación de Limerinos – Período de estiaje

Fecha: 17/07/2022		Rh(m)	D84(m)	n
Sección	1	0.151	0.188	0.085
Sección	2	0.150	0.139	0.067
Sección	3	0.166	0.168	0.073
Sección	4	0.156	0.180	0.080
Sección	5	0.160	0.138	0.064
Sección	6	0.155	0.125	0.061
Sección	7	0.152	0.153	0.072
Sección	8	0.151	0.098	0.054
Fecha: 25/07/2022		Rh(m)	D84(m)	n
Sección	1	0.208	0.188	0.070
Sección	2	0.227	0.139	0.056
Sección	3	0.226	0.168	0.062
Sección	4	0.173	0.180	0.075
Sección	5	0.180	0.138	0.061
Sección	6	0.162	0.125	0.060
Sección	7	0.191	0.153	0.063
Sección	8	0.163	0.098	0.052
Fecha: 13/08/2022		Rh(m)	D84(m)	n
Sección	1	0.263	0.188	0.062
Sección	2	0.187	0.139	0.060
Sección	3	0.233	0.168	0.061
Sección	4	0.213	0.180	0.067
Sección	5	0.217	0.138	0.056
Sección	6	0.188	0.125	0.056
Sección	7	0.214	0.153	0.060
Sección	8	0.166	0.098	0.052
Fecha: 21/09/2022		Rh(m)	D84(m)	n
Sección	1	0.324	0.188	0.057
Sección	2	0.183	0.139	0.061
Sección	3	0.281	0.168	0.057
Sección	4	0.233	0.180	0.064
Sección	5	0.239	0.138	0.054
Sección	6	0.213	0.125	0.054
Sección	7	0.245	0.153	0.057
Sección	8	0.170	0.098	0.051
Fecha: 30/09/2022		Rh(m)	D84(m)	n
Sección	1	0.398	0.188	0.054
Sección	2	0.239	0.139	0.055
Sección	3	0.357	0.168	0.052
Sección	4	0.298	0.180	0.058
Sección	5	0.312	0.138	0.050
Sección	6	0.255	0.125	0.051
Sección	7	0.294	0.153	0.053
Sección	8	0.188	0.098	0.050

Tabla 142. Resultados de la ecuación de Limerinos – Período de lluvias

Fecha: 25/10/2022		Rh(m)	D84(m)	n
Sección	1	0.427	0.188	0.052
Sección	2	0.431	0.139	0.046
Sección	3	0.587	0.168	0.046
Sección	4	0.430	0.180	0.051
Sección	5	0.467	0.138	0.045
Sección	6	0.411	0.125	0.044
Sección	7	0.410	0.153	0.048
Sección	8	0.297	0.098	0.043
Fecha: 29/10/2022		Rh(m)	D84(m)	n
Sección	1	0.465	0.188	0.051
Sección	2	0.466	0.139	0.045
Sección	3	0.620	0.168	0.045
Sección	4	0.469	0.180	0.050
Sección	5	0.501	0.138	0.044
Sección	6	0.464	0.125	0.043
Sección	7	0.462	0.153	0.047
Sección	8	0.321	0.098	0.043
Fecha: 26/12/2022		Rh(m)	D84(m)	n
Sección	1	0.541	0.188	0.049
Sección	2	0.528	0.139	0.044
Sección	3	0.686	0.168	0.045
Sección	4	0.535	0.180	0.048
Sección	5	0.572	0.138	0.043
Sección	6	0.524	0.125	0.042
Sección	7	0.532	0.153	0.045
Sección	8	0.367	0.098	0.041
Fecha: 02/01/2023		Rh(m)	D84(m)	n
Sección	1	0.522	0.188	0.050
Sección	2	0.519	0.139	0.044
Sección	3	0.667	0.168	0.045
Sección	4	0.522	0.180	0.049
Sección	5	0.565	0.138	0.043
Sección	6	0.504	0.125	0.042
Sección	7	0.506	0.153	0.046
Sección	8	0.354	0.098	0.042
Fecha: 12/01/2023		Rh(m)	D84(m)	n
Sección	1	0.643	0.188	0.047
Sección	2	0.616	0.139	0.042
Sección	3	0.743	0.168	0.044
Sección	4	0.615	0.180	0.047
Sección	5	0.648	0.138	0.042
Sección	6	0.574	0.125	0.041
Sección	7	0.606	0.153	0.044
Sección	8	0.434	0.098	0.040

Tabla 143. Resultados de la ecuación de Griffiths – Período de estiaje

Fecha: 17/07/2022		Rh(m)	D50(m)	n
Sección	1	0.151	0.119	0.086
Sección	2	0.150	0.094	0.071
Sección	3	0.166	0.117	0.079
Sección	4	0.156	0.110	0.078
Sección	5	0.160	0.091	0.067
Sección	6	0.155	0.079	0.062
Sección	7	0.152	0.091	0.068
Sección	8	0.151	0.062	0.054
Fecha: 25/07/2022		Rh(m)	D50(m)	n
Sección	1	0.208	0.119	0.070
Sección	2	0.227	0.094	0.058
Sección	3	0.226	0.117	0.067
Sección	4	0.173	0.110	0.073
Sección	5	0.180	0.091	0.063
Sección	6	0.162	0.079	0.061
Sección	7	0.191	0.091	0.061
Sección	8	0.163	0.062	0.052
Fecha: 13/08/2022		Rh(m)	D50(m)	n
Sección	1	0.263	0.119	0.063
Sección	2	0.187	0.094	0.063
Sección	3	0.233	0.117	0.066
Sección	4	0.213	0.110	0.066
Sección	5	0.217	0.091	0.058
Sección	6	0.188	0.079	0.057
Sección	7	0.214	0.091	0.058
Sección	8	0.166	0.062	0.052
Fecha: 21/09/2022		Rh(m)	D50(m)	n
Sección	1	0.324	0.119	0.058
Sección	2	0.183	0.094	0.064
Sección	3	0.281	0.117	0.060
Sección	4	0.233	0.110	0.063
Sección	5	0.239	0.091	0.056
Sección	6	0.213	0.079	0.054
Sección	7	0.245	0.091	0.055
Sección	8	0.170	0.062	0.052
Fecha: 30/09/2022		Rh(m)	D50(m)	n
Sección	1	0.398	0.119	0.054
Sección	2	0.239	0.094	0.057
Sección	3	0.357	0.117	0.055
Sección	4	0.298	0.110	0.057
Sección	5	0.312	0.091	0.051
Sección	6	0.255	0.079	0.051
Sección	7	0.294	0.091	0.052
Sección	8	0.188	0.062	0.050

Tabla 144. Resultados de la ecuación de Griffiths – Período de lluvias

Fecha: 25/10/2022		Rh(m)	D50(m)	n
Sección	1	0.427	0.119	0.053
Sección	2	0.431	0.094	0.047
Sección	3	0.587	0.117	0.048
Sección	4	0.430	0.110	0.051
Sección	5	0.467	0.091	0.046
Sección	6	0.411	0.079	0.045
Sección	7	0.410	0.091	0.047
Sección	8	0.297	0.062	0.044
Fecha: 29/10/2022		Rh(m)	D50(m)	n
Sección	1	0.465	0.119	0.052
Sección	2	0.466	0.094	0.047
Sección	3	0.620	0.117	0.048
Sección	4	0.469	0.110	0.050
Sección	5	0.501	0.091	0.045
Sección	6	0.464	0.079	0.044
Sección	7	0.462	0.091	0.046
Sección	8	0.321	0.062	0.043
Fecha: 26/12/2022		Rh(m)	D50(m)	n
Sección	1	0.541	0.119	0.050
Sección	2	0.528	0.094	0.045
Sección	3	0.686	0.117	0.047
Sección	4	0.535	0.110	0.048
Sección	5	0.572	0.091	0.044
Sección	6	0.524	0.079	0.042
Sección	7	0.532	0.091	0.045
Sección	8	0.367	0.062	0.042
Fecha: 02/01/2023		Rh(m)	D50(m)	n
Sección	1	0.522	0.119	0.050
Sección	2	0.519	0.094	0.045
Sección	3	0.667	0.117	0.047
Sección	4	0.522	0.110	0.048
Sección	5	0.565	0.091	0.044
Sección	6	0.504	0.079	0.043
Sección	7	0.506	0.091	0.045
Sección	8	0.354	0.062	0.042
Fecha: 12/01/2023		Rh(m)	D50(m)	n
Sección	1	0.643	0.119	0.048
Sección	2	0.616	0.094	0.044
Sección	3	0.743	0.117	0.046
Sección	4	0.615	0.110	0.047
Sección	5	0.648	0.091	0.043
Sección	6	0.574	0.079	0.042
Sección	7	0.606	0.091	0.043
Sección	8	0.434	0.062	0.040

Tabla 145. Resultados de la ecuación de Phillip e Ingersoll – Período de estiaje

Fecha: 17/07/2022		Rh(m)	D50(m)	n
Sección	1	0.151	0.119	0.049
Sección	2	0.150	0.094	0.043
Sección	3	0.166	0.117	0.047
Sección	4	0.156	0.110	0.046
Sección	5	0.160	0.091	0.041
Sección	6	0.155	0.079	0.039
Sección	7	0.152	0.091	0.042
Sección	8	0.151	0.062	0.035
Fecha: 25/07/2022		Rh(m)	D50(m)	n
Sección	1	0.208	0.119	0.044
Sección	2	0.227	0.094	0.038
Sección	3	0.226	0.117	0.042
Sección	4	0.173	0.110	0.044
Sección	5	0.180	0.091	0.040
Sección	6	0.162	0.079	0.039
Sección	7	0.191	0.091	0.039
Sección	8	0.163	0.062	0.035
Fecha: 13/08/2022		Rh(m)	D50(m)	n
Sección	1	0.263	0.119	0.041
Sección	2	0.187	0.094	0.040
Sección	3	0.233	0.117	0.042
Sección	4	0.213	0.110	0.042
Sección	5	0.217	0.091	0.038
Sección	6	0.188	0.079	0.037
Sección	7	0.214	0.091	0.038
Sección	8	0.166	0.062	0.035
Fecha: 21/09/2022		Rh(m)	D50(m)	n
Sección	1	0.324	0.119	0.039
Sección	2	0.183	0.094	0.040
Sección	3	0.281	0.117	0.040
Sección	4	0.233	0.110	0.040
Sección	5	0.239	0.091	0.037
Sección	6	0.213	0.079	0.036
Sección	7	0.245	0.091	0.037
Sección	8	0.170	0.062	0.034
Fecha: 30/09/2022		Rh(m)	D50(m)	n
Sección	1	0.398	0.119	0.037
Sección	2	0.239	0.094	0.038
Sección	3	0.357	0.117	0.037
Sección	4	0.298	0.110	0.038
Sección	5	0.312	0.091	0.035
Sección	6	0.255	0.079	0.035
Sección	7	0.294	0.091	0.035
Sección	8	0.188	0.062	0.034

Tabla 146. Resultados de la ecuación de Phillip e Ingersoll – Período de lluvias

Fecha: 25/10/2022		Rh(m)	D50(m)	n
Sección	1	0.427	0.119	0.036
Sección	2	0.431	0.094	0.033
Sección	3	0.587	0.117	0.034
Sección	4	0.430	0.110	0.035
Sección	5	0.467	0.091	0.033
Sección	6	0.411	0.079	0.032
Sección	7	0.410	0.091	0.033
Sección	8	0.297	0.062	0.031
Fecha: 29/10/2022		Rh(m)	D50(m)	n
Sección	1	0.465	0.119	0.036
Sección	2	0.466	0.094	0.033
Sección	3	0.620	0.117	0.034
Sección	4	0.469	0.110	0.035
Sección	5	0.501	0.091	0.032
Sección	6	0.464	0.079	0.031
Sección	7	0.462	0.091	0.033
Sección	8	0.321	0.062	0.031
Fecha: 26/12/2022		Rh(m)	D50(m)	n
Sección	1	0.541	0.119	0.035
Sección	2	0.528	0.094	0.032
Sección	3	0.686	0.117	0.033
Sección	4	0.535	0.110	0.034
Sección	5	0.572	0.091	0.032
Sección	6	0.524	0.079	0.031
Sección	7	0.532	0.091	0.032
Sección	8	0.367	0.062	0.030
Fecha: 02/01/2023		Rh(m)	D50(m)	n
Sección	1	0.522	0.119	0.035
Sección	2	0.519	0.094	0.032
Sección	3	0.667	0.117	0.034
Sección	4	0.522	0.110	0.034
Sección	5	0.565	0.091	0.032
Sección	6	0.504	0.079	0.031
Sección	7	0.506	0.091	0.032
Sección	8	0.354	0.062	0.030
Fecha: 12/01/2023		Rh(m)	D50(m)	n
Sección	1	0.643	0.119	0.034
Sección	2	0.616	0.094	0.032
Sección	3	0.743	0.117	0.033
Sección	4	0.615	0.110	0.033
Sección	5	0.648	0.091	0.031
Sección	6	0.574	0.079	0.030
Sección	7	0.606	0.091	0.031
Sección	8	0.434	0.062	0.029

Tabla 147. Resultados de la ecuación de Jarrett – Período de estiaje

Fecha: 17/07/2022		Rh(m)	S	n
Sección	1	0.151	0.016	0.089
Sección	2	0.150	0.008	0.070
Sección	3	0.166	0.006	0.062
Sección	4	0.156	0.004	0.052
Sección	5	0.160	0.006	0.060
Sección	6	0.155	0.008	0.069
Sección	7	0.152	0.005	0.057
Sección	8	0.151	0.006	0.061
Fecha: 25/07/2022		Rh(m)	S	n
Sección	1	0.208	0.016	0.085
Sección	2	0.227	0.008	0.066
Sección	3	0.226	0.006	0.059
Sección	4	0.173	0.004	0.051
Sección	5	0.180	0.006	0.059
Sección	6	0.162	0.008	0.069
Sección	7	0.191	0.005	0.055
Sección	8	0.163	0.006	0.060
Fecha: 13/08/2022		Rh(m)	S	n
Sección	1	0.263	0.016	0.082
Sección	2	0.187	0.008	0.068
Sección	3	0.233	0.006	0.059
Sección	4	0.213	0.004	0.049
Sección	5	0.217	0.006	0.057
Sección	6	0.188	0.008	0.067
Sección	7	0.214	0.005	0.054
Sección	8	0.166	0.006	0.060
Fecha: 21/09/2022		Rh(m)	S	n
Sección	1	0.324	0.016	0.079
Sección	2	0.183	0.008	0.068
Sección	3	0.281	0.006	0.057
Sección	4	0.233	0.004	0.049
Sección	5	0.239	0.006	0.056
Sección	6	0.213	0.008	0.066
Sección	7	0.245	0.005	0.053
Sección	8	0.170	0.006	0.060
Fecha: 30/09/2022		Rh(m)	S	n
Sección	1	0.398	0.016	0.076
Sección	2	0.239	0.008	0.065
Sección	3	0.357	0.006	0.055
Sección	4	0.298	0.004	0.047
Sección	5	0.312	0.006	0.054
Sección	6	0.255	0.008	0.064
Sección	7	0.294	0.005	0.051
Sección	8	0.188	0.006	0.059

Tabla 148. Resultados de la ecuación de Jarrett – Período de lluvias

Fecha: 25/10/2022		Rh(m)	S	n
Sección	1	0.427	0.016	0.075
Sección	2	0.431	0.008	0.059
Sección	3	0.587	0.006	0.050
Sección	4	0.430	0.004	0.044
Sección	5	0.467	0.006	0.050
Sección	6	0.411	0.008	0.059
Sección	7	0.410	0.005	0.049
Sección	8	0.297	0.006	0.055
Fecha: 29/10/2022		Rh(m)	S	n
Sección	1	0.465	0.016	0.074
Sección	2	0.466	0.008	0.058
Sección	3	0.620	0.006	0.050
Sección	4	0.469	0.004	0.043
Sección	5	0.501	0.006	0.050
Sección	6	0.464	0.008	0.058
Sección	7	0.462	0.005	0.048
Sección	8	0.321	0.006	0.054
Fecha: 26/12/2022		Rh(m)	S	n
Sección	1	0.541	0.016	0.073
Sección	2	0.528	0.008	0.057
Sección	3	0.686	0.006	0.049
Sección	4	0.535	0.004	0.043
Sección	5	0.572	0.006	0.049
Sección	6	0.524	0.008	0.057
Sección	7	0.532	0.005	0.047
Sección	8	0.367	0.006	0.053
Fecha: 02/01/2023		Rh(m)	S	n
Sección	1	0.522	0.016	0.073
Sección	2	0.519	0.008	0.057
Sección	3	0.667	0.006	0.049
Sección	4	0.522	0.004	0.043
Sección	5	0.565	0.006	0.049
Sección	6	0.504	0.008	0.061
Sección	7	0.506	0.005	0.047
Sección	8	0.354	0.006	0.053
Fecha: 12/01/2023		Rh(m)	S	n
Sección	1	0.643	0.016	0.071
Sección	2	0.616	0.008	0.056
Sección	3	0.743	0.006	0.049
Sección	4	0.615	0.004	0.042
Sección	5	0.648	0.006	0.048
Sección	6	0.574	0.008	0.056
Sección	7	0.606	0.005	0.046
Sección	8	0.434	0.006	0.051

Tabla 149. Resultados de la ecuación de Sauer – Período de estiaje

Fecha: 17/07/2022		Rh(m)	S	n
Sección	1	0.151	0.016	0.049
Sección	2	0.150	0.008	0.044
Sección	3	0.166	0.006	0.042
Sección	4	0.156	0.004	0.038
Sección	5	0.160	0.006	0.041
Sección	6	0.155	0.008	0.044
Sección	7	0.152	0.005	0.040
Sección	8	0.151	0.006	0.041
Fecha: 25/07/2022		Rh(m)	S	n
Sección	1	0.208	0.016	0.050
Sección	2	0.227	0.008	0.045
Sección	3	0.226	0.006	0.043
Sección	4	0.173	0.004	0.039
Sección	5	0.180	0.006	0.041
Sección	6	0.162	0.008	0.044
Sección	7	0.191	0.005	0.041
Sección	8	0.163	0.006	0.041
Fecha: 13/08/2022		Rh(m)	S	n
Sección	1	0.263	0.016	0.051
Sección	2	0.187	0.008	0.045
Sección	3	0.233	0.006	0.043
Sección	4	0.213	0.004	0.039
Sección	5	0.217	0.006	0.042
Sección	6	0.188	0.008	0.044
Sección	7	0.214	0.005	0.041
Sección	8	0.166	0.006	0.041
Fecha: 21/09/2022		Rh(m)	S	n
Sección	1	0.324	0.016	0.052
Sección	2	0.183	0.008	0.045
Sección	3	0.281	0.006	0.044
Sección	4	0.233	0.004	0.039
Sección	5	0.239	0.006	0.042
Sección	6	0.213	0.008	0.045
Sección	7	0.245	0.005	0.041
Sección	8	0.170	0.006	0.041
Fecha: 30/09/2022		Rh(m)	S	n
Sección	1	0.398	0.016	0.053
Sección	2	0.239	0.008	0.045
Sección	3	0.357	0.006	0.045
Sección	4	0.298	0.004	0.040
Sección	5	0.312	0.006	0.043
Sección	6	0.255	0.008	0.046
Sección	7	0.294	0.005	0.042
Sección	8	0.188	0.006	0.042

Tabla 150. Resultados de la ecuación de Sauer – Período de lluvias

Fecha: 25/10/2022		Rh(m)	S	n
Sección	1	0.427	0.016	0.053
Sección	2	0.431	0.008	0.048
Sección	3	0.587	0.006	0.046
Sección	4	0.430	0.004	0.041
Sección	5	0.467	0.006	0.045
Sección	6	0.411	0.008	0.047
Sección	7	0.410	0.005	0.043
Sección	8	0.297	0.006	0.043
Fecha: 29/10/2022		Rh(m)	S	n
Sección	1	0.465	0.016	0.054
Sección	2	0.466	0.008	0.048
Sección	3	0.620	0.006	0.047
Sección	4	0.469	0.004	0.042
Sección	5	0.501	0.006	0.045
Sección	6	0.464	0.008	0.048
Sección	7	0.462	0.005	0.044
Sección	8	0.321	0.006	0.044
Fecha: 26/12/2022		Rh(m)	S	n
Sección	1	0.541	0.016	0.054
Sección	2	0.528	0.008	0.048
Sección	3	0.686	0.006	0.047
Sección	4	0.535	0.004	0.042
Sección	5	0.572	0.006	0.045
Sección	6	0.524	0.008	0.048
Sección	7	0.532	0.005	0.044
Sección	8	0.367	0.006	0.044
Fecha: 02/01/2023		Rh(m)	S	n
Sección	1	0.522	0.016	0.054
Sección	2	0.519	0.008	0.048
Sección	3	0.667	0.006	0.047
Sección	4	0.522	0.004	0.042
Sección	5	0.565	0.006	0.045
Sección	6	0.504	0.008	0.048
Sección	7	0.506	0.005	0.044
Sección	8	0.354	0.006	0.044
Fecha: 12/01/2023		Rh(m)	S	n
Sección	1	0.643	0.016	0.055
Sección	2	0.616	0.008	0.049
Sección	3	0.743	0.006	0.047
Sección	4	0.615	0.004	0.043
Sección	5	0.648	0.006	0.046
Sección	6	0.574	0.008	0.049
Sección	7	0.606	0.005	0.044
Sección	8	0.434	0.006	0.045

Tabla 151. Resultados de la ecuación Riekenmann – Período de estiaje

Fecha: 17/07/2022		Rh(m)	S	D90	nr	nt
Sección	1	0.151	0.016	0.201	0.033	0.102
Sección	2	0.150	0.008	0.150	0.031	0.071
Sección	6	0.155	0.008	0.135	0.031	0.066
Fecha: 25/07/2022		Rh(m)	S	D90	n	nt
Sección	1	0.208	0.016	0.201	0.033	0.092
Sección	2	0.227	0.008	0.150	0.031	0.062
Sección	6	0.162	0.008	0.135	0.031	0.065
Fecha: 13/08/2022		Rh(m)	S	D90	n	nt
Sección	1	0.263	0.016	0.201	0.033	0.085
Sección	2	0.187	0.008	0.150	0.031	0.066
Sección	6	0.188	0.008	0.135	0.031	0.062
Fecha: 21/09/2022		Rh(m)	S	D90	n	nt
Sección	1	0.324	0.016	0.201	0.033	0.079
Sección	2	0.183	0.008	0.150	0.031	0.066
Sección	6	0.213	0.008	0.135	0.031	0.059
Fecha: 30/09/2022		Rh(m)	S	D90	n	nt
Sección	1	0.398	0.016	0.201	0.033	0.074
Sección	2	0.239	0.008	0.150	0.031	0.060
Sección	6	0.255	0.008	0.135	0.031	0.056

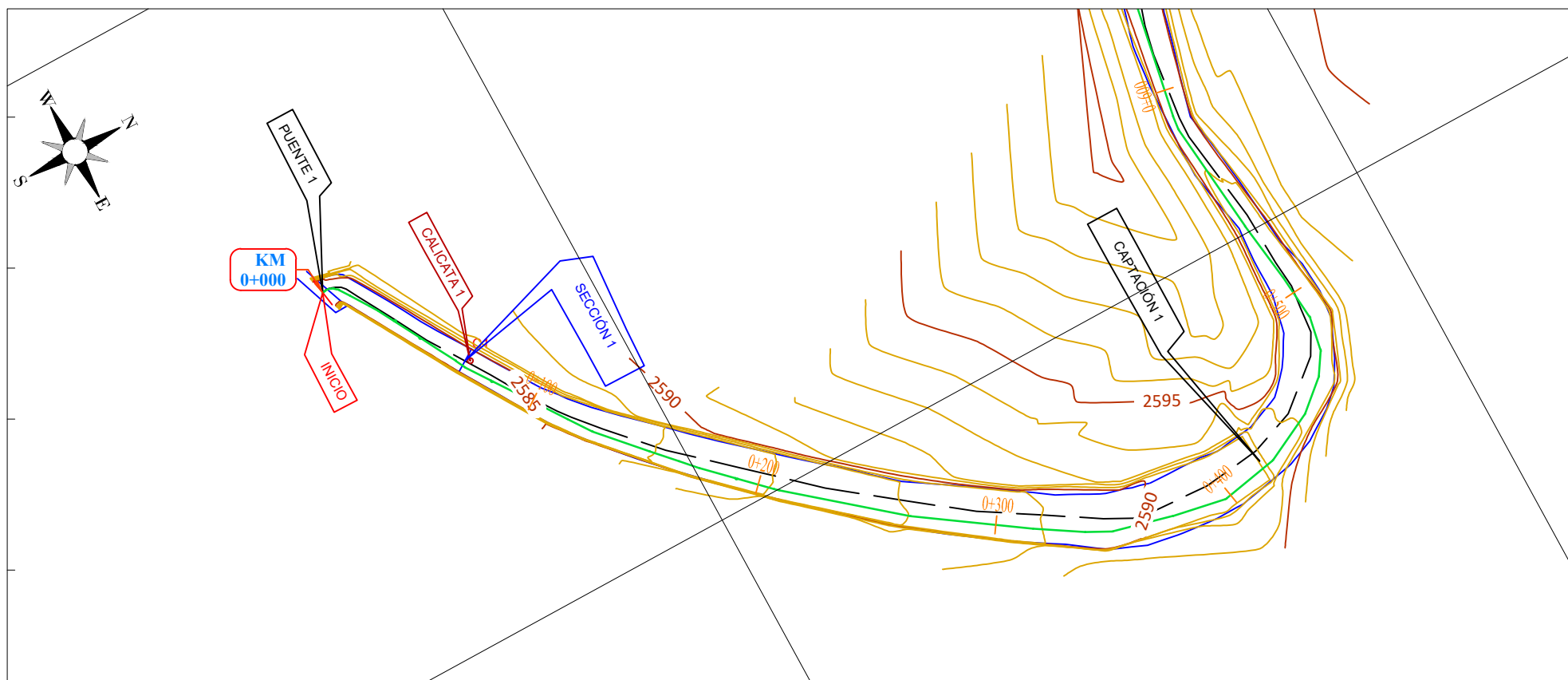
Tabla 152. Resultados de la ecuación de Riekenmann – Período de lluvias

Fecha: 25/10/2022		Rh(m)	S	D90	nr	nt
Sección	1	0.427	0.016	0.201	0.033	0.072
Sección	2	0.431	0.008	0.150	0.031	0.050
Sección	6	0.411	0.008	0.135	0.031	0.048
Fecha: 29/10/2022		Rh(m)	S	D90	n	nt
Sección	1	0.465	0.016	0.201	0.033	0.070
Sección	2	0.466	0.008	0.150	0.031	0.049
Sección	6	0.464	0.008	0.135	0.031	0.046
Fecha: 26/12/2022		Rh(m)	S	D90	n	nt
Sección	1	0.541	0.016	0.201	0.033	0.067
Sección	2	0.528	0.008	0.150	0.031	0.047
Sección	6	0.524	0.008	0.135	0.031	0.044
Fecha: 02/01/2023		Rh(m)	S	D90	n	nt
Sección	1	0.522	0.016	0.201	0.033	0.068
Sección	2	0.519	0.008	0.150	0.031	0.047
Sección	6	0.354	0.008	0.135	0.031	0.050
Fecha: 12/01/2023		Rh(m)	S	D90	n	nt
Sección	1	0.643	0.016	0.201	0.033	0.063
Sección	2	0.616	0.008	0.150	0.031	0.044
Sección	6	0.574	0.008	0.135	0.031	0.043

ANEXO N°6: PLANOS

783900

PLANTA: TRAMO PUENTE LLACANORA - HUAYRAPONGO



TRAMO ESTUDIO - RÍO CAJAMARQUINO			
	ESTE	NORTE	ALTITUD
Inicio - Puente Llacanora	784035	9203598	2589.25
Fin - Huayrapongo	780340	9205097	2631

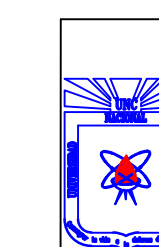
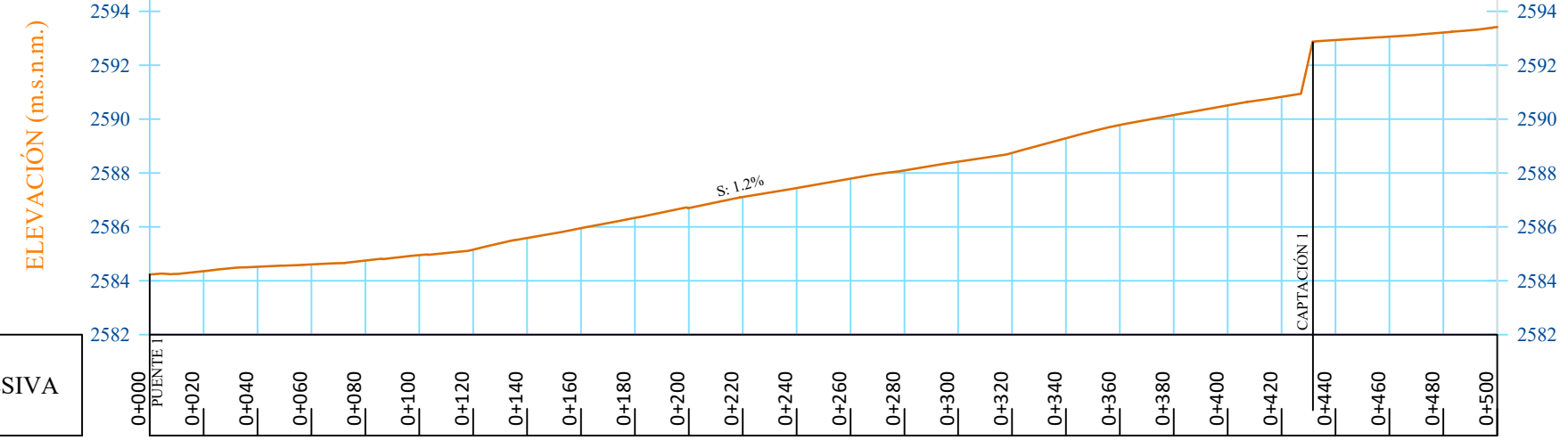
PUENTES		
Nº	ESTE	NORTE
1	784035	9203598
2	783983	9204103
3	783715	9204585
4	783053	9204753

DIMENSIONES DEL RÍO	
Longitud	5320 m.
Ancho mínimo	9.10 m.
Ancho máximo	60.30 m.

SECCIONES DE AFORO				
N. SECCION	ESTE	NORTE	PK	TRAMO
SECCIÓN 1	784170	9203701	0+170	80.53
SECCIÓN 2	783969	9204122	0+844	98.55
SECCIÓN 3	783686	9204584	1+555	55.47
SECCIÓN 4	783019	9204755	2+330	100.64
SECCIÓN 5	782537	9204889	2+844	95.48
SECCIÓN 6	781861	9205012	3+620	80.36
SECCIÓN 7	781286	9204887	4+215	53.44
SECCIÓN 8	780452	9204975	5+070	100.12
LONG. TOTAL				664.59 m

Punto de muestreado	Este	Norte	Altitud
CALICATA 1	784092	9203640	2584.77
CALICATA 2	783971	9204125	2597.18
CALICATA 3	783674	9204585	2605.71
CALICATA 4	783027	9204751	2611.98
CALICATA 5	782532	9204887	2614.12
CALICATA 6	781854	9205006	2618.25
CALICATA 7	781290	9204884	2621.31
CALICATA 8	780448	9204980	2630.14

PERFIL LONGITUDINAL TRAMO: PUENTE LLACANORA - HUAYRAPONGO DESDE KM 0+000.00 HASTA EL KM 0+500.00



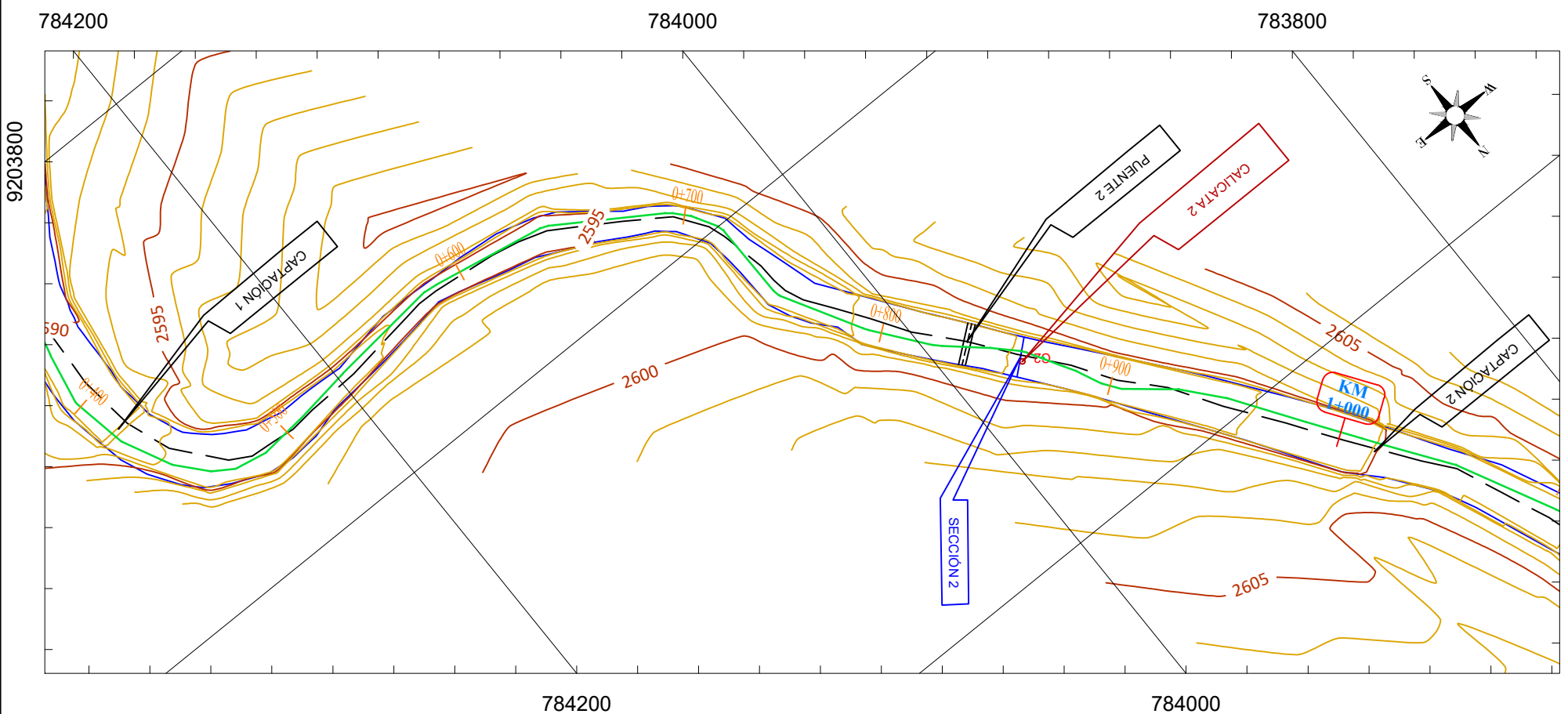
UNIVERSIDAD NACIONAL DE CAJAMARCA
FACULTAD DE INGENIERÍA
ESCUELA ACADÉMICO PROFESIONAL DE INGENIERÍA HIDRÁULICA

TESIS: RUGOSIDAD DE MANNING EN EL CAUCE DEL
RÍO CAJAMARQUINO, TRAMO PUENTE
LLACANORA - HUAYRAPONGO PARA LOS
PERÍODOS DE ESTIAJE Y LLUVIAS

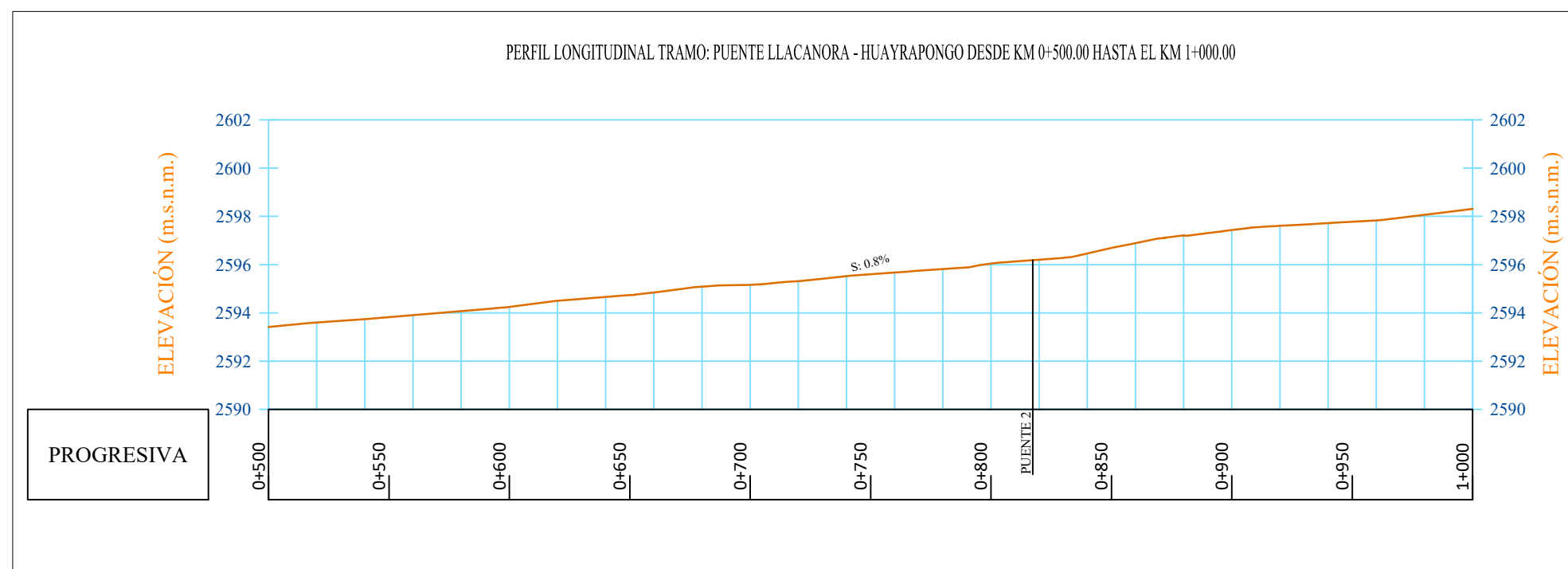
PLANO EN PLANTA
TESISTA: BACH. JAIRO GUÍVAR SÁNCHEZ

ASESOR: DR. ING. LUIS VÁSQUEZ RAMÍREZ
ESCALA: 1/2500 FECHA: 19 / 09 / 2022

PLANTA: TRAMO PUENTE LLACANORA - HUAYRAPONGO



PERFIL LONGITUDINAL TRAMO: PUENTE LLACANORA - HUAYRAPONGO DESDE KM 0+500.00 HASTA EL KM 1+000.00



TRAMO ESTUDIO - RÍO CAJAMARQUINO				
	ESTE	NORTE	ALTITUD	PK
Inicio - Puente Llacanora	784035	9203598	2589.25	0 + 000
Fin - Huayrapongo	780340	9205097	2631	5 + 320

PUENTES		
N°	ESTE	NORTE
1	784035	9203598
2	783983	9204103
3	783715	9204585
4	783053	9204753

DIMENSIONES DEL RÍO	
Longitud	5320 m.
Ancho mínimo	9.10 m.
Ancho máximo	60.30 m.

SECCIONES DE AFORO					
N. SECCION	ESTE	NORTE	PK	TRAMO	UNIDAD
SECCIÓN 1	784170	9203701	0+170	80.53	m
SECCIÓN 2	783969	9204122	0+844	98.55	m
SECCIÓN 3	783686	9204584	1+555	55.47	m
SECCIÓN 4	783019	9204755	2+330	100.64	m
SECCIÓN 5	782537	9204889	2+844	95.48	m
SECCIÓN 6	781861	9205012	3+620	80.36	m
SECCIÓN 7	781286	9204887	4+215	53.44	m
SECCIÓN 8	780452	9204975	5+070	100.12	m
LONG. TOTAL				664.59	m

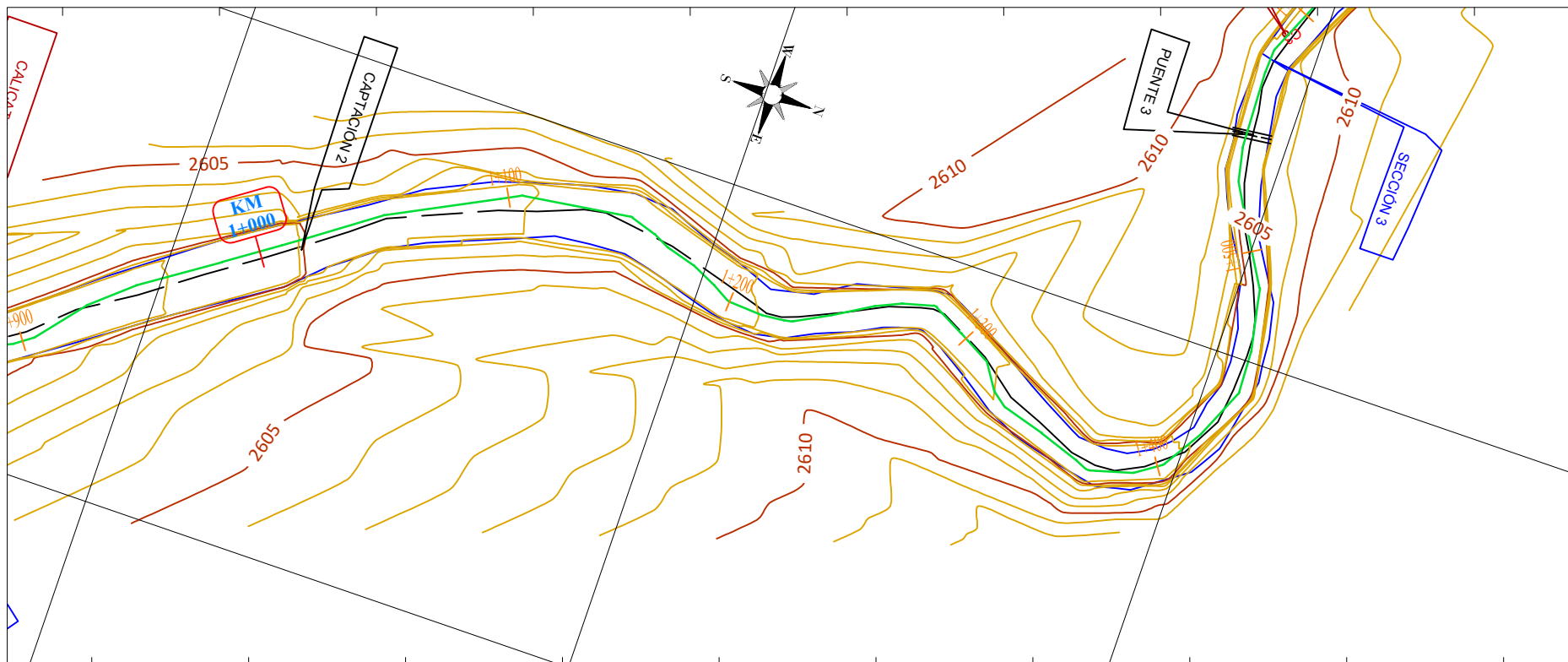
Punto de muestreado	Este	Norte	Altitud
CALICATA 1	784092	9203640	2584.77
CALICATA 2	783971	9204125	2597.18
CALICATA 3	783674	9204585	2605.71
CALICATA 4	783027	9204751	2611.98
CALICATA 5	782532	9204887	2614.12
CALICATA 6	781854	9205006	2618.25
CALICATA 7	781290	9204884	2621.31
CALICATA 8	780448	9204980	2630.14

	UNIVERSIDAD NACIONAL DE CAJAMARCA					
	FACULTAD DE INGENIERÍA					
ESCUELA ACADÉMICO PROFESIONAL DE INGENIERÍA HIDRÁULICA						
TESIS: RUGOSIDAD DE MANNING EN EL CAUCE DEL RÍO CAJAMARQUINO, TRAMO PUENTE LLACANORA - HUAYRAPONGO PARA LOS PERÍODOS DE ESTIAJE Y LLUVIAS						
PLANO EN PLANTA Y PERFIL						
TESISTA: BACH. JAIRO GUÍVAR SÁNCHEZ						
ASESOR: DR.ING. LUIS VASQUEZ RAMÍREZ						
ESCALA: 1/2500 FECHA: 19 / 09 / 2022						

2

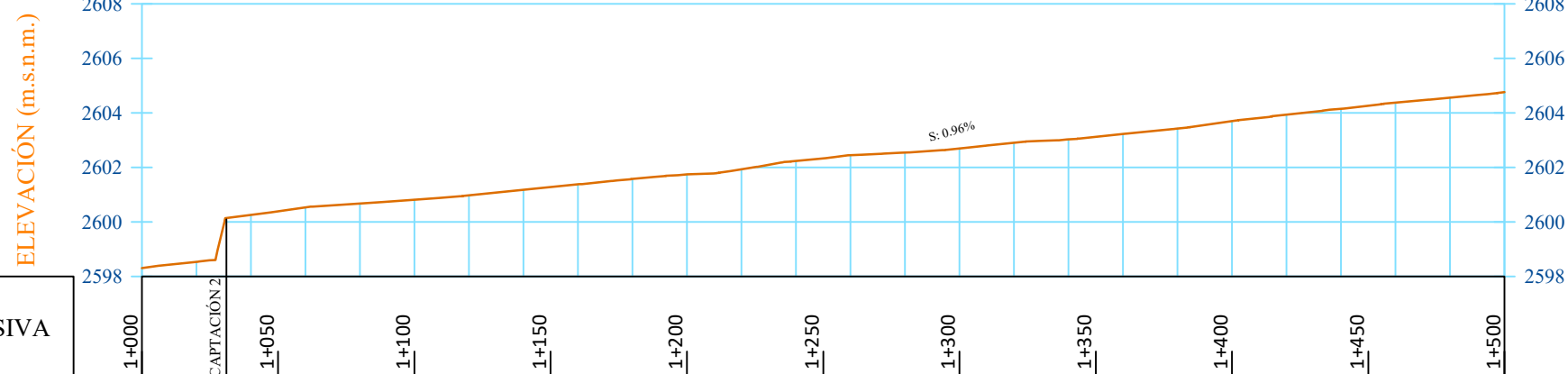
PLANTA: TRAMO PUENTE LLACANORA - HUAYRAPONGO

783800



784000

PERFIL LONGITUDINAL TRAMO: PUENTE LLACANORA - HUAYRAPONGO DESDE KM 1+000.00 HASTA EL KM 1+500.00



PROGRESIVA

783800

TRAMO ESTUDIO - RÍO CAJAMARQUINO

	ESTE	NORTE	ALTITUD	PK
Inicio - Puente Llacanora	784035	9203598	2589.25	0 + 000
Fin - Huayrapongo	780340	9205097	2631	5 + 320

PUENTES

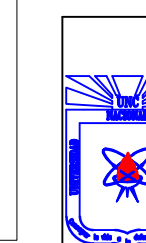
Nº	ESTE	NORTE	PK
1	784035	9203598	0 + 00
2	783983	9204103	0 + 820
3	783715	9204585	1 + 519
4	783053	9204753	2 + 296

DIMENSIONES DEL RÍO	
Longitud	5320 m.
Ancho mínimo	9.10 m.
Ancho máximo	60.30 m.

SECCIONES DE AFORO

N. SECCION	ESTE	NORTE	PK	TRAMO	UNIDAD
SECCIÓN 1	784170	9203701	0+170	80.53	m
SECCIÓN 2	783969	9204122	0+844	98.55	m
SECCIÓN 3	783686	9204584	1+555	55.47	m
SECCIÓN 4	783019	9204755	2+330	100.64	m
SECCIÓN 5	782537	9204889	2+844	95.48	m
SECCIÓN 6	781861	9205012	3+620	80.36	m
SECCIÓN 7	781286	9204887	4+215	53.44	m
SECCIÓN 8	780452	9204975	5+070	100.12	m
LONG. TOTAL				664.59	m

Punto de muestreado	Este	Norte	Altitud
CALICATA 1	784092	9203640	2584.77
CALICATA 2	783971	9204125	2597.18
CALICATA 3	783674	9204583	2605.71
CALICATA 4	783027	9204751	2611.98
CALICATA 5	782532	9204887	2614.12
CALICATA 6	781854	9205006	2618.25
CALICATA 7	781290	9204884	2621.31
CALICATA 8	780448	9204980	2630.14



UNIVERSIDAD NACIONAL DE CAJAMARCA

FACULTAD DE INGENIERÍA

ESCUELA ACADÉMICO PROFESIONAL DE INGENIERÍA HIDRÁULICA

TESIS: RUGOSIDAD DE MANNING EN EL CAUCE DEL
RÍO CAJAMARQUINO, TRAMO PUENTE
LLACANORA - HUAYRAPONGO PARA LOS
PERÍODOS DE ESTIAJE Y LLUVIAS

PLANO EN PLANTA Y PERFIL

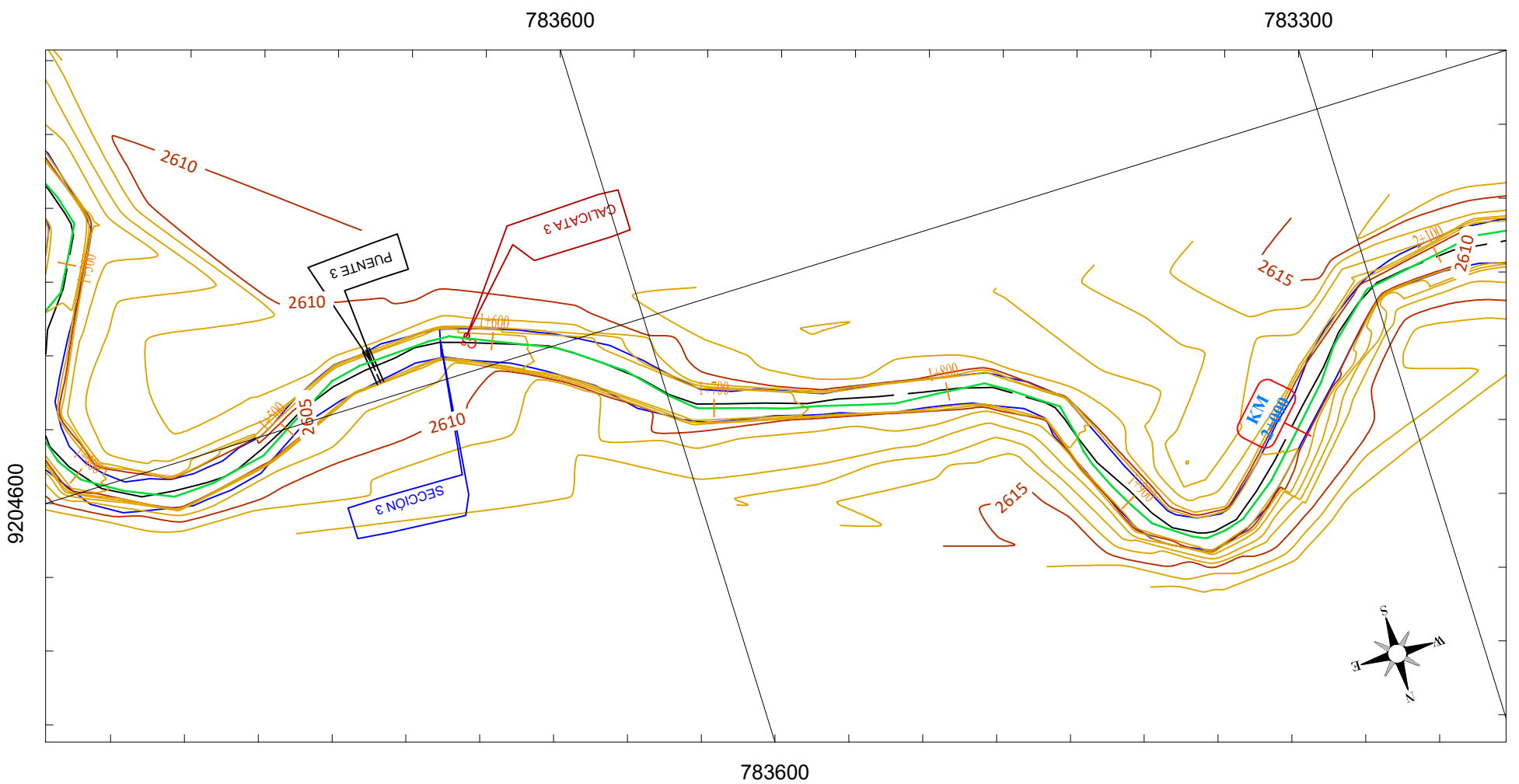
TESISTA: BACH. JAIRO GUÍVAR SÁNCHEZ

ASESOR: DR.ING. LUIS VASQUEZ RAMÍREZ

ESCALA: 1/2500 FECHA: 19 / 09 / 2022

3

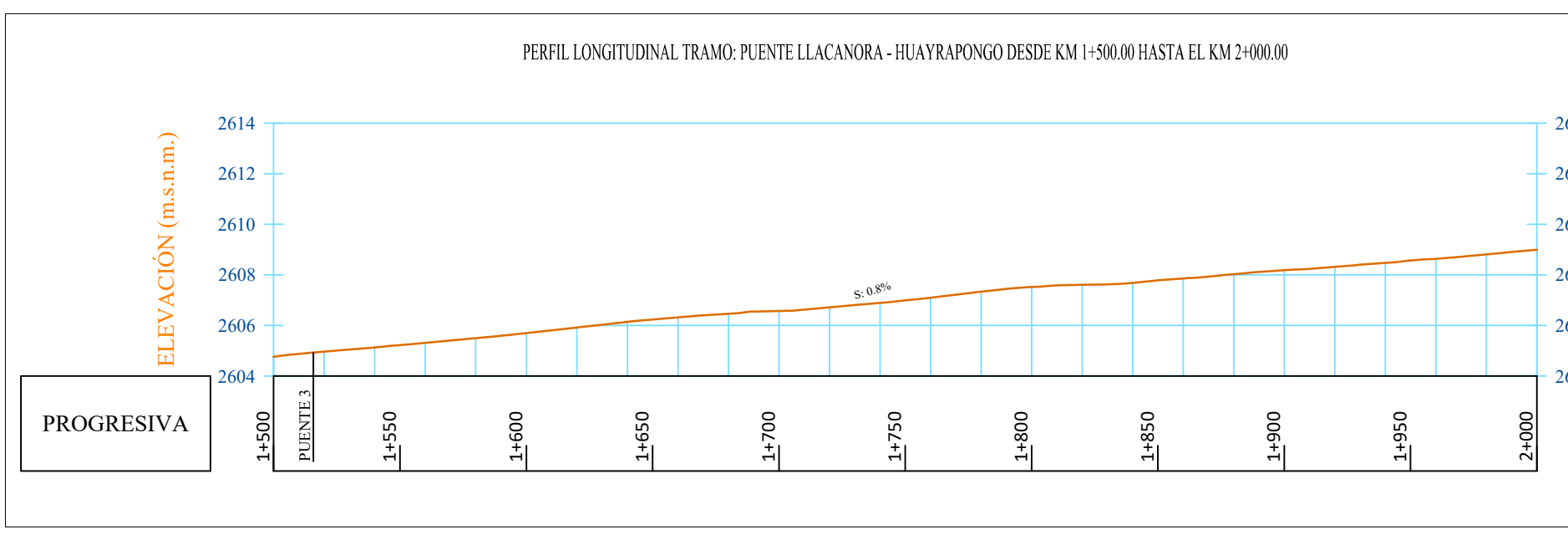
PLANTA: TRAMO PUENTE LLACANORA - HUAYRAPONGO



TRAMO ESTUDIO - RÍO CAJAMARQUINO			
	ESTE	NORTE	ALTITUD
Inicio - Puente Llacanora	784035	9203598	2589.25
Fin - Huayrapongo	780340	9205097	2631
PUENTES			
N°	ESTE	NORTE	PK
1	784035	9203598	0 + 00
2	783983	9204103	0 + 820
3	783715	9204585	1 + 519
4	783053	9204753	2 + 296
DIMENSIONES DEL RÍO			
Longitud	5320 m.		
Ancho mínimo	9.10 m.		
Ancho máximo	60.30 m.		

SECCIONES DE AFORO				
N. SECCION	ESTE	NORTE	PK	TRAMO
SECCIÓN 1	784170	9203701	0+170	80.53
SECCIÓN 2	783969	9204122	0+844	98.55
SECCIÓN 3	783686	9204584	1+555	55.47
SECCIÓN 4	783019	9204755	2+330	100.64
SECCIÓN 5	782537	9204889	2+844	95.48
SECCIÓN 6	781861	9205012	3+620	80.36
SECCIÓN 7	781286	9204887	4+215	53.44
SECCIÓN 8	780452	9204975	5+070	100.12
LONG. TOTAL				664.59

Punto de muestreado	Este	Norte	Altitud
CALICATA 1	784092	9203640	2584.77
CALICATA 2	783971	9204125	2597.18
CALICATA 3	783674	9204585	2605.71
CALICATA 4	783027	9204751	2611.98
CALICATA 5	782532	9204887	2614.12
CALICATA 6	781854	9205006	2618.25
CALICATA 7	781290	9204884	2621.31
CALICATA 8	780448	9204980	2630.14



UNIVERSIDAD NACIONAL DE CAJAMARCA
FACULTAD DE INGENIERÍA
ESCUELA ACADÉMICO PROFESIONAL DE INGENIERÍA HIDRÁULICA

TESIS: RUGOSIDAD DE MANNING EN EL CAUCE DEL
RÍO CAJAMARQUINO, TRAMO PUENTE
LLACANORA - HUAYRAPONGO PARA LOS
PERÍODOS DE ESTIAJE Y LLUVIAS

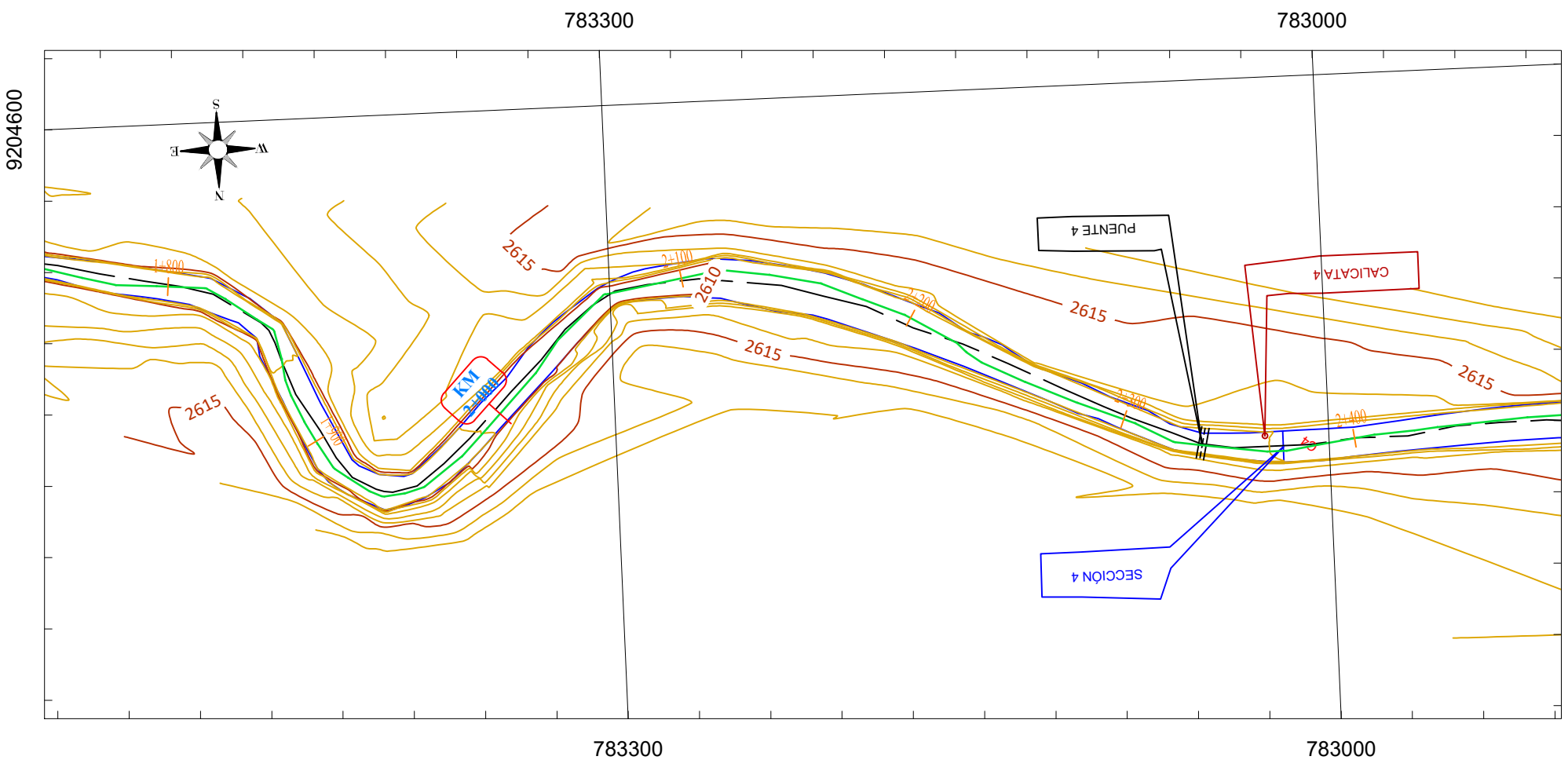
PLANO EN PLANTA Y PERFIL

TESISTA: BACH. JAIRO GUÍVAR SÁNCHEZ

ASESOR: DR. ING. LUIS VÁSQUEZ RAMÍREZ

ESCALA: 1/2500 FECHA: 19 / 09 / 2022

PLANTA: TRAMO PUENTE LLACANORA - HUAYRAPONGO



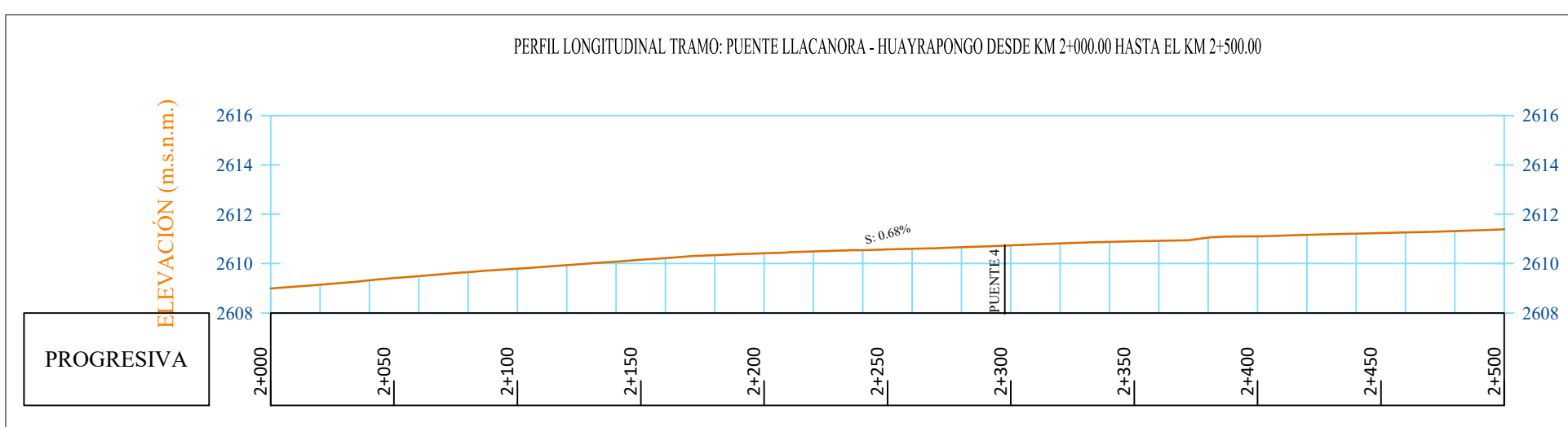
TRAMO ESTUDIO - RÍO CAJAMARQUINO			
	ESTE	NORTE	ALTITUD
Inicio - Puente Llacanora	784035	9203598	2589.25
Fin - Huayrapongo	780340	9205097	2631

PUENTES			
Nº	ESTE	NORTE	PK
1	784035	9203598	0 + 00
2	783983	9204103	0 + 820
3	783715	9204585	1 + 519
4	783053	9204753	2 + 296

DIMENSIONES DEL RÍO	
Longitud	5320 m.
Ancho mínimo	9.10 m.
Ancho máximo	60.30 m.

SECCIONES DE AFORO					
N. SECCION	ESTE	NORTE	PK	TRAMO	UNIDAD
SECCIÓN 1	784170	9203701	0+170	80.53	m
SECCIÓN 2	783969	9204122	0+844	98.55	m
SECCIÓN 3	783686	9204584	1+555	55.47	m
SECCIÓN 4	783019	9204755	2+330	100.64	m
SECCIÓN 5	782537	9204889	2+844	95.48	m
SECCIÓN 6	781861	9205012	3+620	80.36	m
SECCIÓN 7	781286	9204887	4+215	53.44	m
SECCIÓN 8	780452	9204975	5+070	100.12	m
LONG. TOTAL				664.59	m

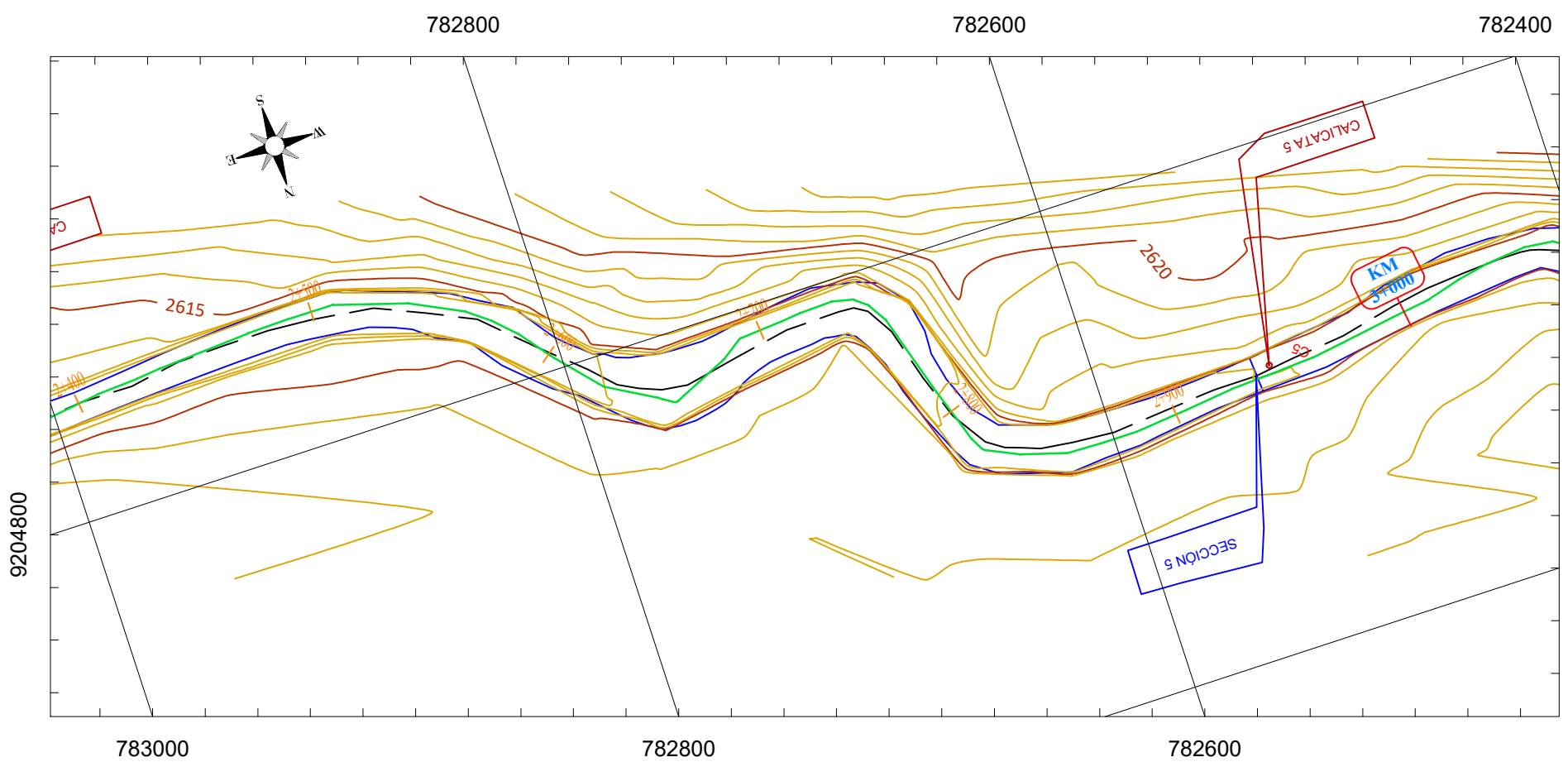
Punto de muestreado	Este	Norte	Altitud
CALICATA 1	784092	9203640	2584.77
CALICATA 2	783971	9204125	2597.18
CALICATA 3	783674	9204585	2605.71
CALICATA 4	783027	9204751	2611.98
CALICATA 5	782532	9204887	2614.12
CALICATA 6	781854	9205006	2618.25
CALICATA 7	781290	9204884	2621.31
CALICATA 8	780448	9204980	2630.14



UNIVERSIDAD NACIONAL DE CAJAMARCA
FACULTAD DE INGENIERÍA
ESCUELA ACADÉMICO PROFESIONAL DE INGENIERÍA HIDRÁULICA

TESIS: RUGOSIDAD DE MANNING EN EL CAUCE DEL RÍO CAJAMARQUINO, TRAMO PUENTE LLACANORA - HUAYRAPONGO PARA LOS PERÍODOS DE ESTIAJE Y LLUVIAS
PLANO EN PLANTA Y PERFIL
TESISTA: BACH. JAIRÓ GUIVAR SÁNCHEZ
ASESOR: DR.ING. LUIS VÁSQUEZ RAMÍREZ
ESCALA: 1/2500 FECHA: 19 / 09 / 2022

PLANTA: TRAMO PUENTE LLACANORA - HUAYRAPONGO



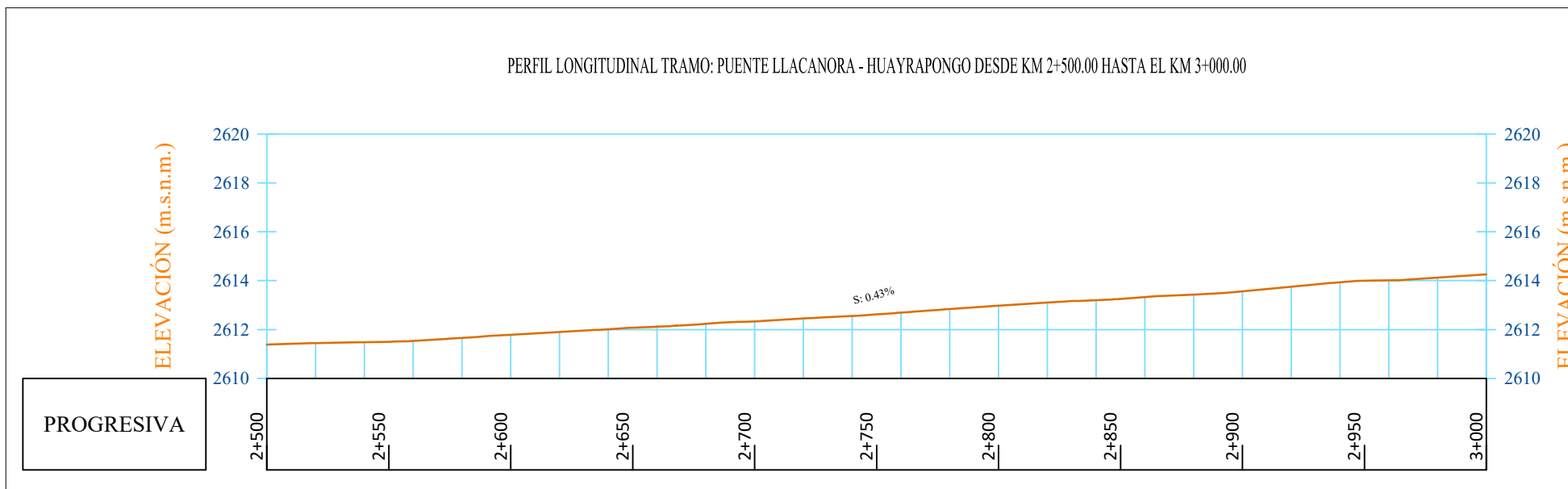
TRAMO ESTUDIO - RÍO CAJAMARQUINO				
	ESTE	NORTE	ALTITUD	PK
Inicio - Puente Llacanora	784035	9203598	2589.25	0 + 000
Fin - Huayrapongo	780340	9205097	2631	5 + 320

PUENTES				
Nº	ESTE	NORTE	PK	
1	784035	9203598	0 + 00	
2	783983	9204103	0 + 820	
3	783715	9204585	1 + 519	
4	783053	9204753	2 + 296	

DIMENSIONES DEL RÍO			
Longitud	5320 m.		
Ancho mínimo	9.10 m.		
Ancho máximo	60.30 m.		

SECCIONES DE AFORO					
N. SECCION	ESTE	NORTE	PK	TRAMO	UNIDAD
SECCIÓN 1	784170	9203701	0+170	80.53	m
SECCIÓN 2	783969	9204122	0+844	98.55	m
SECCIÓN 3	783686	9204584	1+555	55.47	m
SECCIÓN 4	783019	9204755	2+330	100.64	m
SECCIÓN 5	782537	9204889	2+844	95.48	m
SECCIÓN 6	781861	9205012	3+620	80.36	m
SECCIÓN 7	781286	9204887	4+215	53.44	m
SECCIÓN 8	780452	9204975	5+070	100.12	m
LONG. TOTAL				664.59	m

Punto de muestreado	Este	Norte	Altitud
CALICATA 1	784092	9203640	2584.77
CALICATA 2	783971	9204125	2597.18
CALICATA 3	783674	9204585	2605.71
CALICATA 4	783027	9204751	2611.98
CALICATA 5	782532	9204887	2614.12
CALICATA 6	781854	9205006	2618.25
CALICATA 7	781290	9204884	2621.31
CALICATA 8	780448	9204980	2630.14



UNIVERSIDAD NACIONAL DE CAJAMARCA
FACULTAD DE INGENIERÍA
ESCUELA ACADÉMICO PROFESIONAL DE INGENIERÍA HIDRÁULICA

TESIS: RUGOSIDAD DE MANNING EN EL CAUCE DEL RÍO CAJAMARQUINO, TRAMO PUENTE LLACANORA - HUAYRAPONGO PARA LOS PERÍODOS DE ESTIAJE Y LLUVIAS

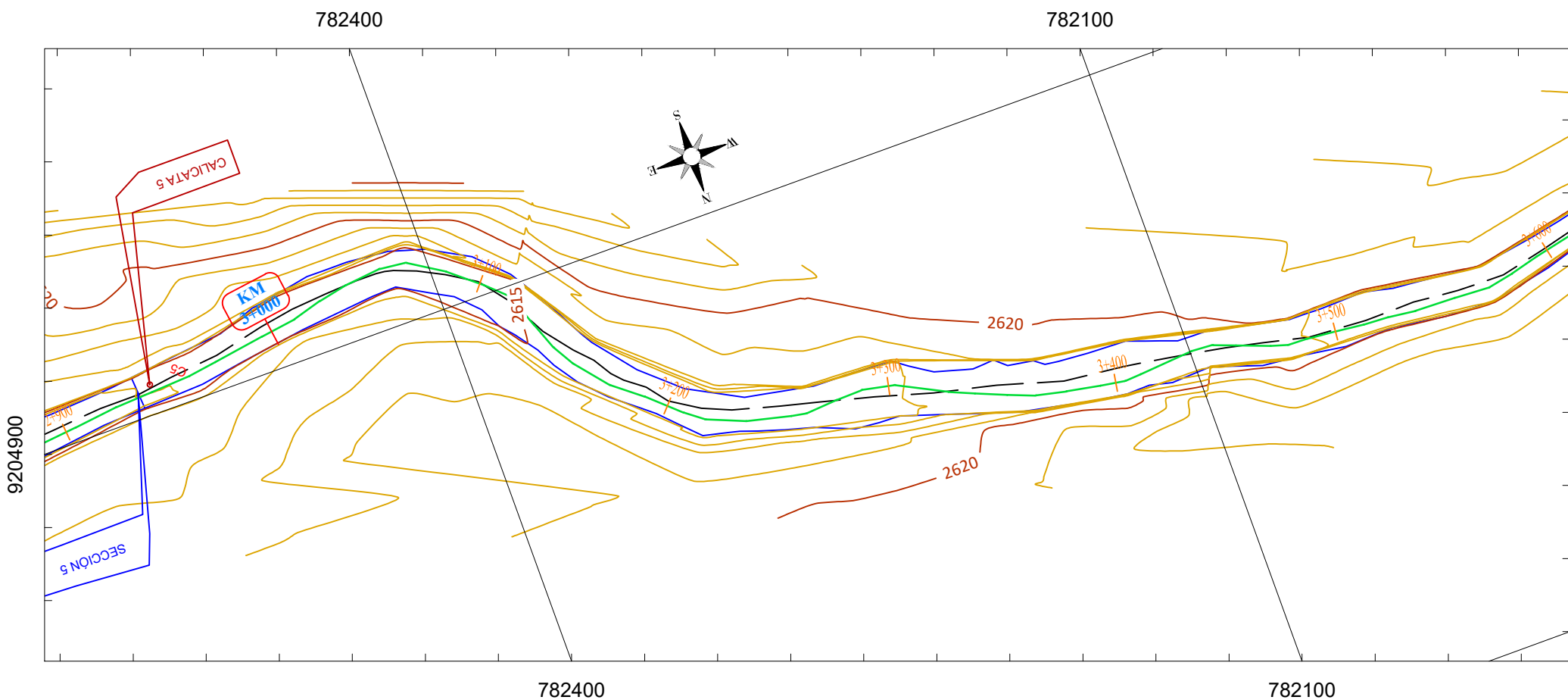
PLANO EN PLANTA Y PERFIL

TESISTA: BACH. JAIRO GUÍVAR SÁNCHEZ

ASESOR: DR.ING. LUIS VÁSQUEZ RAMÍREZ

ESCALA: 1/2500 FECHA: 19 / 09 / 2022

PLANTA: TRAMO PUENTE LLACANORA - HUAYRAPONGO



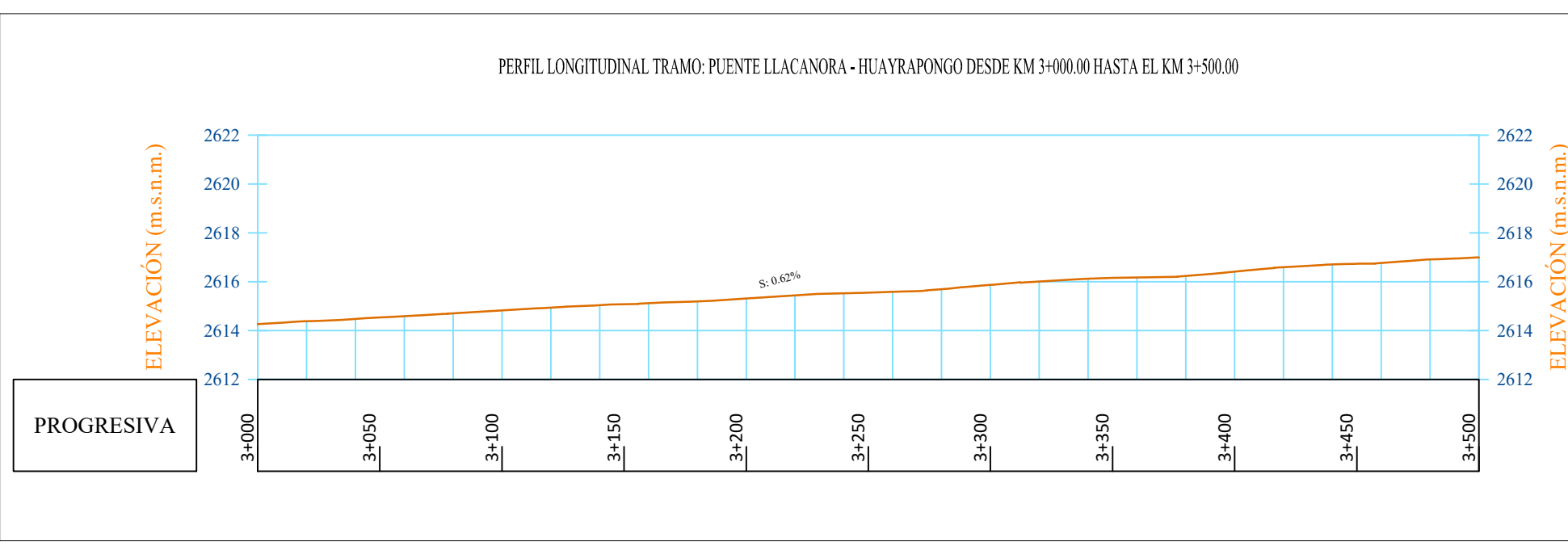
TRAMO ESTUDIO - RÍO CAJAMARQUINO				
	ESTE	NORTE	ALTITUD	PK
Inicio - Puente Llacanora	784035	9203598	2589.25	0 + 000
Fin - Huayrapongo	780340	9205097	2631	5 + 320

PUENTES		
Nº	ESTE	NORTE
1	784035	9203598
2	783983	9204103
3	783715	9204585
4	783053	9204753

DIMENSIONES DEL RÍO	
Longitud	5320 m.
Ancho mínimo	9.10 m.
Ancho máximo	60.30 m.

SECCIONES DE AFORO					
N. SECCION	ESTE	NORTE	PK	TRAMO	UNIDAD
SECCIÓN 1	784170	9203701	0+170	80.53	m
SECCIÓN 2	783969	9204122	0+844	98.55	m
SECCIÓN 3	783686	9204584	1+555	55.47	m
SECCIÓN 4	783019	9204755	2+330	100.64	m
SECCIÓN 5	782537	9204889	2+844	95.48	m
SECCIÓN 6	781861	9205012	3+620	80.36	m
SECCIÓN 7	781286	9204887	4+215	53.44	m
SECCIÓN 8	780452	9204975	5+070	100.12	m
LONG. TOTAL				664.59	m

Punto de muestreado	Este	Norte	Altitud
CALICATA 1	784092	9203640	2584.77
CALICATA 2	783971	9204125	2597.18
CALICATA 3	783674	9204585	2605.71
CALICATA 4	783027	9204751	2611.98
CALICATA 5	782532	9204887	2614.12
CALICATA 6	781854	9205006	2618.25
CALICATA 7	781290	9204884	2621.31
CALICATA 8	780448	9204980	2630.14

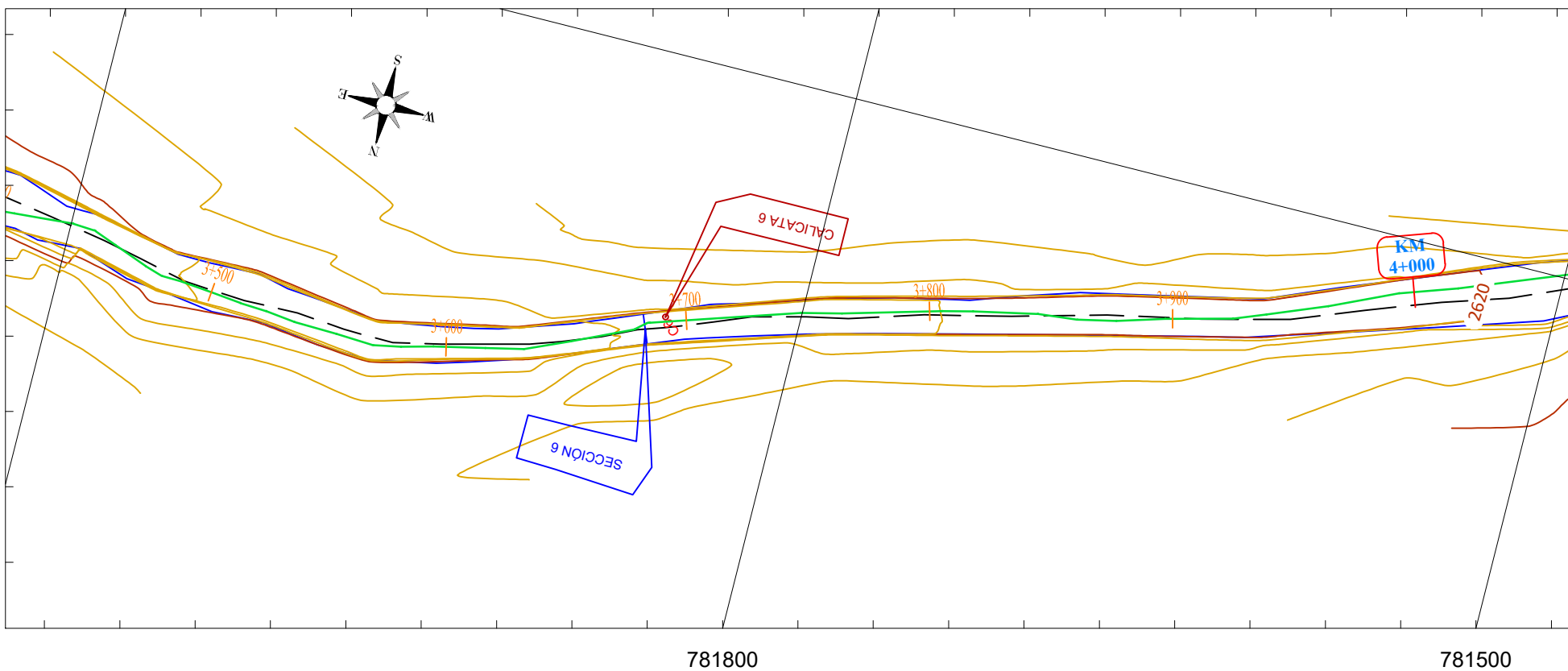


PLANTA: TRAMO PUENTE LLACANORA - HUAYRAPONGO

782100

781800

9204900



TRAMO ESTUDIO - RÍO CAJAMARQUINO

	ESTE	NORTE	ALTITUD	PK
Inicio - Puente Llacanora	784035	9203598	2589.25	0 + 000
Fin - Huayrapongo	780340	9205097	2631	5 + 320

PUENTES

Nº	ESTE	NORTE	PK
1	784035	9203598	0 + 00
2	783983	9204103	0 + 820
3	783715	9204585	1 + 519
4	783053	9204753	2 + 296

DIMENSIONES DEL RÍO	
Longitud	5320 m.
Ancho mínimo	9.10 m.
Ancho máximo	60.30 m.

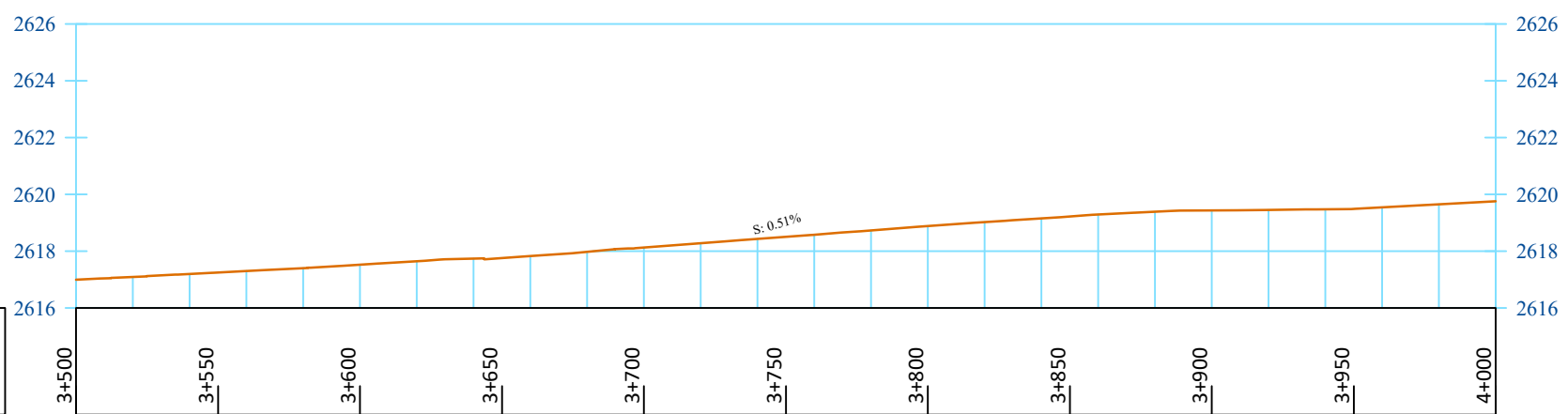
SECCIONES DE AFORO

N. SECCION	ESTE	NORTE	PK	TRAMO	UNIDAD
SECCIÓN 1	784170	9203701	0+170	80.53	m
SECCIÓN 2	783969	9204122	0+844	98.55	m
SECCIÓN 3	783686	9204584	1+555	55.47	m
SECCIÓN 4	783019	9204755	2+330	100.64	m
SECCIÓN 5	782537	9204889	2+844	95.48	m
SECCIÓN 6	781861	9205012	3+620	80.36	m
SECCIÓN 7	781286	9204887	4+215	53.44	m
SECCIÓN 8	780452	9204975	5+070	100.12	m
LONG. TOTAL				664.59	m

Punto de muestreado	Este	Norte	Altitud
CALICATA 1	784092	9203640	2584.77
CALICATA 2	783971	9204125	2597.18
CALICATA 3	783674	9204585	2605.71
CALICATA 4	783027	9204751	2611.98
CALICATA 5	782532	9204887	2614.12
CALICATA 6	781854	9205006	2618.25
CALICATA 7	781290	9204884	2621.31
CALICATA 8	780448	9204980	2630.14

PERFIL LONGITUDINAL TRAMO: PUENTE LLACANORA - HUAYRAPONGO DESDE KM 3+500.00 HASTA EL KM 4+000.00

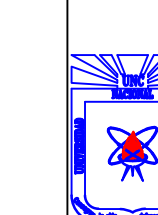
ELEVACIÓN (m.s.n.m.)



PROGRESIVA

UNIVERSIDAD NACIONAL DE CAJAMARCA
FACULTAD DE INGENIERÍA
ESCUELA ACADÉMICO PROFESIONAL DE INGENIERÍA HIDRÁULICA

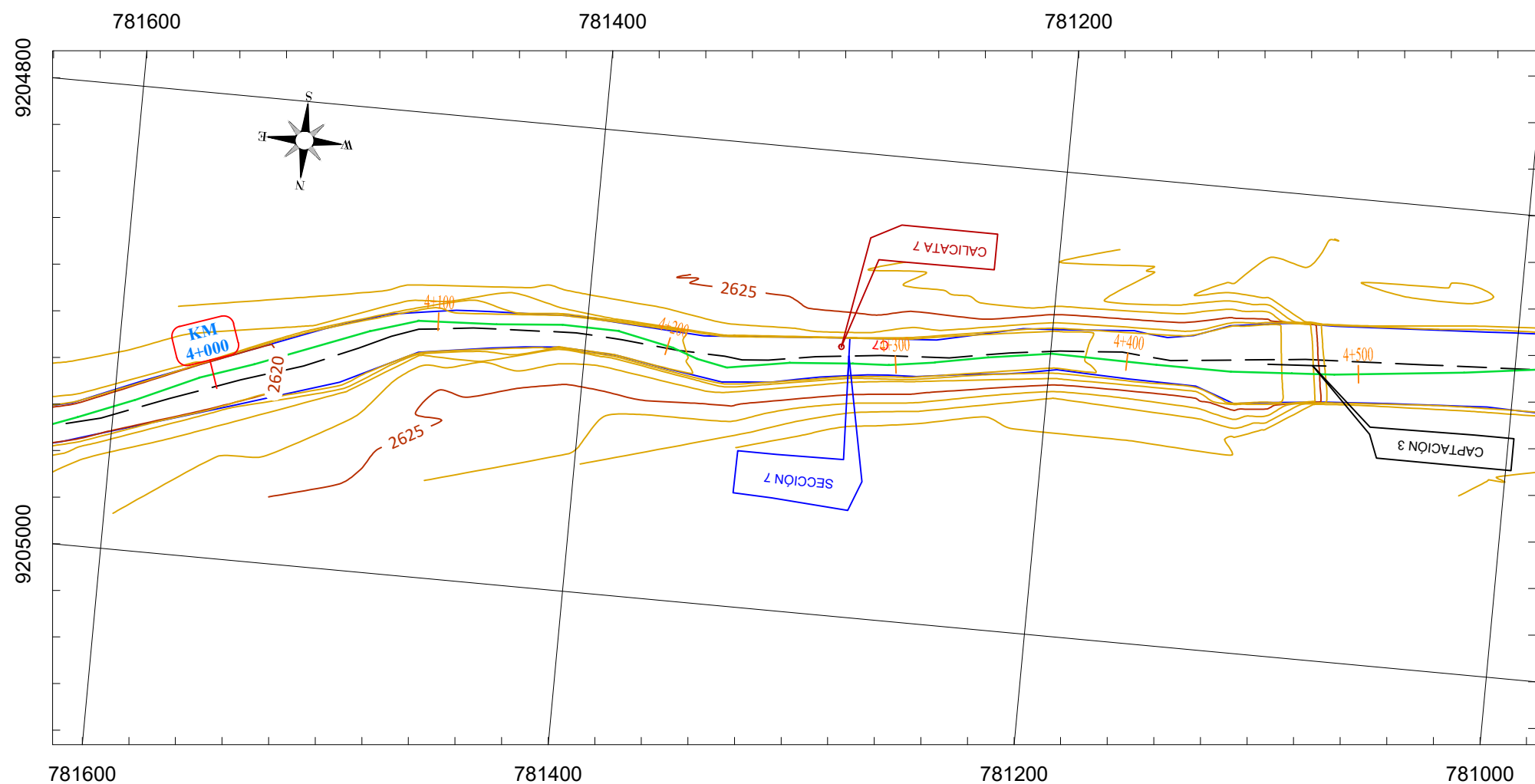
TESIS: RUGOSIDAD DE MANNING EN EL CAUCE DEL
RÍO CAJAMARQUINO, TRAMO PUENTE
LLACANORA - HUAYRAPONGO PARA LOS
PERÍODOS DE ESTIAJE Y LLUVIAS
PLANO EN PLANTA Y PERFIL
TESISTA: BACH. JAIRO GUÍVAR SÁNCHEZ



ASESOR:
DR.ING. LUIS VÁSQUEZ RAMÍREZ
ESCALA: 1/2500 FECHA: 19 / 09 / 2022

8

PLANTA: TRAMO PUENTE LLACANORA - HUAYRAPONGO



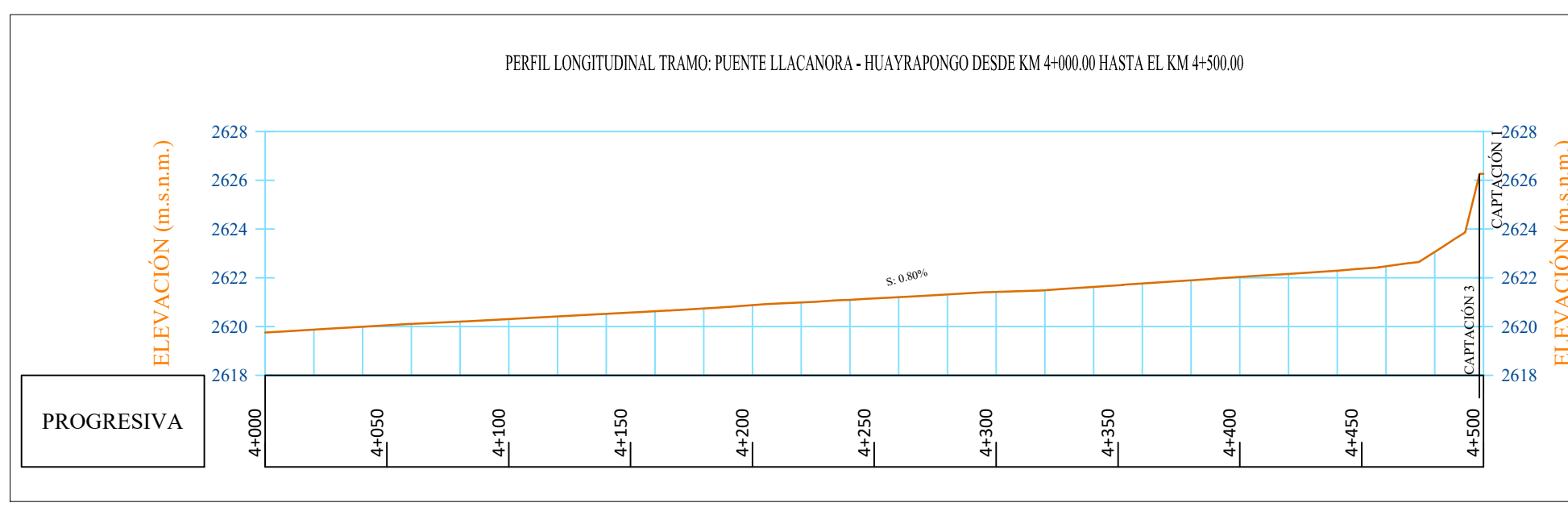
TRAMO ESTUDIO - RÍO CAJAMARQUINO				
	ESTE	NORTE	ALTITUD	PK
Inicio - Puente Llacanora	784035	9203598	2589.25	0 + 000
Fin - Huayrapongo	780340	9205097	2631	5 + 320

PUENTES		
N°	ESTE	NORTE
1	784035	9203598
2	783983	9204103
3	783715	9204585
4	783053	9204753

DIMENSIONES DEL RÍO	
Longitud	5320 m.
Ancho mínimo	9.10 m.
Ancho máximo	60.30 m.

SECCIONES DE AFORO					
N. SECCION	ESTE	NORTE	PK	TRAMO	UNIDAD
SECCIÓN 1	784170	9203701	0+170	80.53	m
SECCIÓN 2	783969	9204122	0+844	98.55	m
SECCIÓN 3	783686	9204584	1+555	55.47	m
SECCIÓN 4	783019	9204755	2+330	100.64	m
SECCIÓN 5	782537	9204889	2+844	95.48	m
SECCIÓN 6	781861	9205012	3+620	80.36	m
SECCIÓN 7	781286	9204887	4+215	53.44	m
SECCIÓN 8	780452	9204975	5+070	100.12	m
LONG. TOTAL				664.59	m

Punto de muestreado	Este	Norte	Altitud
CALICATA 1	784092	9203640	2584.77
CALICATA 2	783971	9204125	2597.18
CALICATA 3	783674	9204585	2605.71
CALICATA 4	783027	9204751	2611.98
CALICATA 5	782532	9204887	2614.12
CALICATA 6	781854	9205006	2618.25
CALICATA 7	781290	9204884	2621.31
CALICATA 8	780448	9204980	2630.14



UNIVERSIDAD NACIONAL DE CAJAMARCA
FACULTAD DE INGENIERÍA
ESCUELA ACADÉMICO PROFESIONAL DE INGENIERÍA HIDRÁULICA

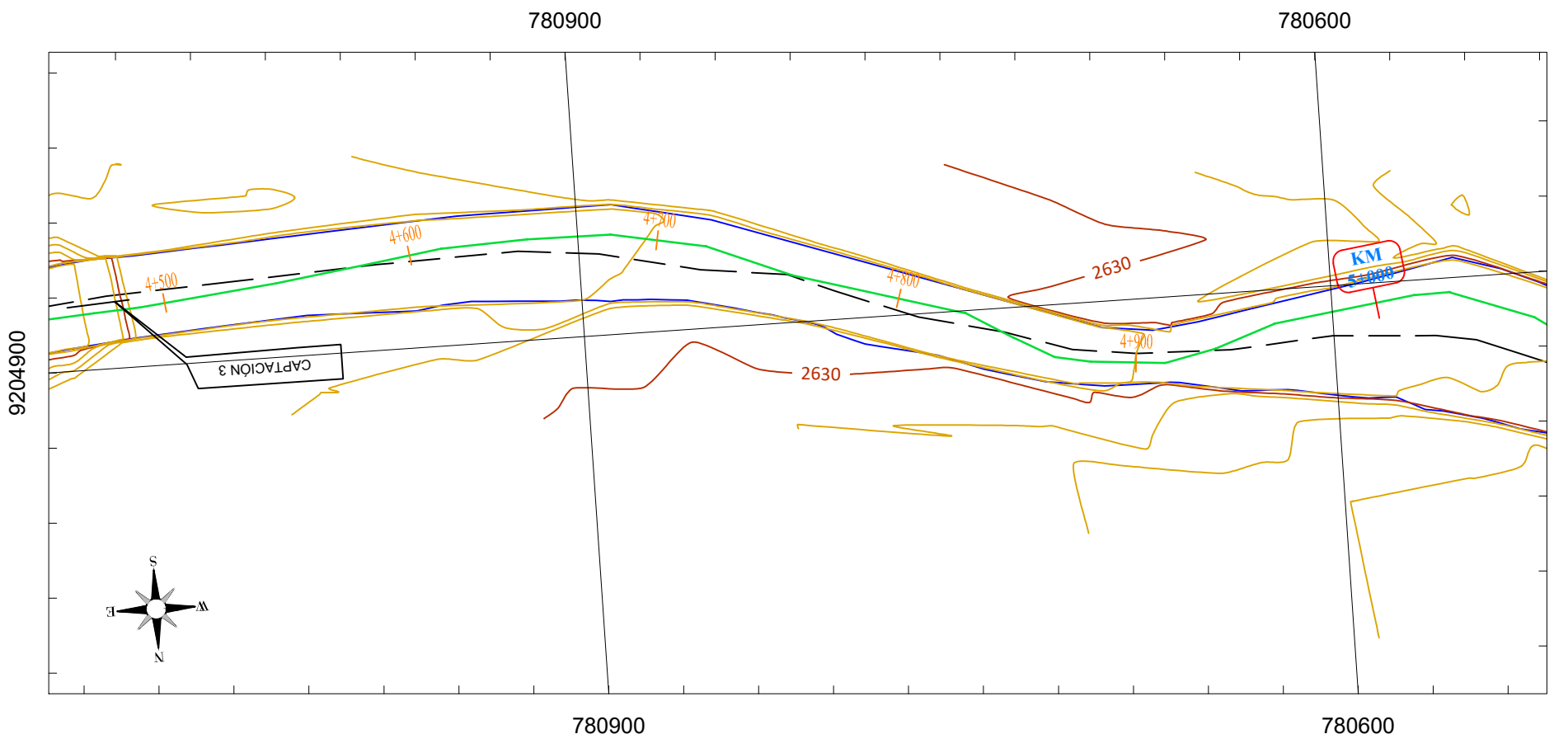
TESIS: RUGOSIDAD DE MANNING EN EL CAUCE DEL RÍO CAJAMARQUINO, TRAMO PUENTE LLACANORA - HUAYRAPONGO PARA LOS PERÍODOS DE ESTIAJE Y LLUVIAS

PLANO EN PLANTA Y PERFIL
TESISTA: BACH. JAIRO GUÍVAR SÁNCHEZ

ASESOR: DR.ING. LUIS VÁSQUEZ RAMÍREZ

ESCALA: 1/2500 FECHA: 19 / 09 / 2022

PLANTA: TRAMO PUENTE LLACANORA - HUAYRAPONGO



TRAMO ESTUDIO - RÍO CAJAMARQUINO			
	ESTE	NORTE	ALTITUD
Inicio - Puente Llacanora	784035	9203598	2589.25
Fin - Huayrapongo	780340	9205097	2631

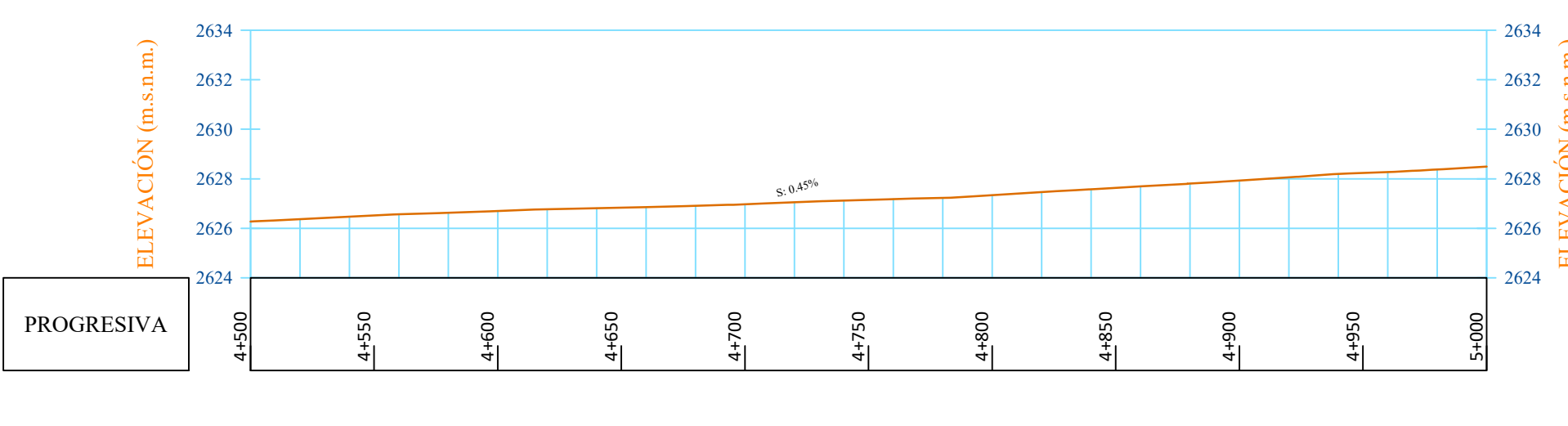
PUENTES			
Nº	ESTE	NORTE	PK
1	784035	9203598	0 + 00
2	783983	9204103	0 + 820
3	783715	9204585	1 + 519
4	783053	9204753	2 + 296

DIMENSIONES DEL RÍO	
Longitud	5320 m.
Ancho mínimo	9.10 m.
Ancho máximo	60.30 m.

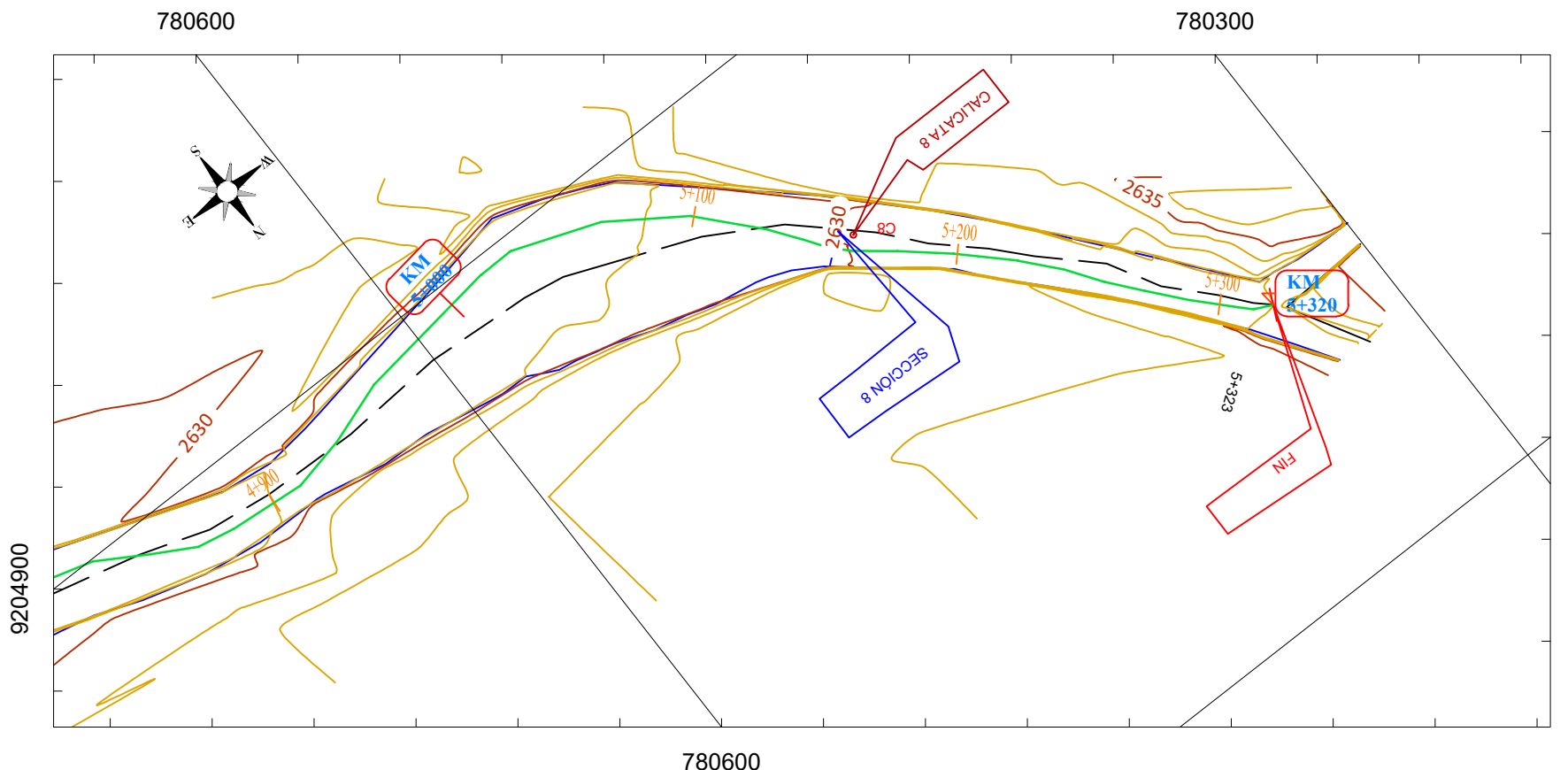
SECCIONES DE AFORO					
N. SECCION	ESTE	NORTE	PK	TRAMO	UNIDAD
SECCIÓN 1	784170	9203701	0+170	80.53	m
SECCIÓN 2	783969	9204122	0+844	98.55	m
SECCIÓN 3	783686	9204584	1+555	55.47	m
SECCIÓN 4	783019	9204755	2+330	100.64	m
SECCIÓN 5	782537	9204889	2+844	95.48	m
SECCIÓN 6	781861	9205012	3+620	80.36	m
SECCIÓN 7	781286	9204887	4+215	53.44	m
SECCIÓN 8	780452	9204975	5+070	100.12	m
LONG. TOTAL				664.59	m

Punto de muestrado	Este	Norte	Altitud
CALICATA 1	784092	9203640	2584.77
CALICATA 2	783971	9204125	2597.18
CALICATA 3	783674	9204585	2605.71
CALICATA 4	783027	9204751	2611.98
CALICATA 5	782532	9204887	2614.12
CALICATA 6	781854	9205006	2618.25
CALICATA 7	781290	9204884	2621.31
CALICATA 8	780448	9204980	2630.14

PERFIL LONGITUDINAL TRAMO: PUENTE LLACANORA - HUAYRAPONGO DESDE KM 4+500.00 HASTA EL KM 5+000.00



PLANTA: TRAMO PUENTE LLACANORA - HUAYRAPONGO

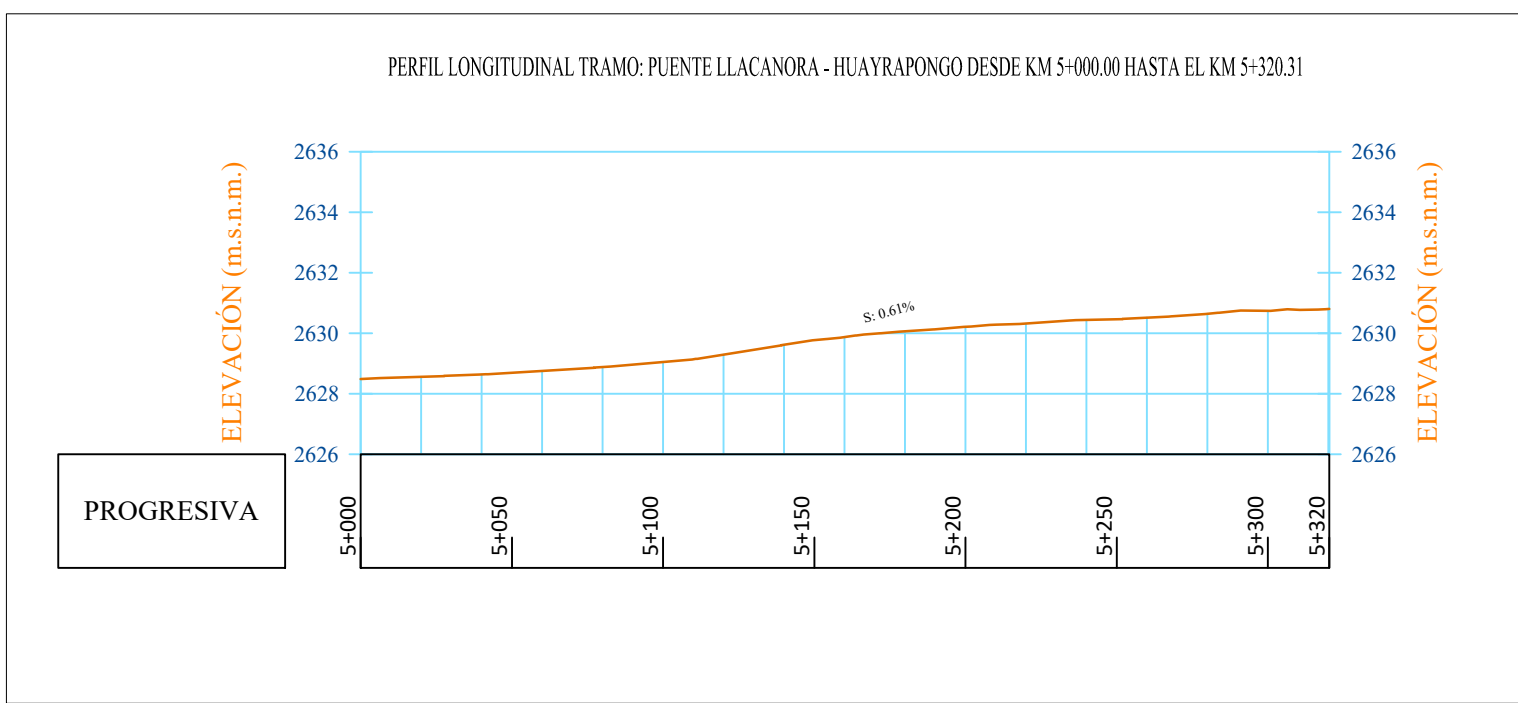


TRAMO ESTUDIO - RÍO CAJAMARQUINO			
	ESTE	NORTE	ALTITUD
Inicio - Puente Llacanora	784035	9203598	2589.25
Fin - Huayrapongo	780340	9205097	2631

PUENTES		
N°	ESTE	NORTE
1	784035	9203598
2	783983	9204103
3	783715	9204585
4	783053	9204753

DIMENSIONES DEL RÍO	
Longitud	5320 m.
Ancho mínimo	9.10 m.
Ancho máximo	60.30 m.

SECCIONES DE AFORO				
N. SECCIÓN	ESTE	NORTE	PK	TRAMO
SECCIÓN 1	784170	9203701	0+170	80.53
SECCIÓN 2	783969	9204122	0+844	98.55
SECCIÓN 3	783686	9204584	1+555	55.47
SECCIÓN 4	783019	9204755	2+330	100.64
SECCIÓN 5	782537	9204889	2+844	95.48
SECCIÓN 6	781861	9205012	3+620	80.36
SECCIÓN 7	781286	9204887	4+215	53.44
SECCIÓN 8	780452	9204975	5+070	100.12
LONG. TOTAL				664.59



Punto de muestreado	Este	Norte	Altitud
CALICATA 1	784092	9203640	2584.77
CALICATA 2	783971	9204125	2597.18
CALICATA 3	783674	9204585	2605.71
CALICATA 4	783027	9204751	2611.98
CALICATA 5	782532	9204887	2614.12
CALICATA 6	781854	9205006	2618.25
CALICATA 7	781290	9204884	2621.31
CALICATA 8	780448	9204980	2630.14

PLANO GEOLÓGICO DE LA CUENCA DEL RÍO CAJAMARQUINO



9230000

770000

780000

790000

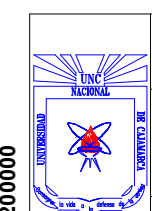
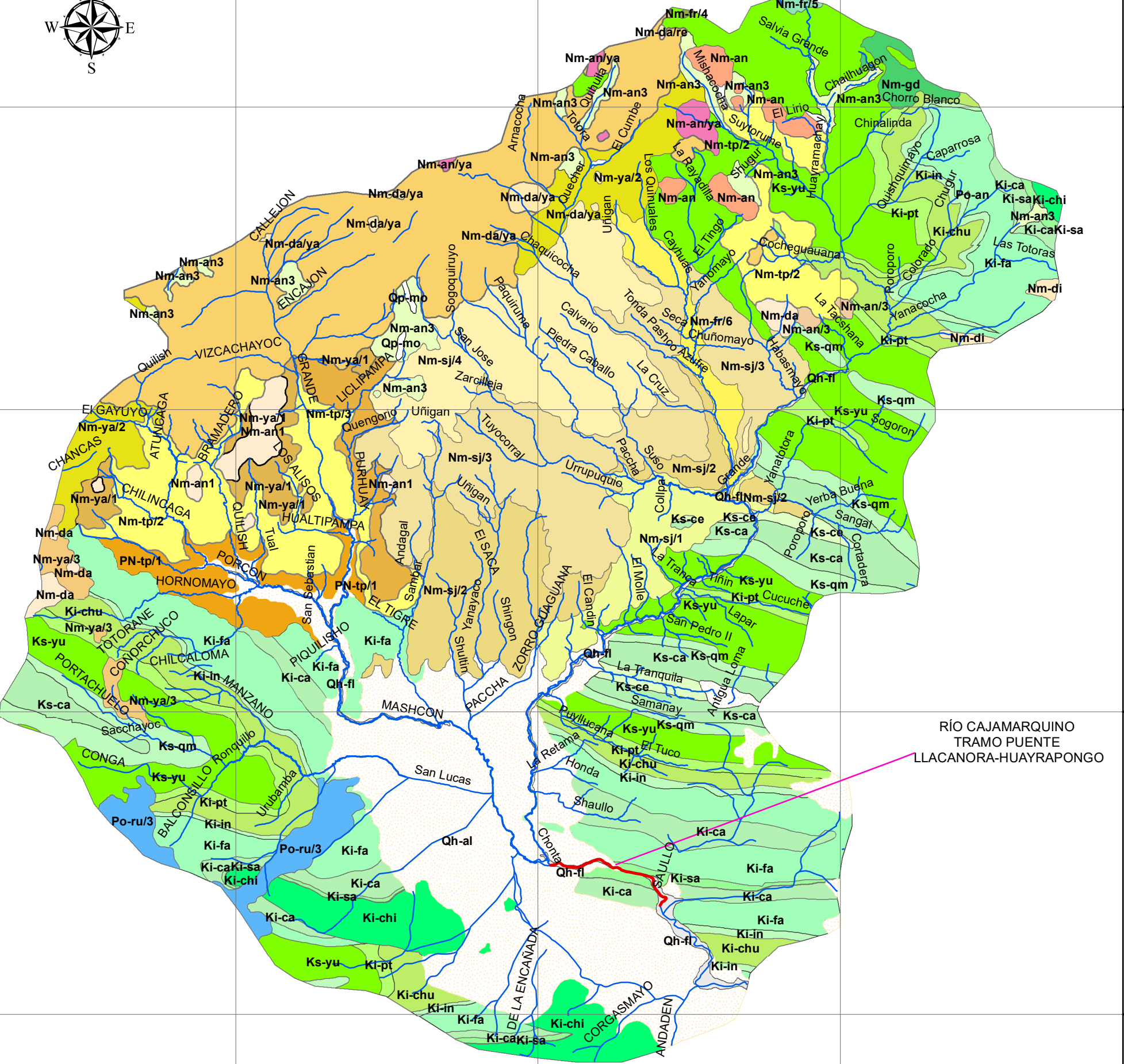
9220000

9210000

9200000

Formaciones geológicas

SEÑAL	Nm-da/ya
TRAMO	Nm-di
	Nm-fr/4
	Ki-ca
	Nm-fr/5
	Ki-chi
	Nm-fr/6
	Ki-chu
	Nm-gd
	Ki-fa
	Nm-sj/1
	Ki-in
	Nm-sj/2
	Ki-pt
	Nm-sj/3
	Ki-sa
	Nm-sj/4
	Ki-ca
	Nm-tp/2
	Ks-ce
	Nm-tp/3
	Ks-qm
	Nm-ya/1
	Ks-yu
	Nm-ya/2
	Nm-ya/3
	Nm-an
	Nm-an/3
	Nm-an/3
	PN-tp/1
	Po-an
	Nm-an1
	Po-ru/3
	Nm-an3
	Qh-al
	Qh-fl
	Nm-da/re
	Qp-mo



UNIVERSIDAD NACIONAL DE CAJAMARCA
FACULTAD DE INGENIERÍA
ESCUELA ACADÉMICO PROFESIONAL DE INGENIERÍA HIDRÁULICA

TESIS: RUGOSIDAD DE MANNING EN EL CAUCE DEL
RÍO CAJAMARQUINO, TRAMO PUENTE
LLACANORA – HUAYRAPONGO PARA LOS
PERÍODOS DE ESTIAJE Y LLUVIAS

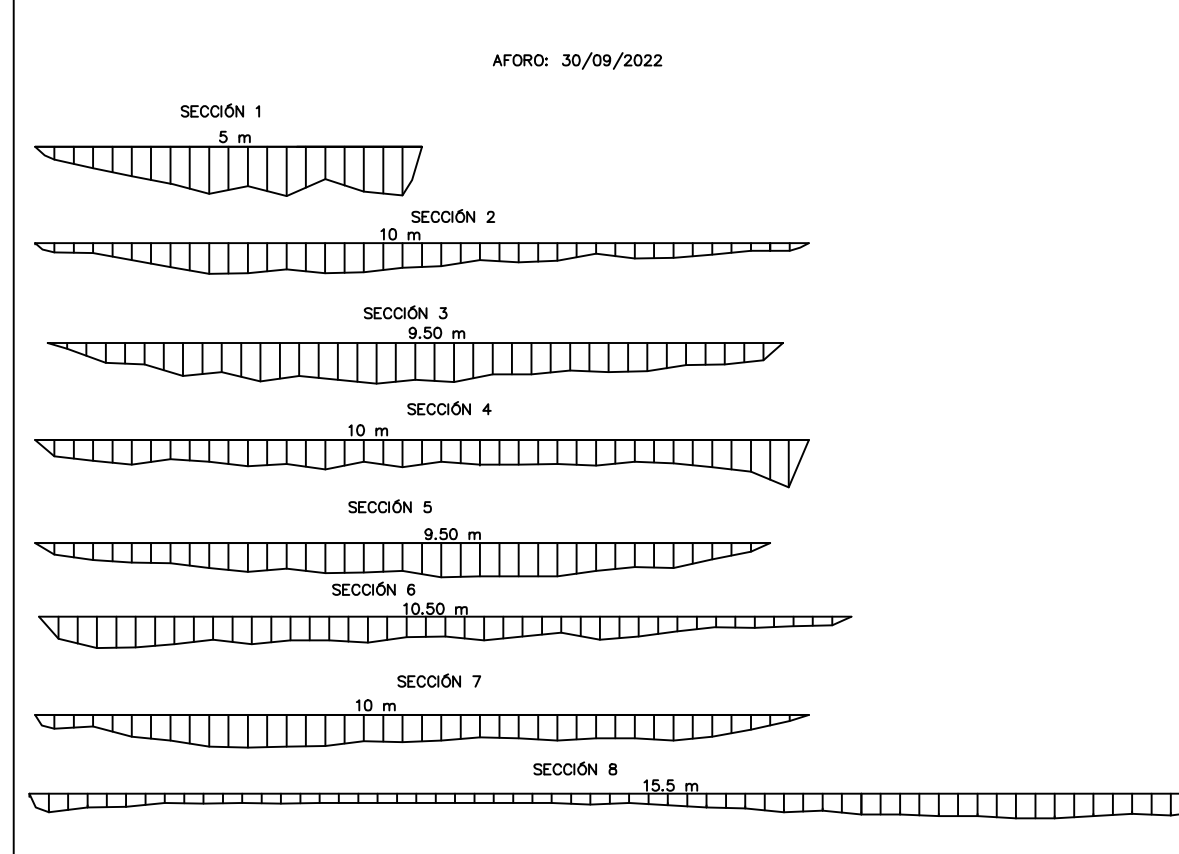
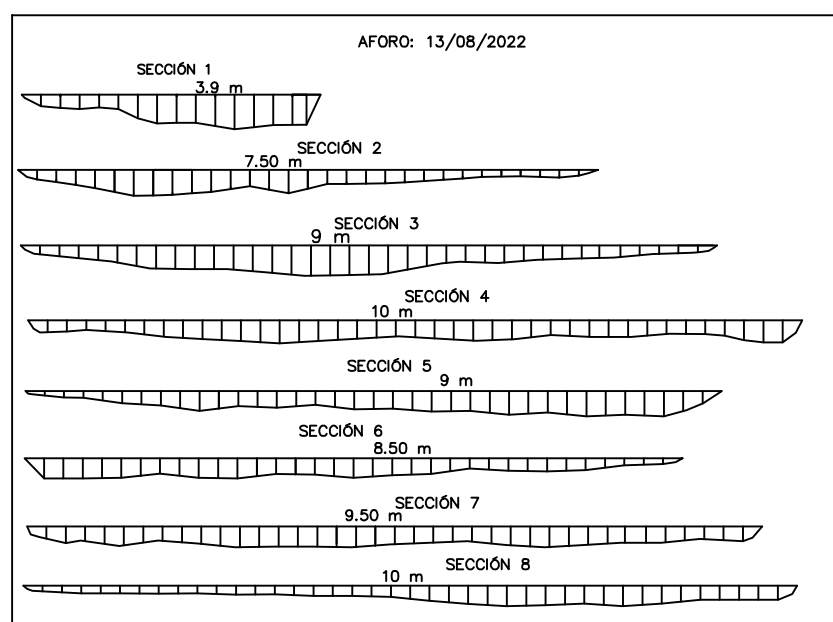
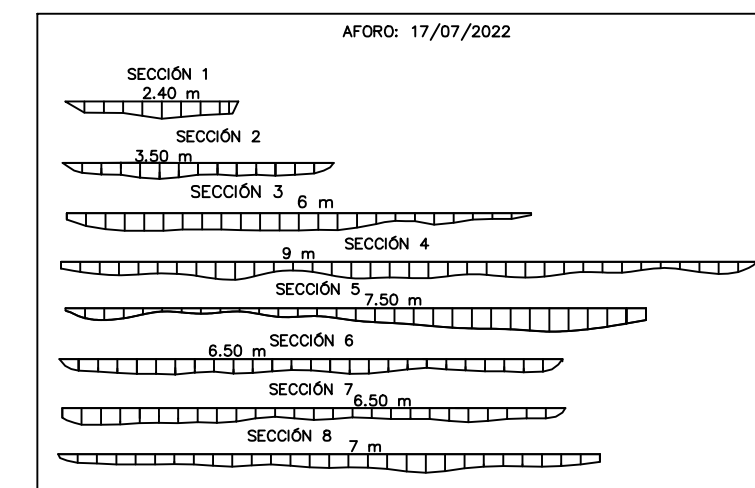
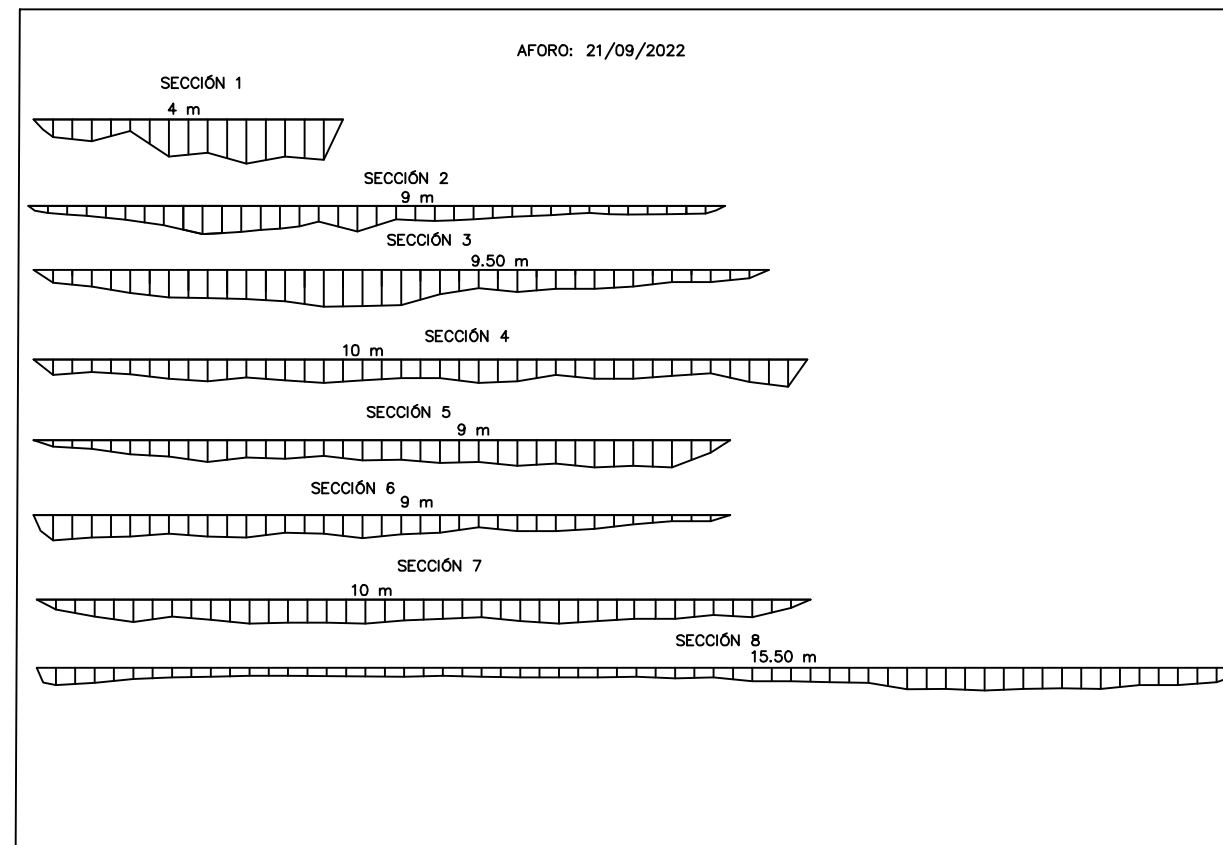
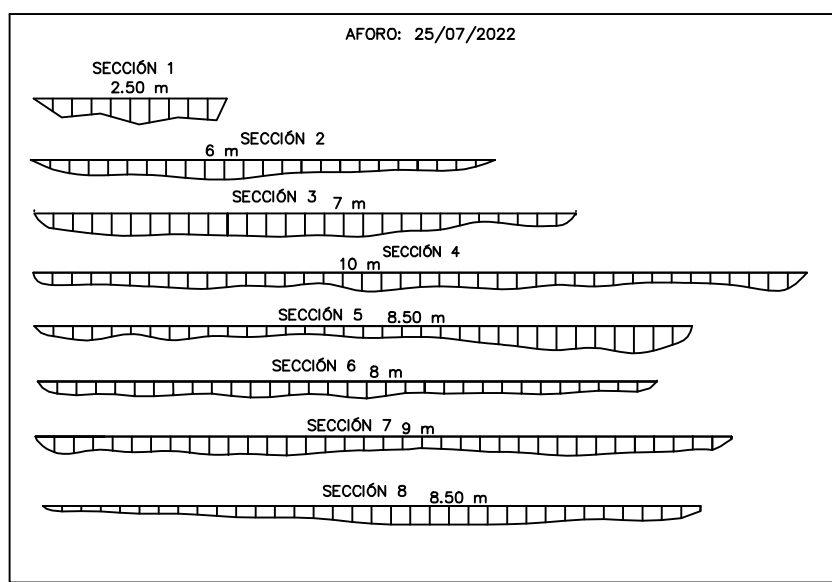
PLANO GEOLÓGICO DE LA CUENCA
TESISTA: BACH. JAIRO GUÍVAR SÁNCHEZ

ASESOR: DR.ING. LUIS VÁSQUEZ RAMÍREZ

ESCALA: 1/150000 | FECHA: 25 / 05 / 2023

1 2

SECCIONES DE AFORO – PERÍODO DE ESTIAJE

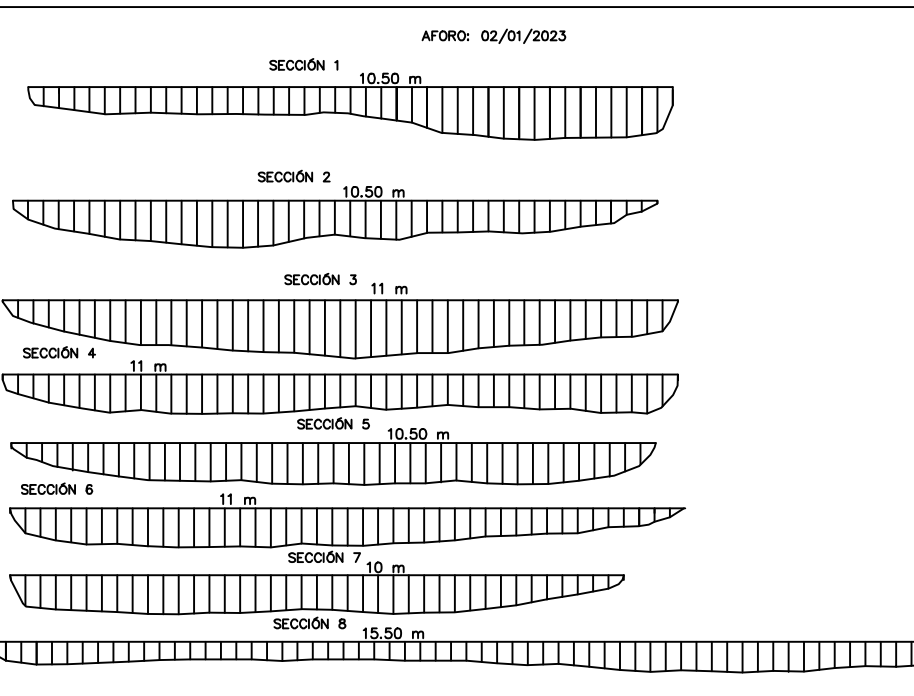
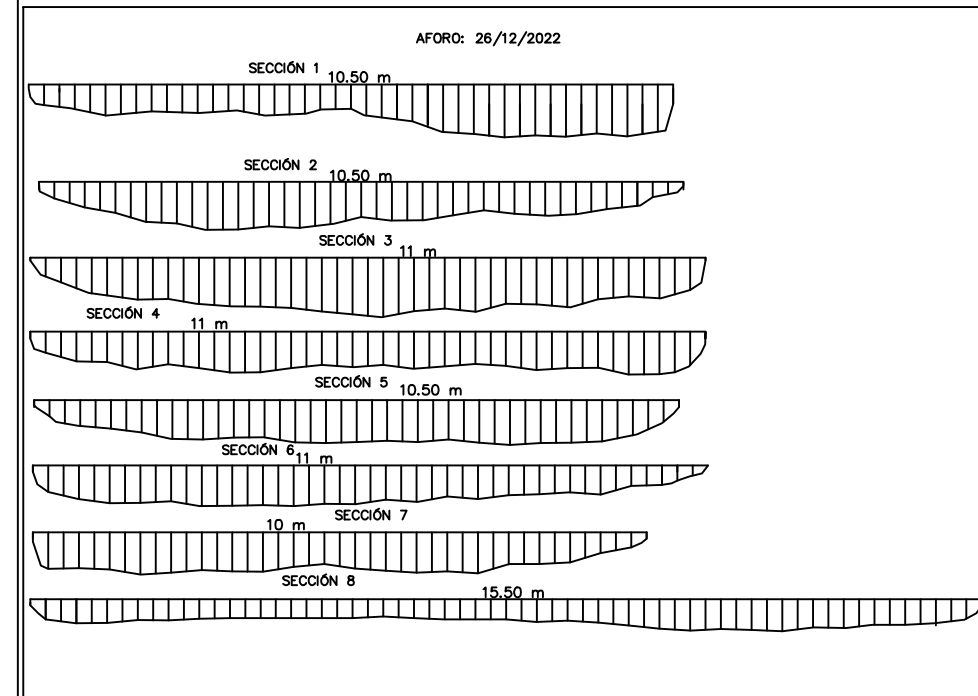
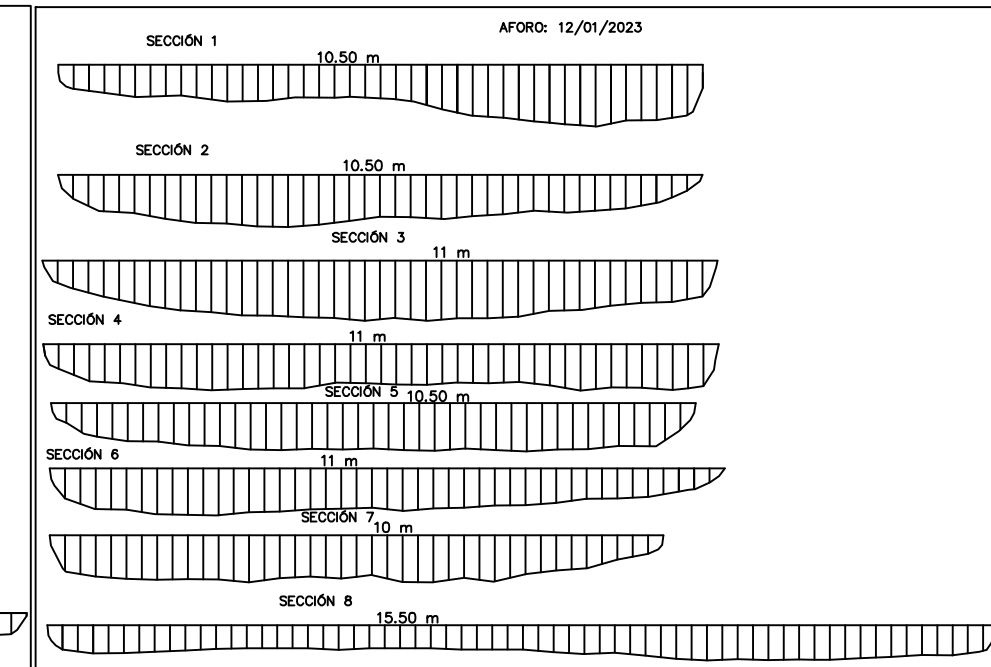
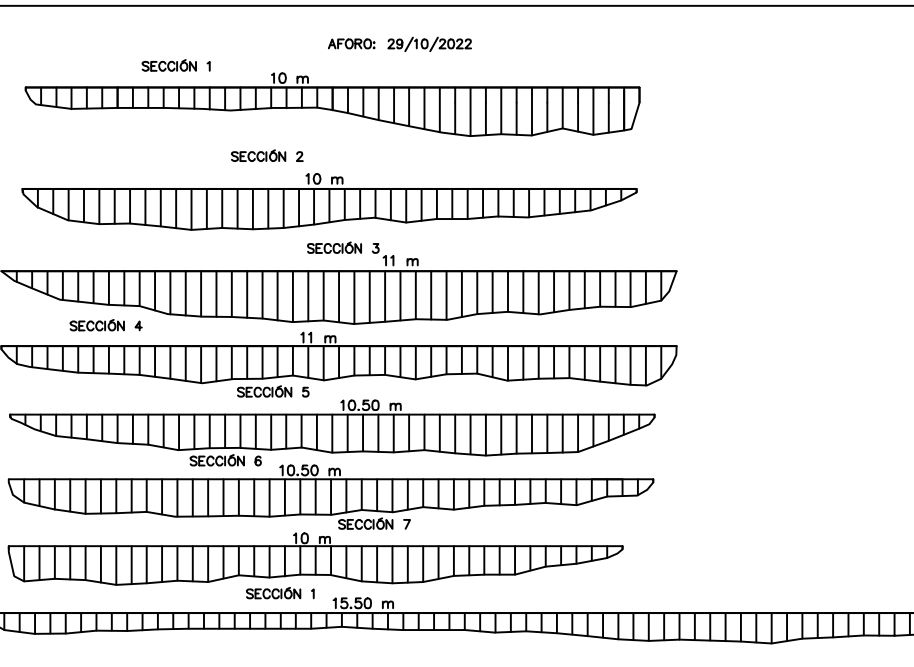
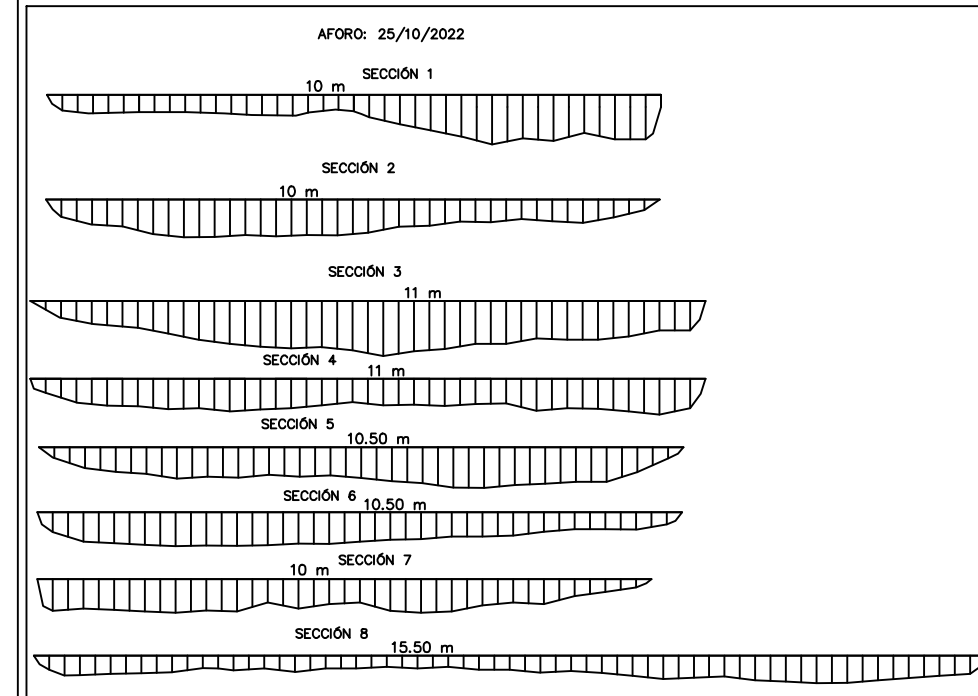


	PERÍODO DE ESTIAJE							
	17/07/2022	S1	S2	S3	S4	S5	S6	S7
A(m)	0.358	0.536	1.031	1.433	1.237	1.031	1.019	1.079
Rh(m)	0.151	0.151	0.166	0.156	0.160	0.155	0.152	0.151
25/07/2022	S1	S2	S3	S4	S5	S6	S7	S8
A(m)	0.578	0.578	1.636	1.761	1.568	1.313	1.768	1.407
Rh(m)	0.208	0.208	0.226	0.173	0.180	0.162	0.163	0.163
13/08/2022	S1	S2	S3	S4	S5	S6	S7	S8
A(m)	1.134	1.415	2.124	2.175	1.982	1.623	2.079	1.676
Rh(m)	0.263	0.187	0.233	0.213	0.217	0.188	0.214	0.166
21/09/2022	S1	S2	S3	S4	S5	S6	S7	S8
A(m)	1.480	1.480	2.727	2.402	2.180	1.958	2.471	2.648
Rh(m)	0.324	0.183	0.281	0.233	0.239	0.213	0.245	0.170
30/09/2022	S1	S2	S3	S4	S5	S6	S7	S8
A(m)	2.264	2.419	3.462	3.145	3.002	2.735	2.648	2.955
Rh(m)	0.398	0.239	0.357	0.298	0.312	0.255	0.170	0.188

UNIVERSIDAD NACIONAL DE CAJAMARCA
FACULTAD DE INGENIERÍA
ESCUELA ACADÉMICO PROFESIONAL DE INGENIERÍA HIDRÁULICA

	TESIS: RUGOSIDAD DE MANNING EN EL CAUCE DEL RÍO CAJAMARQUINO, TRAMO PUENTE LLACONORA – HUAYRAPONGO PARA LOS PERÍODOS DE ESTIAJE Y LLUVIAS SECCIONES DE AFORO – PERÍODO DE ESTIAJE TESISTA: BACH. JAIRO GIVAR SÁNCHEZ	ASESOR: DR.ING. LUIS VÁSQUEZ RAMÍREZ	ESCALA: 1/100 FECHA: 15 / 01 / 2023

SECCIONES DE AFORO – PERÍODO DE LLUVIAS



	PERÍODO DE ESTIAJE								
	S1	S2	S3	S4	S5	S6	S7	S8	
25/10/2022									
A(m)	4.604	4.427	6.728	4.923	5.007	4.441	4.311	4.699	
Rh(m)	0.427	0.431	0.587	0.430	0.467	0.411	0.410	0.297	
29/10/2022	S1	S2	S3	S4	S5	S6	S7	S8	
A(m)	5.029	4.807	7.120	5.445	5.419	5.071	4.893	5.084	
Rh(m)	0.465	0.466	0.620	0.469	0.501	0.464	0.462	0.321	
26/12/2022	S1	S2	S3	S4	S5	S6	S7	S8	
A(m)	6.225	5.777	8.025	6.276	6.280	5.733	5.632	5.847	
Rh(m)	0.541	0.528	0.686	0.535	0.572	0.524	0.532	0.367	
2/01/2023	S1	S2	S3	S4	S5	S6	S7	S8	
A(m)	6.002	5.694	7.800	6.120	6.158	5.515	5.360	5.621	
Rh(m)	0.522	0.519	0.667	0.522	0.565	0.504	0.506	0.354	
12/01/2023	S1	S2	S3	S4	S5	S6	S7	S8	
A(m)	7.391	6.768	8.692	7.275	7.216	6.603	6.469	6.954	
Rh(m)	0.643	0.616	0.743	0.615	0.648	0.574	0.606	0.434	